

# R E L A T I V I D A D

# G E N E R A L

● Información

www.df.uba.ar/users/mazzi/public.html/rgen

"Gravity: An Introduction to Einstein's theory of Relativity" de HARTLE, J.B.

● Introducción

Pensando sobre la fuerza de gravedad

$$|\vec{F}_{12}| = \frac{G m_1 m_2}{r_{12}^2}$$

dos asuntos llevan a GR:

● Interacción instantánea: cuando lo pensamos en SR vemos que esto choca con sus postulados. La información viaja a la velocidad de la luz. En el EM esto se tiene en cuenta.

Cuando queremos hacer gravitación teniendo en cuenta la NO-INSTANTANEIDAD aparecen cosas como ondas de gravedad (al igual que en EM aparece radiación).

● La masa gravitatoria ( $m_1, m_2$ ) es la misma masa que aparece en  $F = m \cdot a$

es decir que la masa inercial es igual a la gravitatoria. La explicación profunda de este hecho llevó a Einstein al principio de equivalencia.

El parámetro que determina qué límite debo considerar para un objeto esférico es:

$$\frac{GM}{Rc^2}$$

, donde

$$\frac{GM}{Rc^2} \ll 1$$

(efectos de GR despreciables)



$$\frac{GM}{Rc^2} \not\ll 1$$

(efectos no despreciables)

Así, para el Sol tenemos  $1 \cdot 10^{-6}$  y para una estrella de neutrones  $\sim 0.1$ .

Sabemos que la gravedad domina a gran escala (COSMOLOGÍA y ASTROFÍSICA), pero aún así se cierra bien en términos clásicos pues no ha podido cuantificarse.

Algunos hitos son:

- 1905. Relatividad especial
- 1907. Principio de equivalencia
- 1915. Relatividad general (explicación precesión órbita Mercurio, predicción de la curvatura de la luz por un objeto masivo).
- 1919. Eddington observa y confirma la predicción
- 1929. Hubble observa la expansión del Universo

Predicción de la existencia de ondas gravitacionales. Estudio de modelos estelares (colapso  $\rightarrow$  BH); ahí se aplica GR.

- 1960. Se verifica el corrimiento al rojo gravitacional.
- 1964. Se descubre la CBR (Penzias & Wilson)
- 1974. Se confirma que la pérdida de energía en un sistema binario puede encajar con la emisión de ondas gravitacionales; las velocidades cambian de tal forma que se puede pensar que se pierden ondas de gravedad (detección indirecta). Esto es por analogía con lo que sucede en EM (Hulse-Taylor)
- 1979. Efectos de lentes gravitacionales son vistos por primera vez
- 1992. Se detectan inhomogeneidades en la CBR (satélite COBE). A partir de aquí hablamos de cosmología de precisión.
- 1998. EL Universo se expande y lo hace aceleradamente (antes los modelos sugerían expansión desacelerada). lo que se desconoce es a qué atribuirlo.

● Experimento de Eötvos [1889 Budapest] Supongamos que la  $m_i \neq m_g$

LUNES

11

MERC

3

GR: Relatividad general

SR: Relatividad especial

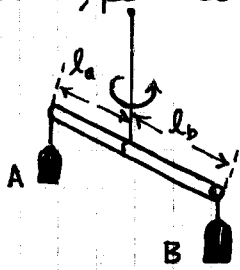
EM: electromagnetismo

$$\vec{F} = m_i \vec{a} = m_g \vec{g} \Rightarrow$$

$$\vec{a} = m_g / m_i \vec{g}$$

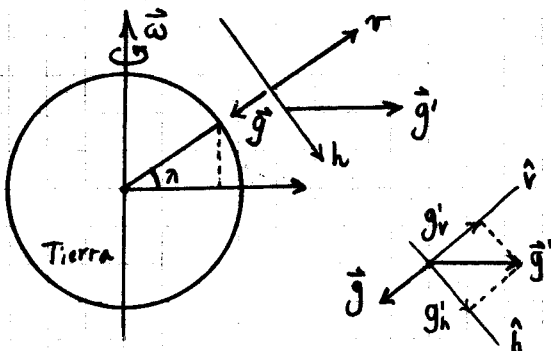
un objeto se aceleraría diferente sino fue  
son iguales las masas. Desde la época  
de Galileo sabemos que son iguales las  
masas.

El experimento usa una balanza de tor-  
sión. La balanza está en la Tierra, que  
rota, pero estamos en un sistema



no-inercial y por  
ello tenemos una  
fuerza centrífuga  
que depende de la  
masa inercial y la  
interacción gravi-  
tatoria depende de

la  $m_g$ . Si fuesen diferentes ambas ma-  
sas aparecería un torque que haría  
girar a la balanza. Se debería po-  
der medir dicho  $\tau$ .



$$|\vec{g}'| = \omega^2 R \cos(\lambda) \quad \text{con } g' \ll g$$

$$g'_v = \omega^2 R \cos^2 \lambda$$

$$g'_h = \omega^2 R \cos \lambda \cdot \sin \lambda$$

$$T = l_A \cdot m_{CA} \cdot g'_h - l_B \cdot m_{CB} \cdot g'_v$$

$$0 = l_A [m_{CA} g - m_{CA} g'_v] -$$

$$l_B [m_{CB} g - m_{CB} g'_v]$$

pero aprox. vale que  $l_A \cdot m_{CA} = l_B \cdot m_{CB}$   
con  $g' \ll g$ ; entonces

$$T \approx g'_h \cdot l_A \cdot m_{CA} \left[ \frac{m_{CA}}{m_{CA}} - \frac{m_{CB}}{m_{CB}} \right]$$

Habría una torsión en la balanza y  
mediré la diferencia entre  $m_i$  y  $m_g$ .  
Eötros encontró que esta era nula,  
y además lo podría asegurar con  
una precisión tal que:

$$\frac{m_i}{m_g} = 1 \pm 10^{-9}$$

donde este error se relaciona con la me-  
dición del cero en el torque.

En 1964 Dicke hace el experimento mu-  
chamente y ve que:

$$\frac{m_i}{m_g} = 1 \pm 10^{-11}$$

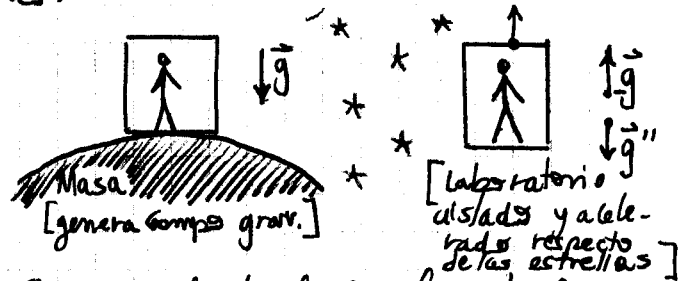
Dado que el campo gravitatorio de los ex-  
perimentadores podría alterar los valores  
se realizó el experimento a remoto.

Con experimentos láser en la Luna se  
ve que la precisión es del  $\sim 1 \cdot 10^{-13}$ .

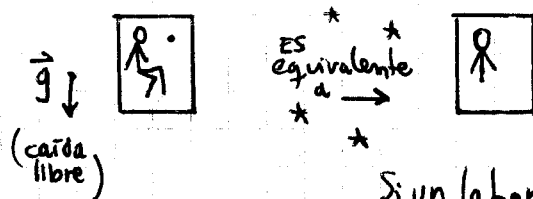
### ● Principio de Equivalencia [1907]

Las masas  $m_i$  y  $m_g$  son las mismas, en  
tonces podemos imaginar que acelera-  
ción y gravedad son lo mismo.

Consideremos las dos situaciones siguien-  
tes:

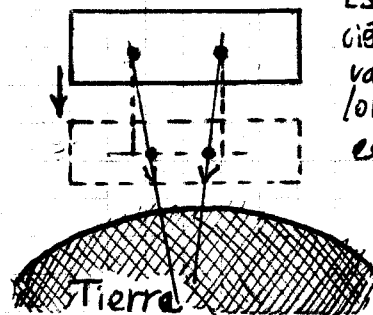


Son equivalentes desde el punto de vis-  
ta mecánica. En el laboratorio aislado aparece  
una aceleración no inercial de  $+g$  (es  $g''$ )  
En caída libre la persona no siente su peso



Si un laboratorio  
cae hacia la tie-  
rra en realidad  
tenemos efectos de

bidos a la curvatura: entonces no es  
tan equivalente la situación respecto al  
laboratorio suspendido en el espacio: dos  
objetos se van aproximando.



Esto nos da la intui-  
ción de que esta equi-  
valencia funciona  
LOCALMENTE en el  
espaciotiempo.

En cualquier punto  
del espaciotiempo  
es posible ele-  
gir un sistema

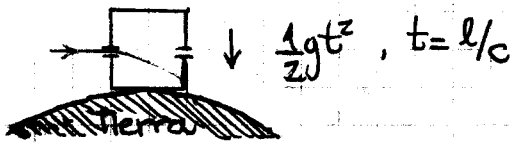
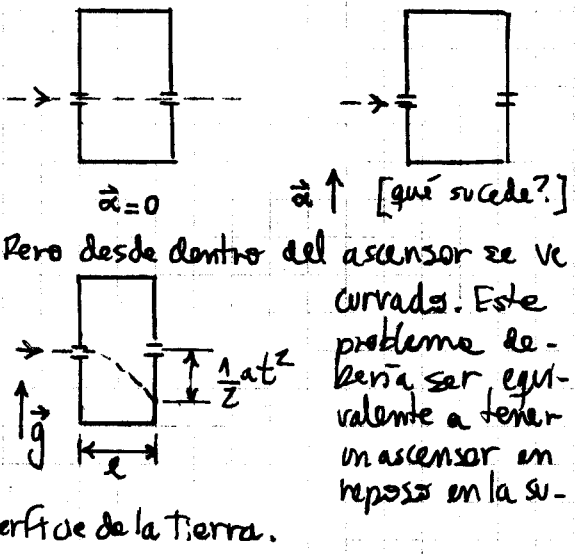
Experimenta-  
lmente  
son iguales  
las masas  
gravita-  
torias e  
inercial

La equiva-  
lencia  
vale +  
experi-  
mento  
físico

de referencia tal que las leyes de la física sean las leyes de SR (en ausencia de gravitación) Nos permite anular la gravedad. Este sistema de referencia es el SISTEMA LOCALMENTE INERCIAL.

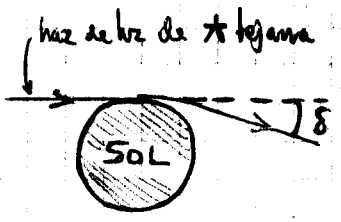
En cualquier punto del espacio tiempo es posible elegir un sistema de referencia tal que las leyes de la física sean las leyes de la SR. Este sistema sería el de la caída libre del que hablamos (uno se olvida de la gravedad y resolvemos con SR). Tenemos consecuencias notables de este principio de equivalencia.

Un campo gravitacional tiene que tener un efecto sobre un rayo de luz (deflexión de la luz)



La gravedad tiene entonces un efecto sobre los haces de luz.

Sea que el campo gravitacional no es uniforme. Veamos una estrella lejana y un haz de luz que pasa cerca del Sol.



Ahora el campo G no es constante, podemos

suponer que este efecto es chico para el Sol. Se ve que:

$$\delta \approx \frac{2GM}{Rc^2}$$

Este es el mismo resultado de scattering por una partícula; en efecto se obtiene

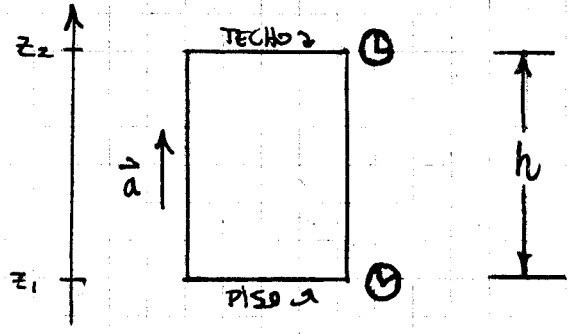
$$\delta \approx \frac{2GM}{Rv^2}$$

Sin embargo haciendo bien el cálculo el resultado obtenido es algo mayor debido a ciertos ajustes (el espacio se comporta de manera extraña).

Teniendo en cuenta esos detalles se llega a

$$\delta \approx \frac{4GM}{Rc^2}$$

Comentario al Ejeo Gravitacional. Sea un sistema inercial de la SR.



En el piso hay relojes que se mandan señales.

$$z_1 = \frac{1}{2}at^2$$

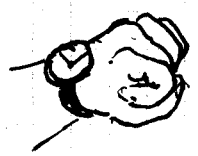
$$z_2 = h + \frac{1}{2}at^2$$

Sea que el reloj del techo emite con periodo  $\Delta T_2$ , entonces

$$f_2 = \frac{1}{\Delta T_2} \quad f_1 = \frac{1}{\Delta T_1}$$

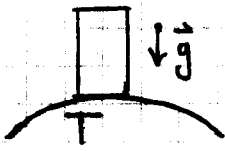
donde  $f_1$  será la frecuencia de recepción de los pulsos. Haciendo las cuentas vemos que se tendrá:

$$\Delta T_1 \approx \Delta T_2 \left(1 - \frac{ah}{c^2}\right)$$



desde se trabaja a primer orden en  $\Delta T_1, \Delta T_2$ .

Pero ahora por el principio de equivalencia resulta que:



$$\Delta T_1 \approx \Delta T_2 \left(1 - \frac{gh}{c^2}\right)$$

$$f_1 \approx f_2 \left(1 + \frac{hg}{c^2}\right)$$

Veremos que los  $\Delta T_i$  son diferentes debido a la gravedad.

Pero:

$$hg = \phi_2 - \phi_1$$

es la diferencia en el potencial gravitatorio.

$$f_{obs} = f_{em} \left[ 1 + \frac{\phi_{em} - \phi_{obs}}{c^2} \right]$$

Este efecto (pequeño) debe ser tenido en cuenta para los sistemas de GPS.

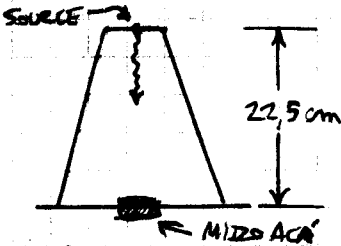
La expresion vale tambien para un campo que no varie con el tiempo. Fue observado este fenomeno en 1960

Las variaciones son del orden

$$\frac{\Delta f}{f} = 2,5 \cdot 10^{-15}$$

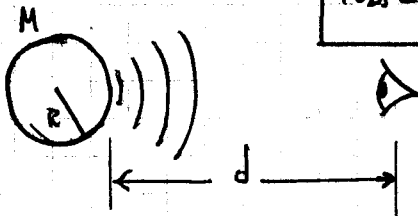
se mide con efecto Mossbauer.

Dada una fuente de protones que emite con frecuencia  $f$ , la frecuencia que se mide en el fondo es otra.



Para un objeto estelar hablamos del corrimiento al rojo gravitacional dado por

$$f_{obs} = f_{em} \left(1 - \frac{GM}{RC^2}\right)$$



ria un último término.

donde  $d \ll R$  y se ha tirado pues da

Teoría

Gravitación y Geometría

Toda la teoría Heró de 1907-1915 la comoda formulación y cierre.

La idea es que las partículas libres (gravitatorias) siguen trayectorias rectas en un espacio curvado; estas trayectorias son las geodésicas.

masa-energía

curva el espacio

siguen una geodésica

Según enunciarnos el principio de equivalencia podemos cerca de P considerar que las leyes de la física son las de SR

Punto P  $\xi_P^\alpha$  sistema  $\alpha=0,1,2,3$

$$dS_{AB}^2 = -c^2 \left[ (d\xi_P^0)^2 + (d\xi_P^1)^2 + (d\xi_P^2)^2 + (d\xi_P^3)^2 \right]$$

evento A :  $\xi_P^\alpha$

evento B :  $\xi_P^\alpha + d\xi_P^\alpha$

$$dS_{AB}^2 = \eta_{\alpha\beta} d\xi_P^\alpha d\xi_P^\beta$$

donde  $\eta_{\alpha\beta}$  es la métrica de Minkowski. Ahora considerare  $c=1$ .

Sea otro sistema de coordenadas, no necesariamente en caída libre,:

$X^\mu \rightarrow$  otro sistema

$$\xi_P^\alpha (X^\mu)$$

$$d\xi_P^\alpha = \frac{\partial \xi_P^\alpha}{\partial X^\mu} dX^\mu$$

$$d\xi_P^\beta = \frac{\partial \xi_P^\beta}{\partial X^\nu} dX^\nu$$

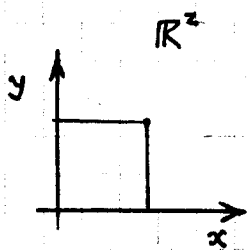
$$dS_{AB}^2 = \eta_{\alpha\beta} \frac{\partial \xi_P^\alpha}{\partial X^\mu} \frac{\partial \xi_P^\beta}{\partial X^\nu} dX^\mu dX^\nu$$

$$dS_{AB}^2 = g_{\mu\nu}(x) dx^\mu dx^\nu$$

en la métrica del espacio-tiempo está metida toda la información gravitacional; no es una métrica como la de Minkowski.



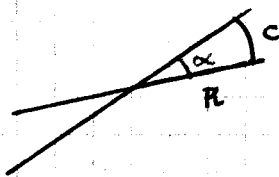
Pero también podemos ver este concepto haciendo una analogía: el plano  $\mathbb{R}^2$ , supongamos una superficie de un plano y de un círculo: ¿cómo puedes saber localmente si estoy en un plano o en una esfera?



$$ds^2 = dx^2 + dy^2$$

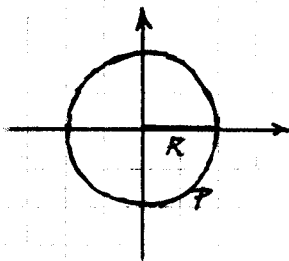
$$ds^2 = r^2 d\phi^2 + dr^2$$

son dos diferenciales en  $\mathbb{R}^2$  pero en diferentes sistemas de coordenadas. Defino una recta como la "curva" que minimiza la distancia entre dos puntos. Defino el ángulo como el cociente entre arco 'c' y la distancia 'R'



$$\phi = \frac{c}{R}$$

Puedo definir una circunferencia y calcular el cociente  $P/R$

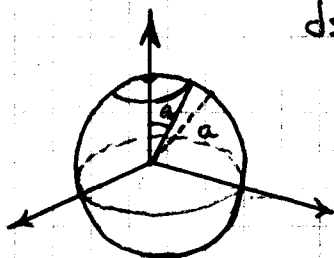


$$R = \int_{c_1} ds$$

$$P = \int_{c_2} ds$$

$$P = 2\pi R$$

Si la superficie no es plana, sino esférica hacemos



$$ds^2 = a^2 (d\theta^2 + \sin^2 \theta \cdot d\phi^2)$$

Me paro en un punto y marco todos los puntos a una dada distancia a (ángulo  $\theta_0$ ). Entonces

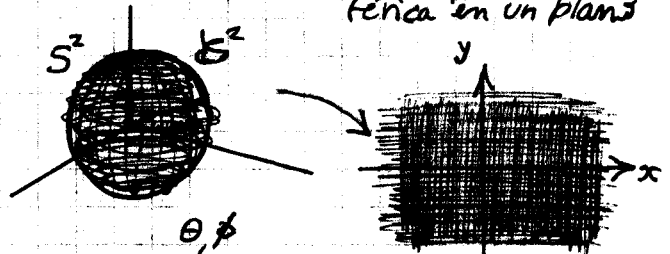
$$R = a \cdot \theta_0$$

$$P = 2\pi a \sin \theta_0$$

$$P = 2\pi a \cdot \sin\left(\frac{R}{a}\right)$$

y como vemos no es la misma expresión que obtuvimos antes.

Sea querer mapear una superficie esférica en un plano



$$\frac{\pi}{2} - \theta = \lambda \text{ latitud}$$

$$x = \frac{L\phi}{2\pi}$$

esta es la proyección

$$ds^2 = a^2 [d\theta^2 + \sin^2 \theta \cdot d\phi^2]$$

$$= a^2 [d\lambda^2 + \cos^2 \lambda \cdot d\phi^2]$$

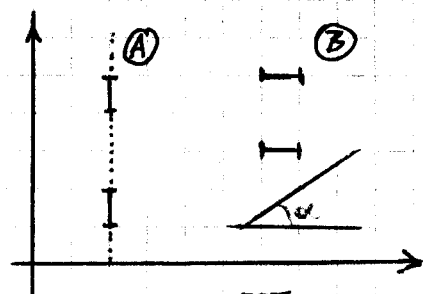
En coordenadas (x,y)

$$ds^2 = a^2 \left[ \left(\frac{d\lambda}{dy}\right)^2 dy^2 + \cos^2 \lambda(y) \left(\frac{2\pi}{L}\right)^2 dx^2 \right]$$

una proyección usual es la rectangular

$$y = \frac{L\lambda}{\pi} \Rightarrow$$

$$ds^2 = a^2 \left[ \left(\frac{\pi}{L} dy\right)^2 + \cos^2\left(\frac{\pi y}{L}\right) \left(\frac{2\pi}{L}\right)^2 dx^2 \right]$$



iguales distancias en el mapa son iguales distancias en la realidad (A), en cambio iguales distancias en el mapa no son iguales en la realidad (B).

No se respeta el área, asimismo la distancia más corta entre dos puntos del mapa no es la distancia más

La idea es que la GRAVEDAD deforma la geometría euclídea.

está en la realidad. También los ángulos no son iguales entre mapa y realidad.

La proyección usual es MERCATOR, que usa:

- $\gamma(\lambda)$ :

- $ds^2 = \Omega(x,y) \cdot (dx^2 + dy^2)$

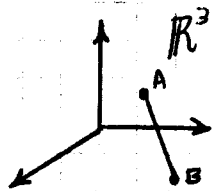
Las distancias son proporcionales a  $[dx^2 + dy^2]$  y los ángulos se corresponden al caso real (en la esfera).

En general los mapas, como un todo, tendrán otros problemas asociados a las deformaciones y a la no univocidad de la asignación punto-punto

polo  $\rightarrow$  línea

### Conceptos de SR

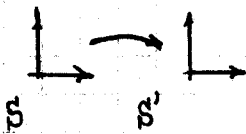
En el espacio-tiempo de Newton asumimos



$$ds^2 = dx^2 + dy^2 + dz^2$$

la distancia  $\overline{AB}$  es invariante frente a traslaciones y rotaciones y frente a transformaciones de Galileo.

Galileo. El tiempo es absoluto, y



$$t = t' \quad [1]$$

$$ds^2 = ds'^2 \quad [1]$$

Se conservan [1] por separado. Un vector se representa sencillamente y varía de acuerdo a:

$$\vec{X}' = R \vec{X}$$

$$\vec{A}' = R \vec{A} \quad \leftarrow \text{cambia como la posición}$$

$$\vec{A} \cdot \vec{A} = A_1^2 + A_2^2 + A_3^2$$

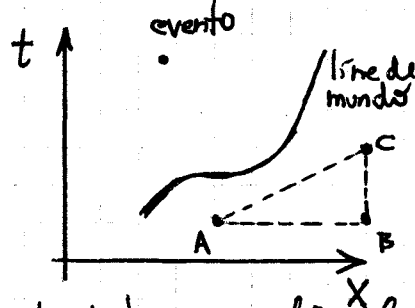
$$\vec{A} \cdot \vec{B} = A_1 B_1 + A_2 B_2 + A_3 B_3$$

Cuando pasamos al espacio-tiempo de Minkowski

$$ds^2 = -dt^2 + dx^2 + dy^2 + dz^2$$

$$ds^2 = \sum_{\mu, \nu} g_{\mu\nu} dx^\mu dx^\nu$$

Tenemos diagramas espacio-temporales:

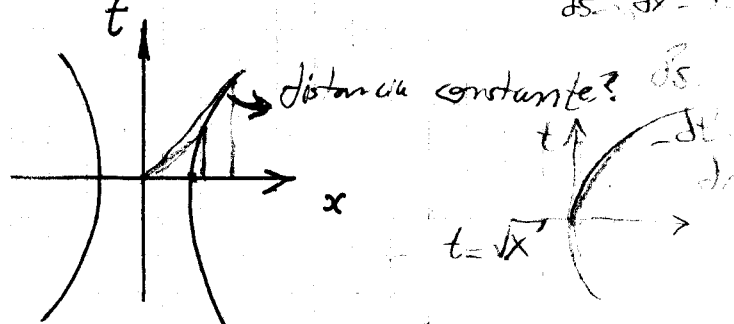


ahora la distancia sobre el diagrama no representa la distancia real.

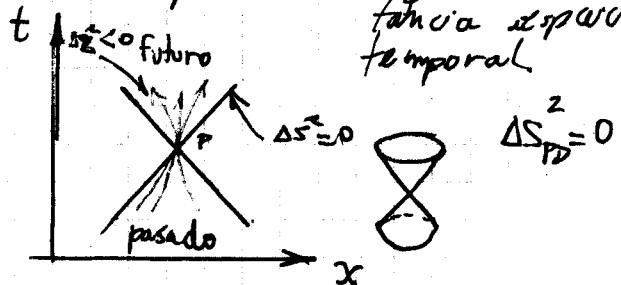
$\overline{AB}$ : mismo  $t \rightarrow$  más larga la distancia porque si  $\Delta t \neq 0$  resta su aporte.

$$\therefore d(\overline{AB}) > d(\overline{AC})$$

La distancia entre un punto y el origen va como una hipérbola:



Otro concepto importante es el de conos de luz: puntos tales que su distancia espaciotemporal



El tiempo propio: sumo dos puntos con una separación pequeña.

$$-ds^2 = dt^2$$

$$\text{si } ds^2 < 0$$

su definición es el tiempo medido por un reloj si el reloj está en el mismo lugar

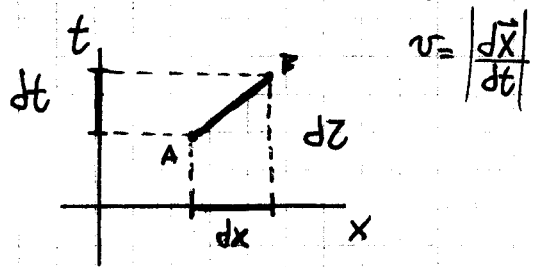
$$ds^2 = -dt^2$$

Por otro lado si

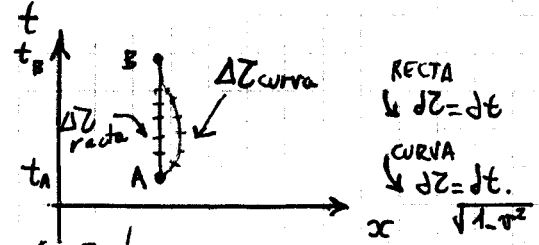
$$A \rightarrow (t, \vec{x})$$

$$B \rightarrow (t+dt, \vec{x}+d\vec{x})$$

$$\Rightarrow d\tau^2 = dt^2(1-v^2), \text{ con}$$



Queremos calcular el  $dZ$  medido con



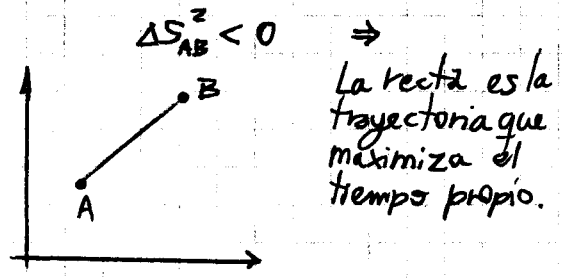
$$\Delta Z_{RECTA} = t_B - t_A = \int_A^B dt$$

$$\Delta Z_{CURVA} = \int_A^B dZ = \int_A^B dt \sqrt{1-v^2(t)}$$

$$\Delta Z_{CURVA} < \Delta Z_{RECTA}$$

El problema de la paradoja de los gemelos es que un sistema está inercial y el otro se acelera. Si ambas se aceleran simétricamente entonces NO hay paradoja.

Sean A, B temporalmente separados



● Transformaciones de Lorentz  
Aquellas que dejan invariante la distancia diferencial.

$$X^\alpha \rightarrow X'^\alpha$$

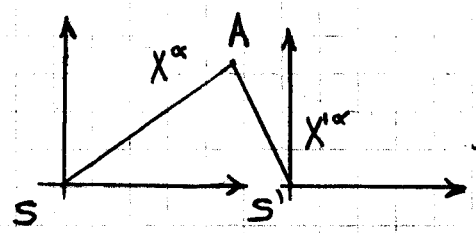
\* De ahí que sea 6 el # de parámetros de una transf. de Lorentz

es una transformación de Lorentz si

$$ds^2 = \eta_{\mu\nu} dX^\mu dX^\nu = \eta_{\alpha\beta} dX'^\alpha dX'^\beta$$

donde  $X'^\alpha = X'^\alpha(x)$ .

Otra manera de introducir la transformación de Lorentz es usando que 'c' es la misma en todos los frames inerciales



$$ds^2 = 0 \Leftrightarrow ds'^2 = 0$$

esto vale si la velocidad 'c' es cte

$$X'^\alpha = \Lambda^\alpha_\beta X^\beta + a^\alpha$$

UNA COMBINACIÓN LINEAL

los que realizan la transformación de Lorentz son los  $\Lambda^\alpha_\beta$

$$\eta_{\alpha\beta} dX'^\alpha dX'^\beta = ds'^2$$

$$\text{pero } dX'^\alpha = \Lambda^\alpha_\beta dX^\beta \Rightarrow$$

$$\eta_{\alpha\beta} dX'^\alpha dX'^\beta = \eta_{\alpha\beta} \Lambda^\alpha_\mu dX^\mu \Lambda^\beta_\nu dX^\nu$$

$$ds'^2 = \eta_{\alpha\beta} \Lambda^\alpha_\mu \Lambda^\beta_\nu dX^\mu dX^\nu$$

para que sea una transformación de Lorentz necesito

$$\eta_{\alpha\beta} \Lambda^\alpha_\mu \Lambda^\beta_\nu = \eta_{\mu\nu}$$

donde las  $\Lambda^\alpha_\beta \in 4 \times 4$ , en principio 16 elementos. Pero tengo 10 ecuaciones independientes (por la simetría de las  $\eta$ )

Al resolver la ecuación quedan 6 parámetros independientes (tres boosts y tres rotaciones)\*

Para los boosts

$$\Lambda^\alpha_\beta = \begin{pmatrix} \gamma & -\gamma \vec{v} \\ \gamma \vec{v} & \delta_{ij} + \frac{\gamma-1}{v^2} v_i v_j \end{pmatrix}$$

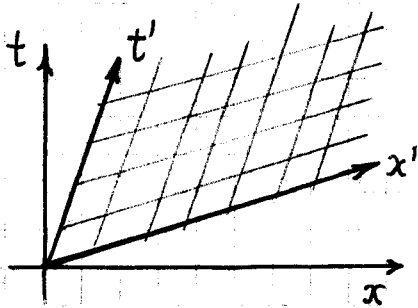
TEMP. SEP domina la parte negativa (la det)

Como están temporalmente separados puede pasar a otro sistema donde las puntos están espaciales. Les son el mismo

$$\gamma \equiv \frac{1}{\sqrt{1-v^2}}$$

que es una forma general. Un boost en  $x$  sería:

$$\begin{aligned} x' &= \gamma(x - vt) \\ t' &= \gamma(t - vx) \\ y' &= y \quad z' = z \end{aligned}$$

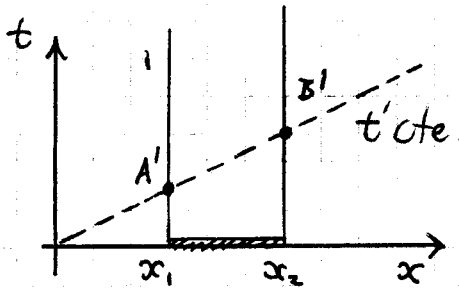


$t'$  son aquellos puntos para los cuales es  $x' = 0 \rightarrow x = vt$   
 $x'$  son aquellos puntos para los cuales es  $t' = 0$  y  $t = vx$   
 Las transformaciones de Lorentz tienen la ventaja de tener:

simultaneidad es relativa: si A y B son simultáneas en S, no son simultáneas en S'

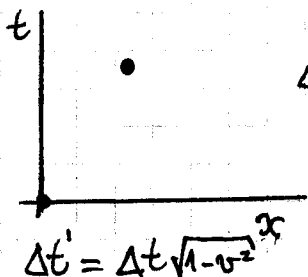
● Contracción de longitudes

$$L_0 = x_2 - x_1$$



$$(\Delta S_{AB}^2)^{1/2} = L = L_0 \sqrt{1-v^2}$$

● Dilatación temporal  
 Consideremos en  $x'$  cte,  $t'$  será:

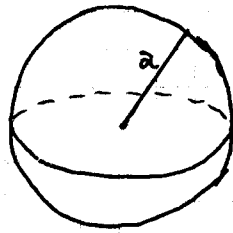


$$\begin{aligned} \Delta z_{AB}^2 &= -\Delta s_{AB}^2 = \\ &= \Delta t^2 - v^2 \Delta t^2 \\ &= (\Delta t')^2 \end{aligned}$$

$$\Delta t' = \Delta t \sqrt{1-v^2}$$

■ Práctica  
 ● Mapas & Geometría

27-8-8

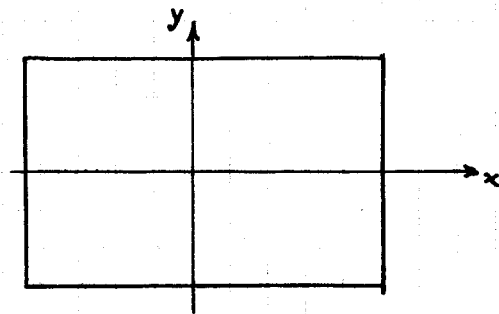
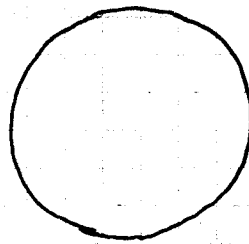
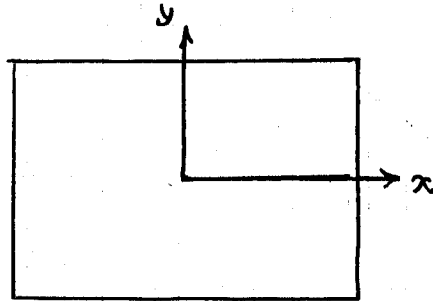


$$\theta = \lambda = \frac{\pi}{2} - \theta_{\text{def}}$$

World Plot

$$x = \frac{L\varphi}{2\pi}$$

$$y(\theta)$$



$$y(\theta) = \frac{L}{2\pi} \cdot \ln \left[ \tan \left( \frac{\pi \cdot \theta}{2} \right) \right]$$

Podemos usar el elemento de línea:

$$ds^2 = a^2 \cdot (d\theta^2 + \cos^2 \theta \cdot d\varphi^2)$$

$$= g_{\mu\nu} dx^\mu dx^\nu$$

$$\text{con } dx^\theta = d\theta, dx^\varphi = d\varphi$$

$$= g_{\theta\theta} d\theta^2 + g_{\varphi\varphi} d\varphi^2$$

$$\Rightarrow g_{\theta\theta} = \begin{pmatrix} a^2 & 0 \\ 0 & a^2 \cos^2 \theta \end{pmatrix}$$

el producto escalar que usamos es:

$$\cos \alpha = \frac{U \cdot V}{|U| \cdot |V|}$$

$$U \cdot V = g_{\mu\nu} U^\mu V^\nu =$$

$$g_{00} U^0 V^0 + \cancel{g_{0\varphi} U^0 V^\varphi} + \cancel{g_{\varphi 0} U^\varphi V^0} + g_{\varphi\varphi} U^\varphi V^\varphi$$

donde los tachados son nulos porque no se mezclan  $\varphi$  y  $\theta$

$$U^0 = 0 \quad U^\varphi = 1$$

trayectoria  $\rightarrow (\theta(\lambda), \varphi(\lambda))$

$$V^0 = \frac{d\theta}{d\lambda}, \quad V^\varphi = \frac{d\varphi}{d\lambda}$$

$$U \cdot V = a^2 \cos^2 \theta \cdot \frac{d\varphi}{d\lambda}$$

$$|U| = \sqrt{g_{\mu\nu} U^\mu U^\nu} = a \cdot \cos \theta$$

$$|V| = \sqrt{a^2 \left(\frac{d\theta}{d\lambda}\right)^2 + a^2 \cos^2 \theta \left(\frac{d\varphi}{d\lambda}\right)^2}$$

$$\cos \alpha = \frac{\cos \theta}{\sqrt{\left(\frac{d\theta}{d\lambda}\right)^2 + \cos^2 \theta}}$$

$$\boxed{\cos \alpha = \frac{\cos \theta}{\sqrt{\left(\frac{d\theta}{d\varphi}\right)^2 + \cos^2 \theta}}}$$

Ahora quiero evaluar la distancia entre dos puntos. Volvemos a:

$$ds^2 = a^2 (d\theta^2 + \cos^2 \theta d\varphi^2)$$

pero queremos hacer un cambio de coordenadas

$$Y(\theta) \rightarrow d\theta \leftrightarrow dy$$

$$X(\varphi) \rightarrow dx \leftrightarrow d\varphi$$

$$d\theta = dy \cdot \frac{2\pi}{L} \cdot \cos \theta$$

$$d\varphi = \frac{2\pi}{L} \cdot dx$$

$$ds^2 = \Omega^2(y) (dy^2 + dx^2)$$

$$\text{con } \Omega(y) = \frac{2\pi a}{L \cosh\left(\frac{2\pi y}{L}\right)}$$

donde he utilizado:

$$\boxed{\cos \theta = \frac{1}{\cosh\left(\frac{2\pi y}{L}\right)}}$$

la distancia será:

$$D = \int_{y_1}^{y_2} \Omega(y) \cdot dy$$

$$\boxed{D = a \cdot [\theta(y_2) - \theta(y_1)]}$$

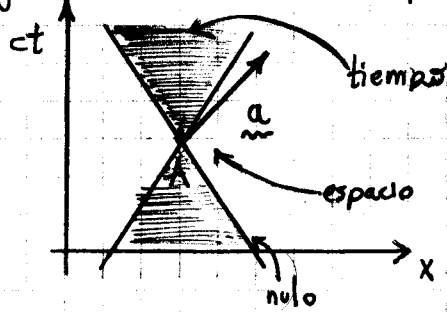
intuitivamente de lo esperado. Vemos que no preserva áreas el dado mapa. Vemos que el área no depende de  $y$

$$dA_p = dy \cdot dx$$

$$dA_{cf} = \Omega^2(y) dx dy$$

En el Hartle vemos los mapitas.

Los cuadri vectores son "flechas" en algún punto del espacio-tiempo.

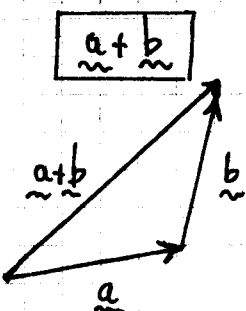


espacio: fuera del cono de luz  
 tiempo: dentro del cono de luz  
 nulo: sobre el cono de luz

La longitud del cuadri vector se define como:

$$|a|_m^2 = -c^2 \Delta t^2 + \Delta x^2$$

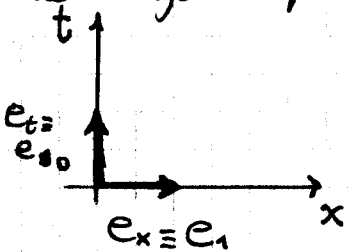
la suma se define de la manera usual



y de igual forma la multiplicación por un escalar

$$r a$$

Una base la formo eligiendo cuadri vectores de longitud 1 en la dirección de los ejes respectivos.

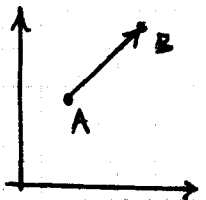


$$\begin{aligned} t &\equiv x^0 \\ x &\equiv x^1 \\ y &\equiv x^2 \\ z &\equiv x^3 \end{aligned}$$

$$a = a^\alpha e_\alpha$$

con  $a^\alpha$  componentes.

Ahora definimos un cuadri vector desplazamiento (dif. de coordenadas entre dos eventos).



$$\Delta x = \Delta x^\alpha e_\alpha$$

Sea que hacemos una transformación

de Lorentz  $\rightarrow$  sé que las componentes deben cambiar así:

$$\Delta x'^\alpha = \Lambda^\alpha_\beta \Delta x^\beta \Rightarrow \boxed{a'^\alpha = \Lambda^\alpha_\beta a^\beta} \quad [1]$$

alternativamente un cuadri vector es unente de cuatro cantidades que transforma ante una TL como [1].

Por otro lado digo que los cuadri vectores cambian así [1], pero la base cambia también.

Defino un producto escalar:

$$a \cdot b = a^\alpha e_\alpha \cdot b^\beta e_\beta$$

$$\boxed{a \cdot b = a^\alpha b^\beta e_\alpha \cdot e_\beta}$$

y digo que:

$$\boxed{e_\alpha \cdot e_\beta \equiv \eta_{\alpha\beta}}$$

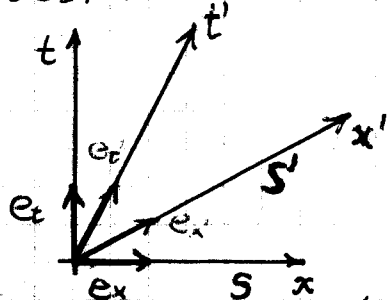
así la longitud del vector está relacionada con este producto escalar de una forma intuitiva

$$a \cdot a = \eta_{\alpha\beta} a^\alpha a^\beta \text{ y}$$

$$|a \cdot a|^{1/2} = \text{LONGITUD DEL VECTOR}$$

Asimismo de esta manera definido es invariante ante TL (cosas consistentes que le pedimos al producto escalar).

Así resulta ser un escalar de Lorentz (no cambia frente a un cambio de sistemas de coordenadas).



$$\begin{aligned} e_t \cdot e_x &= 0 \\ e_{t'} \cdot e_{x'} &= 0 \end{aligned}$$

Veamos que esto vale:

$$\begin{aligned} e_t &= (1, 0, 0, 0) \\ e_x &= (0, 1, 0, 0) \end{aligned}$$

$e_{t'} \cdot e_{x'}$  puede hacerlo escribiendo las componentes de estos cuadri vectores en el sistema S.

El S' se mueve con velocidad V

La TL deja invariante el intervalo  $(ds)^2$

a lo largo del eje  $x$  en relación al sistema  $S$ . En  $S$  es

$$\begin{aligned} \underline{e}_t &= (1, 0, 0, 0) \\ \underline{e}_x &= (0, 1, 0, 0) \end{aligned} \rightarrow \text{en } S'$$

$$\begin{cases} t' = \gamma(t - xv) \\ x' = \gamma(x - vt) \end{cases} \Rightarrow$$

usa la transformación inversa:

$$t = \gamma(t' + x'v)$$

$$x = \gamma(x' + vt')$$

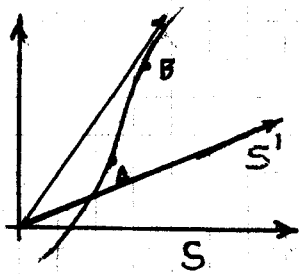
haciendo el cambio:

$$\begin{aligned} \underline{e}_t &= (\gamma, \gamma v, 0, 0) \\ \underline{e}_x &= (\gamma v, \gamma, 0, 0) \end{aligned} \rightarrow \text{en } S$$

Se ve a ojo que el escalar da nulo:

$$\underline{e}_t \cdot \underline{e}_x = -\gamma^2 v + \gamma^2 v = 0$$

Sea una partícula <sup>MASIVA</sup> moviéndose por una línea de mundo; definimos la cuadrivelocidad como el vector tangente a la línea de mundo



$$U^\alpha = \frac{dX^\alpha}{d\tau}$$

$$U^\alpha = \frac{dX'^\alpha}{d\tau}$$

como el intervalo de tiempo propio es un invariante

$$\delta \rightarrow \delta' \quad (\text{sistemas})$$

$$d\tau \rightarrow d\tau'$$

$$U'^\alpha = \Lambda^\alpha_\beta U^\beta$$

$$U \cdot U = -1 \quad (\text{temporal})$$

$$\eta_{\alpha\beta} \frac{dX^\alpha}{d\tau} \frac{dX^\beta}{d\tau} = -1$$

y el numerador es  $dS^2$

El cuadrimpulso se definirá como (su normalización)

$$P \cdot P = -m^2, \text{ con}$$

$$P^\alpha = m \cdot U^\alpha$$

donde  $m$  es la masa en reposo de la partícula.

● Dinámica Relativista

Escribimos una especie de segunda ley como:

$$\frac{dP^\alpha}{d\tau} = f^\alpha$$

$$\frac{dP^\alpha}{d\tau} = e^\alpha_{\mu\nu} F^{\mu\nu} \cdot \frac{dx^\mu}{d\tau}$$

es el ejemplo del campo EM visto en anteriores ocasiones.

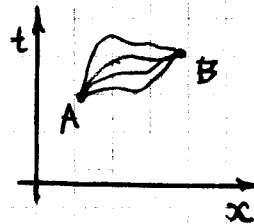
Para una partícula libre:

$$\frac{dU^\alpha}{d\tau} = 0$$

y podemos traer una formulación del principio de Hamilton: se mueva de manera tal que el tiempo propio es un extremo.

Se calcula en este caso:

$$T_{AB} = \int_A^B (dt^2 - dx^2)^{1/2}$$



y usando el tiempo como parámetro

$$T_{AB} = \int_{t_A}^{t_B} dt (1 - v^2)^{1/2}$$

Pero puedes pensar en otros parámetros:

$$= \int_0^1 d\sigma \left( \left( \frac{dt}{d\sigma} \right)^2 - \left( \frac{dx}{d\sigma} \right)^2 \right)^{1/2}$$

esta forma es más simétrica. Eligiendo

$$0 \leq \sigma \leq 1$$

$$t(\sigma=0) = t_A$$

$$t(\sigma=1) = t_B$$

$$\begin{aligned} x(\sigma) \\ t(\sigma) \end{aligned}$$

$$x(\sigma=0) = x_A$$

$$x(\sigma=1) = x_B$$

entonces dentro de la variación de la acción está el  $\mathcal{L}$ .

$$= \int_0^1 d\sigma \mathcal{L}$$

NB

La cuadrivelocidad de una partícula masiva está siempre dentro del cono de luz

las ecuaciones de E-L serán:

$$\frac{d}{d\sigma} \left( \frac{\partial \mathcal{L}}{\partial \left( \frac{\partial x^\alpha}{\partial \sigma} \right)} \right) = 0$$

$$\frac{d}{d\sigma} \left( \frac{1}{\mathcal{L}} \cdot \frac{dx^\alpha}{d\sigma} \right) = 0$$

ecuación de la trayectoria parametrizada con un parámetro genérico  $\sigma$ . Será más complicada.

$$\frac{1}{\mathcal{L}} \frac{dx^\alpha}{d\sigma} + \frac{d}{d\sigma} \left( \frac{1}{\mathcal{L}} \right) \frac{dx^\alpha}{d\sigma} = 0$$

en cambio usando el  $\tau$  como parámetro se reduce a la anterior.

$$\frac{1}{\mathcal{L}} \frac{d}{d\sigma} \left( \frac{1}{\mathcal{L}} \frac{dx^\alpha}{d\sigma} \right) = 0$$

$$\frac{d}{d\tau} \left( \frac{dx^\alpha}{d\tau} \right) = \frac{d^2 x^\alpha}{d\tau^2} = 0$$

Cuando se usa un parámetro de esta índole decimos que la transformación es AFÍN y usamos un parámetro AFÍN. En este caso una función lineal de  $\tau$  es un buen parámetro AFÍN.

Para una partícula en un campo EM, la acción es:

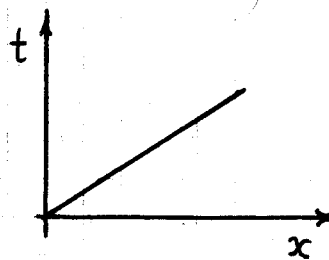
$$[2] S = m \int_A^B d\tau - e \int_A^B A_\mu \frac{dx^\mu}{d\tau}$$

donde el primer término es el asociado a la partícula libre y el segundo es el acople EM. Se ve en [2] que la masa importa porque hay otro término, pero si solo tengo el primero la  $m$  es una constante multiplicativa irrelevante.

Sea ahora una partícula no masiva (se mueve a lo largo de los conos de luz); entonces:

$$u \cdot u = 0$$

Supongamos que nuestra partícula emite en el origen de un sistema



con velocidad en  $x$ , entonces:

$$u = (1, 1, 0, 0)$$

y así:

$$x^\alpha(\sigma) = U^\alpha \sigma$$

donde  $\sigma$  es el parámetro, mide el recorrido de la partícula sobre la línea de mundo. Tomemos  $\sigma = \lambda$ . (tema notacional)

$$\frac{dx^\alpha}{d\lambda} = U^\alpha \quad \frac{d^2 x^\alpha}{d\lambda^2} = \frac{dU^\alpha}{d\lambda} = 0 \quad \frac{dU^\alpha}{d\lambda} = \frac{d^2 x^\alpha}{d\lambda^2}$$

podría elegir otro parámetro  $\sigma(\lambda)$

$$x^\alpha = U^\alpha \sigma(\lambda) \Rightarrow$$

$$\frac{dx^\alpha}{d\lambda} = U^\alpha \frac{d\sigma}{d\lambda}$$

$$\frac{d^2 x^\alpha}{d\lambda^2} = U^\alpha \frac{d^2 \sigma}{d\lambda^2}$$

ahora combinando ambas

$$\frac{d^2 x^\alpha}{d\lambda^2} = \frac{dx^\alpha}{d\lambda} \cdot \frac{1}{\frac{d\sigma}{d\lambda}} \cdot \frac{d^2 \sigma}{d\lambda^2}$$

resulta más complicado. En el primer caso decimos que estamos usando un parámetro AFÍN.

Podríamos poner un principio variacional para partículas masivas e inmasivas

$$S = \int d\lambda \eta_{\mu\nu} \frac{dx^\mu}{d\lambda} \cdot \frac{dx^\nu}{d\lambda}$$

$$\frac{d^2 x^\mu}{d\lambda^2} = 0$$

Para los fotones se tiene el cuadrimomento cumpliendo lo siguiente:

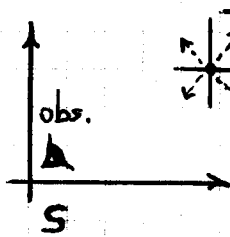
$$p^\alpha = (E, \vec{p}) \quad p_i \cdot p_i = 0$$

$$E = |\vec{p}| \quad \begin{aligned} E &= h\nu \\ \vec{p} &= h\vec{k} \end{aligned}$$

Podemos llegar a un efecto Doppler haciendo

NOTA  
Esto será  
aún más  
adelante





En S' tengo una fuente emitiendo fotones.

Esta será la energía que se observa desde el L. En igual manera:

$$p^i = p_m \cdot e_m^i$$

Considerando el siguiente ejemplo, de un observador con aceleración constante.

$$t(z) = a^{-1} \cdot \sinh(az)$$

$$x(z) = a^{-1} \cdot \cosh(az)$$

con a constante. Se da que:

$$x^2 - t^2 = a^{-2}$$

será:

$$U_{obs} = (\cosh[az], \sinh[az], 0, 0)$$

$$e_m^0 = U_{obs}$$

$$e_m^1 = (\sinh[az], \cosh[az], 0, 0)$$

$$e_m^2 = (0, 0, 1, 0)$$

$$e_m^3 = (0, 0, 0, 1)$$

donde todas las coordenadas se hallan en el sistema S.

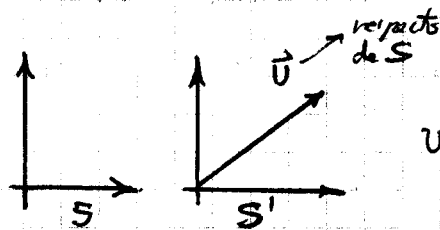
Práctica

Problema 1

Podemos hacerlo de dos maneras:

$$\textcircled{1} \quad X^\mu \rightarrow X'^\mu$$

(S)      (S')



v' velocidad de la partícula en S'

$$X'^\alpha = \Lambda^\alpha_\beta X^\beta$$

② A partir de la velocidad

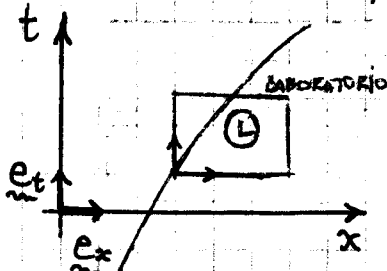
$$v^\alpha = dx^\alpha / dt$$

Esto se puede ver haciendo la cuenta

$$\omega_{obs} = \omega_{emitted} \cdot \frac{\sqrt{1-v^2}}{1-v \cdot \cos(\alpha_{obs})}$$

$$\cos(\alpha_{obs}) = \frac{\cos \alpha_{em} + v}{1 + v \cdot \cos \alpha_{em}}$$

Consideremos un observador acelerado (se mueve con  $\vec{v}$  no constante). Tenemos un laboratorio que se mueve aceleradamente.



Definimos una base ortogonal para el observador.

Quiero vectores unitarios de tipo tiempo y espaciales.

Los eventos a igual  $\vec{x}$  y diferente t para el L estarán sobre la línea. Esto define:

$$e_m^0 = U_{obs}$$

$$U_{obs} \cdot U_{obs} = -1$$

y después elegire:

$e_m^1, e_m^2, e_m^3$  con:

$$e_m^{\hat{\alpha}} \cdot e_m^{\hat{\beta}} = \eta_{\alpha\beta}$$

Supongamos un partícula que veo en el sistema S'

$$p = p^\alpha e_\alpha = p^{\hat{\alpha}} e_{\hat{\alpha}}$$

$$E = P^0 = -p_m \cdot e_m^0 = -p_m \cdot U_{obs}$$

El símbolo  $\Lambda$  indica la ortogonalidad.

Buscar un  $e_m^0$  de longitud 1 y temporal

$$v'^{\alpha} = \Lambda^{\alpha}_{\beta}(v) v^{\beta} \quad \text{(CON ESTO DEBERÍA SALIR)}$$

$$dx^{\alpha'} = \Lambda^{\alpha'}_{\alpha}(v) dx^{\alpha}$$

$$= \Lambda^{\alpha'}_0(v) dt$$

$$dt' = \Lambda^0_0(v) dt$$

$$dx^{i'} = \Lambda^{i'}_0(v) dt$$

$$\frac{dx^{i'}}{dt'} = \frac{\Lambda^{i'}_0(v)}{\Lambda^0_0(v)} = -v^i$$

### ● Problema 2

	$x^{\alpha}$	$x^{\alpha'}$	$x^{\alpha''}$
SIST. →	0	0'	0''
VEL. DE UN SIST. RESPECTO AL ANTERIOR →		$\vec{v}$ MEDIDA EN 0	$\vec{v}'$ MEDIDA EN 0'

Queremos ver que la transformación será:

$$\Lambda^{\alpha''}_{\beta} = \Lambda^{\alpha''}_{\gamma'}(v') \Lambda^{\gamma'}_{\beta}(v)$$

•  $\Lambda^{\alpha''}_{\beta}(v_c)$  es una TL

•  $\Lambda^{\alpha''}_{\beta}(v_c)$  relaciona  $0''$  y  $0$ , con  $0''$  moviéndose con la  $\vec{v}_c$  (se obtiene del problema 1).

para el 1<sup>er</sup> punto puede ver que:

$$[1] \quad \eta_{\epsilon\gamma} = \Lambda^{\alpha''}_{\epsilon} \Lambda^{\delta''}_{\gamma} \eta_{\alpha''\delta''}$$

$$\eta = \Lambda^T \eta \Lambda$$

para el 2<sup>do</sup> como  $\eta_0$  son transformaciones de Lorentz y relaciones un sistema con otro.

Haciendo en [1]

$$\epsilon = \rho = 0 \rightarrow -1 = (\Lambda^0_0)^2 (-1) + \sum_{i=1}^3 (\Lambda^i_0)^2$$

$$(\Lambda^0_0)^2 = 1 + \sum_{i=1}^3 (\Lambda^i_0)^2 \quad \Lambda^i_0$$

$$\epsilon = \rho = 1 \rightarrow -\Lambda^0_i \Lambda^i_0 + \sum_{j=1}^3 \Lambda^j_i \Lambda^i_j = 1$$

$$\rho \neq \epsilon \rightarrow \Lambda^{\delta}_{\alpha} \Lambda^{\alpha}_{\beta} \eta_{\delta\beta} = 0$$

$$\eta = \Lambda \Lambda$$

Eventos en reposo en  $0 \Rightarrow$

$$\frac{dx^{i'}}{dt'} = 0 \Rightarrow \frac{dx^i}{dt} = -v^i$$

$\downarrow (dx^i = 0)$

Parece que si  $\Lambda$  satisface la condición (ii)  $\Rightarrow R\Lambda$  también lo hace, donde  $R$  es una rotación espacial.

$$R^T R = 1$$

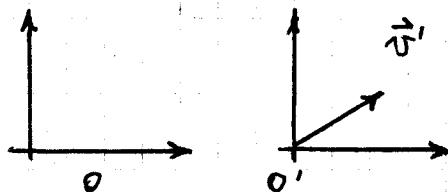
$$\Lambda^T \eta \Lambda = \eta$$

Entonces para el a) hay que demostrar que el producto de TL es una TL

b)  $\Lambda^{\alpha''}_{\beta}(v) = \gamma(v_c)$

c)  $\Lambda^{i''}_{\beta}(v) = -v^i_c \gamma(v_c)$

Sea otro caso, de un boost sin rotación:



$$\Lambda^{\alpha''}_{\alpha'}(v) = \begin{pmatrix} \gamma(v) & -\gamma(v)v^i \\ -\gamma(v)v^i & \delta_{ij} \end{pmatrix}$$

Para b) debes considerar toda la matriz. Pero tengo datos.

Intuitivamente el tipo viene en  $-∞=t_a$  una gran distancia se acerca y luego se aleja

$$(U_{obs})^{\mu\nu} = 0$$

, asintóticamente toda la velocidad 'c'.

$$V^x = \frac{dx}{dt} = \frac{dx/dz}{dz/dt} = \tanh(az)$$

$$\boxed{V^x \rightarrow \pm 1}$$

$$z \rightarrow \pm \infty$$

la cuadri-aceleración es  $a^\alpha = \frac{dU^\alpha}{dt} \rightarrow \gamma_{\alpha\beta} a^\alpha a^\beta = a^2$  es constante porque su módulo no varía. Es un caso particular de trayectorias que siguen objetos sometidos a fuerza constante.

Ahora genero una base ortonormal:

$$\underline{e}_0, \underline{e}_1, \underline{e}_2, \underline{e}_3$$

$$\underline{e}_0 = U_{obs} = (\cosh(az), \sinh(az), 0, 0)$$

$$\underline{e}_3 = (0, 0, 0, 1)$$

$$\underline{e}_2 = (0, 0, 1, 0)$$

$$\underline{e}_1 = (a(z), b(z), 0, 0)$$

$$\begin{cases} \underline{e}_i \cdot \underline{e}_i = 1 \\ \underline{e}_0 \cdot \underline{e}_i = 0 \end{cases} \Rightarrow$$

$$-a(z) \cdot \cosh(az) + b(z) \cdot \sinh(az) = 0$$

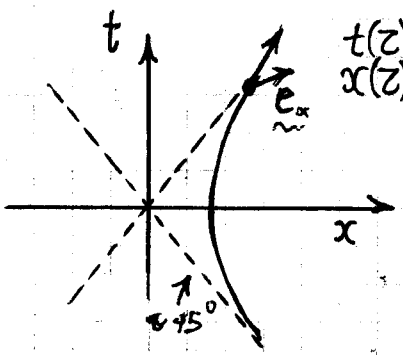
$$-a^z(z) + b^z(z) = 1$$

$$\underline{e}_1 = (\sinh(az), \cosh(az), 0, 0)$$

Si el observador está siendo bombardeado con fotones (líneas a 45° del origen) que se ven a diferentes 't' del origen de coordenadas

3-9-8  
Estamos considerando un obs. acelerado en Minkowsky. Resulta interesante comprender mejor una base ortonormal. Las mediciones de los obs. son referidas a esa base: proyecciones de los 4-v sobre esos ejes

Teoría  
● Observador con cuadri-aceleración constante †



$$t(z) = a^{-1} \sinh(az)$$

$$x(z) = a^{-1} \cosh(az)$$

- Se quiere hallar base ortonormal
- frecuencia de observación de fotones (emitidos en el origen)

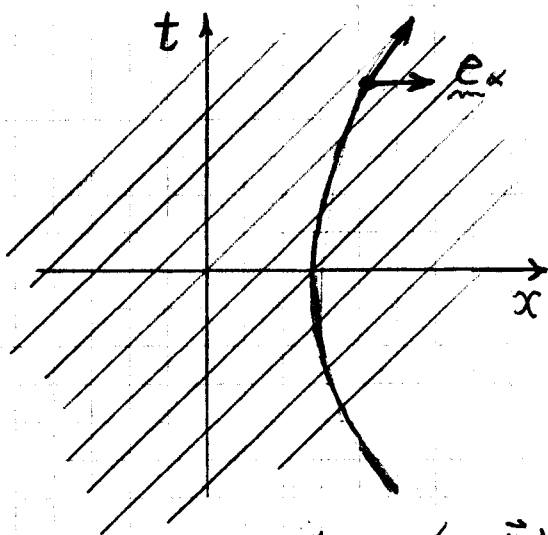
Suponemos movimiento solo en x, en y, z es constante. La línea de mundo la determinan t, x(z); calcularemos:

$$(U_{obs})^\alpha = \frac{dx^\alpha}{dz} \Rightarrow$$

$$(U_{obs})^t = \cosh(az)$$

$$(U_{obs})^x = \sinh(az)$$

† El obs. acelerado se ve a si mismo quieto



$$P = (E, \vec{p}) = \hbar \vec{k} = \hbar (\omega, \vec{k})$$

$P \cdot P = 0 \Rightarrow |\vec{k}| = \omega$ , para un fotón moviéndose en  $\hat{x}$  será:

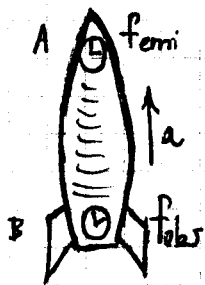
$$\vec{k} = \omega (1, 1, 0, 0)$$

La frecuencia obs. por nuestro sujeto será la proyección de  $\vec{k}$  en  $\vec{e}_3$

$$\omega_{obs} = -\vec{k} \cdot \vec{e}_3 = -\vec{k} \cdot \vec{U}_{obs}$$

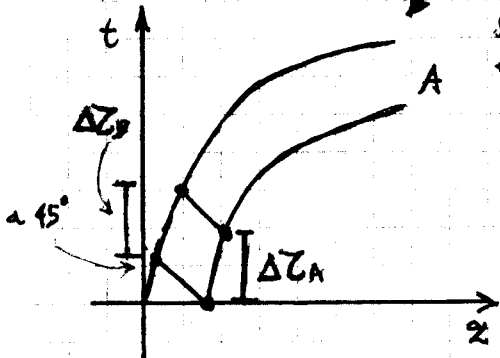
$$\omega_{obs} = \omega e^{-a\tau}$$

Detalle caso obvio para cálculos comienciendo al rojo



tomamos dos observadores acelerados 'A', 'B'. Sea que 'A' emite pulsos hacia abajo para que 'B' reciba. La frecuencia es la frecuencia propia de emisión  $1/\Delta\tau_A$ , y la frecuencia de observación será  $1/\Delta\tau_B$ .

Cuando el mov. es NO REL. los  $\Delta\tau$  son iguales, pero relativísticamente no serán los mismos.



son iguales, pero relativísticamente no serán los mismos.

● Gravedad & Geometría  
Asumiremos que siendo ausente la gravedad

$$ds^2 = \eta_{\mu\nu} dx^\mu dx^\nu$$

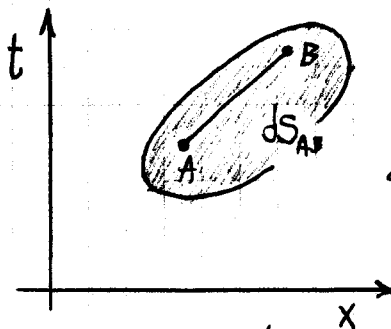
y en su presencia:

$$ds^2 = g_{\mu\nu}(x) dx^\mu dx^\nu$$

Entonces:

LA MATERIA Y LA ENERGÍA MODIFICAN LA MANERA DE MEDIR TIEMPOS Y DISTANCIAS (GEOMETRÍA DEL e-t)

La información de esto se mete en la métrica  $g_{\mu\nu}(x)$



donde A y B son puntos cercanos

Ahora para evaluar la distancia debe hacerse la cuenta:

$$ds_{AB}^2 = g_{\mu\nu} dx^\mu dx^\nu$$

, pero si A, B están temporalmente separados:

$$ds_{AB}^2 < 0 \Rightarrow -ds_{AB}^2 = d\tau_{AB}^2$$

Supondremos también que:

LA TRAYECTORIA DE UNA PARTÍCULA DE PRUEBA ES LA QUE HACE EXTREMO AL TIEMPO PROPIO

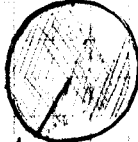
entonces vemos que la masa 'm' de la partícula de prueba no determina este movimiento.

Ahora queremos ver que una partícula que satisface el principio uno, satisface las leyes de Newton. A esto lo llamamos

Aún con Gravedad vale el principio variacional



● Limite Newtoniano



objeto masivo

$$\frac{GM}{R} \ll 1 \rightarrow$$

$$g_{\mu\nu}(x) = \eta_{\mu\nu} + h_{\mu\nu}(x)$$

$|h_{\mu\nu}(x)| \ll 1$  [campo débil]  
consideramos

$h_{\mu\nu} = h_{\mu\nu}(\vec{x})$   
es una partícula de prueba relativista.

$$Z_{AB} = \int_A^B (-ds)^2 = \int_A^B (-g_{\mu\nu} dx^\mu dx^\nu)^{1/2}$$

$$Z_{AB} = \int_A^B [-g_{00} dt^2 - 2g_{0i} dx^i dt - g_{ij} dx^i dx^j]^2$$

usando como parámetro el tiempo:

$$Z_{AB} = \int_{t_A}^{t_B} dt \left[ 1 - h_{00} - 2h_{0i} \frac{dx^i}{dt} - v^2 - h_{ij} \frac{dx^i}{dt} \frac{dx^j}{dt} \right]^{1/2}$$

$$g_{00} = \eta_{00} + h_{00} \sim 0 \text{ tiramos}$$

$$g_{0i} = \eta_{0i} + h_{0i} = 0$$

si considero los términos restantes y aproximo a 1er orden la raíz:

$$\int_{t_A}^{t_B} dt \left[ 1 - \left( \frac{v^2}{2} + h_{0i} v^i + \frac{h_{00}}{2} \right) \right] \approx Z_{AB}$$

calculando las ecuaciones de Euler-Lagrange serán:

$$\frac{d^2 x^i}{dt^2} = - \frac{\partial h_{00}}{\partial x^i}$$

pero como en física clásica:

$$\frac{d^2 \vec{x}}{dt^2} = -\vec{\nabla} \phi$$

podemos obtener Newton si tomamos:

$$h_{00} = -2\phi$$

Las ecuaciones de Euler-Lagrange obtenidas son equivalentes a las obtenidas de la acción

$$S_{AB} = \int_{t_A}^{t_B} \left( \frac{v^2}{2} + h_{0i} v^i + \frac{h_{00}}{2} \right) dt$$

$$\frac{d}{dt} \left( \frac{\partial Z}{\partial v^i} \right) = \frac{\partial Z}{\partial x^i}$$

$$\frac{d}{dt} [v^i + h_{0i}] = \left( \frac{\partial h_{0j}}{\partial x^i} \right) v^j + \frac{1}{2} \frac{\partial h_{00}}{\partial x^i}$$

me quedo a orden 1 en todas partes, con lo cual tiro dos términos

$$\frac{dh_{0i}}{dt} = \frac{dx^j}{dt} \frac{\partial h_{0i}}{\partial x^j}$$

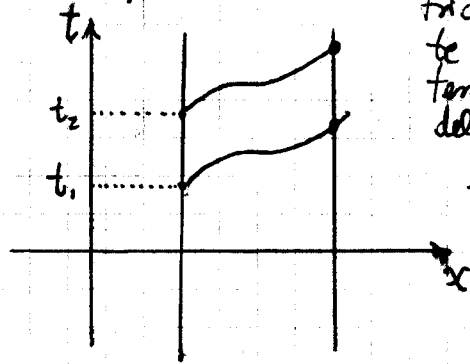
$$\frac{d^2 x^i}{dt^2} \approx \frac{1}{2} \frac{\partial h_{00}}{\partial x^i}$$

Para el caso del corrimiento al rojo gravitacional. Supondremos una métrica que no depende del tiempo:



$$g_{\mu\nu}(\vec{x})$$

Habríamos visto que las frecuencias de emisión y observación eran diferentes. Veamos una deducción diferente.



Sea que la fuente emite en  $t_1$  y en  $t_2$  como la métrica es invariante en el  $t$  tengo invariancia del dibujo

$$t_2 - t_1 = \Delta t_{em} = \Delta t_{obs}$$

porque el dibujos está trasladado al rojo.

La métrica es simétrica

$$h_{ij} \ll 1$$

$$\frac{dx^k}{dt} \ll 1$$

Parece que no hay movimiento, pero es en el  $\Delta Z$  donde se manifiesta el cambio.

$$(\Delta Z_{em})^2 = -g_{00}(x_{em})(\Delta t_{em})^2$$

$$\Delta Z_{em} = \sqrt{-g_{00}(x_{em})} \Delta t$$

$$\Delta t_{em} = \Delta t_{obs} = \Delta t$$

$$\Delta Z_{obs} = \sqrt{-g_{00}(x_{obs})} \Delta t$$

$$\Rightarrow \frac{\Delta Z_{em}}{\Delta Z_{obs}} = \frac{\sqrt{-g_{00}(x_{em})}}{\sqrt{-g_{00}(x_{obs})}} = \frac{f_{obs}}{f_{em}}$$

$$\Rightarrow f_{obs} = \frac{1}{\Delta Z_{obs}}, f_{em} = \frac{1}{\Delta Z_{em}}$$

Esto se hizo deducido para el límite de campo débil, aunque aquí es más general.

Volviendo a ese límite:

$$g_{00}(x) \approx -1 + h_{00}(x) \\ = -1 - 2\phi(x)$$

luego:

$$f_{obs} = f_{em} \sqrt{\frac{1 + 2\phi(x_{em})}{1 + 2\phi(x_{obs})}}$$

$$f_{obs} \approx f_{em} [1 + \phi(x_{em}) - \phi(x_{obs})]$$

(si  $\phi(x) \ll 1$ )

La idea es que parece resultar equivalente la gravedad con lo que se amida en los intervalos  $ds^2$  merced a la métrica  $g_{\mu\nu}$ .

Más adelante veremos que se puede elegir coordenadas en una situación de campo débil tal que:

$$ds^2 = -(1 + 2\phi) dt^2 + (1 - 2\phi)(dx^2 + dy^2 + dz^2)$$

en este supuesto vemos que el intervalo de tiempo propio resulta

$$\tau_{AB} = \int_A^B dt \left(1 - \frac{v^2}{2} + \phi\right)$$

(caso NR). Esta expresión se puede pensar como la acción de una partícula sometida a gravedad (recorrido de partícula libre). Si pienso en que la estoy forzando a ese recorrido veo que es directamente el  $\tau$  (tiempo propio) en la trayectoria A-B. El transcurso del tiempo diferente se debe a la dilatación del tiempo y al movimiento al rojo.

● Sistemas localmente inerciales. La métrica  $g_{\mu\nu}$  dependerá del sistema de coordenadas. En cada punto del et podemos elegir un sistema de coordenadas tal que la métrica en el nuevo sistema en ese punto será igual a la métrica de Minkowsky y además las derivadas respecto de las coordenadas en ese punto serán nulas.

$$\forall P \exists x^\mu : g_{\mu\nu}|_P = \eta_{\mu\nu}$$

$$\left. \frac{\partial g_{\mu\nu}}{\partial x^\rho} \right|_P = 0$$

y este es el llamado sistema localmente inercial.

### Práctica

#### ● Problema

Veremos la acción de una partícula en un campo EM

$$S = S_{PART. LIBRE} + S_{INT.}$$

$$S_{PL} = -mc^2 \int d\tau = -mc \int d\sigma_x$$

$$\sqrt{-\frac{dx^\mu}{d\sigma} \cdot \frac{dx^\mu}{d\sigma} g_{\mu\nu}}$$

$$= -mc^2 \int \sqrt{1 - \frac{v^2}{c^2}} d\tau$$

$$\downarrow \sigma = c\tau = x^0$$

T.V.

$$\mathcal{L}_{INT} = -q\phi$$

$$S_{NR} = -\frac{q}{c} \int \phi dt \cdot c$$

$= \frac{q}{c} \int A_0 dx^0$   
 , para el caso relativista es

$$S_R^{in} = \frac{q}{c} \int A_\mu dx^\mu$$

$$S_R^{in} = \frac{q}{c} \int \left( \frac{\vec{A} \cdot \vec{v}}{c} - \phi \right) dt$$

donde se recupera lo que ya sabemos para el caso NR.

$$S = \int_{t_1}^{t_2} \left( -mc^2 \sqrt{1 - \frac{v^2}{c^2}} + \frac{q}{c} \vec{A} \cdot \vec{v} - q\phi \right) dt$$

$\vec{x} \rightarrow \vec{x} + d\vec{x}$  con

$\delta\vec{x}(t_1) = \delta\vec{x}(t_2) = 0$ , pero aquí no estamos sobreescribiendo  $t'$  y  $\vec{x}'$  de igual manera. Podemos hacerlo explícitamente covariante

$$S = \int_{\sigma_1}^{\sigma_2} \left( -m \cdot c \sqrt{-\frac{dx^\mu}{d\sigma} \cdot \frac{dx^\nu}{d\sigma} \cdot \eta_{\mu\nu}} + \frac{q}{c} A_\mu \frac{dx^\mu}{d\sigma} \right), \text{ con}$$

$X^\mu \rightarrow X^\mu + \delta X^\mu$   $\delta X^\mu(\sigma_1) = \delta X^\mu(\sigma_2) = 0$

$$\delta S = \int_{\sigma_1}^{\sigma_2} d\sigma \left( -\frac{m \cdot c}{2} \frac{-z}{\sqrt{\dots}} \frac{d\delta X^\mu}{d\sigma} \right)$$

$$\frac{dx^\mu}{d\sigma} \eta_{\mu\nu} + \frac{q}{c} \frac{\partial A_\mu}{\partial X^\nu} \delta X^\nu \frac{dx^\mu}{d\sigma} + \frac{q}{c} A_\nu \frac{d\delta X^\mu}{d\sigma}$$

$$= \left( \frac{m \cdot c}{\sqrt{\dots}} \frac{dX^\mu}{d\sigma} + \frac{q}{c} A_\mu \delta X^\mu \right)$$

$$+ \int_{\sigma_1}^{\sigma_2} d\sigma \left( -m \cdot c \frac{d}{d\sigma} \left[ \frac{1}{\sqrt{\dots}} \frac{dX^\mu}{d\sigma} \right] - \frac{q}{c} \frac{dA_\mu}{d\sigma} + \frac{q}{c} \frac{\partial A_\nu}{\partial X^\mu} \cdot \frac{dX^\nu}{d\sigma} \right) \delta X^\mu$$

\*  $\sqrt{\dots} = dz/d\sigma$

Por valer cero en los bordes se hacen nulas las expresiones allí evaluadas. Escribimos:

$$\frac{dA_\mu}{d\sigma} = \frac{dX^\nu}{d\sigma} \partial_\nu A_\mu$$

$$\frac{dX^\nu}{dz} \cdot \frac{dz}{d\sigma}$$

$\delta S = 0$  con lo cual:

$$m c \frac{dz}{d\sigma} \cdot \frac{d^2 X^\mu}{dz^2} - \frac{q}{c} \frac{dz}{d\sigma} \partial_\nu A_\mu \cdot U^\nu$$

$$+ \frac{q}{c} \frac{\partial A_\nu}{\partial X^\mu} \frac{dX^\nu}{dz} \cdot \frac{dz}{d\sigma} = 0$$

$p_\mu = m \cdot \frac{dX_\mu}{d\tau}$

$$c \frac{dp_\mu}{dz} - \frac{q}{c} U^\nu (\partial_\nu A_\mu - \partial_\mu A_\nu) = 0$$

$$\boxed{\frac{dp^\mu}{dz} = \frac{q}{c^2} F^{\mu\nu} U^\nu}$$

con:

$$F^{\mu\nu} = \begin{pmatrix} 0 & E_x & E_y & E_z \\ -E_x & 0 & B_z & -B_y \\ -E_y & -B_z & 0 & B_x \\ -E_z & B_y & -B_x & 0 \end{pmatrix}$$

usando  $\vec{E} = -\frac{1}{c} \frac{\partial \vec{A}}{\partial t} - \vec{\nabla} \phi$

$\vec{B} = \vec{\nabla} \times \vec{A}$

$E_i = F_{0i}, F^{ij} = \epsilon^{ijk} B_k$

$B_j = \frac{1}{2} \epsilon_{jkh} F^{kh}$

$$\Rightarrow \frac{dp^0}{dz} = \frac{q}{c} F_{i0} U^i$$

$U = (\gamma(v), \gamma(v) \cdot \vec{v})$

$$\frac{dp^0}{dt} \cdot \frac{dt}{dz} = \frac{q}{c} \vec{E} \cdot \vec{v} \gamma(v)$$

$$\frac{d\vec{p}}{dt} = \frac{q}{c} \vec{E} \cdot \vec{v}$$

$$\frac{dE}{dt} = \frac{q}{c} \vec{E} \cdot \vec{v}$$

↑ energía

Es fácil ver que se tiene:

$$\frac{d\vec{p}}{dt} = q \left( \vec{E} + \frac{\vec{v}}{c} \times \vec{B} \right)$$

, pero si hacemos acá escalar con:

$$\vec{p} \text{ y usando } \frac{\vec{p} \cdot c^2}{E} = \vec{v}$$

se llega al resultado pedido.

### Teoría

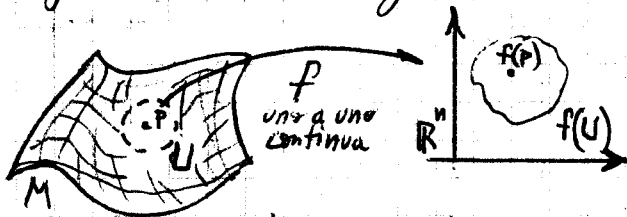
- Intra espacio-curvado

Podemos ver algo más en:

SCHUTZ, B., "Geometrical Methods of Mathematical Physics".

Supondremos espacio curvo, que matemáticamente denominamos VARIEDAD, en  $4D$ . Si  $M$  es un conjunto cualquiera le damos una estructura topológica definiendo cuando un conjunto es abierto.

Así podemos definir ENTORNO. Nos restringiremos a espacios topológicos localmente iguales a  $\mathbb{R}^n$ .



suponemos existe  $f: M \rightarrow \mathbb{R}^n$  que mapea al entorno  $U$  de  $P$  en un conjunto  $f(U)$  en  $\mathbb{R}^n$ .

Esto ocurre se dice que  $f(U)$  es una variedad de dimensión 'n'.

Las coordenadas de  $P$  serán:

$$[x^1(p), \dots, x^n(p)] \equiv \text{Coordenadas de } P$$

En este espacio introduciremos una noción de distancia. Sean dos puntos cercanos  $P$  y  $P'$ , entonces la distancia será:

$$ds^2 = g_{\mu\nu}(x) dx^\mu dx^\nu$$

donde  $g_{\mu\nu}(x)$  es la métrica de la variedad. Suponemos que es simétrica, real, de  $n \times n$  la métrica,

$g$  además  $\det \neq 0$   
 $g_{\mu\nu}(x)$ . Como es real y simétrica es diagonalizable siempre. Si  $\lambda$  son los autovalores

- $\lambda > 0 \Rightarrow$  Métrica Riemanniana

- algún  $\lambda < 0$   $\Rightarrow$  Métrica Lorentziana

esto se refleja en la SIGNATURA de la métrica.

En algún punto de la variedad es la signatura dada  $\Rightarrow$  no puede cambiar para otros puntos de la variedad. Se desprende del  $\det \neq 0$ . Si para algún punto es positivo debe pasar por el cero para cambiar de signo pero ello implicaría  $\det = 0$ .

El cambio de coordenadas se escribe:

$$x^\mu \rightarrow x'^\mu(x')$$

$$dx^\mu = \frac{\partial x^\mu}{\partial x'^\alpha} dx'^\alpha \quad dx^\nu = \frac{\partial x^\nu}{\partial x'^\beta} dx'^\beta$$

$$\Rightarrow ds^2 = g_{\mu\nu} dx^\mu dx^\nu =$$

$$= g_{\mu\nu}(x) \frac{\partial x^\mu}{\partial x'^\alpha} \frac{\partial x^\nu}{\partial x'^\beta} dx'^\alpha dx'^\beta$$

$$ds^2 = g'_{\alpha\beta}(x') dx'^\alpha dx'^\beta$$

es la métrica en el MISMO PUNTO  $P$  pero en función de las nuevas coordenadas

$$g'_{\alpha\beta}(x') = g_{\mu\nu}(x) \frac{\partial x^\mu}{\partial x'^\alpha} \frac{\partial x^\nu}{\partial x'^\beta} \quad [1]$$

Este hecho es remarkable: la geometría no cambia, pero sí el sistema de coordenadas. tomemos el ejemplo de  $\mathbb{R}^2$

$$ds^2 = dx^2 + dy^2 \quad g_{11} = 1 = g_{22} \\ g_{12} = g_{21} = 0$$

$$ds^2 = dr^2 + r^2 d\theta^2 \quad g'_{11} = 1, g'_{22} = r^2 \\ g'_{12} = g'_{21} = 0$$

- Sistemas localmente inerciales
- Querremos ver que en todo punto  $P$  de una variedad Lorentziana de dimensión 'n' es posible elegir un  $\star$  Usaremos esta



sistema de coordenados primario :  
la métrica sea la de Minkowski:

Es decir:

$$\bullet g'_{\mu\nu} \Big|_P = \eta_{\mu\nu} = \begin{pmatrix} -1 & 0 & 0 & 0 \\ 0 & 1 & 0 & 0 \\ 0 & 0 & 1 & 0 \\ 0 & 0 & 0 & 1 \end{pmatrix} \quad (2)$$

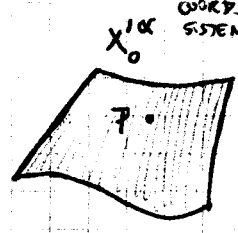
$$\bullet \frac{\partial g'_{\mu\nu}}{\partial x'^{\rho}} \Big|_P = 0 \quad (3)$$

pero en general NO es posible anular todas las segundas derivadas.  
Buscamos un cambio de coordenados:

$$(x^{\mu}, g_{\mu\nu}[x]) \longrightarrow (x'^{\lambda}, g'_{\lambda\rho}[x'])$$

tal que valga [1]. Supongamos:

localmente inercial: no puedo distinguir si hay o no gravedad.



COORD. EN EL SISTEMA

$$\frac{\partial x^\alpha}{\partial x'^{\mu}} = \frac{\partial x^\alpha}{\partial x'^{\mu}} \Big|_P +$$

$$\frac{\partial^2 x^\alpha}{\partial x'^{\mu} \partial x'^{\nu}} \Big|_P (x'^{\delta} - x_0^{\delta})$$

$$+ \frac{1}{2} \frac{\partial^3 x^\alpha}{\partial x'^{\rho} \partial x'^{\sigma} \partial x'^{\lambda}} \Big|_P (x'^{\delta} - x_0^{\delta})(x'^{\lambda} - x_0^{\lambda})$$

tomamos un desarrollo serie de Taylor. Desarrollemos para el término en \$x, P\$ (en [1]).

$$g_{\lambda\rho}(x) = g_{\lambda\rho}(x[x']) = g_{\lambda\rho}(x')$$

luego:

$$g_{\lambda\rho}(x) = g_{\lambda\rho} \Big|_P + \frac{\partial g_{\lambda\rho}}{\partial x'^{\delta}} \Big|_P (x'^{\delta} - x_0^{\delta})$$

$$+ \frac{1}{2} \frac{\partial^2 g_{\lambda\rho}}{\partial x'^{\delta} \partial x'^{\lambda}} \Big|_P (x'^{\delta} - x_0^{\delta})(x'^{\lambda} - x_0^{\lambda})$$

Ahora metemos el desarrollo para las derivadas parciales en la métrica

$$g'_{\mu\nu}(x') = \frac{\partial x^\alpha}{\partial x'^{\mu}} \cdot \frac{\partial x^\rho}{\partial x'^{\nu}} g_{\lambda\rho} \Big|_P$$

orden  
ant

$$+ (x'^{\delta} - x_0^{\delta}) \left[ \frac{\partial x^\alpha}{\partial x'^{\mu}} \cdot \frac{\partial x^\rho}{\partial x'^{\nu}} \cdot \frac{\partial g_{\lambda\rho}}{\partial x'^{\lambda}} + \frac{\partial x^\alpha}{\partial x'^{\mu}} \frac{\partial^2 x^\rho}{\partial x'^{\nu} \partial x'^{\lambda}} g_{\lambda\rho} + \frac{\partial^2 x^\alpha}{\partial x'^{\mu} \partial x'^{\delta}} \frac{\partial x^\rho}{\partial x'^{\nu}} g_{\lambda\rho} \right] + \frac{1}{2} (x'^{\delta} - x_0^{\delta})(x'^{\lambda} - x_0^{\lambda}) \left[ \dots \right] \Big|_P$$

donde la cosa [...] contiene derivadas segundas de \$g\_{\lambda\rho}\$ y derivadas terceras de \$x^\alpha\$

Cerca del punto \$P\$ el cambio de coordenados está definido por las derivadas

$$\frac{\partial x^\alpha}{\partial x'^{\mu}} \Big|_P; \frac{\partial^2 x^\alpha}{\partial x'^{\mu} \partial x'^{\lambda}} \Big|_P; \frac{\partial^3 x^\alpha}{\partial x'^{\mu} \partial x'^{\lambda} \partial x'^{\nu}} \Big|_P$$

Metemos más condiciones para lograr el objetivo. Quiero \$g(P)\$ que sea Minkowski. Es decir busco cumplir (2) lo cual se halla en:

$$\boxed{\frac{\partial x^\alpha}{\partial x'^{\mu}} \frac{\partial x^\rho}{\partial x'^{\nu}} g_{\lambda\rho} \Big|_P = \eta_{\mu\nu}}$$

que es una igualdad de dos matrices \$n \times n\$ simétricas. Tendremos:

$$n + \frac{n(n-1)}{2} = \frac{n(n+1)}{2}$$

ecuaciones ~~de~~ independientes. En 4D serán 10 ecuaciones.

Las incógnitas serán \$n^2\$

$$n^2 > \frac{n(n+1)}{2} \quad (n > 1)$$

de manera que si siempre podemos elegir derivadas primeras para que sean las de Minkowski; sobrantes

$$n^2 - \frac{n(n+1)}{2} = \frac{1}{2} n(n-1)$$

ecuaciones. Con \$n=4\$ fongo (16-10) ecuaciones y estas 6 sobrantes referen a la transformación de Lorentz (3 boosts y 3 rotaciones). Referen a los 6 parámetros libres del grupo de Lorentz

Vemos que al orden 0 más bajo se puede imponer (2).

Ahora queremos imponer (3).

Ahora queremos anular la derivada primera, es decir anular el término entre corchetes, lineal:

$$[\text{CORCHETE}] = 0$$

aparecen derivadas segundas del tipo:

$$\frac{\partial^2 x^\alpha}{\partial x^{\mu} \partial x^{\nu}}$$

para ajustar (porque hemos ya usado las derivadas primeras en el punto anterior).

Ahora tengo  $\frac{n^2(n+1)}{2}$  ecuaciones

siendo el número de incógnitas el mismo  $\frac{n \cdot n(n+1)}{2}$ , lo cual se ve en las  $\frac{n}{2}$  índices y usando la simetría de la matriz.

El hecho de que no podamos anular todas las derivadas segundas se desprende

$$\left. \frac{\partial^2 g_{\mu\nu}}{\partial x^\alpha \partial x^\beta} \right| = 0 \leftarrow \begin{array}{l} \text{ecuaciones} \\ \frac{1}{2} n(n+1) \cdot \frac{1}{2} n(n+1) \\ \frac{1}{2} \text{ arriba} \quad \frac{1}{2} \text{ abajo} \end{array}$$

$$[\text{CORCHETE}]_P = 0 \quad \frac{\partial^3 x^\alpha}{\partial x^{\mu} \partial x^{\nu} \partial x^{\rho}} \leftarrow \text{incógnitas}$$

$$\begin{array}{l} \lambda = \nu = \rho \rightarrow n \\ \neq \text{todas} \rightarrow \frac{n(n-1)(n-2)}{3!} \end{array}$$

$$\lambda = \nu \neq \rho \rightarrow \frac{n(n-1)}{2!} \leftarrow \begin{array}{l} \text{combinamos} \\ \text{las derivadas} \end{array}$$

entonces la suma de todas las posibilidades para:

$$n + \frac{n(n-1)}{2!} \cdot \left( \frac{n-2}{3!} + 1 \right) \Rightarrow$$

$$\# \text{ INCÓGNITAS: } \frac{n^2(n-1)(n+2)}{3!}$$

Un breve cuadro

	ECUACIONES	INCÓGNITAS
$n=2$	9	8
$n=3$	36	30
$n=4$	100	80

entonces NO SE PUEDEN ANULAR todas a la vez.

$$\eta = M g M^T, \quad g \text{ R y sim.}$$

orbitaria  $M = D.O$  (diagonal/ortogonal)

$$\eta = D O g O^T D$$

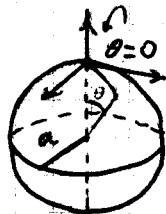
$$D = \begin{pmatrix} d_1 & & \\ & d_2 & \\ & & \ddots \end{pmatrix} \quad O g O^T = \begin{pmatrix} g_1 & & \\ & g_2 & \\ & & \ddots \end{pmatrix}$$

$$\eta = \begin{pmatrix} g_1 d_1^2 & & \\ & g_2 d_2^2 & \\ & & \ddots \end{pmatrix}$$

factor métrica

y estos se pueden hacer valer  $-1, 1, 1, \dots$  si la métrica es riemanniana se puede hacer que la métrica sea  $\mathbb{1}$  (sistema localmente plano). Consideremos el

• EJEMPLO



$$ds^2 = a^2 (d\theta^2 + \sin^2 \theta \cdot d\varphi^2)$$

$$l = a \cdot \theta$$

sea  $l$  la longitud del segmento. Cerca del polo norte:

$$\begin{cases} x = a \cdot \theta \cdot \cos \varphi \\ y = a \cdot \theta \cdot \sin \varphi \end{cases}$$

como si fuese plano, el cambio de coordenadas es:

$$\begin{aligned} \theta &= \frac{1}{a} \sqrt{x^2 + y^2} \\ \varphi &= \text{atan}(y/x) \end{aligned}$$

La métrica en el sistema XY

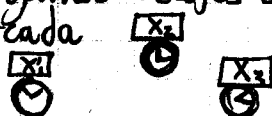
$$g_{ij} = \delta_{ij} + O[x^2, y^2, xy]$$

es la identidad más cosas de orden 2.

Este será el sistema localmente inercial en el polo norte.

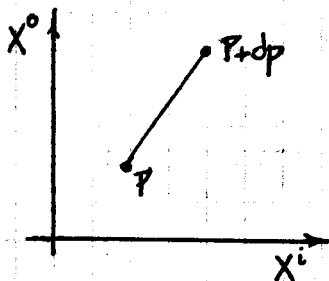
• Distancias e Intervalos temporales  
Queremos evaluar distancias espaciales.

Supongamos relojes con una coordenada marcada



Referencia: Landau, L.D., Classic theory of fields

Es un sistema  $(x^0, \vec{x})$ .



temporalmente separados

$$ds^2 < 0$$

$$ds^2 = -d\tau^2$$

es la interpretación física.

Supongamos que 'P' y 'P+dp' se hallan en el mismo LUGAR:

$$P = (x^0, \vec{x})$$

$$P+dp = (x^0+dx^0, \vec{x}) \Rightarrow$$

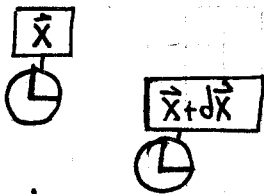
$$ds^2 = g_{\mu\nu} dx^\mu dx^\nu$$

$$ds^2 = g_{00} [dx^0]^2 = -d\tau^2$$

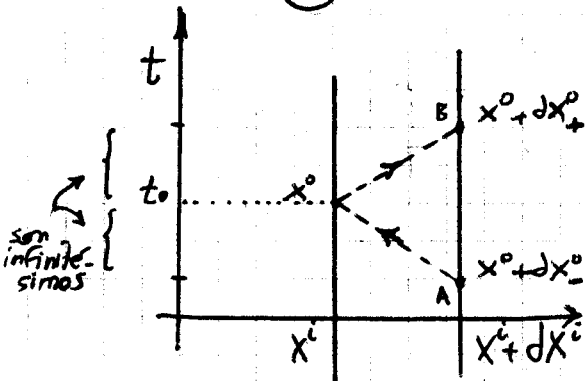
$$\Rightarrow d\tau = \sqrt{-g_{00}} \cdot dx^0$$

tiempo propio      tiempo coordenado

¿Cuál es la distancia entre los puntos de coordenadas  $x^i$  y  $x^i+dx^i$ ?



La mediremos mediante rayos de luz. Ilustremos:



definiremos la distancia espacial propia:

$$dl = \frac{1}{2} c \cdot \Delta\tau_{AB}$$

$$ds^2 = 0 \quad [\text{DEFINE LOS CONOS DE LUZ}]$$

$$ds^2 = g_{00} (dx^0)^2 + g_{ij} dx^i dx^j + 2g_{0i} dx^i dx^0$$

escrito explícitamente. Supongamos por simplicidad una métrica que no mezcla espacio-tiempo ( $g_{0i} = 0$ , con  $i=1,2,3$ ). Si vale que  $(ds)^2 = 0 \Rightarrow$

$$(dx^0)^2 = -g_{ij} dx^i dx^j / g_{00}$$

$$dx^0_{\pm} = \pm \sqrt{\frac{-g_{ij} dx^i dx^j}{g_{00}}}$$

donde los  $\pm$  se corresponden a los de la figura.

$$dl = \frac{1}{2} c \sqrt{-g_{00}} (dx^0_+ - dx^0_-)$$

$$dl = c \sqrt{+g_{ij} dx^i dx^j}$$

Si  $g_{0i} \neq 0$  la dl es algo más complicada.

$$dl = \sqrt{\gamma_{ij} dx^i dx^j} \cdot c$$

con  $\gamma_{ij} = g_{ij} - (g_{0i} \cdot g_{0j}) / g_{00}$

Práctica

Continuación

$$F^{\mu\nu} = \begin{pmatrix} 0 & E_x & E_y & E_z \\ -E_x & 0 & B_z & -B_y \\ -E_y & -B_z & 0 & B_x \\ -E_z & B_y & -B_x & 0 \end{pmatrix}$$

$$F^{ij} = \epsilon^{ijk} B_k$$

$$F^{0i} = E_{0i}$$

d) Sistemas de punto:

$$S = \int d^3x \left[ -\frac{1}{4} F_{\mu\nu} F^{\mu\nu} + J_\mu A^\mu \right]$$

se hace desde el  $\mathcal{L}$

$$\mathcal{L}(q, \dot{q}, t), \quad t \rightarrow \varphi_i(t)$$

$$L[\{A_\mu(\vec{x}), \vec{x} \in \mathbb{R}^3\}, t, A^\mu(\vec{x}, t)]$$

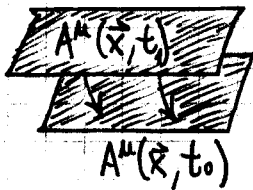
$$\{A_\mu(\vec{x}), \vec{x} \in \mathbb{R}^3, t\}$$

$$S = \int dt L[\dots] = \int dt \int d^3x \mathcal{L}[\dots]$$

, donde se introduce la densidad lagrangiana  $\mathcal{L} [ ]$ .

$$A^\mu \rightarrow A^\mu + \delta A^\mu$$

$$\delta A^\mu|_{t_0} = \delta A^\mu|_{t_1} = 0$$



Quiero algo explícitamente covariante. Ahora lo mandamos a

$$A^\mu \rightarrow A^\mu + \delta A^\mu$$

$$\delta A^\mu|_{\partial R} = 0$$

$\partial R \rightarrow$  frontera de la región

esto debería ser manifestamente covariante. EL  $\mathcal{L} [ ]$  debe ser un escalar de Lorentz:

$$\mathcal{L} [ A^\mu, \partial_\mu A^\nu, x^\mu ]$$

$$S = \int_R d^4x \mathcal{L} [ A^\mu, \partial_\mu A^\nu, x^\mu ]$$

Entonces variaremos la acción:

$$\delta S = \int_R d^4x \left[ -\frac{1}{4} \delta F_{\mu\nu} F^{\mu\nu} - \frac{1}{4} F_{\mu\nu} \delta F^{\mu\nu} + J_\mu \delta A^\mu \right]$$

$$\delta S = \int_R d^4x \left[ -\frac{1}{2} F^{\mu\nu} (\partial_\mu \delta A_\nu - \partial_\nu \delta A_\mu) + J_\mu \delta A^\mu \right]$$

$$= \int_R d^4x \left[ \frac{-\partial_\mu (F^{\mu\nu} \delta A_\nu)}{2} + \frac{\partial_\nu (F^{\mu\nu} \delta A_\mu)}{2} \right]$$

$$+ \int_R d^4x \left[ \frac{\partial_\mu F^{\mu\nu} \delta A_\nu}{2} + \frac{\partial_\nu F^{\mu\nu}}{2} \delta A_\mu \right]$$

$$\delta A_\mu + J_\mu \delta A^\mu$$

$$\delta A_\nu \left[ \frac{\partial_\mu F^{\mu\nu}}{2} - \frac{\partial_\mu F^{\nu\mu}}{2} + J^\nu \right]$$

una métrica donde vuelta?

$$= \int_R d^4x \delta A_\nu \left[ \partial_\mu F^{\mu\nu} + J^\nu \right]$$

$$\Rightarrow \boxed{\partial_\mu F^{\mu\nu} = -J^\nu}$$

$$J^\mu = (\rho, \vec{J})$$

$$\nu=0 \quad \partial_\mu F^{\mu 0} = -\rho = \partial_0 F^{00} + \partial_i F^{i0}$$

$$-\rho = -\partial_i E_i$$

$$\Rightarrow \boxed{\vec{\nabla} \cdot \vec{E} = \rho}$$

$$J^i = \partial_0 F^{i0} + \partial_j F^{ij}$$

$$J^i = -\frac{\partial E^i}{\partial t} + \partial_j B_k \epsilon^{ijk}$$

$$J^i = -\frac{\partial E^i}{\partial t} + (\vec{\nabla} \times \vec{B})^i$$

pero faltarían las ecuaciones con fuentes de Maxwell; que se logran con:

$$\partial_\rho F_{\mu\nu} + \partial_\nu F_{\rho\mu} + \partial_\mu F_{\nu\rho} = 0$$

antisimetrización de índices

$$\boxed{\partial_\rho F_{\mu\nu} + \partial_\nu F_{\rho\mu} + \partial_\mu F_{\nu\rho} = 0}$$

Con esto obtenemos las ecuaciones homogéneas de MAXWELL.

$$\vec{\nabla} \cdot \vec{B} = 0$$

$$\vec{\nabla} \times \vec{E} + \frac{\partial \vec{B}}{\partial t} = 0$$

El tensor dual:

$$F_{\mu\nu} = \frac{1}{2} \epsilon^{\rho\sigma}_{\mu\nu} F_{\rho\sigma}$$

$$\epsilon_{\mu\nu\rho\sigma} = \begin{cases} 1 & \mu\nu\rho\sigma \text{ perm. par} \\ -1 & \mu\nu\rho\sigma \text{ perm. impar} \\ 0 & \text{dos índices iguales} \end{cases}$$

$$F^{\mu'\nu'} = \Lambda^{\mu'}_{\mu} \Lambda^{\nu'}_{\nu} F^{\mu\nu}$$

### Teoría

● Tiempos Propio & Longitud Propria  
Habríamos diferenciado entre sistemas de 4D y de 3D+1D (posición y tiempo)

$x^0$  = coordenada temporal

$x^i$  = coordenada espacial

$i=1,2,3$

Arribamos a:

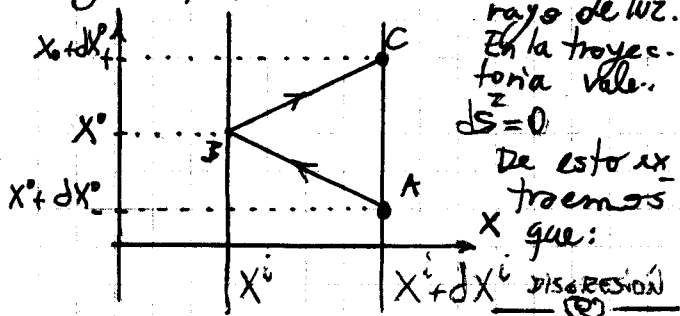
$$dZ = \sqrt{-g_{00}} dx^0$$

tiempo propio (físico) ← tiempo coordenado

1/3

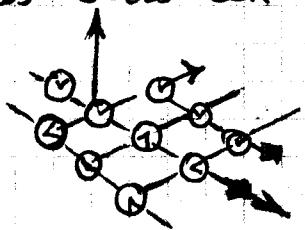
10-9-08

para el tiempo propio. Para la longitud propia la mediamos con un rayo de luz.



En la trayectoria vale  $ds=0$ . De esto  $dx$  tenemos que:

La idea es que el sistema coordinado son los relojes indicadores cuyos "LABELS" son fijos para que de ellos.



La distancia entre ellos cambiará dependiendo

de la métrica.

Si tenemos puntos en una banda flexible es posible "estirar" el espacio-tiempo de manera de conservar las coordenadas pero variando las distancias entre ellas.



Entonces, en general, será:

$$dl = \sqrt{[g_{ij} - \frac{g_{0i}g_{0j}}{g_{00}}] dx^i dx^j}$$

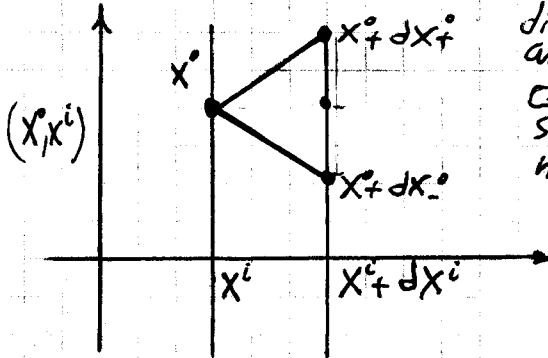
el que da las distancias entre puntos cercanos. Para puntos lejanos:

$$L = \int dl$$

Si  $g_{\mu\nu} = g_{\mu\nu}[x^0, \vec{x}]$ , Si  $g_{\mu\nu}$  depende de  $x^0$ .

• Simultaneidad

Queremos definir una manera de determinar cuando dos cosas son simultáneas.



$$(X^0, X^i) \text{ ES SIMULTÁNEO CON } (X^0 + \frac{1}{2}[dx^0 + dx^0], X^i + dx^i)$$

$$dx^0_{\pm} = \frac{1}{g_{00}} [-g_{0i} dx^i \mp \{(g_{0i}g_{0j} - g_{ij}g_{00}) dx^i dx^j\}^{1/2}]$$

Si  $g_{0i} = 0 \Rightarrow dX^0_+ + dX^0_- = 0$

$g_{0i} \neq 0 \Rightarrow \frac{1}{2}(dX^0_+ + dX^0_-) = -\frac{g_{0i} dx^i}{g_{00}}$

Esta definición de simultaneidad permite otra definición de la longitud propia:

$$dl^2 = dS^2 \text{ entre } P, P'$$

donde  $P = (x^0, x^i)$

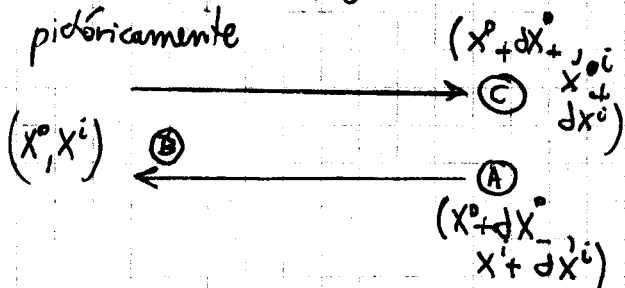
$P' = (x^0 + \frac{1}{2}[dx^0_+ + dx^0_-], x^i + dx^i)$

• Área y Volumen

si la métrica satisface  $g_{0i} = 0 \Rightarrow$

$$dl = \sqrt{g_{ij} dx^i dx^j}$$

pidiéndicamente



$$ds^2 = 0 = g_{00}(dx^0)^2 + g_{ij} dx^i dx^j + 2g_{0i} dx^0 dx^i$$

$$(dx^0)^2 = \frac{-g_{ij} dx^i dx^j}{g_{00}} \Rightarrow$$

$$(dx^0)_{\pm} = \pm \sqrt{\frac{g_{ij} dx^i dx^j}{g_{00}}}$$

Sea que  $g_{\mu\nu}$  es diagonal, entonces:

$$ds^2 = g_{00} (dx^0)^2 + g_{11} (dx^1)^2 + g_{22} (dx^2)^2 + g_{33} (dx^3)^2$$

$$dA = \sqrt{g_{11} g_{22}} dx^1 dx^2 = dl_1 dl_2$$

$$dV = \sqrt{g_{11} g_{22} g_{33}} dx^1 dx^2 dx^3$$

$$dV = \sqrt{-g_{00} g_{11} g_{22} g_{33}} dx^0 dx^1 dx^2 dx^3$$

$$dV = \sqrt{|g|} d^4x \quad \leftarrow \text{VALE EN GENERAL}$$

con  $g = \det(g_{\mu\nu})$ .

Al hacer un cambio de coordenadas

$$x^\alpha \rightarrow x'^\alpha$$

$$g'_{\mu\nu} = \frac{\partial x^\alpha}{\partial x'^\mu} \frac{\partial x^\beta}{\partial x'^\nu} g_{\alpha\beta}$$

luego tomando determinante se tendrá:

$$\det(g'_{\mu\nu}) \equiv g' = J^2 g$$

donde  $J$  es el jacobiano cuadrático.

Si el sistema primado es el localmente inercial, se ve que:

$$\sqrt{|g'|} = \frac{1}{|J|}, \quad g'_{\mu\nu} = \eta_{\mu\nu}$$

$$d^4x' = \left| \frac{\partial x'}{\partial x} \right| d^4x$$

$$d^4x' = |J|^{-1} d^4x = \sqrt{|g'|} d^4x$$

$$d^4x' = \sqrt{|g'|} d^4x$$

### ● EJEMPLO

Consideremos:

$$ds^2 = -A(r) dt^2 + B(r) dr^2 + r^2 d\Omega^2$$

$$[d\theta^2 + \sin^2\theta d\phi^2]$$

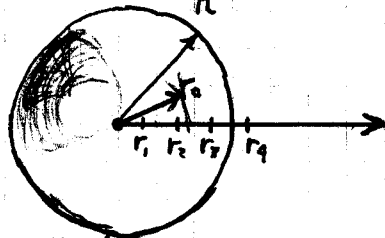
una variedad lorentziana descrita por esta cosa  $(t, r, \theta, \phi)$

● Si:  $A(r) = B(r) = 1$

esto es la métrica de Minkowski

$$B(r) = \begin{cases} 1 / (1 - \frac{2Mr^2}{R^3}) & r < R \\ 1 / (1 - \frac{2M}{r}) & r > R \end{cases}$$

es la métrica describiendo interior y exterior de una estrella de masa  $M$  y radio  $R$ . Veamos un poco intuitivamente. Si el radio es la longitud propia de un punto



con el origen de coordenadas. Pero evaluar la distancia física del origen al punto  $r_0$  (en AZUL). Será:

$$dl = \sqrt{B(r)} dr \Rightarrow$$

$$l = \int_0^{r_0} dr [B(r)]^{1/2} = a \cdot \text{asen} \left( \frac{r_0}{a} \right)$$

donde definiremos una constante:

$$a = \left( \frac{R^3}{2M} \right)^{1/2}$$

entonces  $r$  no nos da la longitud física (no me da el radio).

Sea ahora el volumen propio.

$$V = \int_0^{r_0} dr \int_0^\pi d\theta \int_0^{2\pi} d\phi \sqrt{B(r)} \sqrt{r^2} \sqrt{r^2 \sin^2\theta}$$

$\begin{matrix} \sqrt{B(r)} & r^2 & r^2 \sin^2\theta \\ g_{11}^{1/2} & g_{22}^{1/2} & g_{33}^{1/2} \end{matrix}$

amasando se puede hacer:

$$V = 4\pi a^3 \left[ \frac{1}{2} \text{asen} \left( \frac{r_0}{a} \right) - \frac{r_0}{2a} \left[ 1 - \left( \frac{r_0}{a} \right)^2 \right]^{1/2} \right]$$

por supuesto; con el límite  $r_0 \ll a$

$$V \approx 4\pi a^3 \frac{1}{3} \left( \frac{r_0}{a} \right)^3 = \frac{4\pi}{3} r_0^3$$

con dicho límite se obtienen los resultados euclídeos.

Se puede elegir un valor de  $R$  para que se reproduzca el valor euclídeo en el área pero NO en el volumen. Se puede hacer al revés y perdemos la del área en beneficio del volumen.

La parte  $A(r)$  no me interesa para el ejemplo

La métrica no depende del tiempo.

Esta cuenta usa  $G=1, c=1$  si  $A \ll 1$  vamos que  $l \rightarrow r_0$  [Lo esperable]

La idea es que parado en el centro puedes definir una coordenada radial de modo de que el valor calculado de esa coordenada represente REALMENTE el radio.

Yendo más lejos puedes hacer otro cambio de coordenadas

- $B(r) \cdot dr^2 = dp^2$
- $\frac{dp}{dr} = [B(r)]^{1/2} \Rightarrow$

$$ds^2 = -A(r[\rho]) dt^2 + dp^2 + r^2[\rho] (d\theta^2 + \sin^2\theta \cdot d\phi^2)$$

en este sistema de coordenadas  $\rho$  es la distancia propia al origen. ( $l = \rho$ ), y se integrará en  $\rho=0$  y  $\rho=\rho_0$ .

la interpretación física de la coordenada  $t$  sería el tiempo propio medido por observadores muy alejados de la estrella. Así:

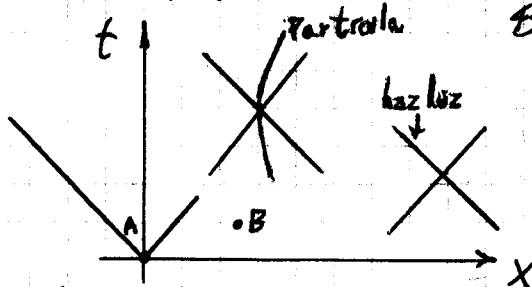
en  $r \rightarrow \infty$   $A(r), B(r) \rightarrow 1$

$$ds^2 = ds^2_{\text{MINKOWSKI}}$$

$$dZ = \sqrt{-g_{00}} \cdot dt$$

$$dZ = \sqrt{A(r)} \cdot dt$$

● EJEMPLO: Conos de Luz  
Sabemos que en la métrica de MINKOWSKY los conos son rectas a 45°

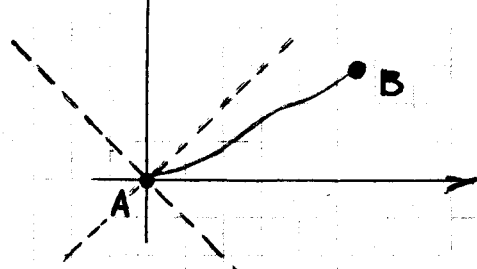


soluciones de  $ds^2 = 0$ .  
Para una partícula su trayectoria debe estar dentro del cono de luz y un haz de luz en los bor-

des. A y B no pueden estar conectados causalmente.

Existe una métrica de (1994) tal que en la trayectoria de A a B los conos estén orientados (modificando el espacio-tiempo) en una forma que sea posible su conexión causal.

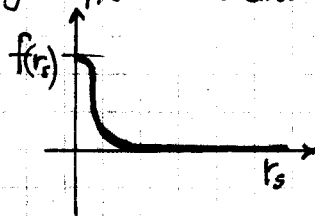
Definemos unas cuantas cosas:  
 $X_s(t)$



$$r_s^2 = (x - X_s(t))^2 + y^2 + z^2$$

$$ds^2 = -dt^2 + [dx - v_s(t) f(r_s) dt]^2 + dy^2 + dz^2$$

cerca de la curva es muy diferente de Minkowski; pero cuando me alejo tiende a ella.

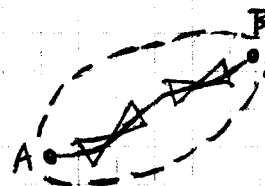


Los conos de luz (olvidando  $y, z$ ) quedarán ubi-cuados según

$$ds^2 = 0$$

$$dt = \pm [dx - v_s f(r_s) dt]$$

cerca de la curva los conos de luz se torcerán del modo ilustrado.



Igualmente habría que buscar una forma de torcer la estructura del espacio-tiempo. Igual se puede

ver no es posible realizar esta torcida.

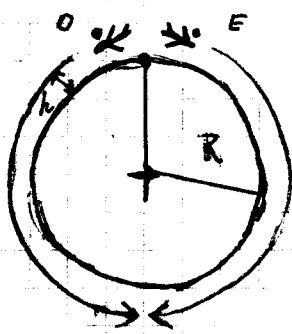
■ Práctica

La guía 3 trata de espacios curvos

● Problema 4

Algunas ventanitas de dilatación term

toral y movimiento al rojo gravita-  
torio.



$$|v_{e,0}| = v$$

$$v_{\oplus} \approx \frac{2\pi R_{\oplus}}{24 \text{ hs}}$$

La idea es com-  
parar la lectura  
de los tres relojes.

$d\tau_{\oplus}$  es el tiempo propio  
de un observador en  
la Tierra

En general:

$$d\tau^2 = \left(1 + \frac{2\phi}{c^2}\right) dt^2 - \frac{1}{c^2} \left(1 - \frac{2\phi}{c^2}\right) \times \sum_i^3 (dx^i)^2$$

donde  $t$  es el tiempo medido  
en el  $\infty$  o en el origen de coordena-  
das. El potencial será:

$$\phi(r) = -\frac{M_{\oplus} G}{R}, \quad R > R_{\oplus}$$

$$\phi=0 \quad d\tau^2 = dt^2 - \frac{1}{c^2} \sum_{i=1}^3 (dx^i)^2$$

$$d\tau_{\oplus}^2 = \left[1 + \frac{2\phi(R_{\oplus})}{c^2}\right] dt^2 - \frac{1}{c^2} \left[ \left(1 - \frac{2\phi(0)}{c^2}\right) \sum_{i=1}^3 \left(\frac{dx^i}{dt}\right)^2 \right] dt^2$$

⇒ podemos aproximar

$$\approx \left[ \left(1 + \frac{2\phi(R_{\oplus})}{c^2}\right) - \frac{v_{\oplus}^2}{c^2} \right] dt^2$$

$$[d\tau_{\oplus} = dt \left[ 1 + \frac{\phi(R_{\oplus})}{c^2} - \frac{v_{\oplus}^2}{2c^2} \right]]$$

Usaremos la aproximación:

$$\sqrt{1+\epsilon} \approx 1 + \frac{\epsilon}{2}, \quad \text{con } \epsilon \ll 1$$

$$d\tau_{e,0} = dt \left[ \left(1 + \frac{\phi(R_{\oplus}+h)}{c^2}\right) - \frac{1}{2c^2} v_{e,0}^2 \right]$$

† Es la  $\left| \frac{dx^i}{dt} \right|$

$$\frac{v_{e,0}^2}{c^2} \Big|_s \approx \left[ \frac{v_{e,0} + v_{\oplus}}{c} \right]^2$$

$$d\tau_{e,0} = dt \left[ 1 + \frac{\phi(R_{\oplus}+h)}{c^2} - \right.$$

$$\left. \frac{(v_{e,0})^2}{c^2} - \frac{v_{\oplus}^2}{c^2} - \frac{2v_{e,0}v_{\oplus}}{c^2} \right]$$

$$\int d(\tau_{e,0} - \tau_{\oplus}) = \int dt \left[ \frac{\phi(R_{\oplus}+h) - \phi(R_{\oplus})}{c^2} - \frac{v_{e,0}}{c^2} (v_{e,0} + 2v_{\oplus}) \right] = \Delta\tau$$

Consideramos el siguiente esquema de  
signos



positivo y roto hacia el  
Este

$$v_{\oplus} > 0, \quad v_E = v$$

$$v_o = -v$$

$$\Delta(\tau_e - \tau_o) < \Delta(\tau_o - \tau_{\oplus})$$

Tenemos los dos efectos (d: la ta-  
den temporal y movimiento al rojo)  
Si  $h \ll R_{\oplus}$

$$\Delta\tau_{e,0} \Big|_{\oplus} = \int dt \left[ \frac{hg}{c^2} - \frac{v}{2c^2} (v + 2v_{\oplus}) \right]$$

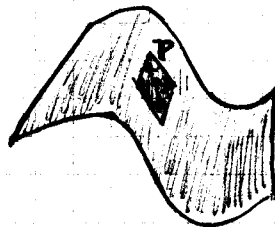
hay una competencia entre ambos e-  
fectos

■ Teoría

● Aspectos Matemáticos de la GR

- Programa de temas:
- Vectores y tensores en et curvos
  - Transporte paralelo y derivada covariante
  - Geodesicas
  - Tensor de curvatura (2 clases)

● Vectores en espacios curvos  
Intuitivamente pensar en una su-  
perficie curva (riemanniana). La idea  
es que cerca de un punto 'P' (es co-  
mo si fuese un  
plano) y conside-  
ramos pequeñas  
flechas sobre la  
superficie.  
Wegs, formahmen



En la 130s  
de HARTLE  
se comenta  
el experi-  
mento

15-9-08

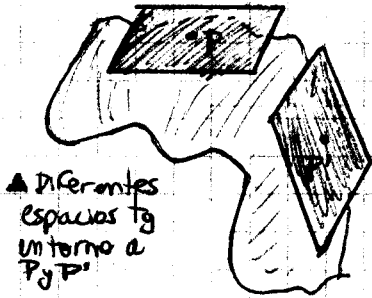


te puedo considerar el producto por un escalar, la suma, etc. para nuestro espacio-vectorial.

$$\underline{a} \rightarrow \lambda \underline{a}$$

$$\underline{a} + \underline{b} \rightarrow \underline{(a+b)}$$

Considero un plano tangente a la superficie, donde en dicho plano ocurre lo que estamos considerando. Pero en diferentes puntos los vectores viven sobre diferentes planos tangentes



Diferentes espacios tg. un tanto a P y P'

y para definir de nuevo tras pasar de un plano al otro (habrá que definir una derivada apropiada). En cada punto

P, introduzco una base  $\underline{e}_\alpha$

$$\underline{a} = a^\alpha \underline{e}_\alpha$$

Veremos dos tipos de base: coordenada y ortogonal.

La base coordenada es aquella en la cual un vector formado con pequeñas apartamientos da el vector cercano; es decir dado P un vector cercano, P', se escribe como los incrementos en las coordenadas:

Están cerca como puntos que están dif. cerca

$$X_{P'} = X_P + dX^\alpha$$



$$d\underline{x} = dx^\alpha \underline{e}_\alpha$$

$$\underline{a} \cdot \underline{b} = a^\alpha b^\beta \underline{e}_\alpha \cdot \underline{e}_\beta \quad (1)$$

esto es el producto interno usual. Los  $\underline{e}_\alpha$  no están aún normalizados y no son los versores usuales.

Ahora quiero definir el producto (1) de forma que

$$\underline{e}_\alpha \cdot \underline{e}_\beta \equiv g_{\alpha\beta}$$

Esto junto definirá la base coordena-

da. La base ortogonal la rotaremos con  $\hat{e}_\alpha$  y definiremos la considerando que

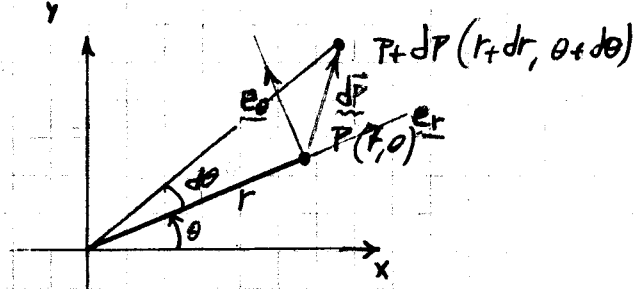
$$\underline{\hat{e}}_\alpha \cdot \underline{\hat{e}}_\beta = \gamma_{\alpha\beta}$$

esto se puede hacer con CL y reescalamiento [ortogonalización].

$$\underline{a} = a^\alpha \underline{e}_\alpha = a^\beta \underline{\hat{e}}_\beta$$

donde vamos que las componentes en general serán diferentes. Veamos el siguiente ejemplo:  $\mathbb{R}^2$  y coordenadas polares

$$ds^2 = r^2 d\theta^2 + dr^2$$



Sea el esquema y sepáramos que quiero escribir el  $d\underline{P}$

$$d\underline{P} = dr \underline{e}_r + d\theta \underline{e}_\theta$$

$$\underline{e}_r \cdot \underline{e}_r = g_{rr} = 1$$

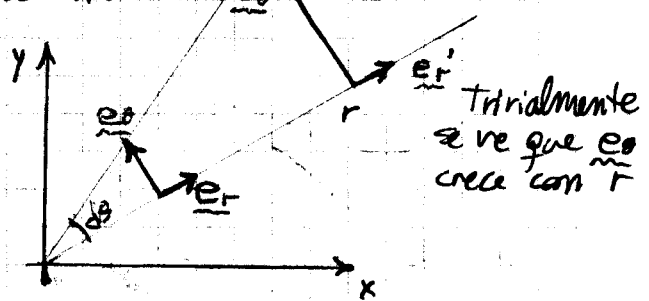
entonces  $\underline{e}_r$  está normalizado a 1; pero

$$\underline{e}_\theta \cdot \underline{e}_\theta = g_{\theta\theta} = r^2$$

no está normalizado (depende de 'r'). y además

$$\underline{e}_r \cdot \underline{e}_\theta = 0$$

No está normalizada la base, y se puede ver en:



Debido a que a veces es necesario que esto no suceda definir nuevas vectorcillas en cada punto. Ahora definimos:

$$\underline{e}_r; \underline{e}_\theta$$

Como base ortogonal; entonces:

$$\underline{e}_\alpha \cdot \underline{e}_\beta = \delta_{\alpha\beta}$$

Una opción de base ortogonal será:

$$\underline{e}_r \equiv \underline{e}_r \quad \underline{e}_\theta \equiv \underline{e}_\theta / r$$

con lo cual tenemos compensada la variación del  $\underline{e}_\theta$ . En esta nueva base

$$d\underline{p} = dr \underline{e}_r + r \cdot d\theta \underline{e}_\theta$$

$$d\underline{p} = dr \underline{e}_r + d\theta \underline{e}_\theta$$

No se puede conseguir en estas coordenadas que sean la misma la base coordenada y la ortogonal.

Ahora quisieramos ver el cambio de coordenadas

$$X^\alpha \rightarrow X'^\alpha$$

$$\underline{a} = a^\alpha \underline{e}_\alpha \Rightarrow$$

$$\underline{a} = a'^\beta \underline{e}'_\beta$$

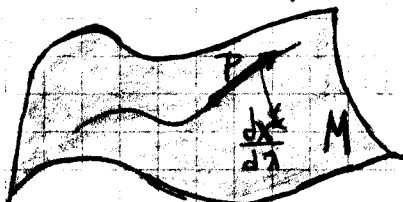
donde la  $\underline{e}'_\beta$  es una base ordenada asociada a  $X'^\alpha$ . Veamos que el cambio es:

$$d\underline{x} = dx^\alpha \underline{e}_\alpha = dx'^\alpha \underline{e}'_\alpha$$

pero:  $dx'^\alpha = \frac{\partial X'^\alpha}{\partial X^\beta} dx^\beta \Rightarrow$

$$a'^\alpha = \frac{\partial X'^\alpha}{\partial X^\beta} a^\beta \quad \dagger$$

Veamos una definición más precisa. Sea una variedad, un punto P y una curva pasando por ese punto



† Esto se usa en otro contexto como definición de vector.

$X^\alpha(\lambda) \equiv$  curva que pase por P

$$f: M \rightarrow \mathbb{R}^n$$

función que lleva de la variedad a  $\mathbb{R}^n$

$$f(X^\alpha(\lambda))$$

Entonces la derivada de la función a lo largo de la curva será:

$$\frac{df}{d\lambda} = \frac{dx^\alpha}{d\lambda} \frac{\partial f}{\partial x^\alpha}$$

derivada direccional

donde  $dx^\alpha/d\lambda$  tiene el sentido de vector tangente a la curva. Definimos

$$\frac{d}{d\lambda} \equiv \text{VECTOR TANGENTE A LA CURVA EN EL PUNTO P}$$

o sea que el vector es un operador diferencial. Siempre puede escribir

$$\frac{d}{d\lambda} = a^\alpha \frac{\partial}{\partial x^\alpha}$$

donde  $a^\alpha$  son las componentes del vector y  $\partial/\partial x^\alpha$  será la base coordenada.

Con estos objetos forma un espacio vectorial, dadas varias curvas que pasan por P definen con ellos el subespacio de dimensión 'n' (dim. de la variedad); que es el espacio tangente a la variedad en el punto 'P'.

$$\frac{d}{d\lambda}, \frac{d}{d\lambda'}, \frac{d}{d\lambda''}, \dots \rightarrow EV$$

Hemos formalizado el concepto de vectores como flechitas pequeñas, circunscritas a 'P'.

Un cambio de coordenadas finalmente se ve como:

$$\underline{a} = a^\alpha \frac{\partial}{\partial x^\alpha} = a'^\beta \frac{\partial}{\partial x'^\beta}$$

y dado

$$\frac{\partial}{\partial x^\alpha} = \frac{\partial X'^\beta}{\partial x^\alpha} \frac{\partial}{\partial x'^\beta}$$

$$\underline{a} = a^\alpha \frac{\partial X'^\beta}{\partial x^\alpha} \frac{\partial}{\partial x'^\beta}$$

$$= a^\beta \frac{\partial X'^\alpha}{\partial x^\beta} \frac{\partial}{\partial x'^\alpha} = a'^\alpha \frac{\partial}{\partial x'^\alpha}$$

$\Rightarrow$

$$a'^\alpha = a^\beta \frac{\partial X'^\alpha}{\partial x^\beta}$$

EL VECTOR ES UN OPERADOR DIFERENCIAL

Podemos emplear una notación:

$$\frac{\partial}{\partial x^\alpha} = \underline{e}_\alpha \quad [2]$$

y a esto [2] lo llamamos base coordenada. Podemos relacionar ambas bases:

$$\underline{a} = a^\alpha \underline{e}_\alpha = a'^\alpha \underline{e}'_\alpha$$

$$\Rightarrow \begin{cases} \underline{e}_\alpha = \underline{e}'_\beta \cdot \frac{\partial x'^\beta}{\partial x^\alpha} \\ \underline{e}'_\alpha = \underline{e}_\beta \cdot \frac{\partial x^\beta}{\partial x'^\alpha} \end{cases}$$

• Vectores, vectores duales o 1-formas

Una 1-forma  $\underline{\omega}$

translineal  $T_p \rightarrow \mathbb{R}$

$$\begin{aligned} \underline{\omega}(\underline{a}) &= \# \text{ real} \\ \underline{\omega}(a^\alpha \underline{e}_\alpha) &= a^\alpha \underline{\omega}(\underline{e}_\alpha) \end{aligned}$$

El conjunto de transformaciones lineales de  $T_p \rightarrow \mathbb{R}$  forman un espacio vectorial  $T_p^*$  (dual a  $T_p$ ).

En  $T_p^*$  introducimos una base:

$$\underline{\omega} = \omega_\alpha \underline{e}^\alpha$$

donde  $\underline{\omega}, \underline{e}^\alpha$  son transformaciones lineales y  $\omega_\alpha$  son las componentes de la TL en la base  $\underline{e}^\alpha$ .

Definiremos una base dual; a través de:

$$\underline{e}^\alpha(\underline{e}'_\beta) = \delta^\alpha_\beta$$

En esta base

$$\begin{aligned} \underline{\omega}(a^\alpha \underline{e}_\alpha) &= \omega_\beta \underline{e}'^\beta(a^\alpha \underline{e}_\alpha) \\ &= \omega_\beta a^\alpha \underline{e}'^\beta(\underline{e}_\alpha) \end{aligned}$$

$$\underline{\omega}(a^\alpha \underline{e}_\alpha) = \omega_\beta a^\alpha \delta^\beta_\alpha$$

Si estamos en la base dual esta es la acción de una 1-forma sobre la base.

entonces:

$$\omega_\alpha = \underline{\omega}(\underline{e}_\alpha)$$

Veamos un ejemplo usual: el gradiente de una función:

$$\underline{\nabla} f(\underline{t}) = \underline{t}^\alpha \frac{\partial f}{\partial x^\alpha} \quad \left( \begin{array}{l} \text{1 FORMA} \\ \text{GRAD de } f \\ \text{SOBRE UN} \\ \text{VECTOR} \end{array} \right)$$

$$\underline{\nabla} f \left( \frac{d}{d\lambda} \right) = \frac{df}{d\lambda}$$

En la base dual los componentes de la 1-forma será:

$$(\underline{\nabla} f)_\alpha = \underline{\nabla} f(\underline{e}_\alpha) = \frac{\partial f}{\partial x^\alpha}$$

las componentes de la 1-forma son las componentes del gradiente.

Ante un cambio de coordenadas

$$\underline{\omega} = \omega_\alpha \underline{e}^\alpha$$

$$\underline{\omega} = \omega'_\alpha \underline{e}'^\alpha$$

pero como  $\omega_\alpha = \underline{\omega}(\underline{e}_\alpha)$  y  $\omega'_\alpha = \underline{\omega}(\underline{e}'_\alpha)$

$$\omega'_\alpha = \underline{\omega} \left( \frac{\partial}{\partial x'^\alpha} \right) = \omega_\beta \underline{e}'^\beta \left( \frac{\partial}{\partial x'^\alpha} \right)$$

$$\omega'_\alpha = \underline{\omega} \left( \frac{\partial x'^\beta}{\partial x'^\alpha} \frac{\partial}{\partial x'^\beta} \right)$$

$$\omega'_\alpha = \frac{\partial x'^\beta}{\partial x'^\alpha} \omega_\beta \left( \frac{\partial}{\partial x'^\beta} \right) \Rightarrow$$

$$\boxed{\omega'_\alpha = \frac{\partial x'^\beta}{\partial x'^\alpha} \omega_\beta} \quad \text{Cambio Coordenadas de una 1-forma}$$

pero los vectores cambiaban:

$$a'^\alpha = a^\beta \frac{\partial x'^\alpha}{\partial x^\beta}$$

$$a^\alpha \longrightarrow dx^\alpha \quad \text{Transformación "como"}$$

$$\omega_\alpha \longrightarrow \frac{\partial}{\partial x^\alpha}$$

• Tensores:

Definiremos los tensores como

tensor  $\begin{pmatrix} M \\ N \end{pmatrix}$  via transformación

que va desde  $M \times N$  asignándole un número real con

$$\underbrace{T_p^* \times T_p^* \times \dots \times T_p^*}_M \text{ Formas} \times \underbrace{T_p \times T_p \times \dots \times T_p}_N \text{ Vectores} \longrightarrow \mathbb{R}$$

$$T(\underline{w}_1, \dots, \underline{w}_M, \underline{a}_1, \dots, \underline{a}_N) \longrightarrow \mathbb{R}$$

y un tensor  $\binom{1}{3}$  por ejemplo es:

$$T(\underline{w}_1, \underline{a}_1, \underline{a}_2, \underline{a}_3) \longrightarrow \mathbb{R}$$

Definimos las componentes del tensor como la acción sobre las coordenadas; entonces

$$T(\underline{e}^\alpha, \underline{e}^\beta, \underline{e}^\gamma, \underline{e}^\delta) = T^\alpha_{\beta\gamma\delta}$$

son las componentes del tensor. Conviene este como la acción del tensor sobre cualquier cosa (es como tener el comportamiento sobre la base en el álgebra usual).

Veamos ahora el cambio de las componentes ante un cambio de coordenadas. Como ejemplo:

$$\binom{1}{1} T^\alpha_\beta = T(\underline{e}^\alpha, \underline{e}^\beta)$$

$$T'^\alpha_\beta = \frac{\partial x'^\alpha}{\partial x^\delta} \frac{\partial x^\delta}{\partial x'^\beta} T^\delta_\delta$$

Como vector  
Como una 1-forma

$$T'^{\alpha\beta} = \frac{\partial x'^\alpha}{\partial x^\delta} \frac{\partial x'^\beta}{\partial x^\epsilon} \frac{\partial x^\delta}{\partial x'^\gamma} \frac{\partial x^\epsilon}{\partial x'^\gamma} T^\delta_\gamma$$

### Tensor Métrico

Un tensor métrico es el tensor métrico que tiene esta forma

$$\binom{0}{2} \text{ con } g(\underline{a}, \underline{b}) = \# \mathbb{R} \quad g: T_p \times T_p \rightarrow \mathbb{R}$$

pidiéndole que sea:

- Simétrico  $g(\underline{a}, \underline{b}) = g(\underline{b}, \underline{a})$
- tiene que  $\exists$  inversa

En la base coordinada serán las componentes de evaluar el tensor en la base

$$g(\underline{e}_\alpha, \underline{e}_\beta) = g_{\alpha\beta}$$

$$g_{\alpha\beta} = g_{\beta\alpha} \quad (\text{propiedad 1})$$

$$\exists [g_{\alpha\beta}]^{-1} \equiv g^{\alpha\beta} \quad (\text{propiedad 2})$$

Si existe un tensor métrico, puedes establecer una biyección entre vectores y 1-formas

Dado un  $\underline{a}^{\text{fix}}$ , me fabricas una 1-forma

$$g(\underline{a}^{\text{fix}}) = \underline{a} \quad \text{1-forma asociada al vector } \underline{a}$$

entonces

$$a_\alpha = g(\underline{a}, \underline{e}_\alpha) = g(a^\beta \underline{e}_\beta, \underline{e}_\alpha)$$

$$= a^\beta g(\underline{e}_\beta, \underline{e}_\alpha)$$

$$a_\alpha = a^\beta g_{\beta\alpha} \quad \text{simetría} \Rightarrow$$

$$a_\alpha = g_{\alpha\beta} a^\beta$$

desde aquí también podríamos meter la inversa para expresar:

$$a^\alpha = g^{\alpha\beta} a_\beta$$

Así nos podemos olvidar del tema componentes covariantes y contravariantes.

### Práctica

#### Problema 7

$$(r, x) \quad ds^2 = -x^2 dr^2 + 2dr dx$$

a)  $(r_0, x_0) \rightarrow$  conos de luz

b) ¿Variación de los conos con  $x$ ?

c)  $x > 0 \rightarrow x < 0$



Esto nos da idea de la estructura causal

del espacio-tiempo. Esta propiedad ocurre en presencia de BH.

(a)  $2x dx^2 = x dv^2 \Leftrightarrow$

- 1.  $dv = 0 \rightarrow v = v_p(\text{cte})$
- 2.  $2 dx = x \cdot dv \rightarrow$

$$\frac{dv}{dx} = \frac{2}{x}$$

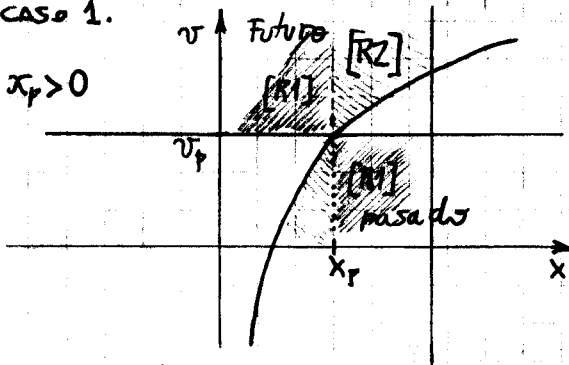
$$v(x) = \ln(x^2) + \text{cte}$$

$$v(x) = \ln\left(\frac{x^2}{x_p^2}\right) + v_p$$

Acá están las dos líneas del cono  $x \neq x_p \rightarrow v = \ln + v_p$

Caso 1.

$x_p > 0$



Decidir la causalidad implica ver que  $ds^2 < 0$  o  $ds^2 > 0$ .

$$ds^2 < 0 \quad -x dv^2 < -2 dx dv$$

$$dv^2 > \frac{2}{x} dx dv$$

abre dos caminos =

$dx dv < 0 \rightarrow \text{VALE [R1]}$

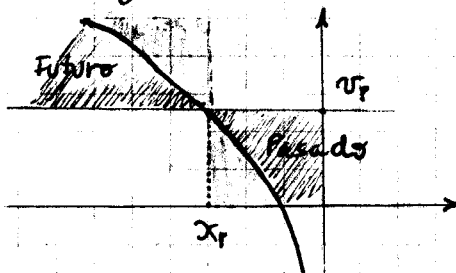
$dx dv > 0 \rightarrow \text{VALE [R2]}$

$$\frac{dv}{dx} > \frac{2}{x}$$

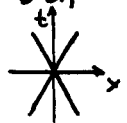
Ahora, qué es pasado y futuro necesita elegir la flecha del tiempo. Por ejemplo

$v$  CREC. hacia el futuro. deja el esquema marcado en rojo 'sangre' en el gráfico.

Caso 2.



el rol de la coordenada temporal no siempre está claro. Se pueden elegir de acuerdo a como me vengan bien



$$ds^2 = -dt^2 + dx^2$$

No se...  
fija porque  
no vale

$$ds^2 < 0$$

$$-x dv^2 + 2 dx dv < 0$$

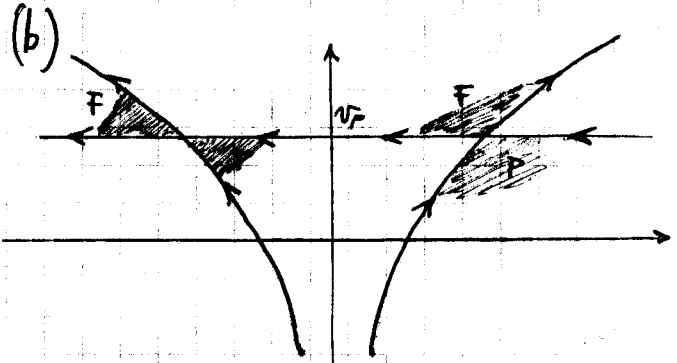
$$dv^2 < \frac{2}{x} dx dv$$

abre dos caminos

$dx dv > 0$  NO VALE

$dx dv < 0$  VALE

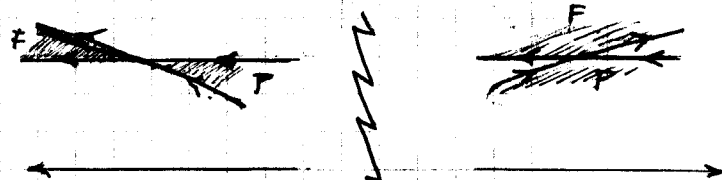
$$\frac{dv}{dx} > \frac{2}{x}$$



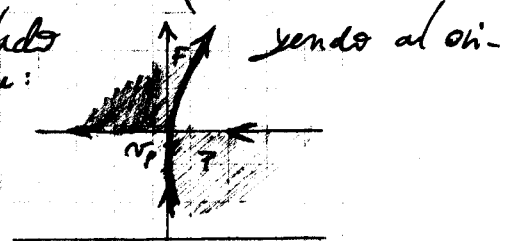
$$v = v_p$$

$$v(x) = \ln\left(\frac{x^2}{x_p^2}\right) + v_p \quad (v_p \text{ fixed})$$

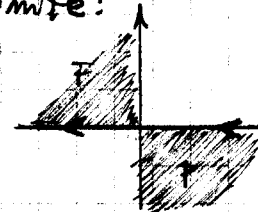
En los límites esperamos



Por otro lado gen sections:



Puede ir desde  $x > 0$  a  $x < 0$  siendo el caso límite:



La partícula que atraviesa  $x=0$  ya no puede regresar

● Problema 9 [Comentario]  
Una métrica conformemente plana

$$dS^2 = \Omega^2(x^\alpha) dS_{\text{Mink}}^2$$

↑ factor conforme

no cambia el carácter espacial temporal o nulo en una métrica conforme. Si están relacionados de esta forma tienen idéntica estructura CAUSAL y viceversa.

Dada una variedad de dimensión 'n' con una métrica y un  $dS^2$  asociados, si  $\Omega$  es suave y  $\Omega > 0$  con  $d\tilde{S}^2 = \Omega^2 dS^2 \Rightarrow$

$$g_{\mu\nu} = \Omega^2 g_{\mu\nu}$$

decimos que la métrica  $g_{\mu\nu}$  surge de la  $g_{\mu\nu}$  a partir de una transformación conforme.

■ Teoría  
● Bases Duales

Veníamos usando 1-formas, también llamadas "vectores duales"

$$\underline{\omega} = \omega_\alpha \underline{e}^\alpha$$

con

$$\underline{e}^\alpha(\underline{e}_\beta) = \delta^\alpha_\beta \neq$$

Notemos que el vector dual tiene el índice arriba (la base)

$$\underline{\omega}(\underline{a}) = \omega_\alpha a^\alpha \quad (\neq \mathbb{R})$$

El cambio de coordenadas se hacía como

$$\omega'_\alpha = \frac{\partial x^\beta}{\partial x'^\alpha} \omega_\beta$$

Los tensores  $(M, N)$  serán tales que

$$F(M \text{ vectores duales}, N \text{ vectores}) \rightarrow \mathbb{R}$$

$$F(\underline{e}^\alpha; \underline{e}^\beta; \dots; \underline{e}^\gamma; \underline{e}_\delta; \dots) = F^{\alpha\beta\dots\gamma}_{\delta\dots} \quad (M, N)$$

son los componentes del tensor. El cambio de coordenadas se materializa como.

↑ Define la base dual  $\underline{e}^\alpha$

$$F^{\alpha\beta\gamma}_{\delta} = \frac{\partial x'^\alpha}{\partial x^\delta} \frac{\partial x'^\beta}{\partial x^\epsilon} \frac{\partial x'^\gamma}{\partial x'^\delta} F^{\delta\epsilon\zeta}_{\zeta}$$

es decir que cambian como  $A^\alpha B^\beta C_\gamma$  (vectores los dos primeros y dual el último).

El tensor métrico  $\begin{pmatrix} 0 \\ 2 \end{pmatrix}$  cumplirá

$$g(\underline{a}, \underline{b}) = \underline{a} \cdot \underline{b}$$

$$g(\underline{e}_\alpha, \underline{e}_\beta) = g_{\alpha\beta}$$

$$(g_{\alpha\beta})^{-1} = g^{\alpha\beta}$$

Existe una correspondencia entre vectores y vectores duales. Dado  $\underline{a}$  (con componentes  $a^\alpha$ ) se construye la 1-forma

$$\underline{a} \equiv g(\underline{a}, \quad)$$

y se tiene:

$$\begin{aligned} a_\alpha &= g_{\alpha\beta} a^\beta \\ a^\alpha &= g^{\alpha\beta} a_\beta \end{aligned}$$

Podemos considerar  $a^\alpha, a_\alpha$  como las componentes contravariantes y covariantes de un único vector  $\underline{a}$ .

Así:

$$\begin{aligned} \underline{a} \cdot \underline{b} &= g(\underline{a}, \underline{b}) = g_{\alpha\beta} a^\alpha b^\beta \\ &= a_\beta b^\beta = a^\alpha b_\alpha \\ &= g^{\alpha\beta} a_\alpha b_\beta = \underline{a}(\underline{b}) \end{aligned}$$

Ahora consideremos la base dual  $\{\underline{e}^\alpha\}$ , ¿cuál será el vector asociado?

$$\underline{e}^\delta = g(\underline{e}^\delta, \quad)$$

$$\underline{e}^\delta(\underline{e}_\beta) = \delta^\delta_\beta \Rightarrow g(\underline{e}^\delta; \underline{e}_\beta) = \delta^\delta_\beta$$

debíamos probar que:

$$g(g^{\delta\sigma} \underline{e}_\sigma; \underline{e}_\beta) = \delta^\delta_\beta$$

para concluir que el vector asociado a  $\underline{e}^\delta$  es  $\underline{e}^\delta$ . Como  $g(\cdot, \cdot)$  es lineal

$$\begin{aligned} g(g^{\delta\sigma} \underline{e}_\sigma; \underline{e}_\beta) &= g^{\delta\sigma} g(\underline{e}_\sigma; \underline{e}_\beta) \\ &= g^{\delta\sigma} g_{\sigma\beta} = \delta^\delta_\beta \Rightarrow \end{aligned}$$

NB  
La transformación conforme preserva ángulos y la estructura causal.

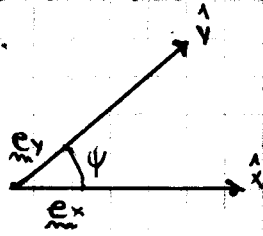
22-9-08

Ahora la base tiene el índice arriba

$$e^\alpha \leftrightarrow g^{\alpha\beta} e_\beta = e^\alpha$$

$$e^\delta(e_\mu) = \delta^\delta_\mu = e^\delta \cdot e_\mu$$

Veamos un ejemplo en  $\mathbb{R}^2$ , donde escribamos una métrica



$$ds^2 = dx^2 + dy^2 + 2\cos\psi dx dy$$

$$g_{xx} = g_{yy} = 1$$

$$g_{xy} = g_{yx} = \cos\psi$$

la base coordenada vice:

$$e_\alpha \cdot e_\beta = g_{\alpha\beta}$$

$$e_x \cdot e_x = e_y \cdot e_y = 1$$

$$e_x \cdot e_y = \cos\psi$$

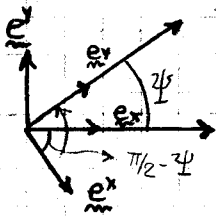
y que vamos a ver que enes son  $e^x, e^y$ . Como vale

$$e^\alpha \cdot e_\beta = \delta^\alpha_\beta$$

$$e^x \cdot e_y = 0 \quad e^y \cdot e_x = 0$$

$$e^x \cdot e_x = 1 \quad e^y \cdot e_y = 1$$

esto gráficamente se visualiza según el dibujo. Analíticamente planteamos que:



$$e_x \cdot e_y = \cos\psi$$

$$|e_x| |e_y| = \cos\psi$$

$$= 1 \cdot 1 \cdot \cos\psi$$

$$e^x \cdot e_x = 1 =$$

$$|e^x| |e_x| \cos(\pi/2 - \psi)$$

pero  $|e_x| = 1$  con lo cual

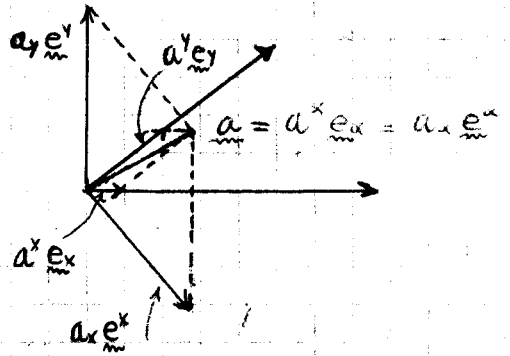
$$|e^x| = \frac{1}{\sin(\psi)}$$

y a su vez:

$$|e^y| = \frac{1}{\sin(\psi)}$$

Para un vector  $a$  cualquiera será posible descomponerlo según la figura de la columna siguiente.

Esto ilustra la idea de que dado un vector  $a$  es el mismo en cualquier sistema de coordenadas y la variación



de las coordenadas en diferentes sistemas es compensada por la variación de la base.

Las identidades entre tensores se deben mantener en todos los sistemas inerciales:

$$F_{\mu\nu} = H_{\mu\nu} \Leftrightarrow F^\mu{}_\nu = H^\mu{}_\nu$$

$$\Leftrightarrow F^{\mu\nu} = H^{\mu\nu} \text{ con}$$

$$F^\mu{}_\nu = g^{\alpha\beta} F_{\alpha\beta} \quad F_{\mu\nu} = g_{\mu\sigma} F^\sigma{}_\nu$$

$$A^\alpha = B^\alpha \Leftrightarrow A_\alpha = B_\alpha$$

Las relaciones entre tensores NO DEPENDEN DEL SISTEMA DE COORDENADAS. Así, si tenemos

$$F_{\mu\nu} - H_{\mu\nu} = 0$$

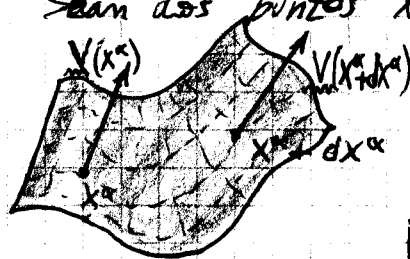
$$S_{\mu\nu} = 0$$

en un sistema, entonces vale en TODO sistema, pues las transformaciones de coordenadas son lineales. Luego:

$$S_{\mu\nu} = 0 \Rightarrow S'^{\mu\nu} = 0$$

### Derivada Covariante

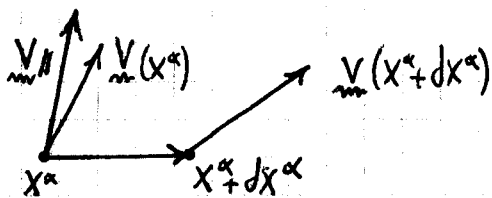
Sean dos puntos  $x^\alpha$  y  $x^\alpha + dx^\alpha$  en variedades diferentes (diferentes "T")



Definiremos

$$V_{||} \equiv V(x+dx)$$

transportados paralelamente



entonces:

$$dx = \epsilon \underline{t}$$

y definimos la DERIVADA COVARIANTE en la direccion  $\underline{t}$ :

$$\nabla_{\underline{t}} V = \lim_{\epsilon \rightarrow 0} \frac{V(x) - V(x)}{\epsilon}$$

y ahora definimos que carajas es el TRANSPORTE PARALELO

Tenemos dos definiciones posibles • I

$$V_{||}^\alpha(x) = V^\alpha(x+dx) + \tilde{\Gamma}_{\beta\gamma}^\alpha(x) V^\beta(x)$$

$$V^\beta(x) \in t^\beta$$

donde  $\tilde{\Gamma}_{\beta\gamma}^\alpha(x)$  es la "conexión afín". Así:

$$(\nabla_{\underline{t}} V)^\alpha = t^\beta \left( \frac{\partial V^\alpha}{\partial X^\beta} + \tilde{\Gamma}_{\beta\gamma}^\alpha V^\gamma \right)$$

• II

Proveamos que la derivada covariante es tal que en un SLI coincide con la derivada ordinaria

$$(\nabla_{\underline{t}} V)^\alpha = t^\beta \frac{\partial V^\alpha}{\partial X^\beta} \quad (\text{EN UN SLI})$$

Entonces definimos que  $\nabla_X$  sea el tensor  $\binom{1}{1}$  tal que en el SLI tiene componentes:

$$\text{EN SLI: } \frac{\partial V^\alpha}{\partial X^\beta} \equiv \nabla_\beta V^\alpha \equiv V^\alpha_{;\beta}$$

Es decir que esta igualdad vale SOLO en el SLI (en general).

Ahora sea que cambiemos de sistema de coordenadas. Si "X" es el SLI, y "x" es un sistema general. Para un objeto de dos índices escribimos:

$$\nabla_\beta V^\alpha = \frac{\partial X^\alpha}{\partial x^\beta} \frac{\partial X^\epsilon}{\partial x^\beta} \frac{\partial V^\delta}{\partial X^\epsilon}$$

donde el último factor es la derivada de las componentes del vector en el

\*  $\Gamma_{\beta\gamma}^\alpha$  No es un tensor

≠ notación de derivada covariante. Para derivada ordinaria es  $\frac{\partial V^\alpha}{\partial X^\beta} = \partial_\beta V^\alpha = V^\alpha_{;\beta}$

SLI respecto de las coordenadas en el SLI. Para un objeto de un índice

$$V'^\delta = \frac{\partial X'^\delta}{\partial X^\beta} V^\beta$$

entonces:

$$\nabla_\beta V^\alpha = \frac{\partial X^\alpha}{\partial X'^\delta} \frac{\partial X'^\epsilon}{\partial X^\beta} \frac{\partial}{\partial X'^\epsilon} \left( \frac{\partial X'^\delta}{\partial X^\beta} V^\beta \right)$$

con el ( ) siendo

$$\left( \right) = \frac{\partial X'^\delta}{\partial X^\beta} \frac{\partial V^\beta}{\partial X'^\epsilon} + \frac{\partial^2 X'^\delta}{\partial X'^\epsilon \partial X^\beta} V^\beta$$

y la derivada segunda se reescribe:

$$\frac{\partial^2 X'^\delta}{\partial X'^\epsilon \partial X^\beta} \frac{\partial X^\nu}{\partial X'^\epsilon}$$

entonces:

$$= \frac{\partial V^\alpha}{\partial X^\beta} + \frac{\partial X^\alpha}{\partial X'^\delta} \frac{\partial X'^\epsilon}{\partial X^\beta} \frac{\partial^2 X'^\delta}{\partial X'^\epsilon \partial X^\beta} \frac{\partial X^\nu}{\partial X'^\epsilon} V^\nu$$

$$\nabla_\beta V^\alpha = \frac{\partial V^\alpha}{\partial X^\beta} + \frac{\partial X^\alpha}{\partial X'^\delta} \frac{\partial^2 X'^\delta}{\partial X'^\epsilon \partial X^\beta} V^\beta \Rightarrow$$

$$\nabla_\beta V^\alpha = \frac{\partial V^\alpha}{\partial X^\beta} + \Gamma_{\beta\gamma}^\alpha V^\gamma$$

DERIVADA COVARIANTE

donde los  $\Gamma_{\beta\gamma}^\alpha = \Gamma_{\gamma\beta}^\alpha$  es la conexión afín: los símbolos de Christoffel.

Pero notemos que  $\frac{\partial V^\alpha}{\partial X^\beta}$  y los  $\Gamma_{\beta\gamma}^\alpha$  no son tensores. Si los calculo en otro sistema las componentes en ese sistema no son CL de estas. En el SLI son  $\Gamma = 0$  y ahí sí es un tensor  $\nabla_\beta V^\alpha \equiv \partial_\beta V^\alpha$ .

Análogamente podemos definir:

tensor  $\binom{0}{2}$ :  $\nabla_\beta V_\alpha = \partial_\beta V_\alpha$  (EN UN SLI)

y se llega a

$$\nabla_\beta V_\alpha = \frac{\partial V_\alpha}{\partial X^\beta} - \Gamma_{\alpha\beta}^\gamma V_\gamma$$

En general:

$$\nabla_\beta T^{\alpha\gamma} = \partial_\beta T^{\alpha\gamma} + \Gamma_{\beta\delta}^\alpha T^{\delta\gamma} + \Gamma_{\beta\delta}^\gamma T^{\alpha\delta}$$

$$\nabla_\beta T^{\alpha\dots} = \partial_\beta T^{\alpha\dots} + \Gamma_{\beta\gamma}^\alpha T^{\gamma\dots} + \dots$$

↑ índice covariante  
↑ índice contra-

• Relación entre  $\Gamma_{\beta\gamma}^\alpha$  y  $g_{\mu\nu}$

$$\frac{\partial V^\alpha}{\partial X^\beta} = \partial_\beta V^\alpha = V^\alpha_{;\beta}$$



$$\boxed{\nabla_{\alpha} g_{\mu\nu} = 0} \quad \left( \begin{array}{l} \text{EN EL} \\ \text{SLI} \end{array} \right)$$

dado que en el SLI, la derivada covariante coincide con la ordinaria y esta última es nula.

Recordemos que

$$g_{\mu\nu} = g_{\nu\mu}$$

$$\Gamma_{\alpha\beta}^{\lambda} = \Gamma_{\beta\alpha}^{\lambda}$$

$$\nabla_{\alpha} g_{\mu\nu} = 0$$

$$\nabla_{\alpha} g_{\mu\nu} = \partial_{\alpha} g_{\mu\nu} - \Gamma_{\alpha\mu}^{\lambda} g_{\lambda\nu} - \Gamma_{\alpha\nu}^{\lambda} g_{\mu\lambda} \quad (1)$$

$$\nabla_{\nu} g_{\alpha\mu} = 0$$

$$\nabla_{\nu} g_{\alpha\mu} = \partial_{\nu} g_{\alpha\mu} - \Gamma_{\alpha\nu}^{\lambda} g_{\lambda\mu} - \Gamma_{\mu\nu}^{\lambda} g_{\alpha\lambda} \quad (2)$$

$$\nabla_{\mu} g_{\alpha\nu} = 0$$

$$\nabla_{\mu} g_{\alpha\nu} = \partial_{\mu} g_{\alpha\nu} - \Gamma_{\mu\alpha}^{\lambda} g_{\lambda\nu} - \Gamma_{\mu\nu}^{\lambda} g_{\alpha\lambda} \quad (3)$$

Mediante permutaciones de índices, y haciendo

$$(2) + (3) - (1) = 0$$

$$2\Gamma_{\nu\mu}^{\lambda} g_{\alpha\lambda} = \partial_{\mu} g_{\alpha\nu} + \partial_{\nu} g_{\alpha\mu} - \partial_{\alpha} g_{\mu\nu}$$

multiplicando a izquierda por  $g^{\alpha\beta}$

$$\Gamma_{\nu\mu}^{\rho} = \frac{g^{\alpha\rho}}{2} (\partial_{\mu} g_{\alpha\nu} + \partial_{\nu} g_{\alpha\mu} - \partial_{\alpha} g_{\mu\nu})$$

y he despejado los símbolos en función de la métrica.

Podemos escribir:

$$\boxed{\Gamma_{\mu\nu}^{\rho} = \frac{g^{\alpha\rho}}{2} (g_{\alpha\mu,\nu} + g_{\alpha\nu,\mu} - g_{\mu\nu,\alpha})}$$

donde vemos que se cumple

$$\Gamma_{\mu\nu}^{\rho} = \Gamma_{\nu\mu}^{\rho}$$

Otra alternativa para obtener el mismo resultado es

- A: imponer simetrías
- B: imponer derivada covariante nula

$$\bullet A \quad \left[ \Gamma_{\mu\nu}^{\rho} = \Gamma_{\nu\mu}^{\rho} \right]$$

$$\bullet B \quad \left[ \nabla_{\alpha} g_{\mu\nu} = 0 \right]$$

- Propiedades de la Derivada Covariante

- Regla de Leibnitz

$$\nabla_{\alpha} (A^{\mu} B_{\nu}) = (\nabla_{\alpha} A^{\mu}) B_{\nu} + A^{\mu} (\nabla_{\alpha} B_{\nu})$$

- Índices contráctos hacen que se comporte como vector una cantidad de rango mayor

$$\nabla_{\rho} [T^{\mu\lambda}] = \partial_{\rho} T^{\mu\lambda} + \Gamma_{\rho\nu}^{\mu} T^{\nu\lambda}$$

- La métrica sale fuera

$$\nabla_{\rho} (g^{\mu\nu} T_{\mu\sigma}^{\alpha}) = g^{\mu\nu} \nabla_{\rho} (T_{\mu\sigma}^{\alpha})$$

- La diferencia de derivadas con índices traspuestos amala los símbolos

$$\nabla_{\rho} V_{\mu} - \nabla_{\mu} V_{\rho} = \partial_{\rho} V_{\mu} - \partial_{\mu} V_{\rho}$$

- Existe una "espeje" de divergencia covariante

$$\nabla_{\mu} V^{\mu} = \frac{1}{\sqrt{g}} \partial_{\mu} (\sqrt{g} V^{\mu})$$

Para un escalar tenemos

$$\square \varphi \equiv \nabla^{\alpha} (\nabla_{\alpha} \varphi)$$

$$\nabla^\mu (\nabla_\mu \varphi) = \frac{1}{\sqrt{g}} \partial_\mu (\sqrt{g} g^{\mu\nu} \partial_\nu \varphi)$$

, donde  $\varphi$  es una función escalar.

### Práctica

● Conceptos de Tensores  
Dada una variedad de dimensión  $n$  lorentziana

$g(\cdot, \cdot)$  tensor  $\begin{pmatrix} 0 \\ 2 \end{pmatrix}$  simétrico no degenerado

$$g(v, v) = 0 \quad \forall v \Rightarrow v = 0$$

Dado  $P \in M$ :

$$g(\cdot, \cdot) \quad T_P \times T_P \rightarrow \mathbb{R}$$

$$g(u, v) = u \cdot v = v \cdot u \quad \text{con } u, v \in T_P$$

Dado  $v \in T_P$   $g(\cdot, v) \in T_P^* : T_P \rightarrow \mathbb{R}$

$$g(\cdot, \cdot) : T_P \rightarrow T_P^* \quad (v \mapsto g(\cdot, v))$$

Entonces existe una biyección:

$$\underline{v} \in T_P \iff \underline{v} \in T_P^*$$

de forma tal que:

$$g(\cdot, \underline{v}) \equiv \underline{v}$$

Recordemos que:

$$\underline{v} = v^\alpha \underline{e}_\alpha \quad \begin{array}{l} \text{VECTOR ESCRITO} \\ \text{EN LA BASE DE VECTORES} \end{array}$$

$$\underline{v} = v_\beta \underline{e}^\beta \quad \begin{array}{l} \text{1-FORMA ESCRITA} \\ \text{EN LA BASE DE 1-FORMAS} \end{array}$$

Tomando un punto  $P$  de la variedad  $M$ , y un sistema localmente inercial (SLI) de coordenadas  $\xi^\alpha$ , definimos una base coordenada

$$\{\underline{e}_\alpha^P\}$$

y tendré una base ortormal

$$\{\underline{e}^\alpha_P\}$$

En ese punto  $P$  la métrica es la de MINKOWSKI

$$g(\underline{e}_\alpha^P, \underline{e}^\beta_P) = \eta_{\alpha\beta}$$

Esta métrica transformará a

acuerdo a:

$$g_{\alpha\beta} = \frac{\partial \xi^{\hat{\alpha}}}{\partial x^\alpha} \frac{\partial \xi^{\hat{\beta}}}{\partial x^\beta} \eta_{\hat{\alpha}\hat{\beta}} \quad [1]$$

, pero

$$\frac{\partial \xi^{\hat{\alpha}}}{\partial x^\alpha} = (\underline{e}^\alpha_P)^{\hat{\alpha}}$$

$$\frac{\partial \xi^{\hat{\beta}}}{\partial x^\beta} = (\underline{e}^\beta_P)^{\hat{\beta}}$$

, y entonces

$$g_{\alpha\beta} = g(\underline{e}^\alpha_P, \underline{e}^\beta_P)$$

En [1] vemos que los primeros factores son los vectores de la nueva base escritos en la base vieja [matriz cambio de base]

$$g(\cdot, \cdot) = \eta_{\hat{\alpha}\hat{\beta}} \underline{e}^{\hat{\alpha}}(\cdot) \otimes \underline{e}^{\hat{\beta}}(\cdot)$$

, donde

$$\underline{e}^{\hat{\alpha}}(\underline{e}_m^{\hat{\beta}}) = \delta^{\hat{\alpha}\hat{\beta}}$$

y siempre usando que

$$\{\underline{e}^{\hat{\alpha}}\} \text{ es base de } T_P^*$$

Recapitulando a la 1-forma definida vemos que

$$g(\cdot, \cdot) = g_{\alpha\beta} \underline{e}^{\hat{\alpha}}(\cdot) \otimes \underline{e}^{\hat{\beta}}(\cdot)$$

Ahora vemos que vale:

$$\underline{v} = v^\alpha \underline{e}_\alpha \quad \underline{v} = v_\alpha \underline{e}^\alpha$$

$$\begin{aligned} g(\cdot, \underline{v}) &= g_{\alpha\beta} \underline{e}^\alpha(\cdot) \otimes \underline{e}^\beta(\underline{v}) \\ &= g_{\alpha\beta} \underline{e}^\alpha(\cdot) \otimes \underline{e}^\beta(v^\delta \underline{e}_\delta) \\ &= v^\delta g_{\alpha\beta} \underline{e}^\alpha(\cdot) \delta_\delta^\beta \\ &= g_{\alpha\beta} v^\beta \underline{e}^\alpha(\cdot) \\ &= \underline{v} \cdot (\cdot) \\ &= v^\alpha \underline{e}_\alpha(\cdot) \\ &= \underline{v}(\cdot) \equiv v_\alpha \underline{e}^\alpha(\cdot) \end{aligned} \quad [2]$$

$$v_\alpha = g_{\alpha\beta} v^\beta$$

$$\underline{V}(\ ) \equiv V^\alpha \underline{e}_\alpha \cdot (\ ) \quad [3]$$

Entonces evaluar una 1-forma es equivalente a multiplicarla a los los vectores

Comparando [2] con [3] vemos que

$$V_\alpha = g_{\alpha\beta} V^\beta$$

Existe una identificación entre el espacio tangente y el dual al bajar índices con la métrica.

Asimismo como la métrica es inversible, por definición, resulta ser:

$$g_{\alpha\beta} g^{\beta\gamma} = \delta_\alpha^\gamma$$

, con lo cual

$$V^\beta = g^{\beta\alpha} V_\alpha$$

Resumiendo:

$$\underline{V}(\ ) = \underline{V} \cdot (\ )$$

En particular, para un vector de la base

$$g_{\alpha\beta} \underline{e}^\beta(\ ) = \underline{e}_\alpha \cdot (\ ),$$

entonces

$$g_{\alpha\beta} \underline{e}^\beta = \underline{e}_\alpha$$

y nos olvidamos de "·" y "·" para usar el producto en lugar de evaluar 1-formas.

Para un vector  $\underline{a}$  y ver sus componentes, es

$$a_\alpha = \underline{e}_\alpha \cdot \underline{a} = \underline{a}(\underline{e}_\alpha)$$

$$a^\alpha = \underline{e}^\alpha \cdot \underline{a}$$

, ahora usaremos

$$a_\alpha = \underline{e}_\alpha \cdot \underline{a} =$$

$$a_\alpha = \underline{e}^\alpha \cdot \underline{a}$$

sin las líneas.

con esta información podemos encontrar el problema 11 de la pág. Queremos ver que:

$$g_{\alpha\beta} \underline{e}^\beta = \underline{e}_\alpha$$

multiplicamos por la inversa que existe

$$g^{\alpha\gamma} g_{\alpha\beta} \underline{e}^\beta = g^{\alpha\gamma} \underline{e}_\alpha$$

$$\delta_\beta^\gamma \underline{e}^\beta = \underline{e}_\alpha g^{\alpha\gamma}$$

$$\Rightarrow \underline{e}^\gamma = \underline{e}_\alpha g^{\alpha\gamma}$$

Para ver que:  $g^{\alpha\beta} = \underline{e}^\alpha \cdot \underline{e}^\beta$  uso

$$g_{\alpha\beta} = \underline{e}_\alpha \cdot \underline{e}_\beta,$$

multiplicamos dos veces por la inversa:

$$g^{\gamma\alpha} g_{\alpha\beta} = g^{\gamma\alpha} \underline{e}_\alpha \cdot \underline{e}_\beta$$

$$\delta_\beta^\gamma = g^{\gamma\alpha} \underline{e}_\alpha \cdot \underline{e}_\beta$$

$$\delta_\beta^\gamma = \underline{e}^\gamma \cdot \underline{e}_\beta$$

$$g^{\delta\alpha} \delta_\beta^\gamma = g^{\delta\alpha} \underline{e}^\gamma \cdot \underline{e}_\beta$$

$$= \underline{e}^\gamma g^{\delta\alpha} \underline{e}_\beta$$

$$g^{\delta\gamma} = \underline{e}^\gamma \cdot \underline{e}^\delta$$

En página 425 del Hartle se hacen algunas de estas cuentas.

Teoría

Propiedades de la derivada covariante

1. Leibnitz

$$\nabla_\lambda (A^\mu B_\nu) = (\nabla_\lambda A^\mu) B_\nu + A^\mu (\nabla_\lambda B_\nu)$$

$$\nabla_\mu V^\mu = \frac{1}{\sqrt{g}} \partial_\mu [\sqrt{g} V^\mu], \text{ donde } g \equiv |\det g_{\mu\nu}|$$

Veamos entonces algunas demostraciones

1.  $\nabla_\lambda [A^\mu B_\nu] \equiv \text{tensor } \begin{pmatrix} 1 \\ 2 \end{pmatrix}$ ,

que en el SLI tiene por componentes:

$$\partial_\lambda [A^\mu B_\nu] =$$

$$(\partial_\lambda A^\mu) B_\nu + A^\mu (\partial_\lambda B_\nu)$$

pero esto en otro sistema serán:

$$(\nabla_\lambda A^\mu) B_\nu + A^\mu (\nabla_\lambda B_\nu)$$

entonces hallé una igualdad válida entre tensores en el SLI y eso vale en general.

Si tengo una identidad tensorial en el SLI  $\Rightarrow$  vale en cualquier sistema de coordenadas. El truco acá es escribir las RELACIONES entre TENSORES.

2. Sabemos que:

$$\nabla_\mu V^\rho = \partial_\mu V^\rho + \Gamma_{\mu\nu}^\rho V^\nu$$

$$\nabla_\mu V^\mu = \partial_\mu V^\mu + \Gamma_{\mu\nu}^\mu V^\nu$$

pero será:

$$\Gamma_{\mu\nu}^\mu = \frac{1}{2} g^{\mu\sigma} g_{\mu\sigma, \nu} = (\ln \sqrt{g})_{, \nu}$$

para la cual usamos:

$$\Gamma_{\nu\mu}^\mu = \frac{1}{2} g^{\alpha\mu} [g_{\alpha\nu, \mu} + g_{\alpha\mu, \nu} - g_{\nu\mu, \alpha}]$$

expresión que vimos en anterior oportunidad. Al reemplazar  $\rho \rightarrow \mu$  vemos lo que sucede:

$$\Gamma_{\nu\mu}^\mu = \frac{1}{2} g^{\alpha\mu} [g_{\alpha\nu, \mu} + g_{\alpha\mu, \nu} - g_{\nu\mu, \alpha}]$$

e/ producto de cosas antisimétricas por algo simétrico va a cero en la contracción

$$g^{\alpha\mu} \underbrace{A_{\alpha\mu}}_{\text{ANTISIMÉTRICO}} = (g_{\alpha\nu, \mu} - g_{\nu\mu, \alpha})$$

Es decir:

$$\underbrace{S^{\mu\nu}}_{\text{simétrico}} \underbrace{A_{\mu\nu}}_{\text{antisimétrico}} = S^{\nu\mu} A_{\nu\mu}$$

por ser índices mudas; usando la simetría:

$$S^{\mu\nu} A_{\mu\nu} = S^{\nu\mu} A_{\nu\mu}$$

$$S^{\mu\nu} A_{\mu\nu} = S^{\mu\nu} (-A_{\nu\mu})$$

$$S^{\mu\nu} A_{\mu\nu} = -S^{\mu\nu} A_{\mu\nu} \Rightarrow$$

$$S^{\mu\nu} A_{\mu\nu} = 0$$

Ahora queremos demostrar \* . Podes escribir:

$$\Gamma_{\mu\nu}^\mu = \frac{1}{2} g^{\mu\sigma} g_{\mu\sigma, \nu} = \frac{1}{2} \text{Tr } g^{\mu\nu} g_{, \nu}$$

Calculare:

$$\ln |\det [g + \delta g]| - \ln |\det g|$$

$$\ln |\det (g + \delta g) g^{-1}|$$

$$\ln |\det (\mathbb{1} + \delta g \cdot g^{-1})|$$

el determinante de  $(\mathbb{1} + \delta g \cdot g^{-1})$  es [a orden 1]:

$$1 + \text{Tr}(g^{-1} \cdot \delta g)$$

entonces

$$\ln |1 + \text{Tr}(g^{-1} \delta g)| \approx$$

$$\text{Tr}[g^{-1} \delta g]$$

De esto deducimos que:

$$[\ln |\det g|]_{, \lambda} = \text{Tr } g^{-1} g_{, \lambda}$$

tomando una raíz cuadrada se llega

$g = \text{matriz}$

$$[\ln \sqrt{|\det g|}]_{, \lambda} = \frac{1}{2} \text{Tr} (g^{i j} g_{i, \lambda})$$

luego:

$$\Gamma_{\lambda \nu}^{\mu} = \frac{1}{2} \text{Tr} g^{i j} g_{i, \lambda} = (\ln \sqrt{g})_{, \lambda}$$

y entonces:

$$\nabla_{\mu} V^{\mu} = \partial_{\mu} V^{\mu} + \frac{1}{\sqrt{g}} (\sqrt{g})_{, \nu} V^{\nu}$$

$$\nabla_{\mu} V^{\mu} = \partial_{\mu} V^{\mu} + \frac{1}{\sqrt{g}} \partial_{\mu} (\sqrt{g}) V^{\mu}$$

Yendo un poco más lejos podemos meter una 1-forma en

$$\nabla_{\mu} V^{\mu} = \nabla^{\mu} V_{\mu}, \text{ con } V_{\mu} = \partial_{\mu} \phi$$

$$\nabla^{\mu} (\partial_{\mu} \phi) \equiv \square \phi = \frac{1}{\sqrt{g}} \partial_{\mu} [\sqrt{g} \partial^{\mu} \phi]$$

se generaliza el D'Alembertiano

$$\square \phi = \frac{1}{\sqrt{g}} \partial_{\mu} (\sqrt{g} g^{\mu \nu} \partial_{\nu} \phi)$$

La derivada covariante de un escalar coincide con la derivada ordinaria

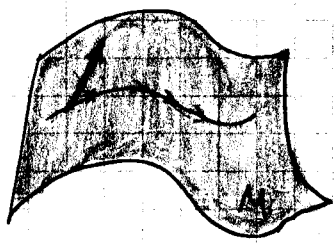
$$\nabla_{\mu} \phi \equiv \partial_{\mu} \phi$$

porque no hay transporte paralelo. Esta derivada es un tensor (una 1-forma). Pero  $\partial_{\mu \nu}^2 \phi$  NO es un tensor.

Transporte paralelo y geodésico  
Si el vector se transporta a lo largo de la curva dada por:

$$t^{\beta} = \frac{dx^{\beta}}{d\sigma}$$

y la ecuación que define dicho transporte es:



$$\nabla_{\mu} V^{\alpha} = 0 = t^{\beta} \nabla_{\beta} V^{\alpha}$$

$$\nabla_{\mu} V^{\alpha} = t^{\beta} \partial_{\beta} V^{\alpha} + t^{\beta} \Gamma_{\beta \gamma}^{\alpha} V^{\gamma}$$

se puede reescribir como:

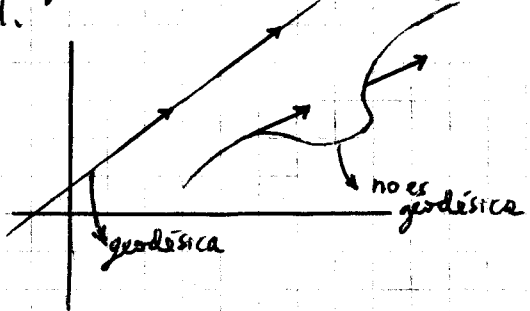
$$t^{\beta} = \frac{dx^{\beta}}{d\sigma}, \quad \partial_{\beta} V^{\alpha} = \frac{\partial V^{\alpha}}{\partial x^{\beta}} \Rightarrow$$

$$0 = \frac{dV^{\alpha}}{d\sigma} + \Gamma_{\beta \gamma}^{\alpha} \frac{dx^{\beta}}{d\sigma} V^{\gamma}$$

ecuación del transporte paralelo

Con esto vamos a definir un conjunto de curvas que se pareciera a una recta en  $\mathbb{R}^n$ . Tomar de todas las posibles curvas la que mimice la distancia entre dos puntos. Este enfoque es el más general.

Otro enfoque es considerar el transporte paralelo e inspirarse en él.



Dado un vector tangente en un punto, el traslado <sup>para el momento</sup> sigue siendo tangente a la recta. Esto no sucede en una curva.

$x^{\alpha}(\sigma)$  define una curva geodésica si  $t^{\alpha} = \frac{dx^{\alpha}}{d\sigma}$  en un punto, trasladado

paralelamente a otro punto cualquiera de la curva sigue siendo recta tangente a la curva.

$$\nabla_t t = 0 \Leftrightarrow$$

$$\frac{dt^{\alpha}}{d\sigma} + \Gamma_{\beta \gamma}^{\alpha} t^{\beta} t^{\gamma} = 0$$

esta es entonces la ecuación de las geodésicas.

NB  
los  $\Gamma$  también son  $\neq 0$  cuando en un espacio plano usas otros coordenadas  
nada que las coordenadas

$$[1] \quad \frac{d^2 X^\alpha}{d\sigma^2} + \Gamma_{\beta\gamma}^\alpha \frac{dX^\beta}{d\sigma} \frac{dX^\gamma}{d\sigma} = 0$$

y serán de tipo

Tiempo  $t^\alpha t_\alpha < 0$

MULA  $t^\alpha t_\alpha = 0$

ESPACIAL  $t^\alpha t_\alpha > 0$

Así es esto [1], se dice que  $\sigma$  es un parámetro AFÍN.

Otra definición que podríamos haber tomado es decir:

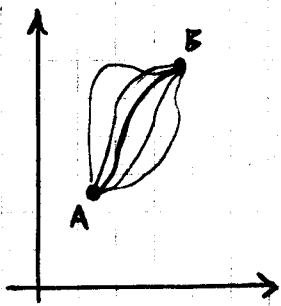
$$\nabla_t t = f(\sigma) t$$

que darán lugar a los mismos puntos en la curva pero re-contridos con otra parametrización.

Ahora consideramos definir como la curva que minimiza distancias. Podríamos haber un principio variacional.

Las geodésicas serán las curvas que hacen extremos el tiempo propio [análogo a la distancia].

Geodésica tipo tiempo: curva que extremiza el tiempo propio entre A y B



$$\tau_{AB} = \int_A^B d\tau = \int_0^1 d\sigma \sqrt{-g_{\alpha\beta} \frac{dX^\alpha}{d\sigma} \frac{dX^\beta}{d\sigma}}$$

$$\int_0^1 d\sigma \sqrt{-g_{\alpha\beta} \frac{dX^\alpha}{d\sigma} \frac{dX^\beta}{d\sigma}}$$

puedo pensar la  $\sqrt{\quad}$  como una especie de lagrangiano y  $\sigma$  una especie de tiempo  $\rightarrow$

$$\int dt \mathcal{L} \leftrightarrow \int d\sigma \sqrt{\quad}$$

EQUIVALENCIA

los cuales, vía extremos, me da

van llevar a las ecuaciones de Euler-Lagrange.

$$\frac{d}{d\sigma} \left[ \frac{\partial \mathcal{L}}{\partial \left( \frac{dX^\mu}{d\sigma} \right)} \right] = \frac{\partial \mathcal{L}}{\partial X^\mu}$$

$$X^\alpha(\sigma), \alpha = 1, 2, \dots, N$$

Ahora hay que hacer la cuenta

$$\frac{d}{d\sigma} \left\{ - \frac{g_{\mu\nu} \frac{dX^\nu}{d\sigma}}{\sqrt{-g_{\alpha\beta} \frac{dX^\alpha}{d\sigma} \frac{dX^\beta}{d\sigma}}} \right\} = \frac{1}{2\sqrt{-g_{\alpha\beta} \frac{dX^\alpha}{d\sigma} \frac{dX^\beta}{d\sigma}}} \left( -g_{\alpha\beta, \mu} \frac{dX^\alpha}{d\sigma} \frac{dX^\beta}{d\sigma} \right) \quad [2]$$

conviene usar como parámetro el  $\tau$  para facilitar el cálculo pues  $d\tau = \sqrt{-g_{\alpha\beta} \frac{dX^\alpha}{d\sigma} \frac{dX^\beta}{d\sigma}} d\sigma$ . Se simplifica [2] de forma que queda:

$$\frac{d}{d\tau} \left\{ -g_{\mu\nu} \frac{dX^\nu}{d\tau} \right\} = -\frac{1}{2} g_{\alpha\beta, \mu} \frac{dX^\alpha}{d\tau} \frac{dX^\beta}{d\tau}$$

y ahora entro en un renglón! Amasando:

$$g_{\mu\nu} \frac{d^2 X^\nu}{d\tau^2} + \underbrace{g_{\mu\nu, \beta}}_{\dagger} \frac{dX^\beta}{d\tau} \frac{dX^\nu}{d\tau} - \frac{1}{2} g_{\alpha\beta, \mu} \frac{dX^\alpha}{d\tau} \frac{dX^\beta}{d\tau} = 0$$

como  $\dagger$  es simétrico luego el truco de:

$$\frac{1}{2} (g_{\mu\nu, \beta} + g_{\mu\beta, \nu}) = g_{\mu\nu, \beta}$$

donde el antisimétrico se ha muerto. Entonces:

$$g_{\mu\nu} \frac{d^2 X^\nu}{d\tau^2} + \frac{1}{2} (g_{\mu\nu, \beta} + g_{\mu\beta, \nu}) \frac{dX^\beta}{d\tau} \frac{dX^\nu}{d\tau} - \frac{1}{2} g_{\alpha\beta, \mu} \frac{dX^\alpha}{d\tau} \frac{dX^\beta}{d\tau} = 0$$

$$g_{\mu\nu} \frac{d^2 X^\nu}{d\tau^2} + \frac{1}{2} \frac{dX^\beta}{d\tau} \frac{dX^\nu}{d\tau} [g_{\mu\nu, \beta} + g_{\mu\beta, \nu} - g_{\beta\mu, \nu}] = 0$$

$$g_{\mu\nu} \frac{d^2 X^\nu}{d\tau^2} + \frac{1}{2} \frac{dX^\beta}{d\tau} \frac{dX^\nu}{d\tau} [g_{\mu\nu, \beta} + g_{\mu\beta, \nu} - g_{\beta\mu, \nu}] = 0$$

$$= 0$$

Ahora multiplicamos todo por  $g^{\mu\alpha}$ , que

es la inversa de  $g_{\mu\nu}$ . Así

$$\frac{dX^\lambda}{d\tau} + g^{\lambda\sigma} \left[ g_{\mu\nu,\sigma} + g_{\mu\sigma,\nu} - g_{\nu\sigma,\mu} \right] \frac{dX^\mu}{d\tau} \frac{dX^\nu}{d\tau} = 0 \Rightarrow$$

$$\frac{dX^\lambda}{d\tau} + \Gamma_{\nu\sigma}^\lambda \frac{dX^\nu}{d\tau} \frac{dX^\sigma}{d\tau} = 0$$

Hemos llegado a la misma ecuación anterior. Para una geodésica tipo tiempo llegamos a la misma forma por haber usado el parámetro afín:  $\tau$ .

Si usáramos otro también sería equivalente pero más complicado.

● Principio Variacional Alternativo  
Resulta más sencillo usar un lagrangiano del tipo que se ilustra abajo:

$$[3] S_{AB} = \int_A^B g_{\mu\nu}(x) \frac{dX^\mu}{d\lambda} \frac{dX^\nu}{d\lambda} d\lambda$$

en el cual hemos sacado la  $\sqrt{\dots}$ . Este extremo sirve para todas los tipos de geodésicas. A partir de las ecuaciones de movimiento en [3] sacamos explícitamente los símbolos de Christoffel.

● Simetrías & Leyes de Conservación  
En [3] la métrica depende de las  $X$  pero no de las  $\lambda$ ; análoga mediante se tiene la conservación de la energía.

(1)  $\mathcal{L}$  no depende explícitamente de  $\lambda \Rightarrow$

$$\frac{dX^\mu}{d\lambda} \frac{\partial \mathcal{L}}{\partial \left( \frac{dX^\mu}{d\lambda} \right)} - \mathcal{L} = H$$

$$\dot{q} \cdot \frac{\partial \mathcal{L}}{\partial \dot{q}} - \mathcal{L} = H$$

Reminiscencia de Mecánica Clásica

y esta cuenta trivialmente resalta

$$H = g_{\mu\nu} \frac{dX^\mu}{d\lambda} \frac{dX^\nu}{d\lambda} = cte$$

que no es otra cosa que

$$\frac{t^\mu t_\mu}{t^\mu t_\mu}$$

entonces se conserva el carácter TEMP ESP, NULO de la geodésica a lo largo de la trayectoria.

(2) Sea que  $\mathcal{L}$  no depende de alguna coordenada  $X^\alpha$

$$\frac{\partial \mathcal{L}}{\partial \left( \frac{dX^\alpha}{d\lambda} \right)} = cte \text{ de movimiento}$$

Esta condición implicará que la métrica no depende de alguna de las coordenadas.

$$g_{\alpha\beta} \frac{dX^\beta}{d\lambda} = cte = g_{\alpha\beta} U^\beta$$

se conserva la componente de la cuadrivelsidad asociada a la que no aparece [la constante]

$$U_\alpha = cte.$$

Esto lo podemos expresar de varias maneras

$$m U_\alpha = p_\alpha = cte.$$

o introducimos

$$\xi_\mu = (0, 0, \dots, 1, \dots, 0, 0)$$

Lo que se conservaría entonces es

$$\xi_\mu \cdot p^\mu = cte.$$

el producto escalar.

■ Práctica  
Clase de Consultas

■ Teoría  
● Comentario  
Buena discusión en GRAVITATION

Estaremos usando que las partículas libres se mueven en geodésicas que no varían de carácter

29-9-8

(Thorne, Misner, Wheeler) Sobre relojes en campos gravitatorios intensos. (pág. 393)

● Geodésicas

Se tenía según los dos diferentes métodos, y usando el parámetro afin

Geodésicas  $\rightarrow \frac{d^2 X^\alpha}{d\tau^2} + \Gamma^\alpha_{\beta\gamma} \frac{dX^\beta}{d\tau} \frac{dX^\gamma}{d\tau} = 0$

$$\tau_{AB} = \int_A^B d\tau = \int d\sigma \left[ -g_{\mu\nu} \frac{dX^\mu}{d\sigma} \frac{dX^\nu}{d\sigma} \right]^{1/2}$$

pero podemos usar otro principio variacional basado en el cuadrado del lagrangiano

$$S_{AB} = \int_A^B d\lambda g_{\mu\nu} \frac{dX^\mu}{d\lambda} \frac{dX^\nu}{d\lambda}$$

que nos lleva a una ecuación de la geodésica en función del parámetro afin.

● Leyes de conservación

Cuando el lagrangiano no depende EXPLÍCITAMENTE del parámetro

$\mathcal{L} \neq \mathcal{L}(\lambda) \Rightarrow$

$$g_{\mu\nu} \frac{dX^\mu}{d\lambda} \frac{dX^\nu}{d\lambda} = cte.$$

Además cuando tenga coordenada cíclica (no depende explícitamente de alguna coordenada)

$\mathcal{L} \neq \mathcal{L}(x^\alpha) \Rightarrow$

$$g_{\alpha\beta} \frac{dX^\beta}{d\lambda} = cte$$

como ejemplos tenemos:

$U_\alpha = cte \Leftrightarrow P_\alpha = m U_\alpha \Rightarrow cte.$

La ley de conservación la podemos poner definiendo un

$\xi = (0, 0, \dots, 1, 0, \dots, 0)$  lugar  $\nu$

$\xi^\mu \cdot P_\mu = cte$

$\xi^\mu P_\mu = P_\alpha$ , donde

$\xi =$  vector de Killing

● EJEMPLO: situación de campo débil. Sea una métrica

$$ds^2 = -(1 + 2\phi(\vec{x})) dt^2 + (1 - 2\phi(\vec{x})) (dx^2 + dy^2 + dz^2) \quad \text{con } \phi(\vec{x}) \ll 1$$

una métrica que describe el campo gravitacional en las cercanías del Sol. Todas las componentes son independientes del tiempo.

$g_{\mu\nu} \neq g_{\mu\nu}(t) \Rightarrow \xi = (1, 0, 0, 0) \leftarrow$  vector asociado a la simetría

Una partícula con  $m \neq 0$  tendrá esto como constante de movimiento +

$P_\mu = P_\mu (cte.)$

Veamos:

$P \cdot P = -m^2$

$m^2 U_\mu U^\mu = g_{\alpha\beta} P^\alpha P^\beta$

quiero el  $P_0$  en función del  $\vec{P}$  y el  $\phi$

$-m^2 = -(1 + 2\phi)(P^0)^2 + (1 - 2\phi)(P^1^2 + P^2^2 + P^3^2)$

$(P^0)^2 = \frac{1}{(1 + 2\phi)} (m^2 + (1 - 2\phi) \vec{P}^2)$

$(P^0)^2 = \frac{m^2}{(1 + 2\phi)} \left( 1 + (1 - 2\phi) \frac{\vec{P}^2}{m^2} \right)$

En realidad yo quiero ver el

$P_0$  (Covariante)

Consideremos que la partícula es no relativista  $\vec{P}^2/m^2 \ll 1$  y el campo es débil

■ Aproximación Newton (límite de Newton)  $\left\{ \begin{array}{l} \text{CAMPO DÉBIL} \\ + \\ \text{PART. NO RELATIVISTA} \end{array} \right.$

$(P^0)^2 \approx m^2 (1 - 2\phi) \left( 1 + \frac{\vec{P}^2}{m^2} \right)$

$(P^0)^2 \approx m^2 \left( 1 + \frac{\vec{P}^2}{m^2} - 2\phi \right)$

$P^0 \approx m \left( 1 + \frac{\vec{P}^2}{2m^2} - \phi \right)$



**NB**  
 La relación entre  $P^\alpha$  y  $P_\alpha$  es NO TRIVIAL cuando la métrica es no trivial

Pero lo que se conserva es

$$P_0 = g_{0\alpha} P^\alpha = \int_{g_{00}} P^0 \text{ (métrica diagonal)}$$

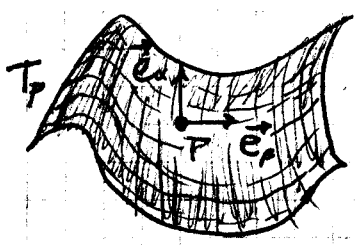
$$P_0 = -(1+2\phi)m \left( 1 + \frac{\vec{p}^2}{2m^2} - \phi \right)$$

$$P_0 \approx - \left[ m + \phi \cdot m + \frac{\vec{p}^2}{2m} \right]$$

y esto es la energía cinética <sup>+pot.</sup> con el signo cambiado. La energía es lo que se conserva cuando es independiente del tiempo.

Es el SLI por antonomasia

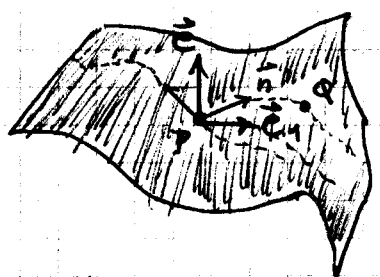
• Coordenadas normales de Riemann. Esto es un ejemplo de SLI. Sea una variedad riemanniana (métrica con signatura positiva +++...) Elige n vectores ortonormales



Elige n vectores ortonormales  
 $\vec{e}_\alpha$  con (en  $T_P$ )  
 $\vec{e}_\alpha \cdot \vec{e}_\beta = \delta_{\alpha\beta}$

Supongamos que la base es tal que:  $\{\vec{e}_\alpha\}$  es base coordenada es base ortonormal

Consideremos todos los geodésicas salientes de P que cabalgan sobre la variedad con vector tangente  $\vec{n}$ .



Le damos coordenadas a los puntos sobre la geodésica.

$$Q = (s n^1, s n^2, \dots, s n^n)$$

donde s = distancia medida a lo largo de la geodésica entre P y Q.  $n^\alpha$  son las componentes del vector  $\vec{n}$  en la base  $\vec{e}_\alpha$ . Para la geodésica en  $\vec{e}_1$  tendr

$n^\alpha = (1, 0, \dots, 0)$  y vemos así porque es una base coordenada. Por que no importa cuanto lejos vaya pues siempre estoy con vector tangente  $\vec{e}_1$

$$\vec{e}_\alpha \cdot \vec{e}_\beta = \delta_{\alpha\beta} = g_{\alpha\beta} \Rightarrow$$

$$g_{\alpha\beta} = \delta_{\alpha\beta}$$

usando esta base la derivada en el punto P. La curva se puede parametrizar  $\rightarrow$  esta delta

$$X^\alpha(s) = s \cdot n^\alpha$$

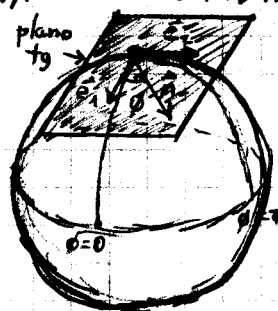
pero por ser una geodésica tiene que satisfacer la ecuación.

$$\frac{d^2 X^\alpha}{ds^2} + \Gamma_{\alpha\beta}^\alpha \frac{dX^\beta}{ds} \frac{dX^\alpha}{ds} = 0$$

$$= 0 \quad \Gamma_{\alpha\beta}^\alpha n^\beta n^\alpha = 0$$

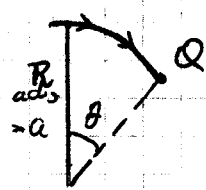
luego:  $\Gamma_{\alpha\beta}^\alpha = 0 \Rightarrow g_{\alpha\beta, \gamma} = 0$

Veamos en un ejemplo de coordenadas normales de Riemann sobre una esfera.



Elige dos vectores  $\vec{e}_1, \vec{e}_2$  (en H) correspondientes a  $\phi = 0$  o  $\pi/2$ . Elige  $\vec{n}$   
 $\vec{n} = \cos\phi \vec{e}_1 + \sin\phi \vec{e}_2$

El punto Q que coordenadas normales tendrá?



$Q \rightarrow \phi, \theta$

$Q \rightarrow$  ¿Riemann?

$$Q = (s \cdot \cos\phi, s \cdot \sin\phi)$$

Coord.  $e_1$  coord.  $e_2$   
 nor. Riemann

$$Q = (a\theta \cos \phi, a\theta \sin \phi)$$

Esto da que en el polo norte la  $g_{\mu\nu} = \delta_{\mu\nu}$  y es un sistema SLI.

• Tensor de Curvatura

Cantidad local para darnos una medida de la curvatura. La idea es que parados en un punto queremos determinar la "curvatura".



Haremos un efforto general que sirva para espacios generales.

Considero un punto  $P$ , una curva cerrada infinitesimal dada por  $X^\alpha(\lambda)$ , un vector  $S$ . Lo trasladaremos llámalo el «transporte paralelo» recorriendo la curva y viendo como termina.

$$X^\alpha(\lambda_0) = X^\alpha(\lambda_1)$$

$$\lambda_0 \leq \lambda \leq \lambda_1$$

Diremos que la variedad es localmente plana si el vector coincide luego del recorrido. Pediremos que se verifique la ecuación del transporte paralelo

$$\nabla_{\frac{d}{d\lambda}} S = 0 \iff$$

$$\frac{dS^\alpha}{d\lambda} - \Gamma_{\mu\beta}^\alpha \frac{dX^\beta}{d\lambda} S^\alpha = 0$$

Desarrollaremos todo esto con Taylor en torno a  $P$ .

$$\Gamma_{\mu\beta}^\alpha(X[\lambda]) = \Gamma_{\mu\beta}^\alpha|_P + \Gamma_{\mu\beta,\delta}^\alpha|_P X^\delta(\lambda) - X^\delta(\lambda_0)$$

$$S_\alpha = S_\alpha|_P + (\Gamma_{\alpha\delta}^\epsilon S_\epsilon)_P X^\delta(\lambda) - X^\delta(\lambda_0)$$

$$\Delta S_\mu = S_\mu(\lambda_1) - S_\mu(\lambda_0) =$$

variación del vector en una vuelta  
 † El desarrollo de la cuenta está en Weinberg

$$= \int_{\lambda_0}^{\lambda_1} d\lambda \frac{dX^\beta}{d\lambda} \left\{ \Gamma_{\mu\beta}^\alpha|_P + \Gamma_{\mu\beta,\epsilon}^\alpha|_P (X^\epsilon(\lambda) - X^\epsilon(\lambda_0)) \right. \\ \left. (S_\alpha|_P + (\Gamma_{\alpha\delta}^\epsilon S_\epsilon)_P (X^\delta(\lambda) - X^\delta(\lambda_0))) \right\}$$

$$\Delta S_\mu = \int_{\lambda_0}^{\lambda_1} d\lambda \frac{dX^\beta}{d\lambda} \left\{ (X^\epsilon(\lambda) - X^\epsilon(\lambda_0))_\alpha \right. \\ \left. (\Gamma_{\mu\beta}^\alpha \Gamma_{\alpha\delta}^\epsilon S_\epsilon + \Gamma_{\mu\beta,\delta}^\alpha S_\alpha)_P \right\}$$

dummies

No evaluo  
 Contín.  
 Cuadrá-  
 ticas y  
 las que  
 son  
 nulas x  
 integ. en curva  
 cerrada

pero como está evaluado en  $P$ , el paréntesis puede salir de la integral

$$\Delta S_\mu = (\Gamma_{\mu\beta}^\epsilon \Gamma_{\epsilon\delta}^\alpha + \Gamma_{\mu\beta,\delta}^\alpha) S_\alpha|_P \times$$

$$\int_{\lambda_0}^{\lambda_1} X^\delta dX^\beta =$$

$\equiv A^{\delta\beta}$

Juntamos todo

$$\Delta S_\mu = A^{\delta\beta} (\Gamma_{\mu\beta}^\epsilon \Gamma_{\epsilon\delta}^\alpha + \Gamma_{\mu\beta,\delta}^\alpha) S_\alpha$$

$\equiv U$

pero el  $A^{\delta\beta}$  es antisimétrico respecto del intercambio  $\delta \leftrightarrow \beta$

$$\int_{\lambda_0}^{\lambda_1} X^\delta dX^\beta = \oint d(X^\delta X^\beta - X^\beta dX^\delta)$$

$$\int_{\lambda_0}^{\lambda_1} X^\delta dX^\beta = - \int_{\lambda_0}^{\lambda_1} X^\beta dX^\delta$$

Pero dados los dummies  $\delta, \beta$  puedo reemplazar por

$$U = \frac{1}{2} (U - U_{\beta\delta})$$

luego

$$\Delta S_\mu = \frac{1}{2} A^{\delta\beta} S_\alpha (\Gamma_{\mu\beta}^\epsilon \Gamma_{\epsilon\delta}^\alpha - \Gamma_{\mu\delta}^\epsilon \Gamma_{\epsilon\beta}^\alpha + \Gamma_{\mu\beta,\delta}^\alpha - \Gamma_{\mu\delta,\beta}^\alpha)$$

Para respetar convención de signos del Harkle

$$\Delta S_\mu = \frac{1}{2} A S (\Gamma \Gamma + \Gamma \Gamma - \Gamma \Gamma - \Gamma \Gamma)$$

Se pueda abreviar algo todo esto

definiendo

$$\Delta S_\mu = -\frac{1}{2} A^{\delta\rho} S_\alpha R^\alpha_{\mu\rho\delta}$$

aunque los símbolos de Cristophel no son tensores el

$$R^\alpha_{\mu\rho\delta}$$

si es un tensor. Pero  $\Delta S_\mu$  es un vector y así

$$\begin{matrix} \Delta S \\ \begin{pmatrix} 0 \\ 1 \end{pmatrix} \end{matrix} \equiv \begin{matrix} A \\ \begin{pmatrix} 2 \\ 0 \end{pmatrix} \end{matrix} \begin{matrix} S \\ \begin{pmatrix} 0 \\ 1 \end{pmatrix} \end{matrix} \begin{matrix} R \\ \begin{pmatrix} 1 \\ 3 \end{pmatrix} \end{matrix} \text{ TENSOR}$$

necesariamente lo que queda en  $R$  tiene que ser un tensor en (13) para que transforme bien el vector.

$$R^\alpha_{\mu\rho\delta} \equiv \text{TENSOR DE RIEMANN O TENSOR DE CURVATURA}$$

Si  $R^\alpha_{\mu\rho\delta} = 0$  para todo punto de la variedad, existe sistema de coordenadas:

$$g_{\mu\nu}(x) = \begin{cases} \delta_{\mu\nu} & \text{Riemann} \\ \eta_{\mu\nu} & \text{Lorentz} \end{cases}$$

Esta condición es más fuerte que pedirle SLI.

Existen maneras alternativas y equivalentes de definir el tensor de curvatura

1. Ecuación de desviación de las geodésicas. (lo veremos más adelante)

2. Definir tensor de curvatura a partir del conmutador de las derivadas covariantes

$$\nabla_\lambda (\nabla_\nu V^\mu) - \nabla_\nu (\nabla_\lambda V^\mu) \neq 0$$

$$[\nabla_\lambda, \nabla_\nu] V^\mu \neq 0$$

\*  $\nabla_\mu$  No conmuta

$$\nabla_\nu V^\mu = V^\mu_{;\nu} = V^\mu_{,\nu} + \Gamma^\mu_{\nu\epsilon} V^\epsilon$$

$$(V^\mu_{;\nu})_{;\lambda} \equiv V^\mu_{;\nu\lambda} \rightarrow$$

$$V^\mu_{;\nu\lambda} - V^\mu_{;\lambda\nu} = (V^\mu_{;\nu})_{;\lambda} + \Gamma^\mu_{\lambda\rho} (V^\rho_{;\nu}) - \Gamma^\mu_{\nu\rho} (V^\rho_{;\lambda})$$

reemplacemos ahora:

$$I. V^\rho_{;\nu} + \Gamma^\rho_{\nu\epsilon} V^\epsilon$$

$$II. V^\mu_{;\rho} + \Gamma^\mu_{\rho\epsilon} V^\epsilon$$

$$V^\mu_{;\nu\lambda} = V^\mu_{;\lambda\nu} + \Gamma^\mu_{\nu\epsilon\lambda} V^\epsilon + \Gamma^\mu_{\nu\epsilon} V^\epsilon_{;\lambda} + \dots$$

Esta ecuación tiene que ser una ecuación tensorial; entonces tendremos que ser igual en el SLI. Me muevo ahí, entonces

$$V^\mu_{;\nu\lambda} = V^\mu_{;\lambda\nu} + \Gamma^\mu_{\nu\epsilon\lambda} V^\epsilon \quad (\text{YA EN SLI})$$

$$V^\mu_{;\nu\lambda} - V^\mu_{;\lambda\nu} = (\Gamma^\mu_{\nu\epsilon\lambda} - \Gamma^\mu_{\lambda\epsilon\nu}) V^\epsilon$$

entonces:

$$V^\mu_{;\nu\lambda} - V^\mu_{;\lambda\nu} = R^\mu_{\epsilon\nu\lambda} V^\epsilon$$

$$[\nabla_\lambda, \nabla_\nu] V^\mu = R^\mu_{\epsilon\nu\lambda} V^\epsilon$$

, pero es una identidad en el SLI entre tensores entonces debe valer siempre.

● Otras definiciones

$$R_{\mu\epsilon\nu\lambda} = g_{\mu\alpha} R^\alpha_{\epsilon\nu\lambda}$$

$$R_{\mu k} = R^\alpha_{\mu\alpha k} \quad \text{TENSOR DE RICCI} \quad \begin{pmatrix} 0 \\ 1 \end{pmatrix}$$

(con  $R_{\mu k} = R_{k\mu}$ )

$$R = g^{\mu\nu} R_{\mu\nu} = R^\mu_{\nu\mu}$$

(escalar = invariante frente a cambio de coorden.)

Si un tensor es 0 en un sistema será 0 en otro sistema

Nos dice al R si la variedad es curva o no

curva SUPER NB En el SLI se anulan los  $\Gamma$  pero no los  $\Gamma_{,\lambda}$

• Tensor de Einstein

$$G_{\mu\nu} = R_{\mu\nu} - \frac{1}{2} R g_{\mu\nu}$$

• Algunas Propiedades Algebraicas

- $R_{\lambda\mu\nu\kappa} = R_{\mu\lambda\kappa\nu}$
- $R_{\lambda\mu\nu\kappa} = -R_{\mu\lambda\nu\kappa}$   
 $= -R_{\lambda\mu\kappa\nu}$
- $R_{\lambda\mu\nu\kappa} + R_{\lambda\kappa\nu\mu} + R_{\lambda\nu\mu\kappa} = 0$

•  $\Rightarrow R_{\mu\nu} = R_{\nu\mu}$

Identidad de Bianchi

1.  $R_{\lambda\mu\nu\kappa; \nu} = 0$   
CÍCLICO

2.  $(R^{\mu\nu} - \frac{1}{2} R g^{\mu\nu})_{; \nu} = 0$

$$R^{\mu}_{\nu\rho\sigma} = \Gamma^{\mu}_{\nu\sigma, \rho} - \Gamma^{\mu}_{\nu\rho, \sigma} + \Gamma^{\mu}_{\rho\sigma, \nu} - \Gamma^{\mu}_{\rho\nu, \sigma}$$

$$\Gamma^{\mu}_{\nu\rho} = \frac{1}{2} g^{\mu\tau} (g_{\tau\nu, \rho} + g_{\tau\rho, \nu} - g_{\nu\rho, \tau})$$

$$\Gamma^{\mu}_{\nu\rho, \sigma} = \frac{1}{2} g^{\mu\tau} (g_{\tau\nu, \rho\sigma} + g_{\tau\rho, \nu\sigma} - g_{\nu\rho, \tau\sigma}) + \frac{1}{2} g^{\mu\tau, \sigma} (\dots)$$

Ahora si vamos al SLI se muestran algunos términos (X)

$$R_{\mu\nu\rho\sigma} = \frac{1}{2} (g_{\nu\rho, \mu\sigma} - g_{\mu\rho, \nu\sigma} + g_{\mu\sigma, \nu\rho} - g_{\nu\sigma, \mu\rho})$$

$$R_{\mu\nu\rho, \lambda} = \frac{1}{2} [R_{\mu\nu\rho\sigma}]_{, \lambda}$$

ESTO NO ES TRIVIAL QUE VALGA ASI

•  $R_{\mu\nu\rho\sigma} = R_{\rho\sigma\mu\nu}$

$\mu \leftrightarrow \rho$   
 $\nu \leftrightarrow \sigma$  vale en el SLI

•  $R_{\mu\nu\rho\sigma} = -R_{\nu\mu\rho\sigma}$

$\mu \leftrightarrow \nu$  vale en el SLI (x comprobación)

•  $R_{\mu\kappa} = R^{\alpha}_{\mu\alpha\kappa} = g^{\alpha\beta} R_{\beta\mu\alpha\kappa}$   
 $= g^{\alpha\beta} R_{\alpha\kappa\beta\mu}$

$R_{\mu\kappa} = R^{\beta}_{\kappa\beta\mu} = R_{\kappa\mu}$

$\Rightarrow$  el tensor de Ricci es simétrico.

EL tensor de Riemann en  $n$  <sup>dimensiones</sup> tiene

$$\frac{1}{12} n^2(n^2 - 1) \leftarrow \begin{matrix} \text{Componentes inde-} \\ \text{pendientes} \end{matrix}$$

$A \equiv \frac{1}{4} n^2(n+1)^2$  derivada  $2^{\text{da}}$  de la métrica

$B \equiv \frac{1}{6} n^2(n+1)(n+2)$  parámetros disponibles para derivada  $2^{\text{da}}$

Luego se ve que

$$A - B = \frac{1}{12} n^2(n^2 - 1)$$

La idea es que el tensor de curvatura da la mínima matemática no espúrea que describe bien la física.

■ Práctica

• Problema 1 (GUÍA 4)

$[\nabla_{\alpha} T^{\beta}_{\gamma}]_{SLI} = \partial_{\alpha} T^{\beta}_{\gamma}$   
Componentes de tensor

donde en el SLI se cumple que:

Para  $n=4$   
 $\frac{1}{12} 4^2(4^2 - 1) = 16$   
 $\frac{1}{4} 4^2(4+1)^2 = 100$   
 $\frac{1}{6} 4^2(4+1)(4+2) = 40$   
Z0  
con  
donde  
tes

SLI  $\begin{cases} \eta_{\alpha\beta} \text{ (métrica)} \\ \Gamma_{\alpha\beta}^{\gamma} = 0 \text{ (Cristofel son nulos)} \end{cases}$

Tengo dos bases para las componentes

contravariantes  $\rightarrow \{e_{\alpha}\}$   
 covariantes  $\rightarrow \{e^{\alpha}\}$

$$e^{\alpha} \cdot e_{\beta} = \delta^{\alpha}_{\beta}$$

llamaremos

A.  $\{X'^{\alpha}\}$  SLI

B.  $\{X^{\mu}\}$  SGC

A.  $\partial_{\alpha'} = \frac{\partial}{\partial X'^{\alpha}} = e_{\alpha'}$

B.  $\partial_{\mu} = \frac{\partial}{\partial X^{\mu}} = e_{\mu}$

que se relacionan con derivada como:

$$\frac{\partial}{\partial X^{\mu}} = \frac{\partial X'^{\alpha}}{\partial X^{\mu}} \frac{\partial}{\partial X'^{\alpha}}$$

$$V = V^{\alpha'} \frac{\partial}{\partial X'^{\alpha}} = V^{\mu} \frac{\partial}{\partial X^{\mu}} =$$

$$V = V^{\mu} \frac{\partial X'^{\alpha}}{\partial X^{\mu}} \frac{\partial}{\partial X'^{\alpha}}$$

$$V^{\alpha'} = V^{\mu} \frac{\partial X'^{\alpha}}{\partial X^{\mu}}$$

Veamos la diferencia entre covariantes y contravariantes

$$\underline{\omega} = \omega_{\alpha} e^{\alpha} = \omega_{\alpha'} e^{\alpha'}$$

$$\omega_{\alpha} = \underline{\omega} \cdot e_{\alpha}$$

$$\omega_{\alpha} = \omega_{\alpha'} \underbrace{e^{\alpha'} \cdot e_{\alpha}}_{\delta^{\alpha'}_{\alpha}}$$

$$\frac{\partial X'^{\beta}}{\partial X^{\alpha}} e_{\beta}$$

$$\omega_{\alpha} = \omega_{\beta'} \frac{\partial X'^{\beta}}{\partial X^{\alpha}} \delta^{\beta'}_{\alpha}$$

$$\omega_{\alpha} = \omega_{\beta'} \frac{\partial X'^{\beta}}{\partial X^{\alpha}}$$

Quiero escribir  $\nabla_{\alpha} T^{\beta}$  en un sistema general de coordenadas, se biende la expresión en el SLI.

$$\nabla_{\rho} T^{\mu}_{\nu} = \frac{\partial X^{\mu}}{\partial X'^{\rho}} \frac{\partial X'^{\mu}}{\partial X^{\nu}} \frac{\partial X'^{\alpha}}{\partial X^{\beta}} \times$$

$$\left[ \nabla_{\alpha'} T^{\beta'} \right]^{SLI} \rightarrow \text{ESCRITO EN EL SISTEMA '1'}$$

la primer transformación lue

$$T^{\beta'}_{\gamma'} = \frac{\partial X'^{\beta}}{\partial X^{\epsilon}} \frac{\partial X^{\sigma}}{\partial X'^{\gamma}} T^{\epsilon}_{\sigma}$$

$$\nabla_{\rho} T^{\mu}_{\nu} = \frac{\partial X^{\mu}}{\partial X'^{\rho}} \frac{\partial X'^{\delta}}{\partial X^{\nu}} \frac{\partial X'^{\alpha}}{\partial X^{\beta}} \frac{\partial}{\partial X'^{\alpha}} \left[ \frac{\partial X'^{\beta}}{\partial X^{\epsilon}} \frac{\partial X^{\sigma}}{\partial X'^{\delta}} T^{\epsilon}_{\sigma} \right]$$

$$\nabla_{\rho} T^{\mu}_{\nu} = \frac{\partial X^{\mu}}{\partial X'^{\rho}} \frac{\partial X'^{\delta}}{\partial X^{\nu}} \left[ \frac{\partial^2 X'^{\beta}}{\partial X'^{\rho} \partial X'^{\delta}} \frac{\partial X^{\sigma}}{\partial X'^{\gamma}} T^{\epsilon}_{\sigma} + \frac{\partial X'^{\beta}}{\partial X^{\epsilon}} \frac{\partial^2 X^{\sigma}}{\partial X'^{\rho} \partial X'^{\delta}} T^{\epsilon}_{\sigma} + \frac{\partial X'^{\beta}}{\partial X^{\epsilon}} \frac{\partial X^{\sigma}}{\partial X'^{\delta}} \frac{\partial}{\partial X'^{\rho}} T^{\epsilon}_{\sigma} \right]$$

Esto se simplifica usando que:

$$\frac{\partial X'^{\delta}}{\partial X^{\nu}} \frac{\partial X^{\sigma}}{\partial X'^{\delta}} = \delta^{\sigma}_{\nu}$$

entonces:

$$\nabla_{\rho} T^{\mu}_{\nu} = \frac{\partial X^{\mu}}{\partial X'^{\rho}} \frac{\partial^2 X'^{\beta}}{\partial X'^{\rho} \partial X'^{\delta}} T^{\epsilon}_{\nu} +$$

$$\frac{\partial X'^{\beta}}{\partial X^{\nu}} \frac{\partial^2 X^{\sigma}}{\partial X'^{\rho} \partial X'^{\delta}} T^{\mu}_{\sigma} + \frac{\partial T^{\mu}_{\nu}}{\partial X'^{\rho}} = \Pi$$

El término  $\Pi$  es casi un símbolo de cristofel, con lo cual

$$\frac{\partial}{\partial X^{\rho}} \left( \frac{\partial X'^{\mu}}{\partial X^{\nu}} \frac{\partial X^{\epsilon}}{\partial X'^{\delta}} \right) = \frac{\partial^2 X'^{\delta}}{\partial X^{\rho} \partial X^{\nu}} \times \frac{\partial X^{\sigma}}{\partial X'^{\delta}} = -\Gamma^{\sigma}_{\rho\nu} \delta^{\sigma}_{\delta}$$

$$\nabla_\rho T^\mu{}_\nu = \frac{\partial T^\mu{}_\nu}{\partial x^\rho} + \Gamma_{\rho\sigma}^\mu T^\sigma{}_\nu - \Gamma_{\rho\nu}^\sigma T^\mu{}_\sigma$$

Ojo con la no conmutatividad de las derivadas cuando estamos en distintos sistemas de coordenadas.

$$\frac{\partial}{\partial x^\rho} \frac{\partial}{\partial x^{\mu'}} \neq \frac{\partial}{\partial x^{\mu'}} \frac{\partial}{\partial x^\rho}$$

Para tener otra forma de llegar a este resultado:

$$[\nabla_\alpha g_{\mu\nu}]_{SLI} = \partial_\alpha g_{\mu\nu} = 0$$

⇒ se vea que:

$$\Gamma_{\mu\nu}^\rho = \frac{g^{\rho\sigma}}{2} (\partial_\mu g_{\sigma\nu} + \partial_\nu g_{\sigma\mu} - \partial_\sigma g_{\mu\nu})$$

### ● Problema 2

Buscamos transformaciones de los símbolos usando que:

$$\nabla_\mu V^\nu \equiv V^\nu{}_{;\mu} \equiv V^\nu{}_{,\mu} + \Gamma_{\mu\rho}^\nu V^\rho$$

para todo V vector.

$$V^\nu{}_{;\mu} \equiv \frac{\partial V^\nu}{\partial x^{\mu'}}$$

La idea es que mostremos que es cero en un SLI pero no en otro con lo cual NO ES UN TENSOR.

$$\nabla_{\mu'} V^{\nu'} = \frac{\partial x^\rho}{\partial x^{\mu'}} \frac{\partial x^{\nu'}}{\partial x^\sigma} \nabla_\rho V^\sigma$$

base coordenada  $\{x^{\mu'}\}$

$$\partial_{\mu'} V^{\nu'} + \Gamma_{\mu'\rho'}^{\nu'} V^{\rho'} = \frac{\partial x^\rho}{\partial x^{\mu'}} \frac{\partial x^{\nu'}}{\partial x^\sigma} \left[ \frac{\partial}{\partial x^\rho} V^\sigma + \Gamma_{\rho\sigma}^\delta V^\sigma \right]$$

con  $V^\sigma = (\partial x^\sigma / \partial x^{\epsilon'}) V^{\epsilon'}$

$$= \frac{\partial x^\rho}{\partial x^{\mu'}} \frac{\partial x^{\nu'}}{\partial x^\sigma} \frac{\partial}{\partial x^\rho} \left[ \frac{\partial x^\sigma}{\partial x^{\epsilon'}} V^{\epsilon'} \right]$$

$$+ \frac{\partial x^\rho}{\partial x^{\mu'}} \frac{\partial x^{\nu'}}{\partial x^\sigma} \Gamma_{\rho\sigma}^\delta V^\delta$$

$$= \frac{\partial x^{\nu'}}{\partial x^\sigma} \frac{\partial}{\partial x^{\mu'}} \left[ \frac{\partial x^\sigma}{\partial x^{\epsilon'}} V^{\epsilon'} \right] + \frac{\partial x^\rho}{\partial x^{\mu'}} \frac{\partial x^{\nu'}}{\partial x^\sigma} \Gamma_{\rho\sigma}^\delta \frac{\partial x^\sigma}{\partial x^{\epsilon'}} V^{\epsilon'}$$

$$= \frac{\partial x^{\nu'}}{\partial x^\sigma} \frac{\partial^2 x^\sigma}{\partial x^{\mu'} \partial x^{\epsilon'}} V^{\epsilon'} + \frac{\partial x^{\nu'}}{\partial x^\sigma} \frac{\partial x^\sigma}{\partial x^{\epsilon'}} \frac{\partial}{\partial x^{\mu'}} V^{\epsilon'}$$

$$+ \frac{\partial x^\rho}{\partial x^\sigma} \frac{\partial x^\sigma}{\partial x^{\epsilon'}} \Gamma_{\rho\sigma}^\delta \frac{\partial x^\sigma}{\partial x^{\epsilon'}} V^{\epsilon'}$$

$$= \frac{\partial x^\rho}{\partial x^{\mu'}} \frac{\partial x^{\nu'}}{\partial x^\sigma} \frac{\partial x^\sigma}{\partial x^{\epsilon'}} \Gamma_{\rho\sigma}^\delta V^{\epsilon'} + \frac{\partial x^{\nu'}}{\partial x^{\mu'}} \frac{\partial x^\sigma}{\partial x^{\epsilon'}} \frac{\partial}{\partial x^\sigma} V^{\epsilon'}$$

$$+ \frac{\partial x^{\nu'}}{\partial x^\sigma} \frac{\partial^2 x^\sigma}{\partial x^{\mu'} \partial x^{\epsilon'}} V^{\epsilon'} = \frac{\partial x^{\nu'}}{\partial x^{\mu'}} \frac{\partial x^\sigma}{\partial x^{\epsilon'}} \frac{\partial}{\partial x^\sigma} V^{\epsilon'} + \Gamma_{\mu'\epsilon'}^{\nu'} V^{\epsilon'}$$

Luego transformamos como un tensor más un término inhomogéneo:

$$\Gamma_{\mu'\epsilon'}^{\nu'} = \frac{\partial x^\rho}{\partial x^{\mu'}} \frac{\partial x^{\nu'}}{\partial x^\sigma} \frac{\partial x^\sigma}{\partial x^{\epsilon'}} \Gamma_{\rho\sigma}^\delta + \frac{\partial x^{\nu'}}{\partial x^\sigma} \frac{\partial^2 x^\sigma}{\partial x^{\mu'} \partial x^{\epsilon'}}$$

$$= - \frac{\partial^2 x^{\nu'}}{\partial x^{\mu'} \partial x^{\epsilon'}} \frac{\partial x^\mu}{\partial x^{\nu'}} \frac{\partial x^\sigma}{\partial x^{\epsilon'}} \frac{\partial x^\sigma}{\partial x^{\epsilon'}}$$

$$\S \{x^{\mu'}\} \rightarrow SLI \quad \Gamma_{\rho\sigma}^\delta = 0 \rightarrow$$

$$[\Gamma_{\mu'\epsilon'}^{\nu'}]_{SLI} = \frac{\partial x^{\nu'}}{\partial x^\sigma} \frac{\partial^2 x^\sigma}{\partial x^{\mu'} \partial x^{\epsilon'}}$$

entonces como el símbolo puede ser nulo en un sistema y no nulo en otro NO transforma como un tensor.

### ● Problema 4 (comentario)

Utl para el problema 15 de la guía 3.

$$\left( \vec{\nabla}_x \vec{V} \right)^i = \frac{\epsilon^{ijk}}{\sqrt{2g}} (V_{k,j} - V_{j,k})$$

falta en el enunciado donde la métrica es euclídea y 3D.

$$\left( \vec{\nabla}_x \vec{V} \right)^i = \frac{1}{\sqrt{g}} \epsilon^{ijk} V_{k,j}$$

Pero Levi-Civita no es un tensor porque no transforma

$$\epsilon^{ijk} = \begin{cases} +1 & (ijk) \text{ perm. par} \\ -1 & (ijk) \text{ perm. impar} \\ 0 & \text{otra} \end{cases}$$

$$[\vec{\nabla} \times \vec{V}]_{SLI} = \epsilon^{ijk} \partial_j V_k \underline{e}_i$$

$$= \begin{vmatrix} \underline{e}_1 & \underline{e}_2 & \underline{e}_3 \\ \partial_1 & \partial_2 & \partial_3 \\ V_1 & V_2 & V_3 \end{vmatrix} \quad \{X^i\}_{SLI}$$

La idea es transformar a un sistema general de coordenadas

$$[\vec{\nabla} \times \vec{V}]^i = \frac{\partial X^i}{\partial X'^k} [(\nabla \times V)^k]_{SLI}$$

Entonces se usa una manguetita similar para arribar a:

$$[\dots] = \frac{\partial X^i}{\partial X'^k} \frac{\partial X'^k}{\partial X'^l} \frac{\partial X'^l}{\partial X'^m} \epsilon^{lmn} \partial_n V_s$$

$$= \det\left(\frac{\partial X}{\partial X'}\right) \epsilon^{lmn} \partial_n V_s$$

Como  $\epsilon$  es totalmente antisimétrica y proporcional a  $\epsilon^{123}$  con constante de proporcionalidad hallada con  $123 = 123$

Quiero ver que sea  $1/\det(g)$

$$g_{ij} = \frac{\partial X^m}{\partial X'^i} \frac{\partial X^m}{\partial X'^j} g_{m'n'}$$

$$\det(g_{ij}) = \left[ \det\left(\frac{\partial X}{\partial X'}\right) \right]^2 \det(g')$$

$$\sqrt{g} = \frac{1}{\left| \det\left(\frac{\partial X}{\partial X'}\right) \right|} \sqrt{g'}$$

pero  $\{X'^i\}$  son SLI  $\Rightarrow g' = 1$  y ya estamos

Hay un temite con el signo debido

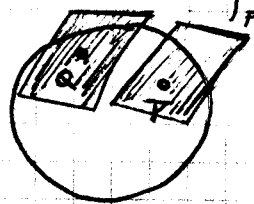
al carácter pseudovectorial del rotor.

● Problema 6

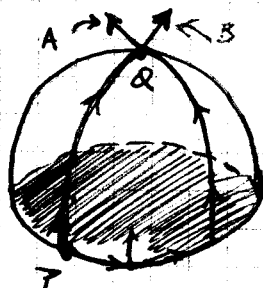
El transporte paralelo generaliza el transporte en un plano de un vector que se mantiene constante.

En  $\mathbb{R}^2$  definimos a los vectores como transportables al origen para hacer algunos cálculos.

En el et 4D tengo en cada punto asociado un espacio vectorial. Tengo un espacio tangente, pero es más delicado el transporte aquí.



En una esfera podemos pensar en dos caminos para un transporte paralelo.



Vemos que el transporte paralelo de un vector por dos caminos A, B depende del camino porque no se obtiene el mismo resultado.

Los símbolos de Christoffel son la conexión que permite el transporte.

La métrica de Schwarzschild es la de una fuente simétricamente esférica.

$$(ds)^2 = -\left(1 - \frac{2MG}{r}\right) dt^2 + \left(1 - \frac{2MG}{r}\right)^{-1} dr^2 + r^2 (d\theta^2 + \sin^2\theta \cdot d\varphi^2)$$

Considerar una circunferencia dada por

$$\left. \begin{aligned} t &= \text{cte} = t_0 \\ r &= r_0 \\ \theta &= \pi/2 \end{aligned} \right\} ds^2 = r_0^2 d\varphi^2$$

CURVA

pero  $r_0$  no es el radio de la circunferencia

$$p \rightarrow (t_0, r_0, \theta_0 = \pi/2, \varphi = 0)$$

OBS

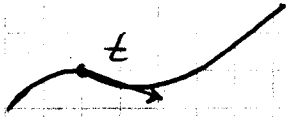
Al meter 1,2,3 en esto resulta igual a  $\det\left(\frac{\partial X}{\partial X'}\right)$

$$V_r = \left(1 - \frac{2MG}{r_0}\right)^{1/2} \quad V_\varphi = \frac{1}{r_0}$$

$$V = V_r e^r$$

$$U = U_\varphi e^\varphi$$

$$\{e^\mu\} \rightarrow \{\partial_\mu\} (\partial_t, \partial_r, \partial_\theta, \partial_\varphi)$$



$\vec{t}$  → campo vectorial tangente a la curva

$$X^\mu = (t_0, r_0, \theta_0 = \frac{\pi}{2}, \varphi(\lambda))$$

$$\frac{dX^\mu}{d\lambda} = \dot{t}^\mu$$

Tomando  $\lambda = \varphi$ ,  $\dot{t}^\mu = 1 \partial_\varphi$

V se transporta a lo largo de la curva en forma paralela si

$$\nabla_{\dot{t}} V = 0$$

$$\dot{t}^\mu \nabla_\mu V_\nu = \dot{t}^\mu \partial_\mu V_\nu -$$

$$\Gamma_{\mu\nu}^\rho \dot{t}^\mu V_\rho$$

$$\dot{t}^\rho = 1 \delta^{\rho\varphi}$$

$$\dot{t} = \partial_\varphi \Rightarrow$$

$$\partial_\varphi V_\mu - \Gamma_{\varphi\mu}^\nu V_\nu = 0 \quad [1]$$

tiene que cumplirse [1] en todos puntos a lo largo de la curva.

Quiero calcular:

$$\Gamma_{\varphi\mu}^\nu |_{\text{CURVA}}$$

•  $\mu = t$

$$\Gamma_{\varphi t}^\nu = \frac{g}{2} \left( \overbrace{\partial_\varphi g_{\varphi t}}^{\rightarrow 0} + \overbrace{\partial_t g_{\varphi\varphi}}^{\rightarrow 0} - \overbrace{\partial_\sigma g_{\varphi t}}^{\rightarrow 0} \right)$$

para  $g_{tt} = -\left(1 - \frac{2MG}{r}\right)$

$$g_{rr} = \left(1 - \frac{2MG}{r}\right)^{-1}$$

$$\Rightarrow \Gamma_{\varphi t}^\nu = 0 \quad (\text{no dependen de } t, \varphi)$$

•  $\mu = \theta$   $\Gamma_{\varphi\theta}^\nu = 0$ , desde

$$\Gamma_{\varphi\theta}^\nu = g^{\rho\sigma} r^2 \sin\theta \cos\theta$$

, pero sobre la curva  $\theta = \pi/2$

•  $\mu = r$   $\Gamma_{\varphi r}^\nu |_{\text{CURVA}} = \frac{1}{r_0}$

$$\Gamma_{\varphi r}^\nu = 0 \quad (\text{si } \nu \neq \varphi)$$

•  $\mu = \varphi$

$$\Gamma_{\varphi\varphi}^r = -r_0 \left(1 - \frac{2MG}{r_0}\right)$$

$$\Gamma_{\varphi\varphi}^\nu = 0 \quad (\text{si } \nu \neq r)$$

Entonces queremos ahora que  $X^\mu$  pueda ser  $V, U$  con lo cual:

$$\partial_\varphi X_\mu - \Gamma_{\varphi\mu}^\nu X_\nu = 0$$

$$V_r(\varphi=0) = \left(1 - \frac{2MG}{r_0}\right)^{1/2}$$

$$U_\varphi(\varphi=0) = \frac{1}{r_0}$$

•  $\mu = t$

$$\partial_\varphi X_t - \Gamma_{\varphi t}^\nu X_\nu = 0$$

$$\partial_\varphi X_t = 0 \quad \begin{matrix} V_t|_{\text{CURVA}} = 0 \\ U_t|_{\text{CURVA}} = 0 \end{matrix}$$

$$V_t |_{\text{CURVA}} = U_t |_{\text{CURVA}} \Rightarrow \text{no}$$

•  $\mu = \theta$

$$\partial_\varphi X_\theta = 0 \Rightarrow V_\theta |_{\text{CURVA}} = U_\theta |_{\text{CURVA}} = 0$$

•  $\mu = r$

$$\frac{\partial X_r}{\partial \varphi} - \Gamma_{\varphi r}^\nu X_\nu = 0$$

$$\Gamma_{\varphi r}^r X_r + \Gamma_{\varphi r}^\theta X_\theta$$



6-10-08

$$(A) \frac{\partial X_r}{\partial \phi} - \frac{1}{r_0} X_\phi = 0$$

$\rightarrow \Gamma_{\phi r}^\phi$

$\mu = \phi$

$$(B) \frac{\partial X_\phi}{\partial \phi} + r_0 \left(1 - \frac{2MG}{r_0}\right) X_r = 0$$

$$\frac{\partial}{\partial \phi} (B) \Rightarrow (r_0 - 2MG) X_r$$

$$\frac{\partial^2 X_\phi}{\partial \phi^2} + r_0 \left(1 - \frac{2MG}{r_0}\right) \frac{\partial X_r}{\partial \phi} = 0$$

$$X_\phi = A \cdot \cos\left(\sqrt{1 - \frac{2MG}{r_0}} \phi + C\right)$$

$$X_r = \frac{A}{r \sqrt{1 - \frac{2MG}{r_0}}} \sin\left(\sqrt{1 - \frac{2MG}{r_0}} \phi + C\right)$$

Usando las condiciones iniciales se tendrá:

$$\begin{cases} V_r = \sqrt{1 - \frac{2MG}{r_0}} \cos\left(\sqrt{\quad} \phi\right) \\ V_\phi = -r_0 \left(1 - \frac{2MG}{r_0}\right) \sin\left(\sqrt{\quad} \phi\right) \\ V_t = V_\theta = 0 \end{cases}$$

$$R = g^{\mu\nu} R_{\mu\nu} = R^\nu_\nu$$

$$U_r = \frac{1}{r_0^2} \frac{1}{\sqrt{\quad}} \sin\left(\sqrt{\quad} \phi\right)$$

$$U_\phi = \frac{1}{r_0} \cos\left(\sqrt{\quad} \phi\right)$$

$$U_t = U_\theta = 0$$

Se mantiene la ortogonalidad

$$V \cdot U|_p = 0 \quad V \cdot V|_p = V \cdot V|_q$$

$$V \cdot U|_q = 0 \quad U \cdot U|_p = U \cdot U|_q$$

**Teoría**

Algunos Comentarios Extra sobre el Tensor de curvatura  $R$

Una de las propiedades importantes es que permite determinar si la variedad es plana.

A partir de las propiedades podemos ver que el # de componentes independientes era:

$$\frac{1}{2} n^2 (n^2 - 1) \quad [1]$$

Habíamos visto que en un SGI podemos

$$\bullet g_{\mu\nu}|_p = \gamma_{\mu\nu}$$

$$\bullet g_{\mu\nu, \sigma}|_p = 0$$

$$\bullet g_{\mu\nu, \rho\sigma}|_p = 0 \quad (\text{NO TODAS CUMPLEN ESTO})$$

y el número de derivadas 2<sup>as</sup> que no se anulaban es [1]. Entonces el tensor de Riemann es el tensor más general que me puedo construir con 2<sup>as</sup> de la 1<sup>a</sup> métrica (con CL de ellas)

A veces tiene interés, en GR, estudiar teorías 2D 3D para aproximar el espacio-tiempo 4D (py theory). Desde [1] resulta:

	$R_{\mu\nu\rho\sigma}$	DEFINIMOS EN TERMINOS DE $R$ escalar de Ricci
$n=2 \rightarrow$	1	
$n=3 \rightarrow$	6	$R_{\mu\nu}$ (6 comp. indep.)
$n=4 \rightarrow$	20	

Si el  $R_{\mu\nu} = 0$  entonces el  $R_{\mu\nu\rho\sigma}$  debe ser cero. Para  $n=4$ , el  $R_{\mu\nu}$  tiene 10 componentes independientes y se queda chico para caracterizar.

En  $n \geq 4$  se puede anular  $R_{\mu\nu}$  o no  $R_{\mu\nu\rho\sigma}$

La igualdad de Bianchi

$$R_{\mu\nu\rho\sigma};\lambda = 0$$

→ ciclico  
permite demostrar que el tensor de Einstein cumple:

$$\left( R^{\mu\nu} - \frac{1}{2} R g^{\mu\nu} \right)_{;\nu} = 0$$

donde se define:

$$G^{\mu\nu} = R^{\mu\nu} - \frac{1}{2} R g^{\mu\nu}$$

Se prueba explícitamente como:

$$R_{\mu\nu\rho\sigma};\lambda + R_{\mu\nu\lambda\rho};\sigma + R_{\mu\nu\sigma\lambda};\rho = 0$$

queremos contraer índices, entonces necesitamos una matriz (inversa de la métrica):

$$\rightarrow g^{\mu\rho} (R_{\mu\nu\rho\sigma};\lambda + R_{\mu\nu\lambda\rho};\sigma + R_{\mu\nu\sigma\lambda};\rho) = 0$$

pero  $R_{\nu\sigma} = g^{\mu\rho} R_{\mu\nu\rho\sigma}$  y hay una derivada covariante pero la métrica puede entrar y salir de ahí.

$$R_{\nu\sigma};\lambda = (g^{\mu\rho} R_{\mu\nu\rho\sigma});\lambda$$

$$R_{\nu\sigma};\lambda = g^{\mu\rho} R_{\mu\nu\rho\sigma};\lambda$$

entonces

$$R_{\nu\sigma};\lambda - R_{\nu\lambda};\sigma + R^{\mu}{}_{\nu\sigma\lambda};\mu = 0$$

y el (-) se originó en que intercombié índices

$$\rightarrow g^{\nu\sigma} (R_{\nu\sigma};\lambda - R_{\nu\lambda};\sigma + R^{\mu}{}_{\nu\sigma\lambda};\mu) = 0$$

$$R_{;\lambda} - R^{\nu}{}_{\lambda;\nu} - R^{\mu}{}_{\lambda;\mu} = 0$$

$$R_{;\lambda} - 2R^{\nu}{}_{\lambda;\nu} = 0$$

$$(R g^{\nu}{}_{\lambda} - 2R^{\nu}{}_{\lambda});_{;\nu} = 0$$

donde usamos algunas propiedades como:

$$g^{\nu\sigma} g_{\sigma\lambda} = g^{\nu}{}_{\lambda}$$

$$g^{\nu\sigma} = (g_{\sigma\lambda}^{-1})$$

y subo índices haciendo

$$g^{\mu\lambda} (R g^{\nu}{}_{\lambda} - 2R^{\nu}{}_{\lambda});_{;\nu} = 0$$

$$(R g^{\nu\mu} - 2R^{\nu\mu});_{;\nu} = 0$$

multiplicando por  $(-2)^{-1}$  llegamos a la ecuación buscada.

### ● Ecuaciones de Einstein (INTRO)

Antes de meternos con esta necesitamos preocuparnos con el tensor de energía impulso. Partimos de Poisson en gravedad newtoniana

$$\nabla^2 \phi = 4\pi G \rho$$

laplaciano del potencial es proporcional a la densidad de masa.

Las ecuaciones de Einstein generalizan esto y deberian repetirlo como límite de campo débil. En SR se tiene

$$\nabla^2 g_{00} = -8\pi G \rho = -8\pi G T_{00}$$

$$g_{00} = (1 + 2\phi)$$

$$\nabla^2 g_{00} = -2\nabla^2 \phi$$

podemos designar como  $T_{00}$  (la componente 00 de un dado tensor) y buscar ECUACIONES TENSORIALES. Un tensor relacionado con la métrica, igual a otro tensor relacionado con el contenido de materia y energía.

Tendrá que ser simétrico y con divergencia nula

$$S_{\mu\nu} = 8\pi G T_{\mu\nu}$$

Haciendo una reminiscencia a fluidos (los perfectos):

$$P, \rho \quad P = P(\rho)$$

$g_{\mu\nu};\lambda = 0$   
vale en todos sistemas

$g_{\mu\nu};\lambda = 0$   
solo en SLI

Metemos un tensor de impulsos

$$T_{ik} = p \delta_{ik} + \rho v_i v_k$$

y donde  $p$  (presión),  $\rho$  (densidad)  $v_i$  (componente  $\vec{v} \cdot \hat{i}$ ). La interpretación es que

$T_{ik} \Rightarrow$  flujo de impulso  $i$  en la dirección  $k$

La dinámica del fluido es la de la ecuación de Euler

$$\rho \left( \frac{\partial \vec{v}}{\partial t} + (\vec{v} \cdot \nabla) \vec{v} \right) = -\nabla p$$

o en términos del tensor

$$\partial_\mu (\rho v_i) = -\sum_{k=1}^3 \partial_k T_{ik}$$

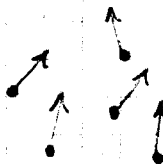
Esto lo queremos generalizar para el espacio tiempo 4D.

Las componentes de  $\vec{p}$  obviamente no son un tensor, aun que combinando con la energía sí lo SON.

Definimos:

$$T^{\alpha\beta} = \begin{cases} T^{\alpha i} \equiv \text{flujo de comp } \alpha \text{ de cuatrimpulsos en dirección } i \\ T^{\alpha 0} \equiv \text{densidad de } p^\alpha \end{cases}$$

Comencemos considerando partículas, y definiremos un vector que será el flujo de partículas



$$N^\alpha(t, \vec{x}) = \sum_N \delta^3(\vec{x} - \vec{x}_N(t)) \frac{dX_N^\alpha}{dt}$$

considerando que:

$$X_N^\alpha = (t, \vec{x}_N(t))$$

y  $N^\alpha$  es la densidad de partículas. Otro de definir un flujo de partículas

$$N^0(t, \vec{x}) = \sum \delta^3(\vec{x} - \vec{x}_N(t)) \frac{dX_N^0}{dt}$$

$$N^i(t, \vec{x}) = \sum_N \delta^3(\vec{x} - \vec{x}_N(t)) \frac{dX_N^i}{dt}$$

entonces un flujo será algo como

$$\text{FLUJO A TRAVÉS de } dS \propto \int \vec{N} \cdot d\vec{S}$$

Deberíamos ver que  $N^\alpha$  transforma como un cuatrivector. Esto se puede ver en el libro de WEINBERG. Reescribiremos  $N^\alpha$  para que sea obvio que forman un cuatrivector

$$N^\alpha = \sum_N \int dt' \frac{dX_N^\alpha}{dt'} \delta^3(\vec{x} - \vec{x}_N(t)) \delta(t - X_N^0(t'))$$

ahora parametriza las trayectorias con  $\tau$

$$N^\alpha = \sum_N \int d\tau \frac{dX_N^\alpha}{d\tau} \delta^4(X^\alpha - X_N^\alpha(\tau))$$

$$N^\alpha(X) = \sum_N \int d\tau \underbrace{U_N^\alpha(\tau)}_{\text{escalar vector}} \underbrace{\delta^4(X^\alpha - X_N^\alpha(\tau))}_{\text{escalar}}$$

asi escrito se ve que:  $N^\alpha$  es un cuatrivector. Por supuesto la deducción para  $J^\alpha$  sería idem. Esperaríamos que se cumpla algo como:

$$\partial_\alpha N^\alpha = 0$$

La cuenta es más fácil en la expresión que no es explícitamente covariante. Anonguemos espacialmente con:

$$\begin{aligned} \sum_i \partial_i N^i &= \sum_i \int d\tau \frac{\partial}{\partial x^i} \left[ \delta^3(\vec{x} - \vec{x}_N(t)) \right] \frac{dX_N^i}{dt} \\ &\quad - \frac{\partial}{\partial x^i} \delta^3(\vec{x} - \vec{x}_N(t)) \\ &= -\sum_N \frac{d}{dt} \delta^3(\vec{x} - \vec{x}_N(t)) = -\partial_0 N^0 \Rightarrow \end{aligned}$$

$$\partial_0 N^0 + \partial_i N^i = 0 \Rightarrow$$

$$\partial_\alpha N^\alpha = 0$$

Entonces  $N^\alpha$  tiene cuadrivergencia nula. Eso significa que hay una cantidad que se conserva.

$p^\alpha$  es el cuatrimpulso  
 $p^\alpha = m_0 U^\alpha$

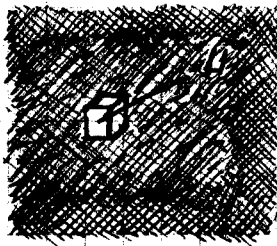
Partículas puntuales

$$\partial_\alpha N^\alpha = 0 \Rightarrow$$

$$\int d^3x N^0(t, \vec{x}) = cte$$

$$\int d^3x N^0(t, \vec{x}) = N_{total}$$

Ahora pasemos a un fluido, en lugar de considerar partículas puntuales. Consideremos un sistema donde el elemento de volumen se halla en reposo. Defino:



$n \equiv$  DENSIDAD DE PARTICULAS

$$N^\alpha_{REPOSO} = n U^\alpha_{REPOSO}, \text{ con}$$

$$U^\alpha_{REPOSO} = (1, 0, 0, 0)$$

En un sistema cualesquiera:

$$N^\alpha = n U^\alpha = \frac{n(1, \vec{v}(\vec{x}, t))}{\sqrt{1-v^2}}$$

$$N^\alpha(\vec{x}, t) = \left( \frac{n}{\sqrt{1-v^2}}, \frac{\vec{v} \cdot n}{\sqrt{1-v^2}} \right)$$

En una situación donde no hay fuentes ni sumideros

$$\partial_\alpha N^\alpha = 0$$

$$N_T = \int d^3x \frac{n(\vec{x}, t)}{[1-v^2(\vec{x}, t)]^{1/2}} = cte$$

Generalicemos algo esto ahora con el

● Tensor de Energía Impulso  
Si consideramos un sistema de partículas puntuales

$$T^{\alpha\beta}(\vec{x}, t) = \sum_N P_N^\alpha + \frac{dX_N^\beta}{dt} \delta^3(\vec{x} - \vec{x}_N(t))$$

para  $T^{00}$  es la densidad de impulso  $P_N^0$

$$T^{00} = \sum_N P_N^0 + \frac{dX_N^0}{dt} \delta^3(\vec{x} - \vec{x}_N(t))$$

para  $T^{0i}$  es el flujo de  $P^0$  en dirección  $\hat{i}$

$$T^{0i} = \sum_N P_N^\alpha \frac{dX_N^i}{dt} \delta^3(\vec{x} - \vec{x}_N(t))$$

Metemos una variable dummy para que se lea explícitamente covariante.

$$= \sum_N \int dt' P_N^\alpha(t') \frac{dX_N^\beta(t')}{dt'} \delta^4(x^\alpha - x_N^\alpha(t'))$$

$$= \sum_N \int d\tau P_N^\alpha(\tau) U_N^\beta(\tau) \delta^4(x^\alpha - x_N^\alpha(\tau))$$

luego:

$$T^{\alpha\beta}(x) = \sum_N m_N \int d\tau U_N^\alpha(\tau) U_N^\beta(\tau) \times \delta^4[x - x_N(\tau)]$$

y claramente es un tensor porque son productos de cosas que transforman como vectores, escalares, etc.

Sin embargo resulta ser que:

$$\partial_\beta T^{\alpha\beta} \neq 0$$

porque tenemos un término en el impulso ahora, entonces:

$$\partial_\beta T^{\alpha\beta} = \sum_N \frac{dP_N^\alpha}{dt} \delta^3(\vec{x} - \vec{x}_N(t))$$

veamos que si el impulso no se conserva (por un campo externo, etc) no será nula la  $\partial_\beta T^{\alpha\beta}$ . Será nula sin campos externos y cuando las interacciones son por choques localizados [lo que gana una partícula lo pierde la otra]

### Práctica

Convenciones de signos

Según Misner, Wheeler, Thorne una convención se da con tres signos

S1 S2 S3

■ S1: signatura de la métrica

$$\eta_{\mu\nu} = [S1] \times \text{diag}(-1, 1, 1, 1)$$

■ S2: tensor de curvatura

$$R^\nu_{\alpha\beta\gamma} = [S2] \left( \Gamma^\mu_{\alpha\gamma, \beta} - \Gamma^\mu_{\alpha\beta, \gamma} \right)$$

Hay conservación de longitud

$$N^0 = \gamma n^0$$

↓  
EN REPOSO

$$+ \Gamma_{\sigma\beta}^{\mu} \Gamma_{\gamma\alpha}^{\sigma} - \Gamma_{\sigma\gamma}^{\mu} \Gamma_{\beta\alpha}^{\sigma}$$

■ S3: Ecuación de Einstein

$$G_{\mu\nu} = [S3] \frac{8\pi G}{c^4} T_{\mu\nu}$$

Por otro lado

$$R_{\mu\nu} = [S2][S3] R^{\alpha}_{\mu\alpha\nu}$$

En este esquema:

GRAVITATION	(+++)
Hartle	(+++)
Weinberg	(+--)

Wald	(+++)
T'Hooft	(++-)
Carroll	(++-)

● Problema 10

- 1 ●  $R_{\lambda\mu\nu\rho} = R_{\nu\rho\lambda\mu}$
- 2 ●  $R_{\lambda\mu\nu\rho} = -R_{\mu\lambda\nu\rho}$
- 3 ●  $R_{\lambda[\mu\nu\rho]} = 0$

$$\frac{1}{3!} (R_{\lambda\mu\nu\rho} - R_{\lambda\mu\rho\nu} - R_{\lambda\nu\rho\mu} + R_{\lambda\nu\mu\rho} + R_{\lambda\rho\mu\nu} + R_{\lambda\rho\nu\mu})$$

USANDO LAS 2 PROP.

$$\frac{2}{3!} (R_{\lambda\mu\nu\rho} + R_{\lambda\nu\rho\mu} + R_{\lambda\rho\mu\nu})$$

⇒ equivale a

$$R_{\lambda\mu\nu\rho} + R_{\lambda\rho\mu\nu} + R_{\lambda\nu\rho\mu} = 0$$

Queremos ver cuáles son sus componentes independientes en "n" dimensiones de la variedad.

Podemos escribir:

$$R_{AB} = R_{BA}$$

donde agrupamos:

$$A = (\lambda\mu) \quad \wedge \quad B = (\nu\rho)$$

↓ N                      ↓ N

entonces la cantidad de componentes independientes serán los de

una matriz simétrica en N dimensiones

$$\frac{N(N+1)}{2}$$

Si esto se cumple 1. sería  $N=n^2$ . Pero sabemos que cambiando

heva a un cambio de signos  $(\lambda\mu) \rightarrow (\mu\lambda)$

$$R_{\lambda\mu\nu} = -R_{\mu\lambda\nu}$$

$$N = \frac{n(n-1)}{2}$$

porque es el # de componentes de una matriz de  $n \times n$ . Hasta ahora con 1 y 2 es

$$\frac{N(N+1)}{2} = \frac{n(n-1)}{2} \left( \frac{n(n-1)}{2} + 1 \right)$$

Si ignoramos la propiedad 3 vemos que está relacionada si  $\mu=\nu$  es nulo o  $\mu=\rho$ , etc. esto no es de constraint sobre el R. Solo tendré alguna condición que aparte van.

$$\mu \neq \nu \neq \rho$$

Si  $\lambda=\mu$

$$R_{\lambda\mu\nu\rho} + R_{\mu\rho\nu\lambda} + R_{\mu\nu\rho\lambda} = 0$$

(por 2.) (usando las prop. 1, 2.)

donde el último transformo:

$$R_{\lambda\mu\nu\rho} \xrightarrow{1} R_{\rho\mu\nu\lambda} \xrightarrow{2} R_{\mu\rho\nu\lambda}$$

Otra vez ves que no tengo información extra.

Tendremos una condición solo si  $\lambda \neq \mu \neq \nu \neq \rho$  una cosa del tipo

$$\Delta_{\lambda\mu\nu\rho} = 0$$

dará como cada índice toma n valores

$$\binom{n}{4} = \frac{n!}{(n-4)!4!} =$$

$$\frac{n(n-1)(n-2)(n-3)}{4!}$$

Entonces el # de componentes independientes será:

$$\frac{n(n-1)}{2} \left( \frac{n(n-1)}{2} + 1 \right) - \binom{n}{4}$$

,amasando

$$\boxed{\# = \frac{n^2(n^2-1)}{2}}$$

con un número de dimensiones

- $n=1 \rightarrow 0$  componentes indeptes.
- $n=2 \rightarrow 1$  componentes indeptes.
- $n=3 \rightarrow 6$  componentes indeptes.
- $n=4 \rightarrow 20$  componentes indeptes.

, en  $n=1$  no hay noción de curvatura. En 1D un círculo no es curvo es curvo en 2D si lo veo como figura 2D (en una dimensión mayor).

En 2D el escalar de Ricci me basta para conocer el tensor de Riemann

En 3D con  $R_{\mu\nu}$  (6 componentes) ya lo determina.

● Problema 9 Observaciones

2-esfera =  $S^2 \rightarrow$

$$ds^2 = a^2 (d\theta^2 + \sin^2\theta \cdot d\varphi^2)$$

, las componentes  $\neq 0$  de los símbolos:

$$\Gamma_{\varphi\varphi}^{\theta} = -\cos\theta \cdot \sin\theta$$

$$\Gamma_{\varphi\theta}^{\varphi} = \frac{\cos\theta}{\sin\theta} = \cot\theta$$

$$R^{\mu}_{\alpha\beta\gamma} = \Gamma^{\mu}_{\alpha\delta} \Gamma^{\delta}_{\beta\gamma} - \dots$$

por argumentos de simetría la componente independiente es

$$R_{\varphi\theta\theta\varphi} = \Gamma_{\varphi\theta,\varphi}^{\theta} - \Gamma_{\varphi\varphi,\theta}^{\theta} = \Gamma_{\varphi\varphi}^{\theta} - \Gamma_{\theta\varphi}^{\theta} \Gamma_{\theta\varphi}^{\varphi} = \partial_{\theta}(-\cos\theta \cdot \sin\theta) - \Gamma_{\varphi\varphi}^{\theta}$$

$$= \sin^2\theta$$

$$R_{\mu\nu} = R^{\lambda}_{\mu\lambda\nu}$$

$$R_{\theta\theta} = R^{\varphi}_{\theta\varphi\theta} = R^{\varphi}_{\theta\varphi\theta} = g^{\varphi\varphi} R_{\varphi\theta\varphi\theta}$$

$$R_{\theta\theta} = g^{\varphi\varphi} R_{\varphi\theta\varphi\theta} = g^{\varphi\varphi} g_{\theta\theta} R^{\theta}_{\varphi\theta\varphi} = 1$$

$$R_{\varphi\theta} = R^{\lambda}_{\varphi\theta\lambda} = 0$$

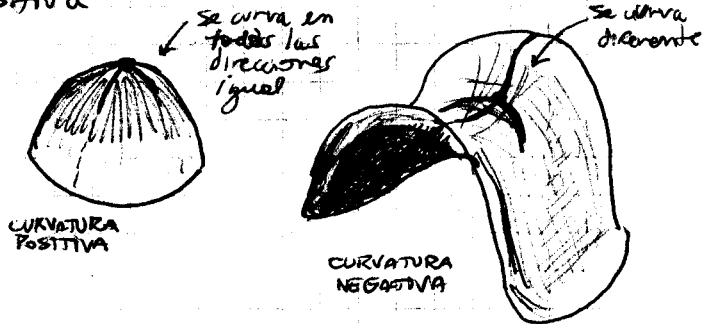
$$R_{\varphi\varphi} = R^{\lambda}_{\varphi\lambda\varphi} = R^{\theta}_{\varphi\theta\varphi} = \sin^2\theta$$

$$R = g^{\mu\nu} R_{\mu\nu}$$

$$R = g^{\varphi\varphi} R_{\varphi\varphi} + g^{\theta\theta} R_{\theta\theta}$$

$$\boxed{R = 2/a^2}$$

, el escalar de Ricci tiene signo definido y nos lleva a curvatura positiva



En 2D se puede escribir

$$R_{\mu\nu\rho\sigma} = \frac{R}{2} (g_{\mu\rho} g_{\nu\sigma} - g_{\mu\sigma} g_{\nu\rho})$$

Para un cilindro

$$dl^2 = a^2 dp^2 + dz^2$$



Como el tensor depende de derivadas de la métrica  $\rightarrow$  en una métrica constante es NO CURVO

$$R_{\mu\nu\rho\sigma} = 0 \text{ con } g_{\mu\nu} = \text{cte}$$

8-10-08

Teoría  
 ● Overview clase anterior

$$N^\alpha(\vec{x}, t) = \sum_N \int d^3\vec{x}' \delta(\vec{x} - \vec{x}'_N(t)) \frac{dX_N^\alpha}{dt}$$

$N^\alpha$  cuadvector,  $\partial_\alpha N^\alpha = 0 \Rightarrow$

se tenía:

$$N_T = \int d^3\vec{x} N^0(\vec{x}, t) = \text{cte}$$

y para un fluido (caso continuo):

$$N^\alpha = n U^\alpha \therefore \underline{N} = n \underline{U}$$

$$N_T = \int d^3\vec{x} \frac{n(\vec{x}, t)}{\sqrt{1 - v^2(\vec{x}, t)}} = \text{cte}$$

; además tenemos el cuadvimpulso

$$T^{\alpha\beta}(\vec{x}, t) = \sum_N P_N^\alpha(t) \frac{dX_N^\beta}{dt} \delta(\vec{x} - \vec{x}'_N(t))$$

un tensor simétrico, donde:

$T^{\alpha 0}$  = densidad de  $P^\alpha$

$T^{\alpha i}$  = flujo de  $P^\alpha$  con la dirección  $\hat{i}$



Hagámoslo explícitamente:

$$\partial_\alpha T^{\alpha\beta} \rightarrow \sum_{i=1}^3 \partial_i T^{\alpha i} = \sum_{i=1}^3 \sum_N P_N^\alpha(t) \frac{dX_N^i}{dt} \partial_i \delta(\vec{x} - \vec{x}'_N(t))$$

$$= \sum_N P_N^\alpha(t) \frac{d}{dt} \left( \delta(\vec{x} - \vec{x}'_N(t)) \right) \Rightarrow$$

y multiplicando por la otra derivada y teniendo en cuenta que está toda su mada resulta:

$$= - \sum_N P_N^\alpha(t) \frac{d}{dt} \left( \delta(\vec{x} - \vec{x}'_N(t)) \right) \Rightarrow \frac{d}{dt} \left( \dots \right) - \sum_N \frac{dP_N^\alpha}{dt} \delta(\vec{x} - \vec{x}'_N(t))$$

$$\Rightarrow \sum_{i=1}^3 \partial_i T^{\alpha i} = - \partial_0 T^{\alpha 0} +$$

$$\sum_N \frac{dP_N^\alpha}{dt} \delta(\vec{x} - \vec{x}'_N(t))$$

, luego pasando de miembros:

$$\partial_\beta T^{\alpha\beta} = G^\alpha \leftarrow \text{densidad de fuerza}$$

Que vamos a indagar cuando se conserva esta cosa; necesitaremos



i. ≠ fuerzas externas

ii. Interacción local (por colisiones)

Si cumplimos estos items se da:

$$\partial_\beta T^{\alpha\beta} = 0$$

La interacción local hará que se conserve la suma de intercambios de momentos en colisiones.

En un sistema de partículas cargadas se vale  $\ell$ , pero no  $\ell\ell$ . En este caso

$$\partial_\beta T^{\alpha\beta} = F^\alpha \cdot J^\beta$$

diríamos que lo que se conserva es el impulso de las partículas + el impulso del campo

$$\partial_\beta T_{TOT}^{\alpha\beta} = \partial_\beta (T^{\alpha\beta} + T_{EM}^{\alpha\beta}) = 0$$

Una vez que tengo la ley de conservación dirémos que tenemos 4 leyes de conservación asociadas a

$$P_{total}^\alpha = \int d^3\vec{x} T^{\alpha 0}(\vec{x}, t) = \text{cte}$$

● COMENTARIO

Si el sistema es No-Relativista la componente '00' es mucho mayor que las otras. Escribimos:

$$T^{\alpha\beta} = \sum_N \frac{P_N^\alpha P_N^\beta}{E_N} \delta(\vec{x} - \vec{x}'_N(t))$$

≠ Una especie de densidad de fuerza

P(t)  
X(t)

nes tipo:

$$\boxed{\text{CURVATURA} = \text{DISTRIBUCIÓN de DEL E-T} = \text{MAT. Y ENERGÍA}}$$

, donde para campo débil, e independiente del tiempo de tierra, MAS llegar a:

$$\boxed{\nabla^2 \phi = 4\pi G \rho}$$

$$\nabla^2 g_{00} = -8\pi G \rho$$

con:  $g_{00} = -(1 + 2\phi)$ , y para partículas no relativistas:

$$\nabla^2 g_{00} = -8\pi G T_{00}$$

Necesito que las ecuaciones cumplan

1. Ecuaciones tensoriales, superando que:

$$S_{\mu\nu} = 8\pi G T_{\mu\nu} \quad [2]$$

2, tiene a la suma derivadas segundas de la métrica

3. En campo débil,

$$g_{\mu\nu} = \eta_{\mu\nu} + h_{\mu\nu}, \quad |h_{\mu\nu}| \ll 1, \quad h_{\mu\nu}(t, \vec{x})$$

De [2] extraemos

$$\nabla^2 g_{00} = -8\pi G T_{00}$$

Sería razonable pensar que  $S_{\mu\nu}$  se construye a través de la métrica.

De

$$2. \quad S_{\mu\nu} \propto R_{\mu\nu\rho\sigma}, \quad g^{\rho\sigma}$$

$$3. \quad S_{\mu\nu} = S_{\mu\nu}, \quad \text{como}$$

$$\nabla_\nu (T^{\mu\nu}) = 0 \Rightarrow$$

$$S_{\mu\nu} = A R_{\mu\nu} + B R g_{\mu\nu}$$

$$+ C g_{\mu\nu} = 8\pi G T_{\mu\nu}$$

Como  $\nabla_\nu S^{\mu\nu} = 0 \Rightarrow$  LLEGA A:

$$A \nabla_\nu R^{\mu\nu} + B g^{\mu\nu} \nabla_\nu R = 0$$

Usando la identidad de Bianchi llegamos a:

$$B = -\frac{A}{2}$$

por  $\nabla_\nu (R^{\mu\nu} - \frac{1}{2} R g^{\mu\nu}) = 0$

Aplicando estrictamente la 3

$$C = 0 \wedge A = 1$$

y Finalmente:

$$\boxed{R_{\mu\nu} - \frac{1}{2} R g_{\mu\nu} = 8\pi G T_{\mu\nu}}$$

Pero vayamos al cálculo:

$$A [R_{\mu\nu} - \frac{1}{2} R g_{\mu\nu}] + C g_{\mu\nu} = 8\pi G T_{\mu\nu}$$

y necesito ver cuanto valen 'CA'. Comparar con la ecuación de campo débil estático y la del fluido relativista. Entonces

$$C = 0$$

Luego, para el fluido ligeramente relativista

$$\blacksquare T^{\mu\nu} = (p + \rho) U^\mu U^\nu + p g^{\mu\nu}$$

$$\blacksquare U^\mu \approx (1, 0, 0, 0)$$

$$\blacksquare g^{\mu\nu} \approx \eta^{\mu\nu}$$

$$\blacksquare p \ll \rho$$

$$\boxed{T^{\mu\nu} \approx \rho \delta_0^\mu \delta_0^\nu}$$

$$A \{ R_{\mu\nu} - \frac{1}{2} R g_{\mu\nu} \} = 8\pi G T_{\mu\nu}$$

, multiplico a ambos lados por  $g^{\mu\nu}$

Estas ecuaciones de Einstein, no se deducen sólo que se llega a ellas por inferencia



$$\Lambda \left\{ R - \frac{1}{2} R^2 \right\} = 8\pi G T$$

donde traza  $(g)$  =  $g^{\mu\nu} T_{\mu\nu}$

$$g^{\mu\nu} T_{\mu\nu} \approx \eta^{\mu\nu} T_{\mu\nu} \\ = -T^{00} = -\rho$$

$$\boxed{-\Lambda R \approx -8\pi G \rho}$$

$$R_{\mu\nu} = \frac{8\pi G}{\Lambda} \left[ T_{\mu\nu} - \frac{1}{2} g_{\mu\nu} T \right]$$

y  $T \equiv \text{traza} \left( \begin{smallmatrix} \rightarrow & \rightarrow \\ T & g \end{smallmatrix} \right)$

$$R_{00} = \frac{8\pi G}{\Lambda} \left[ \rho - \frac{1}{2} (-1)(-\rho) \right] \dagger$$

$$\boxed{R_{00} = \frac{4\pi G \rho}{\Lambda}}$$

Ahora deberíamos calcular el  $R_{00}$  en campo débil.

$$g_{\mu\nu} = \eta_{\mu\nu} + h_{\mu\nu} \text{ con } |h_{\mu\nu}| \ll 1$$

El  $R_{\mu\nu}$  tiene un montón de términos; necesito quedarme con los que tengan  $h$  a orden 1; solo quedarán los términos con derivadas en  $h$ , y uno los de las derivadas se guardan. Entonces:

$$R_{\mu\nu\rho\sigma} = \frac{1}{2} \left[ h_{\nu\rho,\mu\sigma} + h_{\mu\sigma,\nu\rho} - h_{\nu\mu,\rho\sigma} - h_{\rho\sigma,\nu\mu} \right] + \mathcal{O}(h^2) \quad [2]$$

$$R_{00} = g^{\mu\rho} R_{\mu 0 \rho 0} \approx$$

$$R_{00} = \eta^{\mu\rho} R_{\mu 0 \rho 0} \quad [3]$$

Cuando los índices son iguales  $\neq T^{00} \neq T_{00}$

les sumo en [3] de nulos, pero poner índices espaciales

$$\eta^{\mu\rho} R_{\mu 0 \rho 0} = \delta^{ij} R_{i0j0}$$

entonces reemplazo en [2]

$$R_{i0j0} = \frac{1}{2} \left[ h_{0jic0} + h_{i00j} - h_{ij00} - h_{00ij} \right]$$

entonces con métrica que no depende del tiempo se tiene:

$$R_{i0j0} \approx -\frac{1}{2} h_{00,ij} =$$

$$= -\frac{1}{2} g_{00,ij} \Rightarrow$$

$$R_{00} \approx -\frac{1}{2} \delta^{ij} g_{00,ij} \Rightarrow$$

$$R_{00} = -\frac{1}{2} \nabla^2 g_{00}$$

comparando

$$\boxed{\nabla^2 g_{00} = -8\pi G T_{00}}$$

con:

$$-\frac{1}{2} \nabla^2 g_{00} = \frac{4\pi G}{\Lambda} T_{00}$$

con lo cual

$$\boxed{\Lambda = 1}$$

luego:

$$\boxed{R_{\mu\nu} - \frac{1}{2} R g_{\mu\nu} = 8\pi G T_{\mu\nu}}$$

● Sobre la constante cosmológica En general:

$$\boxed{R_{\mu\nu} - \frac{1}{2} R g_{\mu\nu} + \Lambda g_{\mu\nu} = 8\pi G T_{\mu\nu}}$$

pero Einstein en 1915 supuso que  $\Lambda = 0$ . En 1917 buscando soluciones cosmológicas metió  $\Lambda \neq 0$  para tener soluciones estáticas, isotrópicas homogéneas.

Con  $\Lambda = 0$  tenemos Universos

en expansión.

Pero en 1922 Friedmann, usó  $\Lambda=0$ , y en 1935 Robertson-Walker demuestran que son las únicas viables. Friedmann entonces proclama un universo en expansión, mientras a Einstein le parecía estático.

Una  $\Lambda=0$  da expansión de acelerada, pero en 1998 aparentemente se observó que el universo se expande aceleradamente (habría que meter una  $\Lambda \approx 0$  pero NO NULA).

### ■ Práctica

#### ● Geodésicas.

Se obtiene a partir de un principio variacional

$$S = \int_{\tau}^{\tau'} \left( g_{\mu\nu} \frac{dX^\mu}{d\lambda} \frac{dX^\nu}{d\lambda} \right)^{1/2} d\lambda$$

donde la parametrización  $\lambda$  es cualquier.

Si elegimos tal que

$$\frac{dX^\mu}{d\lambda} \frac{dX^\nu}{d\lambda} g_{\mu\nu} = cte.$$

$$\Rightarrow \boxed{\frac{d^2 X^\mu}{d\lambda^2} + \Gamma_{\nu\rho}^\mu \frac{dX^\nu}{d\lambda} \frac{dX^\rho}{d\lambda} = 0}$$

luego  $\lambda =$  parámetro afín. Así mismo

$$\tilde{\lambda} = 2\lambda + b$$

también es un parámetro afín.

Una forma alternativa de escribir esto es con:

$$t^\mu = \frac{dX^\mu}{d\lambda}$$

$$\nabla_{\tilde{t}} t = 0 \Rightarrow$$

$$t^\mu \nabla_\mu t^\rho = 0$$

la geodésica transporta paralelamente su vector tangente.

≠ invariante ante cualquier parametrización

la condición de parámetro afín puede escribirse

$$[1] \quad \underline{t} \cdot \underline{t} = cte. \Rightarrow$$

$$t^\mu t^\nu g_{\mu\nu} = cte$$

Del ejercicio 5 guía anterior sabe más que [1] es una constante a lo largo de toda la curva.

$$\epsilon \equiv \underline{t} \cdot \underline{t} = \begin{cases} 1 & \text{espacial} \\ -1 & \text{temporal} \\ 0 & \text{nulo} \end{cases}$$

$$\nabla g_{\mu\nu} = 0$$

Usando  $\lambda = \tau \rightarrow$  (temporal)  $\epsilon = -1$

$$d\tau^2 = -g_{\mu\nu} dX^\mu dX^\nu$$

Alternativamente podemos usar otra acción

$$\tilde{S} = \int \left( \frac{dX^\mu}{d\lambda} \frac{dX^\nu}{d\lambda} g_{\mu\nu} \right) d\lambda$$

pero ahora esta  $\tilde{S}$  NO ES INVARIANTE ante cualquier reparametrización de la curva.

Por ello  $\lambda$  no puede ser cualquier cosa.

#### ● Problema 5

$$ds^2 = -e^{2\phi(r)} dt^2 + e^{2\Lambda(r)} dr^2 + r^2 (d\theta^2 + \sin^2 \theta d\varphi^2)$$

y los símbolos se calculan como:

$$\Gamma_{\nu\rho}^\mu = \frac{g^\mu{}_\alpha}{2} (\partial_\nu \dots)$$

pero aquí tenemos un ansatz

$$\begin{aligned} \tilde{g} &= g_{\mu\nu} \frac{dX^\mu}{d\lambda} \frac{dX^\nu}{d\lambda} = \\ &= e^{2\phi} \left( \frac{dt}{d\lambda} \right)^2 + e^{2\Lambda} \left( \frac{dr}{d\lambda} \right)^2 + r^2 \left( \frac{d\theta}{d\lambda} \right)^2 \\ &\quad + r^2 \sin^2 \theta \left( \frac{d\varphi}{d\lambda} \right)^2 \end{aligned}$$

Usamos las ecuaciones de E-L

$$\frac{d}{d\lambda} \left( \frac{\partial \tilde{\mathcal{L}}}{\partial \left( \frac{dx^\mu}{d\lambda} \right)} \right) = \frac{\partial \tilde{\mathcal{L}}}{\partial x^\mu}$$

\*  $\mu = t$  ; coordenada  $t$

$$\frac{d}{d\lambda} \left( \frac{\partial \tilde{\mathcal{L}}}{\partial \left( \frac{dt}{d\lambda} \right)} \right) = \frac{d}{d\lambda} \left( 2 \frac{dt}{d\lambda} e^{2\phi} \right)$$

$$= 2 \frac{d^2 t}{d\lambda^2} e^{2\phi} + 4 \frac{dt}{d\lambda} e^{2\phi}$$

$$\frac{d\phi}{dr} \cdot \frac{dr}{d\lambda}$$

$$\frac{\partial \tilde{\mathcal{L}}}{\partial t} = 0$$

Resulta entonces:

$$\frac{d^2 t}{d\lambda^2} + 2 \frac{dt}{d\lambda} \frac{dr}{d\lambda} \frac{d\phi}{dr} = 0$$

y de acá, substituir los símbolos de Christoffel.

$$\Gamma_{\theta\theta}^t = 0 \quad \Gamma_{rt}^t = \Gamma_{tr}^t = \frac{d\phi}{dr}$$

\*  $\mu = r$

$$\frac{d}{d\lambda} \left( \frac{\partial \tilde{\mathcal{L}}}{\partial \left( \frac{dr}{d\lambda} \right)} \right) = \left( \frac{dt}{d\lambda} \right) \left[ \frac{2 d\phi}{dr} e^{2\phi} \right]$$

$$+ e^{2\lambda} 2 \left( \frac{dr}{d\lambda} \right)^2 \frac{d\lambda}{dr} +$$

$$2r \left( \frac{d\theta}{d\lambda} \right)^2 + 2r \sin^2 \theta \left( \frac{d\varphi}{d\lambda} \right)^2$$

$$\frac{d}{d\lambda} \left( 2 \frac{dr}{d\lambda} e^{2\lambda} \right) = 2 e^{2\lambda} \frac{d^2 r}{d\lambda^2}$$

$$+ 4 \frac{d\lambda}{dr} e^{2\lambda} \left( \frac{dr}{d\lambda} \right)^2 \Rightarrow$$

$\frac{d^2 r}{d\lambda^2} + e^{-2(\lambda-\phi)} \frac{d\phi}{dr} \left( \frac{dt}{d\lambda} \right)^2$
$- r e^{-2\lambda} \left( \frac{d\theta}{d\lambda} \right)^2 - r \sin^2 \theta e^{-2\lambda} \left( \frac{d\varphi}{d\lambda} \right)^2$
$+ \frac{d\lambda}{dr} \left( \frac{dr}{d\lambda} \right)^2$

y leer los coeficientes es un juego de niños

$$\Gamma_{tt}^r = e^{-2(\lambda-\phi)} \frac{d\phi}{dr}$$

$$\Gamma_{rr}^r = \frac{d\lambda}{dr}$$

$$\Gamma_{\theta\theta}^r = -e^{-2\lambda} r$$

$$\Gamma_{\varphi\varphi}^r = -r e^{-2\lambda} \sin^2 \theta$$

Deberíamos poder obtener que:

\*  $\mu = \theta$

$$\Gamma_{r\theta}^\theta = \frac{1}{r}$$

$$\Gamma_{\varphi\varphi}^\theta = -\sin \theta \cdot \cos \theta$$

\*  $\mu = \varphi$

$$\Gamma_{\varphi r}^\varphi = \frac{1}{r}$$

$$\Gamma_{\theta\varphi}^\varphi = \frac{\cos \theta}{\sin \theta}$$

Para Schwarzschild corresponde el reemplazo:

$$e^{2\phi} = \left( 1 - \frac{2M}{r} \right)$$

$$e^{2\lambda} = \left( 1 - \frac{2M}{r} \right)^{-1}$$

Si la métrica hubiese sido diagonal todo sería más fácil.

Ahora querría hallar los vectores de Killing, para Schwarzschild

$$ds^2 = - \left( 1 - \frac{2M}{r} \right) dt^2 + \left( 1 - \frac{2M}{r} \right)^{-1} dr^2$$

$$+ r^2 (d\theta^2 + \sin^2 \theta \cdot d\varphi^2)$$

$\varphi \rightarrow$  CÍCLICA

$t \rightarrow$  CÍCLICA

Asociado a una

conserv. de L

" " " " " " " "

" " " " " " " "

" " " " " " " "

" " " " " " " "

" " " " " " " "

" " " " " " " "

llamamos  $L \equiv \partial_\varphi$

$K \equiv \partial_t$

$L \cdot t = \text{cte.}$

$t$ : tangente a la geodesica

$$L_\mu \frac{dX^\mu}{d\lambda} = \text{constante}$$

se conserva a lo largo de la curva. Las cantidades conservadas en este caso particular se hallan

$$L = L \cdot t = L_\mu \frac{dX^\mu}{d\lambda}$$

$$L_\mu = (t, r, \theta, \varphi) \text{ en base } \{e_\mu\}$$

$$L_\mu = g_{\mu\nu} L^\nu = g_{\mu\varphi} L^\varphi$$

$$\Rightarrow L_\varphi = r^2 \sin^2 \theta$$

$$L = r^2 \sin^2 \theta \frac{d\varphi}{d\lambda}$$

Para la energía resultará:

$$K^t = 1$$

$$K_t = g_{tt} = -\left(1 - \frac{2M}{R}\right)$$

$$K \cdot t = -E = -\left(1 - \frac{2M}{R}\right) \frac{dt}{d\lambda}$$

Teoría

● Racconto GR

La interacción gravitatoria está enhebrada en la geometría del espacio-tiempo. Las ecuaciones que la describen son:

$$R_{\mu\nu} - \frac{1}{2} R g_{\mu\nu} + \Lambda g_{\mu\nu} = 8\pi G T_{\mu\nu}$$

aunque esta no es la única alternativa. La física en los espaciales curvos lleva a pedir ecuaciones covariantes Lorentz y respetando un "principio de equivalencia":

En el SLI las leyes son las mismas que en ausencia de

gravedad.

Las ecuaciones de Maxwell se pueden escribir como

$$\bullet F_{\mu\nu};\mu = -J^\nu$$

$$F_{\mu\nu} = \partial_\mu A_\nu - \partial_\nu A_\mu \Leftrightarrow$$

$$\bullet F_{\mu\nu};\lambda = 0$$

$$F_{\mu\nu;\lambda} + F_{\nu\lambda;\mu} + F_{\lambda\mu;\nu} = 0$$

Tomando como válidas en el SLI sin gravedad (las  $\bullet$ ), queremos ver como resultan con la gravedad.

Para ello tienen que seguir siendo válidas en el SLI; y una forma de generalizar a cualquier sistema de referencia pero que en el SLI se reduzcan a estas. La forma más fácil es intercambiar  $\partial_\mu$  con  $\nabla_\mu$ ; esto lleva a:

$$\bullet F_{\mu\nu};\mu = -J^\nu$$

$$\bullet F_{\mu\nu};\lambda = 0$$

Pero, ¿es ésta la única posibilidad?

● Solución de las Ecuaciones de Einstein. El problema de Cauchy presenta 10 ecuaciones independientes:

$$R_{\mu\nu} - \frac{1}{2} R g_{\mu\nu} + \Lambda g_{\mu\nu} = 8\pi G T_{\mu\nu}$$

Dados

$$g_{\mu\nu}(x^0, \vec{x})|_{x^0} \text{ y } \frac{\partial}{\partial x^0} g_{\mu\nu}(x^0, \vec{x})|_{x^0}$$

¿se puede determinar únicamente la métrica para cualquier instante posterior?

Hagamos una analogía con el EM. Si tenemos las ecuaciones de Maxwell; es cierto que dados

$$A^\mu(x^0, \vec{x})|_{x^0} \text{ y } \frac{\partial}{\partial x^0} (A^\mu(x^0, \vec{x}))|_{x^0} \Rightarrow$$

$L = \partial\varphi$   
 $L^\mu = \partial_\mu$

Kepler le llamaría velocidad areolar

15/10/08

No es exactamente lo mismo estar en el SLI que no tener gravedad. Girar a 1er orden.

tendré  $A^\mu(x, \vec{x})$  unívocamente:

$$\boxed{F_{\mu\nu} = -\partial_\mu A_\nu + \partial_\nu A_\mu} \quad 4 \text{ ECUACIONES}$$

pero las ecuaciones no son independientes

$$F_{\mu\nu, \mu\nu} = 0$$

lleva a la conservación de la carga

$$-\partial_\nu J^\nu = 0 \dots \dots$$

⇒ NO SE PUEDE DETERMINAR UNÍVOCAMENTE EL  $A^\mu$

$A^\mu$  solución ⇒  $A^\mu + \partial^\mu f$  tmb ES SOL.

Tampoco pueden darse condiciones arbitrarias de  $A^\mu$

$$\nabla_\mu J^\mu = 0 \Rightarrow \int_{V=0} J^0 = \rho \quad \text{CARGA ELÉCTRICA}$$

$$P = \vec{\nabla} \cdot \vec{E} = -\nabla \cdot [\vec{\nabla} A^0 + \partial_t \vec{A}]$$

y la ecuación sólo tiene derivadas primeras temporales. Esto significa que

⇒ NO PUEDE DARLE VALORES ARBITRARIOS A  $A^\mu$  INICIAL

Las que permitan serían aquellos que tienen  $\frac{\partial^2 A^\mu}{\partial x^0^2}$

- Fijar el gauge; como por ejemplo  $\partial_\mu A^\mu = 0$
- Dar condiciones iniciales compatibles con el vínculo
- Resolver las ecuaciones con  $\nu = 1, 2, 3$

En relatividad general el problema es similar. Primero - mente el tensor de Einstein satisface

$$\boxed{G^{\mu\nu}_{; \nu} = 0}$$

$$\text{donde } G^{\mu\nu} = R^{\mu\nu} - \frac{1}{2} R g^{\mu\nu}$$

Entonces de las 10 ecuaciones son 6 independientes. Al tomar la derivada.

Las ecuaciones de Einstein NO DETERMINAN unívocamente la métrica (tengo sólo 6 independientes).

Esto está bien porque aún tenemos la libertad de hacer cambios de coordenadas.

Si en algún S hallo que solución de las EE puedo hallar una que funcionalmente diferente con un cambio de coordenadas que también es solución de las EE.

Debemos fijar el sistema de coordenadas. Una manera de hacerlo es

$$\boxed{\Gamma^\alpha_{\mu\nu} g^{\mu\nu} = 0}$$

Fijando el sistema de coordenadas

la cual no es un tensor (y esa es la gracia). Es equivalente a: [Un gauge]

$$\boxed{\partial_\nu (\sqrt{|g|} g^{\mu\nu}) = 0}$$

que son las coordenadas armónicas o el GAUGE de LORENTZ.

Asimismo las EE tienen vínculos, no tienen alguna derivada segunda. Esto puede salir de

$$\boxed{G^{\mu\nu}_{; \nu} = 0}$$

$$G^{\mu 0}_{; 0} + G^{\mu i}_{; i} + \Gamma^{\mu 0 \alpha}_{\nu 0} G^{\nu 0} + \Gamma^{\mu 0 \alpha}_{\nu 0} G^{\nu 0}$$

$$\text{pero } G^{\mu 0}_{; 0} = -G^{\mu i}_{; i} - \Gamma G - \Gamma G$$

donde toda esta expresión tiene a lo sumo derivadas segundas de la métrica (temporales).

⇒  $G^{\mu 0}$  tiene derivadas 1eras temporales de la métrica

Esto implica que;

$$\boxed{R^{\mu 0} - \frac{1}{2} R g^{\mu 0} + \Lambda g^{\mu 0} = 8\pi G T^{\mu 0}}$$

son vínculos. Cumplen el mismo papel que la ley de Gauss en el EM.

\* si fuese un tensor justamente no fija las coordenadas.

Asimismo:

$$R_{ij} - \frac{1}{2} R g_{ij} + \Lambda g_{ij} = 8\pi G T_{ij}$$

son las ecuaciones dinámicas.

Haciendo un cuadrado sinoptico ne estamos

1. Fijar el sistema de coordenadas (según la simetría del problema)
2. Dar CI compatibles con los vínculos en unidades  $x^0$
3. Obtenga  $\frac{\partial^2 g_{\mu\nu}}{\partial x^0^2}$  a partir de las ecuaciones dinámicas
4.  $g_{\mu\nu}$  y  $\frac{\partial g_{\mu\nu}}{\partial x^0}$  en  $x^0 + \Delta x^0$

GR en 'n' dimensiones  
 Con  $n=2$  no tenemos GR porque el tensor de Riemann tiene una única componente independiente

$$R_{\mu\nu\rho\sigma} = \frac{1}{2} R [g_{\mu\rho} g_{\nu\sigma} - g_{\mu\sigma} g_{\nu\rho}]$$

$$R_{\mu\nu} = \frac{1}{2} R g_{\mu\nu} \rightarrow G_{\mu\nu} = 0$$

Con  $n=3$  el # de componentes independientes del  $R_{\mu\nu\rho\sigma} = \#$  de comp. indep. del tensor de Ricci  $\rightarrow$  todo el tensor de Riemann se puede escribir en términos del tensor de Ricci

$$R_{\mu\nu\rho\sigma} = [g_{\mu\rho} R_{\nu\sigma} - g_{\mu\sigma} R_{\nu\rho} + g_{\nu\rho} R_{\mu\sigma} - g_{\nu\sigma} R_{\mu\rho} - g_{\mu\mu} g_{\nu\nu}]$$

A consecuencia de esto

$$\text{Si } R_{\mu\nu} = 0 \rightarrow R_{\mu\nu\rho\sigma} = 0$$

donde se anula el tensor de Ricci se anula el tensor de Riemann. donde no hay materia (se anula el tensor de energía (impulso y la constante cosmológica) no hay curvatura. la curvatura está donde hay materia.

Con  $n \geq 4$   $R_{\mu\nu\rho\sigma}$  no puede escribirse en términos de  $R_{\mu\nu}$ . El # de componentes indep. de  $R_{\mu\nu\rho\sigma}$  mayor al de  $R_{\mu\nu}$

$$R_{\mu\nu\rho\sigma} = \frac{1}{n-2} [g_{\mu\rho} R_{\nu\sigma} - g_{\mu\sigma} R_{\nu\rho} + g_{\nu\rho} R_{\mu\sigma} - g_{\nu\sigma} R_{\mu\rho}] - \frac{R}{(n-1)(n-2)} (g_{\mu\rho} g_{\nu\sigma} - g_{\mu\sigma} g_{\nu\rho}) + C_{\mu\nu\rho\sigma}$$

donde  $C_{\mu\nu\rho\sigma}$  es el tensor de Weyl o tensor conforme.

Principio Variacional (Hilbert-1915)  
 Las EE se pueden obtener desde un principio variacional. Comenzamos planteando una acción

$$S = S_{GR} + S_{MATERIA}^\dagger$$

, como alternativas

$$S_{MATERIA}^{EM} = -\frac{1}{4} \int dx^4 \sqrt{g} F_{\mu\nu} F^{\mu\nu}$$

Hilbert dice que el integrando tiene que ser un escalar para que la acción sea un tensor

$$S_{\mu\nu} = k \int dx^4 \sqrt{g} \cdot R$$

donde el escalar de Ricci,  $R$ , es la elección natural.

† Pero tmb. podríamos poner una cosa "que da comp. EM" como fuente de materia

$$S_{\text{Einstein-Hilbert}} = \frac{1}{16\pi G} \int dx^4 \sqrt{g} R$$

La variación de esta acción dará las ecuaciones de E-L, que resultarán ser las de Einstein.

Esto nos lleva a modificaciones a GR, teorías alternativas a la GR. Numerándolas:

A Teorías con derivadas de orden superior:

$$S_{\text{GRAV}} = \frac{1}{16\pi G} \int dx^4 \sqrt{g} R + \int dx^4 \sqrt{g} [\alpha R^2 + \beta R_{\mu\nu} R^{\mu\nu} + \gamma R_{\mu\nu\rho\sigma} R^{\mu\nu\rho\sigma} + \dots]$$

Las ecuaciones de Einstein que resultan de un  $\mathcal{L}$  así serán algo como:

$$R_{\mu\nu} - \frac{1}{2} R g_{\mu\nu} + \alpha H_{\mu\nu}^{(1)} + \beta H_{\mu\nu}^{(2)} + \gamma H_{\mu\nu}^{(3)} = 8\pi G \cdot T_{\mu\nu}$$

Uno mete cotas para los parámetros  $\alpha, \beta, \gamma$  y viendo si se puede ajustar a la realidad este esquema.

B Teoría de Lovelock: es una generalización de GR con  $n \geq 4$

$$S_{\text{GRAV}} = \int dx^m \sqrt{g} \sum_{j=0}^t \alpha_j R^j$$

$$R^j = \frac{1}{2^j n!} \int \alpha_1^{\mu_1} \int \alpha_2^{\mu_2} \dots \int \alpha_j^{\mu_j} dx^{\mu_1} \dots dx^{\mu_j}$$

simetrizados

$$t = \begin{cases} n/2 & n \text{ par} \\ \frac{n-1}{2} & n \text{ impar} \end{cases}$$

Esto luce aproximadamente como:

$$S_{\text{GRAV}} = \int dx^m \sqrt{g} [\alpha_0 + \alpha_1 R + \alpha_2 (R^2 + R_{\mu\nu} R^{\mu\nu} - 4 R_{\mu\nu\rho\sigma} R^{\mu\nu\rho\sigma}) + \dots]$$

pero tiene derivadas segundas de la métrica que aparecen al cuadrado.\*

En 4D todo el divo es una derivada total y no contribuye a las ecuaciones de movimiento.

• Predicciones de estas teorías con una teoría en la que

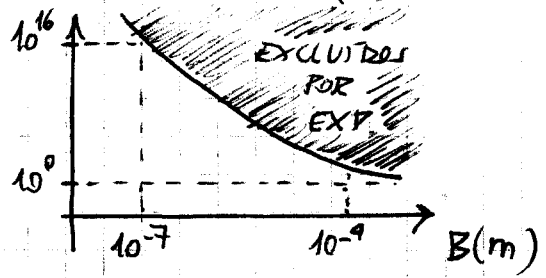
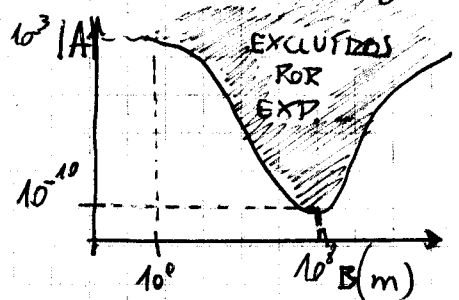
$$\alpha, \beta, \gamma \neq 0$$

podemos ver el límite de campo débil. La predicción para el potencial newtoniano es

$$V_{\text{Newton}} = -\frac{GM_1 M_2}{r} (1 + A e^{-r/B})$$

con  $A, B = f(\alpha, \beta, \gamma)$

Para investigar esto se hacen gráficos donde los parámetros deben ocupar una dada región



con la constante cosmológica sue de algo similar. Se no que:

$$\text{WEAK FIELD} \rightarrow \nabla^2 g_{00} = -8\pi G \rho$$

con lo cual  $\Lambda$  debería ser nula. Pero también podríamos considerar  $\Lambda \approx 0$  aunque  $\Lambda \neq 0$ . Resulta:

\* En las ecuaciones de Einstein aparecen solo linealmente

$$\nabla^2 g_{00} + 2\Lambda g_{00} = -8\pi G\rho$$

Esta ecuación puede resolverse con  $g_{00} = g_{00}(r) \Rightarrow$

- $\Lambda = 0 \Rightarrow g_{00} \propto \frac{1}{r}$
- $\Lambda \neq 0 \Rightarrow g_{00}(r) = \frac{A}{r} e^{-r/\ell}$   
donde  $2\Lambda = \frac{1}{\ell^2}$

Así el valor de esta constante sería:

$$\Lambda \approx 10^{-46} \text{ km}^{-2} \Rightarrow \ell \sim 10^{23} \text{ km}$$

Las conexiones serán relevantes con un  $r \sim \ell = 10^{23} \text{ km}$  (mayor que la galaxia).  
La moraleja es que PUEDE HABER UNA CONSTANTE COSMOLÓGICA CHICA QUE NO AFECTA LA GRAVEDAD en el sistema solar pero SÍ A NIVEL GALACTICO.

### ■ Prácticas

#### ● Problema 6

$$ds^2 = -[1 - \Omega^2(x^2 + y^2)] dt^2 + 2\Omega(y dx - x dy) dt + dx^2 + dy^2 + dz^2$$

Hacemos un paso a cilíndricos

$$r = \sqrt{x^2 + y^2} \quad \begin{aligned} x &= r \cos \theta \\ y &= r \sin \theta \end{aligned}$$

$$dx^2 + dy^2 = dr^2 + r^2 d\theta^2$$

$$x dy - y dx = r^2 d\theta$$

$$ds^2 = -[1 - \Omega^2 r^2] dt^2 + 2\Omega r^2 d\theta dt + dr^2 + r^2 d\theta^2 + dz^2$$

$$\theta \rightarrow \theta - \Omega t = \tilde{\varphi}$$

$$d\tilde{\varphi} = d\theta - \Omega dt$$

$$d\tilde{\varphi} + \Omega dt = d\theta$$

y lo metemos en la anterior. Resulta:

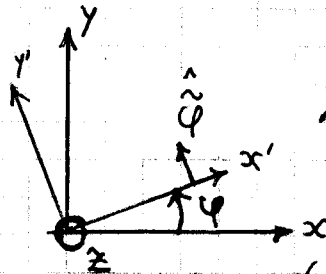
$$ds^2 = -(1 - \Omega^2 r^2) dt^2 - 2\Omega r^2 x$$

$$(d\tilde{\varphi} dt + \Omega dt^2) + dr^2 +$$

$$r^2 (d\tilde{\varphi}^2 + 2\Omega d\tilde{\varphi} dt +$$

$$\Omega^2 dt^2) + dz^2 \Rightarrow \text{amasando}$$

$$ds^2 = -dt^2 + dr^2 + r^2 d\tilde{\varphi}^2 + dz^2$$



Hemos pasado a un sistema que rota

$$\varphi = \tilde{\varphi} + \Omega t$$

Necesitamos los símbolos de Christoffel. Podemos hacerlos con:

$$1. g' = g_{\mu\nu} \frac{dx^\mu}{d\lambda} \frac{dx^\nu}{d\lambda}$$

$$2. g_{\mu\nu}, g^{\mu\nu} \text{ con } \rightarrow$$

$$\Gamma_{\nu\rho}^\mu = \frac{1}{2} g^{\mu\sigma} \left[ \partial_\nu g_{\sigma\rho} + \partial_\rho g_{\sigma\nu} - \partial_\sigma g_{\nu\rho} \right]$$

$$g_{\mu\nu} = \begin{pmatrix} -[1 - \Omega^2 r^2] & 0 & \Omega r^2 & 0 \\ 0 & 1 & 0 & 0 \\ \Omega r^2 & 0 & r^2 & 0 \\ 0 & 0 & 0 & 1 \end{pmatrix}$$

Haciendo los cálculos es:

$$\Gamma_{\varphi\varphi}^r = -r \quad \Gamma_{r\varphi}^\varphi = \frac{1}{r} = \Gamma_{\varphi r}^\varphi$$

$$\Gamma_{tt}^r = -r\Omega^2$$

$$\Gamma_{\varphi t}^r = \Omega r = \Gamma_{t\varphi}^r$$



$$\Gamma_{r\tau}^{\varphi} = \frac{-\Omega}{r} = \Gamma_{\tau r}^{\varphi}$$

Los otros  $\Gamma = 0$

Ahora calculamos las ecuaciones de las geodésicas:

$$\frac{d^2 X^\nu}{d\lambda^2} + \Gamma_{\mu\sigma}^{\nu} \frac{dX^\mu}{d\lambda} \frac{dX^\sigma}{d\lambda} = 0$$

\*  $\nu = r$

$$\frac{d^2 r}{d\lambda^2} - r \left( \frac{d\varphi}{d\lambda} \right)^2 - r \Omega^2 \left( \frac{dt}{d\lambda} \right)^2 + 2\Omega r \frac{d\varphi}{d\lambda} \frac{dt}{d\lambda} = 0$$

\*  $\nu = t$

$$\frac{d^2 t}{d\lambda^2} = 0 \Rightarrow t = \text{parámetro AFÍN}$$

Como  $t$  es parámetro afín usamos en la ecuación  $\nu = r$  y nos queda:

$$\ddot{r} - r \dot{\varphi}^2 = \frac{r \Omega^2 - 2\Omega r \dot{\varphi}}{\text{centr.}}$$

esto es  $\vec{F} + \vec{F}_{\text{inerciales}} = m(\vec{a} + \vec{a}_{\text{iner}})$

\*  $\nu = \varphi$

$$\ddot{\varphi} + \frac{2}{r} \dot{\varphi} \dot{r} - \frac{2\Omega}{r} \dot{r} = 0$$

$$\Rightarrow m r \ddot{\varphi} + 2m \dot{\varphi} \dot{r} = \frac{2\Omega m \dot{r}}{\text{centr.}}$$

$$\vec{F}_{\text{centr.}} = -m(\vec{\Omega} \times [\vec{\Omega} \times \vec{r}])$$

$$\vec{F}_{\text{centr.}} = m r \Omega^2 \hat{r}$$

El sistema rota con  $\Omega$  y sobre esta no pesa ninguna limitación

● Problema 7

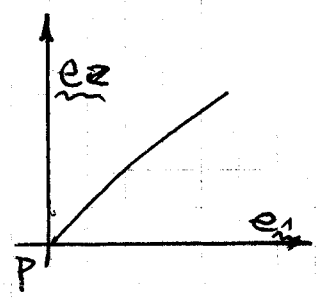
Coordenadas normales de Riemann (CNR).  
Lo más similar a un sistema inercial

● VARIEDAD RIEMANNIANA (n-dim.)  
En  $P$  tomo base de vectores  $\{e_\alpha\}$  ortónormal

$$e_\alpha \cdot e_\beta = \delta_{\alpha\beta}$$

$$n \in T_P : n \cdot n = 1 \quad (n = n^\alpha e_\alpha)$$

Manda a través de la geodésica un vector.



$$X^\alpha(0) = P$$

$$\left. \frac{dX^\alpha}{ds} \right|_0 = n^\alpha$$

Las coordenadas para el serán:

$$X^\alpha = s n^\alpha$$

$$g_{\alpha\beta}|_P = \delta_{\alpha\beta}$$

$$\Gamma_{\alpha\beta}^\rho|_P = 0$$

Para una variedad lorentziana tenemos

temporal  $\rightarrow T$

Espacial  $\rightarrow S$

Nula  $\rightarrow \lambda$  para nulo a RN

Lo más simple será Minkowski  $k=0$

Tomo un sistema cualquiera inercial con origen en  $P$ ,

$$t = y_1 = y_2 = y_3 = 0$$

$$\Rightarrow ds^2 = -dt^2 + dy_1^2 + dy_2^2 + dy_3^2$$

Una base ortónormal en  $T_P = \{e_t, e_1, e_2, e_3\} = \left\{ \frac{\partial}{\partial t}, \frac{\partial}{\partial y_1}, \frac{\partial}{\partial y_2}, \frac{\partial}{\partial y_3} \right\}$

$$\text{temp} \rightarrow \eta \cdot \eta = -1$$

$$\text{spa} \rightarrow \eta \cdot \eta = 1$$

$$\text{nulo} \rightarrow \eta \cdot \eta = 0$$

Ahora hay que mandar una geodésica

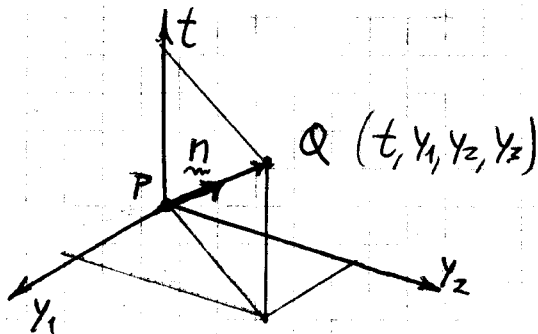
sea a lo largo de un vector genérico

$$\vec{n}_{temp} = \frac{(t, Y_1, Y_2, Y_3)}{\sqrt{t^2 - Y_1^2 - Y_2^2 - Y_3^2}} \quad temp.$$

$$\vec{n}_{spa} = \frac{(t, Y_1, Y_2, Y_3)}{\sqrt{t^2 + Y_1^2 + Y_2^2 + Y_3^2}} \quad spa.$$

Las CNR correspondientes al punto Q serán

$$\begin{cases} temp. & X^\alpha = n^\alpha \tau \\ spa. & X^\alpha = n^\alpha S \\ nulos & \text{«por continuidad»} \end{cases}$$



Si  $\vec{n}$  es:

$$\begin{cases} temp. & \tau = \sqrt{t^2 - Y_1^2 - Y_2^2 - Y_3^2} \\ spa. & S = \sqrt{-t^2 + Y_1^2 + Y_2^2 + Y_3^2} \\ nulos & \text{«por continuidad»} \end{cases}$$

Resolviendo:

$$temp. \quad X^\alpha = n^\alpha \tau = Y^\alpha$$

$$spa. \quad X^\alpha = n^\alpha S = Y^\alpha$$

$$X^\alpha = Y^\alpha \text{ (continuidad)}$$

20-10-08

Teoría

• La Solución de Schwarzschild [1916]

Es una solución en ausencia de materia y de constante cosmológica

$$R_{\mu\nu} - \frac{1}{2} R g_{\mu\nu} = 0 \quad (\Lambda=0, T_{\mu\nu}=0)$$

$$g^{\mu\nu} (R_{\mu\nu} - \frac{1}{2} R g_{\mu\nu}) = 0$$

$$(R - \frac{1}{2} R) = 0 \rightarrow R=0$$

Es la solución de vacío de las Ecuaciones de Einstein con simetría esférica. Describe la métrica en el exterior de una estrella (suponemos que la estrella es simétricamente esférica). También describirá BH y objetos colapsados.

Buscamos una solución tal que:

$$ds^2 = -B(r)dt^2 + A(r)dr^2 + r^2 d\Omega^2 \quad [1]$$

con  $d\Omega^2 = (d\theta^2 + \sin^2\theta \cdot d\phi^2)$  y donde usamos como coordenadas  $(t, r, \theta, \phi)$ .

El esquema para calcular los símbolos de Christoffel  $\Gamma$  para llegar a  $R_{\mu\nu}$  es: suponer  $R_{\mu\nu}=0$  y entonces llegar a  $A(r) B(r)$  donde hay una constante indeterminada que la asignaremos a la masa de la estrella.

La métrica [1] se ve que tiene simetría esférica y es estática (la  $m$  que es general. En flat space time era:

$$ds^2 = -dt^2 + dr^2 + r^2 (d\theta^2 + \sin^2\theta \cdot d\phi^2)$$

Pero en un espacio tiempo curvo podemos pensar que cada punto vive en una 2D esfera tal que la distancia entre dos puntos allí es:

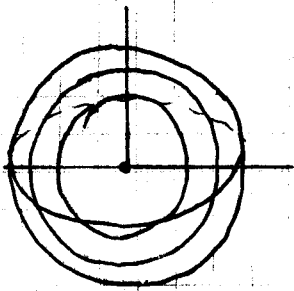
$$ds^2|_{esfera} = f(r,t) (d\theta^2 + \sin^2\theta \cdot d\phi^2)$$

tengo entonces  $(t', r', \theta, \phi)$  y haremos unos cambios de coordenada.

Ajustamos

$$f(r', t') = r^2$$

$$ds^2|_{2D\text{ esfera}} = r^2 (d\theta^2 + \sin^2\theta \cdot d\phi^2)$$

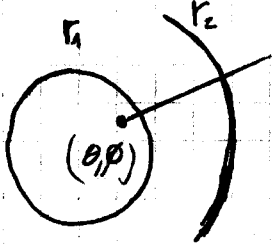


Así, no necesariamente 'r' es la distancia al cero.  
Ajusto el 'r' para que

$$4\pi r^2$$

de el área de la 2-esfera.

Ahora consideraremos esferas de diferente radio. Quiero  $ds^2$  para puntos en diferentes esferas. Elijo coordenadas. Tengo dos esferas de con. radiales  $r_1$  y  $r_2$ .



Considero  $\phi$  constantes y hago variar la coordenada radial 'r' de forma que esa línea será ortogonal

a la superficie  $\neq$

Elijo  $e_r$  ortogonal a  $e_\phi$ ,  $e_\theta$ . Elijo coordenadas para que la métrica sea diagonal

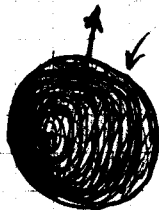
$$g_{r\phi} = \underline{e}_r \cdot \underline{e}_\phi = 0$$

$$g_{r\theta} = \underline{e}_r \cdot \underline{e}_\theta = 0$$

Entonces:

$$ds^2 = r^2 d\Omega_2 + g_{rr}(t, r) dr^2 + g_{00}(t, r) dt^2 + 2g_{0r}(t, r) dt' dr + 2g_{0\phi}(t, r) dt' d\phi + 2g_{0\theta}(t, r) dt' d\theta$$

Paradas sobre las dos esferas (alguna de ellas) en donde solo transcurre el tiempo. Este vector



dibujito ilustrativo

$\underline{e}_t$

será ortogonal a los vectores  $\underline{e}_\theta, \underline{e}_\phi$  porque en una simetría

esférica no puede haber direcciones privilegiadas.

$$g_{0\theta} = 0 = \underline{e}_t \cdot \underline{e}_\theta$$

$$g_{0\phi} = 0 = \underline{e}_t \cdot \underline{e}_\phi$$

\* sería como elegir el polo norte en todas las esferas igualmente orientadas

Entonces:

$$ds^2 = g_{00}(t, r) dt^2 + g_{0r}(t, r) dt' dr + 2g_{0\phi}(t, r) dt' d\phi + r^2 d\Omega_2 \quad [2]$$

Un caso particular de [2] será una métrica estacionaria: componentes independientes de 't'

$$g_{\mu\nu} \neq g_{\mu\nu}(t)$$

Hacemos un cambio de variables para cancelar el término cruzado

$$t' = t + f(r)$$

$$dt' = dt + f'(r) dr \rightarrow$$

$$dt'^2 = dt^2 + f''(r) dr^2 + 2f'(r) dr dt$$

Elijo la f que necesito. Elijo:

$$f'(r) = -\frac{g_{0r}}{g_{00}}$$

Así resulta:

$$ds^2 = g_{00} dt^2 + dr^2 [g_{rr} + g_{00} f'^2] + r^2 d\Omega_2 + 2g_{0r} f'(r)$$

y renombrando  $-B(r) = g_{00}$  y el corchete  $A(r)$  es

$$ds^2 = -B(r) dt^2 + A(r) dr^2 + r^2 d\Omega_2$$

En general se suele definir:

- métricas estacionarias:  $g_{\mu\nu} \neq g_{\mu\nu}(t)$
- métrica estática es estacionaria e invariante frente al intercambio  $t \rightarrow -t$  (vale en métricas con elementos no diagonales)

Pero si no hay mucha simetría una métrica estacionaria no necesariamente será estática.

Puede probarse en general, con métricas que dependen del tiempo, que existen coordenadas tales que:

$$ds^2 = -B(r, t) dt^2 + A(r, t) dr^2 + r^2 d\Omega_2$$

por supuesto para métricas con simetría esférica.

A partir de la métrica podemos evaluar los símbolos de christoffel

$$g_{\mu\nu} \rightarrow \Gamma_{\mu\nu}^{\alpha}$$

La métrica inversa sale fácil como:

$$g^{00} = \frac{1}{B}; g^{rr} = \frac{1}{A}; g^{\theta\theta} = \frac{1}{r^2};$$

$$g^{\phi\phi} = \frac{1}{r^2 \sin^2 \theta}$$

$$R_{rr} = \frac{-B''}{2B} + \frac{1}{4} \frac{B'}{B} \left( \frac{A'}{A} + \frac{B'}{B} \right) + \frac{1}{r} \frac{A'}{A} \quad [1]$$

$$R_{\theta\theta} = 1 + \frac{r}{2A} \left( \frac{A'}{A} - \frac{B'}{B} \right) - \frac{1}{A} \quad [2]$$

$$R_{tt} = \frac{B''}{2A} - \frac{1}{4} \frac{B'}{A} \left( \frac{A'}{A} + \frac{B'}{B} \right) + \frac{1}{r} \frac{B'}{A} \quad [3]$$

$$R_{\phi\phi} = \sin^2 \theta R_{\theta\theta}$$

veamos que las derivadas segundas aparecen linealmente.

Resultan tres ecuaciones para A, B con dos incógnitas, pero solo hay 2 independientes. Para resolver basta con tomar:

$$\frac{R_{rr}}{A} + \frac{R_{tt}}{B} = \frac{1}{Ar} \left( \frac{A'}{A} + \frac{B'}{B} \right)$$

Si son nulos de que

$$\frac{A'}{A} + \frac{B'}{B} = 0 \Rightarrow$$

$$\boxed{AB = \text{cte} \equiv C}$$

$$R_{00} = 1 - \frac{r B'}{AB} = 1 - \frac{r B'}{C} - \frac{B}{C}$$

$$\boxed{R_{00} = 1 - \frac{1}{C} (rB)'} \quad \text{B/C}$$

$$R_{rr} = \dots \propto R_{00}'$$

Con  $R_{00} = 0$  se da:

$$(rB)' = C$$

$$rB = Cr + D$$

$$\boxed{B = C + \frac{D}{r}}$$

$$\boxed{A = \frac{C}{C + D/r}}$$

y esta es la solución de las EE para vacío, con simetría esférica.

Podríamos pensar en que estamos resolviendo, analogía:

$$\begin{cases} \vec{\nabla} \cdot \vec{E} = 0 \\ \vec{\nabla} \times \vec{E} = 0 \end{cases} + \text{simetría esférica}$$

(vacío sin carga)

Entonces, volviendo a la solución

$$ds^2 = -\left(c + \frac{d}{r}\right) dt^2 + \frac{cd r^2}{c + \frac{d}{r}} + r^2 d\Omega^2$$

veamos que 'c' se puede absorber en un rescalamiento del tiempo

$$c > 0 \Rightarrow t \rightarrow \frac{t}{\sqrt{c}}, \quad dt^2 \rightarrow \frac{dt^2}{c}$$

$$ds^2 = -\left(1 + \frac{d}{cr}\right) dt^2 + \frac{dr^2}{\left(1 + \frac{d}{cr}\right)} + r^2 d\Omega^2$$

Quiero poner argumentos físicos para que la solución describa el exterior de una estrella: lejos de la misma la métrica tiene que tender a la de Minkowski



$$ds^2 \rightarrow ds^2_{\text{Mink}} \quad r \rightarrow \infty$$

Asimismo, si  $r \rightarrow \infty$   
 $g_{00} = -(1 + 2\Phi)$

donde el potencial newtoniano es

$$\Phi = -\frac{MG}{r}$$

Suponemos que la constante

$$\frac{d}{c} \equiv -2MG$$

es negativa. Entonces llegamos a la métrica de Schwarzschild

$$ds^2 = -\left(1 - \frac{2MG}{r}\right) dt^2 + \frac{dr^2}{\left(1 - \frac{2MG}{r}\right)} + r^2 d\Omega^2$$

Esto vale para  $r > R_*$ . Hemos supuesto  $d/c < 0$ .

**Comentarios**

Hemos resuelto fuera de la estrella. La solución completa involucra resolver para  $r < R_*$  pero ahí necesitamos las EE completas, no las de vacío.

$$R_{\mu\nu} - \frac{1}{2} R g_{\mu\nu} = 8\pi G T_{\mu\nu}$$

Para resolver necesitamos modelar la estrella como un fluido y considerando:

$$\rho = \rho(r) \quad p = p(r)$$

$$P = P(\rho) \text{ ECUACION DE ESTADO}$$

$$U^\mu = \text{velocidad (en reposo)}$$

$$U^0 = 1/\sqrt{B(r)} \quad \text{pues } U_\mu U^\mu = -1$$

$$U^r = U^\theta = U^\phi = 0$$

Resolvemos con las fuentes

$$T_{\mu\nu} = \rho g_{\mu\nu} + (\rho + p) U_\mu U_\nu$$

En  $r = 2MG$  tenemos un problema. Es el radio de Schwarzschild

$$R_{sch} \equiv 2MG$$

$$R_s \approx 3 \text{ km (Sol)}$$

Con lo cual no me interese en general porque la solución derivada es válida para  $R > R_s \sim 5 \cdot 10^6 \text{ km}$ . Con objetos compactos sí puede ser relevante.

En campo débil hemos escrito:

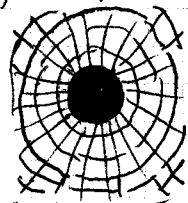
$$ds^2 = -(1 + 2\phi) dt^2 + (1 - 2\phi) \times (dx^2 + dy^2 + dz^2)$$

la cual no tiene la forma general de la métrica de Schwarzschild. El problema es que esta expresión es válida en el gauge de Lorentz,

$$\Gamma_{\mu\nu}^\lambda g^{\mu\nu} = 0$$

y se ve que las de Schwarzschild no las satisfacen. Las  $(t, r, \theta, \phi)$  no las cumplen.

Es una constante de integración que aparece por el camino. Un objeto genera campo gravitacional, pero ese mismo campo (dado si no linealidad) genera a su vez campo. Entonces se hace una definición operativa de masa. La métrica



$$g_{\mu\nu} \xrightarrow{r \rightarrow \infty} \eta_{\mu\nu}$$

es asintóticamente plana. Tomando una partícula de prueba lejos del sistema en donde la métrica es newtoniana (Minkowski con pequeñas correcciones).

De las ecuaciones de las geodésicas se ve que se mueve como una partícula newtoniana de cierta masa  $\Rightarrow$  de ahí se define  $M^*$ .

Para Schwarzschild

$$-\frac{1}{2G} \left(\frac{d}{c}\right) = M_{\text{sistema}}$$

En general no es cierto que la masa sistema sea:

$\neq$  masa despreciable

$$\int_{\text{STAR}} d^3x \sqrt{g} \rho$$

La idea es que  $M_{\text{SIST.}}$  suma también la masa generada por el propio campo gravitacional.  
El campo genera masa.

Otras soluciones, son por ejemplo suponer una masa negativa; es decir resolver:

Schwartzschild con  $d/c > 0$

y solo tiene problemas en  $r=0$ , aunque no tiene el drama del  $R_{\text{Sch}}$ .

Si considero  $c > 0$ ,  $d/c < 0$ ,

$$0 < r < -d/c = \alpha^2$$

la métrica resultante será:

$$ds^2 = \underbrace{\left(\frac{\alpha^2}{r} - 1\right)}_{>0} dt^2 + \underbrace{\frac{dr^2}{(1 - \alpha^2/r)}}_{<0} + r^2 d\Omega_2$$

y se ha cambiado el signo de la parte temporal 't' y el de la 'r'

Cambiamos a  $\begin{cases} t \rightarrow \rho \\ r \rightarrow \tau \end{cases} \Rightarrow$

$$ds^2 = -\frac{d\tau^2}{\left(\frac{\alpha^2}{\tau} - 1\right)} + \left(\frac{\alpha^2}{\tau} - 1\right) d\rho^2 + \tau^2 d\Omega_2$$

solución de Kantowski-Sachs

$$0 < \tau < \alpha^2$$

$$\rho \begin{cases} \rightarrow 0 \leq \rho < 2\pi L \\ \rightarrow -\infty < \rho < +\infty \end{cases}$$

Son soluciones parecidas a las de Schwarzschild.

■ Práctica  
● Problema 1

$$S = \frac{1}{16\pi G} \int d^4x \sqrt{g} R + S_{\text{MATTER}}$$

$$V \quad g_{\mu\nu} \rightarrow g_{\mu\nu} + \delta g_{\mu\nu}$$

donde:

$$g = |\det(g_{\mu\nu})| = -\det(g_{\mu\nu})$$

$$R = g^{\mu\nu} R_{\mu\nu} = g^{\mu\nu} g^{\rho\sigma} R_{\rho\sigma\mu\nu}$$

$$\delta S = \frac{1}{16\pi G} \left[ \int d^4x \delta\sqrt{g} R + \int d^4x \sqrt{g} \delta g^{\mu\nu} R_{\mu\nu} + \int d^4x \sqrt{g} g^{\mu\nu} \delta R_{\mu\nu} \right] \delta S^2$$

$$\delta S^1 \quad \delta\sqrt{g} = \frac{1}{2} \frac{1}{\sqrt{g}} \delta g$$

$$\bar{g} \equiv \text{Matriz } g_{\mu\nu}$$

$$\begin{aligned} \text{Tr}[(\bar{g})^{-1} \delta \bar{g}] &= \delta(\ln |\det(\bar{g})|) \\ \delta(\ln |\det(\bar{g})|) &= \ln |\det(\bar{g} + \delta \bar{g})| - \ln |\det \bar{g}| \\ &= \ln |\det(\bar{g} + \delta \bar{g})| \cdot \frac{1}{|\det \bar{g}|} \\ &= \ln |\det(1 + \delta \bar{g} \bar{g}^{-1})| \\ &\quad \downarrow \\ &= 1 + \text{Tr}(\delta \bar{g} \bar{g}^{-1}) + \mathcal{O}(\delta g^2) \end{aligned}$$

luego

$$\delta(\ln |\det \bar{g}|) \approx \text{Tr}[\delta \bar{g} \bar{g}^{-1}]$$

$$\frac{1}{g} \delta g \approx \text{Tr}(\delta \bar{g} \bar{g}^{-1})$$

$$\frac{1}{g} \delta g = \delta g_{\mu\nu} g^{\mu\nu}$$

$$\Rightarrow \delta\sqrt{g} = \frac{1}{2} \frac{1}{\sqrt{g}} g \delta g_{\mu\nu} g^{\mu\nu}$$

$$\delta(g_{\mu\nu} g^{\mu\nu}) = g^{\mu\nu} \delta g_{\mu\nu}$$

$\delta(\quad) = 0$

$$\delta\sqrt{g} = -\frac{\delta g^{\mu\nu} \sqrt{g}}{2} g_{\mu\nu}$$

$$\delta S' = \int d^4x \delta\sqrt{g} R$$

$$\delta S = \frac{1}{16\pi G} \left[ \int d^4x \sqrt{g} \left( -\frac{g_{\mu\nu} R}{2} \right) \delta g^{\mu\nu} + \int d^4x R_{\mu\nu} \delta g^{\mu\nu} \sqrt{g} + \int d^4x g^{\mu\nu} \delta R_{\mu\nu} \sqrt{g} \right] + \delta S_N$$

podemos juntar los dos en azul y obtenemos:

$$\int d^4x \sqrt{g} \left( R_{\mu\nu} - \frac{g_{\mu\nu} R}{2} \right) \delta g^{\mu\nu}$$

$$R_{\mu\nu} = R_{\mu\lambda\nu} = \Gamma_{\mu\nu,\lambda}^{\lambda} - \Gamma_{\mu\lambda,\nu}^{\lambda} + \Gamma_{\sigma\lambda}^{\lambda} \Gamma_{\nu\mu}^{\sigma} - \Gamma_{\sigma\nu}^{\lambda} \Gamma_{\lambda\mu}^{\sigma}$$

$$[\delta R_{\mu\nu}]_{SII} = \delta \Gamma_{\mu\nu,\lambda}^{\lambda} - \delta \Gamma_{\mu\lambda,\nu}^{\lambda}$$

ahora propongo que en un sistema general de coordenadas sea:

$$(\delta R_{\mu\nu})_{SII} = \delta \Gamma_{\mu\nu,\lambda}^{\lambda} - \delta \Gamma_{\mu\lambda,\nu}^{\lambda}$$

Entonces debes probar que es un tensor. Recordemos que:

$$\Gamma_{\alpha\lambda}^{\mu} = \frac{\partial X^{\mu}}{\partial X^{\alpha}} \frac{\partial X^{\epsilon}}{\partial X^{\lambda}} \frac{\partial X^{\rho}}{\partial X^{\epsilon}} \Gamma_{\rho\epsilon}^{\sigma} +$$

$$\frac{\partial X^{\mu}}{\partial X^{\alpha}} \frac{\partial^2 X^{\rho}}{\partial X^{\lambda} \partial X^{\epsilon}}$$

$$\delta \Gamma_{\alpha\lambda}^{\mu} = \frac{\partial X^{\mu}}{\partial X^{\alpha}} \frac{\partial X^{\rho}}{\partial X^{\lambda}} \frac{\partial X^{\sigma}}{\partial X^{\epsilon}} \delta \Gamma_{\rho\epsilon}^{\sigma}$$

Pero  $\nabla_{\lambda} g_{\mu\nu} = 0$  suponemos

$$(g^{\mu\nu} \delta R) = (\delta \Gamma_{\mu\nu}^{\lambda} g^{\mu\nu})_{;\lambda}$$

$$(g^{\mu\nu} \delta \Gamma_{\mu\epsilon}^{\epsilon})_{;\lambda} = (\delta \Gamma_{\mu\nu}^{\lambda} g^{\mu\nu} - g^{\mu\nu} \delta \Gamma_{\mu\epsilon}^{\epsilon})_{;\lambda} \equiv \omega^{\lambda}_{;\lambda}$$

$\omega^{\lambda}$  son las componentes de un vector.

$$\delta S_3 = \int d^4x \partial_{\lambda} (\omega^{\lambda} \sqrt{g})$$

No lo tenemos en cuenta

$$\omega^{\lambda} = \delta \Gamma_{\mu\nu}^{\lambda} g^{\mu\nu} - g^{\mu\nu} \delta \Gamma_{\mu\epsilon}^{\epsilon}$$

$$\delta g^{\mu\nu}|_{\text{or}} = 0$$

$$\delta(\partial_{\mu} g^{\mu\nu})|_{\text{or}} \neq 0 \text{ en general}$$

Esta acción no nos llevará a las ecuaciones de Einstein. Hay que construir una acción

$$S' = S_{\text{Einstein}} + S_{\text{borde}} \quad \text{de Einstein Hilbert}$$

En la MC  $\mathcal{L}(q, \dot{q}) \rightarrow \text{EI}$   $\dot{q}$  pero acá nos deshacemos de las  $\dot{q}$  por la integral por partes y tirar al término de borde.

$$\dot{q} f(q) = (\dot{q} f) - \dot{q} f(q) \leftarrow \text{Ejemplificado así}$$

se puede escribir así porque le aparece con términos sin derivar (entra linealmente).

$$\delta S = \frac{1}{16\pi G} \int d^4x \sqrt{g} \delta g^{\mu\nu} G_{\mu\nu} + \delta S_{\text{MAT}}$$

$$\delta S_{\text{MAT}} = \int d^4x \sqrt{g} \left( -\frac{1}{2} T_{\mu\nu} \delta g^{\mu\nu} \right)$$

$$\Rightarrow \delta S = 0 \Rightarrow \boxed{G_{\mu\nu} = 8\pi G T_{\mu\nu}}$$

$$\text{con } T_{\mu\nu} = -\frac{2}{\sqrt{g}} \frac{\delta S_{\text{MAT}}}{\delta g^{\mu\nu}}$$

Si hay constante cosmológica dará:

$$\boxed{S = \int d^4x \sqrt{g} (R - 2\Lambda)}$$

Teoría

Proyección sobre 3D

Podemos representar una métrica proyectándola sobre 3D. Para las

Estos son los embedding diagrams

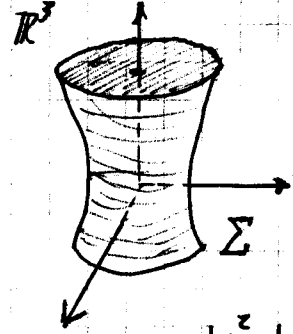
de simetría esférica. Procedamos:

$$ds^2 = -B(r)dt^2 + A(r)dr^2 + r^2 [d\theta^2 + \sin^2\theta d\phi^2]$$

, pensando en tiempo constante desaparece el dt con lo cual solo me quedo en la parte espacial. Además haremos  $\theta = \pi/2$  fixed. luego

$$ds^2 = A(r)dr^2 + r^2 d\phi^2$$

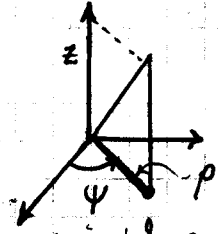
que define una geometría 2D. Lo pienso como una superficie embebida en  $\mathbb{R}^3$ . Tenemos una superficie  $\Sigma$  que definiremos de modo que la distancia sobre esa superficie coincida con la que aparece de la métrica 4D.



$$dl_{\Sigma}^2 = ds^2$$

Usando coordenadas cilíndricas tomaremos

$$dl_{\mathbb{R}^3}^2 = dz^2 + dp^2 + p^2 d\psi^2$$



y como queremos que coincidan las distancias pensamos que:

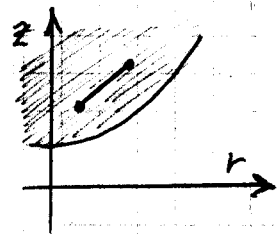
$$\psi = \phi \quad p = r$$

$$z = z(r) \text{ superficie de REV.}$$

y  $z(r)$  será tal que las distancias sobre ella sean iguales a las distancias medidas en el et original.

Pienso en dos puntos a diferente altura, sobre la superficie  $\Sigma$

$$dl_{\Sigma}^2 = z'(r)^2 dr^2 + dr^2 + r^2 d\phi^2$$



donde:  
 $z = z(r)$   
 $dz = z'(r) dr$

$$= \underbrace{[1 + z'(r)^2]}_{A(r)} dr^2 + r^2 d\phi^2$$

■ EJEMPLO

Consideremos el caso de la métrica de una estrella de masa  $M$ , densidad constante  $\rho$ , y radio  $R$ .

Para radios mayores a  $R$  será la métrica de Schwarzschild. Aquí

$$A(r) = \frac{1}{[1 - \frac{2M(r)G}{r}]}$$

donde

$$m(r) = \begin{cases} \frac{r^3 M}{R^3} & r < R \\ M & r > R \end{cases}$$

Volviendo, en  $t = cte$ ,  $\theta = cte$  es

$$ds^2 = \frac{1}{[1 - \frac{2m(r)G}{r}]} dr^2 + r^2 d\phi^2$$

$$1 + z'(r)^2 = \frac{1}{1 - \frac{2m(r)G}{r}} \Leftrightarrow$$

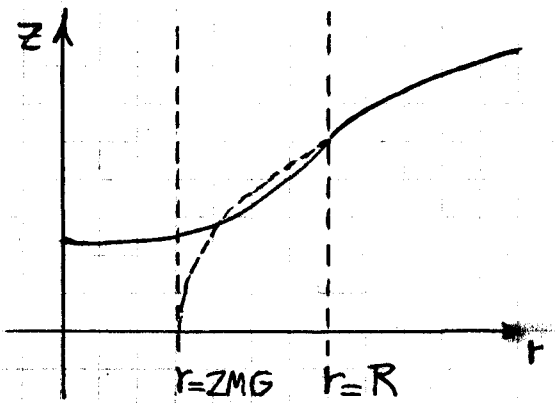
$$\frac{dz}{dr} = \sqrt{1 + \frac{1}{1 - \frac{2m(r)G}{r}}}$$

$$z(r) = \begin{cases} -\sqrt{\frac{R^3}{2MG} - r^2} + cte & r < R \\ \sqrt{8MG(r - 2MG)} & r > R \end{cases}$$

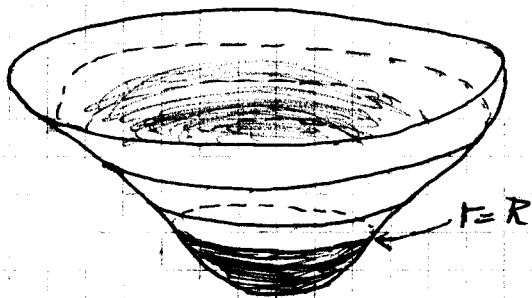
Podemos graficar esta función, tomando verde para  $r < R$  y rojo para  $r > R$

\*  $B(r)$  es más complicada que  $A(r)$ . Por ahora ni la mencionamos

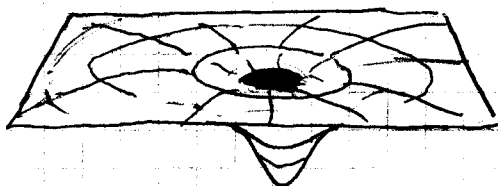




pero, en  $\mathbb{R}^3$ , la superficie será alguna palangana:



la masa de la estrella hace aumentar el fondo. La zona cerca de la estrella es la más curva y lejos parece un plano.



Para un agujero de gusano por demás, hacer un análisis similar. La métrica es:

$$ds^2 = -db^2 + dr^2 + (b^2 + r^2) [d\theta^2 + \sin^2\theta d\phi^2]$$

esta se puede pasar a algo más parecido a lo que ya vimos tomando.

$$b^2 + r^2 = r'^2$$

Sin embargo con esta métrica particular (para lo de  $\mathbb{R}^3$ ),

$$dl_{\mathbb{R}^3}^2 = dz^2 + dp^2 + p^2 d\psi^2$$

y lo queremos comparar con:

$$ds^2 = dr^2 + (b^2 + r^2) d\phi^2$$

$$\psi = \phi$$

$$\rho = \sqrt{r^2 + b^2}$$

$$z = z(r)$$

Entonces:

$$dl_{\mathbb{R}^3}^2 = z'(r) dr^2 + \rho'(r) dr^2 + (r^2 + b^2) d\phi^2,$$

necesito:

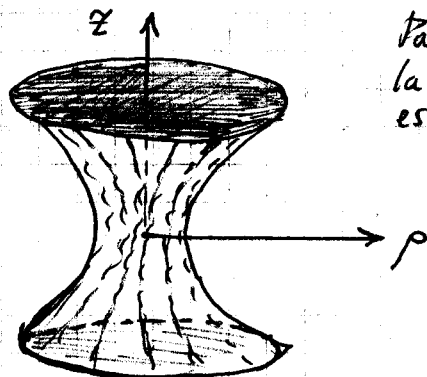
$$z'^2 + \rho'^2 = 1$$

$$\rho = \sqrt{r^2 + b^2}$$

los cuales al amasar resultan:

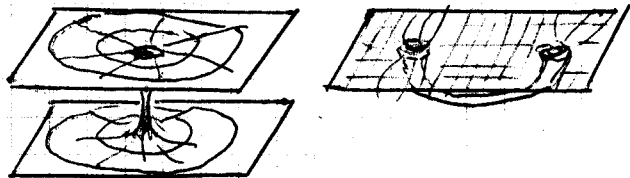
$$\rho(z) = b \cdot \cosh\left(\frac{z}{b}\right)$$

Cuando esto se grafica resulta en una superficie de la forma:



Para  $\rho \rightarrow \infty$  la métrica es flatspace

El wormhole conecta dos regiones que son asintóticamente planas.



● Geodésicas en la métrica de Schwarzschild  
Escribimos:

$$ds^2 = -\left(1 - \frac{2MG}{c^2 r}\right) c^2 dt^2 + \frac{dr^2}{\left(1 - \frac{2MG}{c^2 r}\right)} + r^2 (d\theta^2 + \sin^2\theta d\phi^2)$$

Se suele usar un sistema de unidades

de geometrias donde:

$$\boxed{G=c=1}$$

así las masas quedan en unidades de longitud.

$$\frac{G}{c^2} = 7.425 \cdot 10^{-28} \frac{m}{kg} = 1$$

$$M_{\odot} = 0.4 \text{ cm}$$

$$M_{\oplus} = 1,5 \text{ km}$$

Luego  $M \ll 1$  para el sistema solar. Si siempre estamos en campo débil.

Otro concepto es el de vectores de Killing:

$$\begin{aligned} \xi_{\text{temp}} &= (1, 0, 0, 0) && \text{(temporal)} \\ \eta_{\text{azim}} &= (0, 0, 0, 1) && \text{(azimutal)} \end{aligned}$$

- Geodésicas de partículas masivas  
Consideremos una partícula de prueba con masa despreciable

$$U^{\mu} = \frac{dx^{\mu}}{d\tau} \quad U \cdot U = -1$$

y tenemos dos cantidades conservadas

$$\xi_{\mu} \cdot U^{\mu}$$

$$\eta_{\mu} \cdot U^{\mu}$$

solo porque la métrica no depende de  $t$  ni de  $\phi$ . Considero

$$-\xi_{\mu} \cdot U^{\mu} \equiv E = \left(1 - \frac{2M}{r}\right) \frac{dt}{d\tau}$$

$$\begin{aligned} \eta_{\mu} \cdot U^{\mu} \equiv L &= g_{\phi\phi} \cdot \frac{d\phi}{d\tau} \\ &= r^2 \sin^2 \theta \frac{d\phi}{d\tau} \end{aligned}$$

Con  $r \rightarrow \infty$   $E = E/m$  y en el caso no relativista  $L = L/m$

Si hubiese laborado con  $r$  llegaría a conservación de  $E$  y  $L$  directamente. Si de entrada propongo:

$$\begin{cases} \theta = \pi/2 \\ U^{\theta}_{\text{inicial}} = 0 \end{cases} \Rightarrow \theta = \frac{\pi}{2} \text{ en toda la trayectoria}$$

esto se mantiene. Puedo escribir  $U \cdot U = -1$  para cambiar a una expresión para el potencial efectivo.

$$\begin{aligned} g_{\mu\nu} U^{\mu} U^{\nu} &= -\left(1 - \frac{2M}{r}\right) \left(\frac{dt}{d\tau}\right)^2 + \\ &+ \frac{1}{\left(1 - \frac{2M}{r}\right)} \left(\frac{dr}{d\tau}\right)^2 + r^2 \left(\frac{d\phi}{d\tau}\right)^2 = -1 \end{aligned}$$

con las leyes de conservación reescribimos

$$\begin{aligned} g_{\mu\nu} U^{\mu} U^{\nu} &= -\frac{e^2}{\left(1 - \frac{2M}{r}\right)} + \frac{\left(\frac{dr}{d\tau}\right)^2}{\left(1 - \frac{2M}{r}\right)} \\ &+ l^2/r^2 = -1 \end{aligned}$$

reacomodando:

$$\left(\frac{dr}{d\tau}\right)^2 = e^2 - \left[1 - \frac{2M}{r}\right] \left(1 + \frac{l^2}{r^2}\right)$$

$$\bullet \boxed{\frac{1}{2} \left(\frac{dr}{d\tau}\right)^2 + \frac{1}{2} \left[ \left(1 - \frac{2M}{r}\right) \left(1 + \frac{l^2}{r^2}\right) - 1 \right] = \frac{e^2 - 1}{2}}$$

$$\frac{e^2 - 1}{2} \equiv E \quad \text{ENERGÍA POR UNIDAD DE MASA}$$

$$\bullet \boxed{r^2 \frac{d\phi}{d\tau} = l}$$

Entonces definimos un

$$V_{\text{eff}}(r) = -\frac{M}{r} + \frac{l^2}{2r^2} - \frac{Ml^2}{r^3}$$

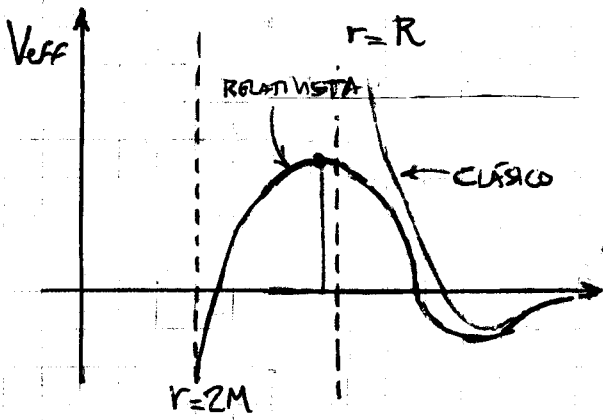
comparando con las ecuaciones de la mecánica clásica vemos que:

1. Hay un término extra \*
2. El  $dt$  es  $d\tau$  (pero son  $dt \approx d\tau$ )

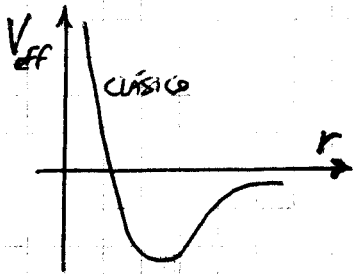
tmb. es lo mismo decir  $P_t, P_{\phi}$

→ Así trabajamos con las leyes de conservación ya es más sencillo pero se puede usar la geodesica

dado que no se mueven con velocidad relativista



y se puede comparar con el resultado clásico. Vemos la diferencia cuantitativa aunque hay una zona ( $r \gg R$ ) donde parecen coincidir.



Buscando los extremos vemos que

$$\frac{\partial V_{eff}}{\partial r} = 0 \Leftrightarrow$$

$$r = r_{\pm} = \frac{l^2}{2M} \left( 1 \pm \sqrt{1 - \frac{12M^2}{l^2}} + 1 \right)$$

con lo cual existen  $r_{\pm}$  si se cumple que:

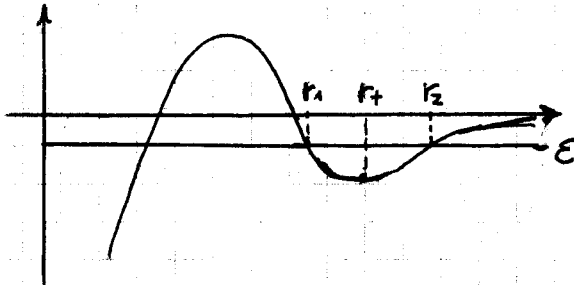
$$l^2 > 12M^2$$

pero si

$$l^2 < 12M^2$$

no existen los dos radios (es una función creciente el  $V_{eff}$ ).

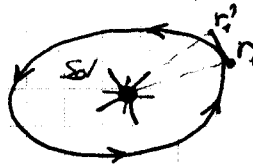
Restringiéndonos a la zona de órbitas acotadas



Con un valor de energía como el mostrado las órbitas son acotadas

$$r_1 < r < r_2$$

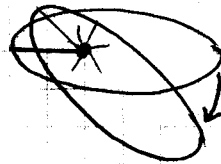
, pero no implica que las órbitas sean cerradas; es decir que cuando da la vuelta  $r_1 \rightarrow r_2 \rightarrow r_1$  no vuelve a caer en el mismo punto.



Asimismo existe órbita circular estable con  $r = r_+$  y una órbita con radio mínimo

$$r_{+|MIN} = 6M$$

Entonces este término causará una perturbación en las órbitas. Se había observado que en la órbita de Mercurio hay una precesión del eje de la elipse: la órbita no es newtoniana.



En realidad rota  $5000''$  de arco por siglo. Las correcciones newtonianas dan cuenta de  $4957''$  y quedan

$43''$  de arco sin poder explicarse clásicamente.

Veamos el cálculo:

$$\frac{dr}{d\phi} = \frac{dr}{d\phi} \frac{d\phi}{d\theta} = \frac{dr}{d\phi} \frac{l}{r^2} = -\frac{du}{d\phi} l$$

donde cambiaremos  $u \equiv 1/r \Rightarrow$

$$\left( \frac{du}{d\phi} \right)^2 = \frac{2E}{l^2} - u^2 + 2Mu \left( \frac{1}{l^2} + \frac{u^2}{*} \right)$$

obteniéndose el término extra indicado con \*. Entonces:

$$u_2 \leq u \leq u_1$$

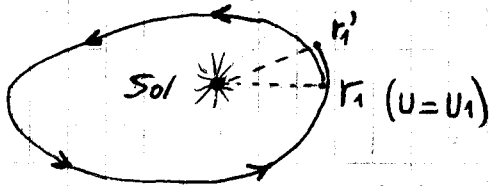
luego definiendo  $f(u) = \left( \frac{du}{d\phi} \right)^2$  se tiene:

$$\frac{du}{d\phi} = \pm \sqrt{f(u)} \Rightarrow$$

$$\phi(u) = \int_{u_c}^u \frac{du}{\sqrt{f(u)}}$$

y esta integral puede hacerse numéricamente. La diferencia sale de calcular el avance del perihelio. Sea el planeta

en la posición de mínima distancia sucesiva. Luego de una vuelta la



regresa a coordenada ~~de~~ la misma distancia del Sol (la mínima); pero ya no es el mismo punto del espacio tiempo. El avance del perihelio será:

$$\Delta\phi = 2\phi(U_1) - 2\pi$$

medido como diferencia del resultado clásico que sería  $2\pi$ .

La integral la podemos hacer considerando campo débil.

Práctica

Problema 2 [GUÍA 6]

Solución de Reissner-Nordström que describe geometría exterior de un objeto esféricamente simétrico y cargado con  $Q$ .

Tendremos vínculos EM y G. Usaremos principio de equivalencia. En un SLI

(Prob. 7 GUÍA 2)

$$\bullet F_{\alpha\beta;\gamma} + F_{\beta\gamma;\alpha} + F_{\gamma\alpha;\beta} = 0$$

$$\bullet \partial_\alpha F^{\alpha\beta} = J^\beta$$

$$\bullet F_{\alpha\beta} = \partial_\alpha A_\beta - \partial_\beta A_\alpha$$

$$\bullet \underbrace{ma^\alpha}_{4 \text{ Accel.}} = \underbrace{F^{\alpha\beta}}_{\text{CARGA}} \underbrace{g_{\beta\gamma}}_{4 \text{ VEL.}}$$

Ahora pasamos a un sistema general extendiendo como es usual:

$$\bullet F_{\alpha\beta;\gamma} + F_{\beta\gamma;\alpha} + F_{\gamma\alpha;\beta} = 0$$

$$\bullet \nabla_\mu F^{\nu\mu} = J^\nu$$

$$\bullet F_{\mu\nu} = \nabla_\mu A_\nu - \nabla_\nu A_\mu$$

$$\bullet ma^\mu = F^{\mu\nu} g_{\nu\alpha} u^\alpha$$

, como no es cero el término la partícula no sigue la ecuación de la geodésica. Asimismo

$$\bullet T_{\alpha\beta}^{(EM)} = \frac{1}{4\pi} \left( F_{\alpha\gamma} F_{\beta}{}^\gamma - \frac{1}{4} F_{\gamma\delta} F^{\delta\eta} g_{\alpha\beta} \right)$$

y en un SGC será:

$$\bullet T_{\mu\nu}^{(EM)} = \frac{1}{4\pi} \left( F_{\mu\rho} F_{\nu}{}^\rho - \frac{1}{4} g_{\mu\nu} F_{\rho\sigma} F^{\rho\sigma} \right)$$

La conservación en cu de los sistemas será:

$$\bullet \left( T_{\alpha\beta}^{(EM)} + T_{\alpha\beta}^{(MAT)} \right)_{;\beta} = 0$$

y en un SGC será:

$$\bullet \left( T_{\mu\nu}^{(EM)} + T_{\mu\nu}^{(MAT)} \right)_{;\nu} = 0$$

Para el SLI se daba trivialmente

$$F^{tj} = E^j$$

$$F^{jk} = \epsilon^{ijkl} B^l$$

en espadas curvas ya esto deja de valer.

Podríamos mostrar que:

$$1) F_{\mu\nu} = \nabla_\mu A_\nu - \nabla_\nu A_\mu = \partial_\mu A_\nu - \partial_\nu A_\mu + \Gamma_{\mu\nu}^\rho A_\rho - \Gamma_{\nu\mu}^\rho A_\rho = \Gamma_{\mu\nu}^\rho A_\rho - \Gamma_{\nu\mu}^\rho A_\rho$$

$$2) F_{\mu\nu;\rho} + F_{\nu\rho;\mu} + F_{\rho\mu;\nu} = F_{\mu\nu,\rho} + F_{\nu\rho,\mu} + F_{\rho\mu,\nu}$$

$$3) \nabla_\mu F^{\mu\nu} = \frac{1}{\sqrt{g}} \partial_\mu (F^{\mu\nu} \sqrt{g}) \rightarrow F_{\mu\nu} = -F_{\nu\mu}$$

$$4) J^\mu_{;\mu} = 0 \rightarrow \frac{1}{\sqrt{g}} \partial_\mu (\sqrt{g} J^\mu), \text{ usando la 2da ecuación de la lista de } \bullet$$

Las ecuaciones de Maxwell para  $J^\nu = 0$

$$F_{\mu\nu} = \partial_\mu A_\nu - \partial_\nu A_\mu$$

$$\textcircled{2} \partial_\mu (F^{\mu\nu} \sqrt{g}) = 0$$

Las ecuaciones de Einstein

$$G_{\mu\nu} = R_{\mu\nu} - \frac{1}{2} g_{\mu\nu} R =$$

$$8\pi G \frac{Z}{T_{\mu\nu}}(EM)$$

$$S = S_G + S_M$$

$$T_{\mu\nu} = -\frac{2}{\sqrt{g}} \frac{\delta S_M}{\delta g^{\mu\nu}}$$

$$S_{EM} = -\frac{1}{4} \int d^4x \sqrt{g} F_{\mu\nu} F^{\mu\nu}$$

este generalizaba el de espacios planos. Si consideramos:

$$S_M = -\frac{\alpha_{EM}}{4} \int d^4x \sqrt{g} F_{\mu\nu} F^{\mu\nu}$$

queremos ver que:

$$T_{\mu\nu} = T_{\mu\nu}^{EM} \text{ si } \boxed{\alpha_{EM} = \frac{1}{4\pi}}$$

Para resolver la ecuación procedemos similarmente a Schwarzschild:

USO SIMETRÍAS  $\rightarrow$  COORDENADAS  
ADecuadas

ANSATZ para  
la métrica

$$g_{\mu\nu}$$

RESUELVO  $\rightarrow$   $F_{\mu\nu} \rightarrow T_{\mu\nu}$   
ECS. MAXWELL

OBTENGO  $\leftarrow$  EC. EINSTEIN  
 $g_{\mu\nu}$

Con simetría esférica, estática

$$ds^2 = -e^{2\phi(r)} dt^2 + e^{2\lambda(r)} dr^2 + r^2 (d\theta^2 + \sin^2\theta d\varphi^2)$$

y para esta hemos calculado ya

Los símbolos de Christoffel.  
Por la simetría esférica:

$$A_\mu = \begin{cases} A_t(r,t) \\ A_r(r,t) \end{cases} \quad A_\theta = A_\varphi = 0$$

entonces sólo nos importarán:

$$F_{tr} = -F_{rt} \neq 0$$

$$F_{rt} = f(r)$$

esto último es la "estaticidad" que  
suprimos

Según  $\textcircled{2}$  con  $\nu = t$

$$\partial_r (F^{tr} \sqrt{g}) = 0$$

$$\partial_r (g^{tt} g^{rr} \frac{F_{tr} \sqrt{g}}{-f(r)}) = 0 \quad -(\phi + \lambda)$$

$$g^{tt} g^{rr} \sqrt{g} = -r^2 \sin\theta \cdot e$$

$$\partial_r (r^2 e^{-(\phi + \lambda)} f(r)) = 0$$

$$2f - rf(\phi' + \lambda') + f' = 0$$

$$\frac{f'}{f} = -\frac{2}{r} + \frac{d}{dr}(\lambda + \phi)$$

$$\frac{d}{dr}(\ln f) = \frac{d}{dr}(\ln r^2) + \frac{d}{dr}(\lambda + \phi)$$

$$f = \frac{Q}{r^2} e^{\lambda + \phi}, \quad Q = \text{cte.}$$

$$8\pi T_{tt} = e^{2\phi} \frac{Q^2}{r^4}$$

$$8\pi T_{rr} = -e^{2\lambda} \frac{Q^2}{r^4}$$

$$8\pi T_{\theta\theta} = \frac{Q^2}{r^2}$$

$$8\pi T_{\varphi\varphi} = \sin^2\theta \frac{Q^2}{r^2}$$

veamos que cumple  $\boxed{T^\mu_\mu = 0}$  [1]

como debiera, y además

$$\boxed{T_{rr} + e^{2(\lambda - \phi)} T_{tt} = 0}$$
 [2]

Las  
25m  $\frac{d}{dr}$

Faltaría ver que son  $\Lambda'$  y  $\phi'$ .

$$G_{\mu\nu} = R_{\mu\nu} - \frac{1}{2} g_{\mu\nu} R$$

$$G_{\mu}^{\mu} = R - \frac{1}{2} g_{\mu}^{\mu} R = -R$$

Pero como

$$G_{\mu\nu} = 8\pi G T_{\mu\nu}$$

$$T_{\mu}^{\mu} = 0 \Rightarrow G_{\mu}^{\mu} = \boxed{R=0}$$

el escalar de Ricci es nulo. [3]  
Luego:

$$G_{\mu\nu} = R_{\mu\nu} = 8\pi G T_{\mu\nu}$$

empleando la observación [2]

$$\boxed{R_{rr} + e^{2(\Lambda-\phi)} R_{tt} = 0} \quad [4]$$

$$\boxed{R_{rr} = 8\pi G T_{rr}} \quad [5]$$

Haciendo cuentas resultará:

$$R_{tt} = e^{2(\phi-\Lambda)} \left[ \phi'' + \phi'^2 - \phi'\Lambda' + \frac{2}{r}\phi' \right]$$

$$R_{rr} = - \left[ \phi'' + \phi'^2 - \phi'\Lambda' - \frac{2}{r}\Lambda' \right]$$

$$R_{\theta\theta} = e^{-2\Lambda} [r\Lambda' - r\phi' - 1] + 1$$

Algunos tips serán:

[3]  $R=0$  simplifica  $R_{tt}$  y  $R_{rr}$  para que:

$$R_{tt} = \frac{e^{2\phi}}{r^2} - \frac{e^{-2(\Lambda-\phi)}}{r^2} + 2e^{-2(\Lambda-\phi)} \cdot r\Lambda'$$

$$R_{rr} = \frac{1}{r^2} + \frac{2\phi'}{r} - \frac{e^{2\Lambda}}{r^2}$$

Con estas dos en [4] llego a:

$$2r(\Lambda+\phi) = 0$$

tomos:  $\Lambda+\phi = \text{cte} \equiv 0$   
si rescalo el tiempo.

$$\boxed{\Lambda = -\phi}$$

Usando [5] y este resultado es:

$$F_{rt} = e^{(\Lambda+\phi)} \frac{Q}{r^2} = \frac{Q}{r^2}$$

también con ello

$$R_{rr} = \frac{1}{r^2} (1 - e^{-2\phi}) + \frac{2\phi'}{r} = 8\pi G T_{rr} \\ = -\frac{GQ^2 e^{-2\phi}}{r^4}$$

$$2r^3\phi' + r^2(1 - e^{-2\phi}) = -e^{-2\phi} GQ^2$$

$$z = e^{2\phi} \Rightarrow \frac{z'}{z} = 2\phi' \quad (\text{change})$$

$$\boxed{z'r^3 + r^2(z-1) = -Q^2 G} \quad [6]$$

siendo esta última la ecuación a resolver. Propongo una serie con-  
tada

$$Z(r) = 1 + r^a \alpha + r^b \beta$$

metiéndolos con forzeps en [6] de  
que (merced a igualar coeficientes)

$$a = -2 \Rightarrow \alpha = Q^2 G$$

$$\beta b + \beta = 0 \rightarrow \beta = 0 \quad \left[ \begin{array}{l} \text{No lo} \\ \text{uso} \end{array} \right]$$

$$\beta = 1$$

$$Z(r) = 1 + \frac{Q^2 G}{r^2} + \frac{\beta}{r} \\ \downarrow e^{2\phi}$$

$$ds^2 = -Z(r) dt^2 + \frac{1}{Z(r)} dr^2 + r^2$$

$$(d\theta^2 + \sin^2\theta d\varphi^2)$$

donde  $\alpha$  y  $\beta$  son constantes de  
integración que saldrán de las

conformar

$$g_{00} \sim -(1+2\phi) \quad \text{con } \phi = -\frac{GM}{r}$$

así:  $\beta = -2MG$

un observador lejano mide una masa 'M'.

$$Z(r) = 1 - \frac{2MG}{r} + \frac{QG}{r^2}$$

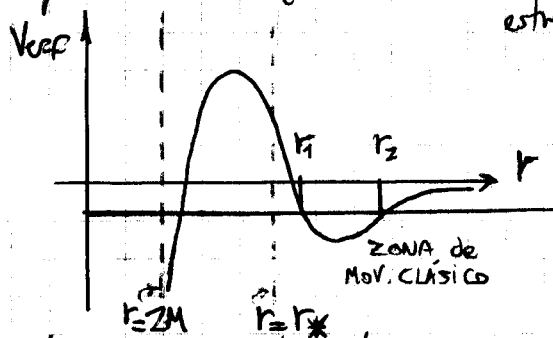
luego con  $r \rightarrow \infty$   $Z(r) \rightarrow 1$ , luego como para Minkowski

$$F_{rt} = E_r$$

luego  $Q^2$  sería la carga  $^2$  que mide un observador desde lejos

**Teoría**

Continuación Geodésicas de partículas masivas en Schwarzschild. Tentamos un potencial efectivo del tipo ilustrado (válido fuera de la estrella).

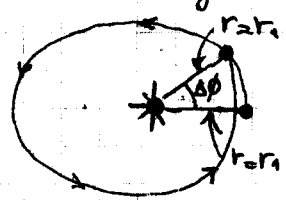


la ecuación de la órbita era:

$$\left(\frac{du}{d\phi}\right)^2 = \frac{2E}{l^2} - u^2 + \frac{2Mu}{l^2} + \frac{2Mu^3}{l^2}$$

termino extra

donde:  $E = (e^2 - 1)/2$ ,  $u = 1/r$ . Las órbitas en general no serán cerradas van cambiando pero con serrando distancia máxima y mínima luego de dar una revolución el planeta no regresa al mismo punto: precesión del perihelio



llo: el eje de la elíptica va precesiondo

Hagamos  $\left(\frac{du}{d\phi}\right)^2 = f(u) \Rightarrow$

$$\frac{du}{d\phi} = \pm \sqrt{f(u)}$$

el "+" es cuando U crezca con  $\phi$  y el "-" es cuando U decrezca con  $\phi$ .

$$\phi(u) = \int_{u_2}^u \frac{du}{\sqrt{f(u)}}$$

y  $u_2$  es el valor mínimo de U y de hecho se corresponde a r máximo y de crecienda. Ahora:

$$\Delta\phi = 2\phi(u_1) - 2\pi$$

y esto es cero si no está el término  $\frac{2Mu^3}{l^2}$

La haremos analíticamente a orden lineal en campo débil.

$$M/r \ll 1$$

pero  $f(u)$  es un polinomio de grado 3, del cual sabemos que es nulo en dos raíces  $u_1, u_2$  y se puede escribir

27-10-0  
r es la coordenada asociada al  $R_0$

$$2M(u-u_1)(u-u_2)(u-u_3) = f(u)$$

$$f(u) = 2M(u^3 - U^2(u_1+u_2+u_3) + \dots)$$

Se puede calcular  $u_3$

$$-2M(u_1+u_2+u_3) = -1 \Rightarrow$$

$$f(u) = \frac{1}{2M} - u_1 - u_2 \therefore$$

$$f(u) = \left(u - \frac{1}{2M} + u_1 + u_2\right)$$

contiene escribir:

$$f(u) = -(u-u_1)(u-u_2) \left[1 - \frac{2M(u_1+u_2)}{u}\right]$$

$$\phi(u_1) = \int_{u_2}^{u_1} \frac{1}{\sqrt{(u-u_1)(u-u_2)}} \frac{du}{\sqrt{1 - 2M(u_1+u_2)/u}}$$

donde el resultado newtoniano es el primer factor, y el otro es corrección. Ahora desarrollaremos a 1º orden este último factor. Resulta

$$\approx 1 + M(u+u_1+u_2)$$

NB

A 1<sup>er</sup> orden  
(coordenada  
de Schwarzschild  
y distancia  
radial  
binudern)

$$\Delta\phi = 2\phi(U_1) - 2\pi$$

$$\Delta\phi \approx 2M \int_{U_2}^{U_1} \frac{dU(U+U_1+U_2)}{U_2 \sqrt{(U-U_1)(U-U_2)}}$$

$$\Delta\phi \approx 3\pi M (U_1+U_2) = \frac{6\pi M}{L}$$

donde:

$$L = \frac{1}{2}(U_1+U_2) = \frac{1}{2} \left( \frac{1}{r_1} + \frac{1}{r_2} \right)$$

$$\Delta\phi = \frac{6\pi M}{L}$$

medidos en radianes por revolución.  
Todos los planetas sufren esta  
precesión, pero es más notable en  
el caso de Mercurio; para el cual  
los números son:

$$L = 55,3 \cdot 10^6 \text{ km}$$

$$M = 1,475 \text{ km}$$

$$\Rightarrow \Delta\phi = 43,03'' \text{ arco/siglo}$$

o unos  $10^{-6}$  radianes.

Entonces en GR las órbitas no  
son cerradas. Pero las observa-  
ciones astronómicas dan

$$\Delta\phi = (3600,73 \pm 0,4)'' \text{ arco/siglo}$$

, que se separan en

$$43,11'' \text{ GR}$$

5557,62''  $\rightarrow$  5025'' por pre-  
cesión de los  
equinoccios  
presencia  
gravitatoria de  
los otros planetas

$$279'' \text{ Venus}, 153'' \text{ Júpiter}, 50'' \text{ Tierra},$$

$$11'' \text{ Resto}$$

Este mismo efecto se vio en pul-  
sars binarios [dos estrellas; una  
que gira en torno a la otra que  
es un pulsar]. Para uno de estos  
sistemas

$$T \sim 7h 45'$$

$$M \sim M_{\odot}$$

$$L \sim 10^6 \text{ km}$$

$$\Delta\phi \sim 4'' \text{ /año}$$

• Trayectorias de partículas NO  
MASIVAS

Queremos ver básicamente la  
deflexión de la luz, como caso par-  
ticular. Ahora la cuadrivelocidad no  
puede definirse con  $d\tau = 0$ , enton-  
ces usamos

$$U^{\mu} = \frac{dx^{\mu}}{d\lambda}$$

donde  $\lambda$  es parámetro afin. La norma-  
lización es:

$$U \cdot U = 0$$

y existen dos cantidades conservadas.

$$e = -\frac{g}{m} \cdot U = \left(1 - \frac{2M}{r}\right) \frac{dt}{d\lambda}$$

$$l = \frac{p}{m} \cdot U = r^2 \sin^2 \theta \cdot \frac{d\phi}{d\lambda}$$

Así elige de modo que con el fotón lejos

$$\frac{dx^{\mu}}{d\lambda} = p^{\mu}_{\text{FOTÓN}} \quad (r \rightarrow \infty)$$

Así la constante "e" es la energía del  
fotón con  $r \rightarrow \infty$  y "l" el momento an-  
gular.

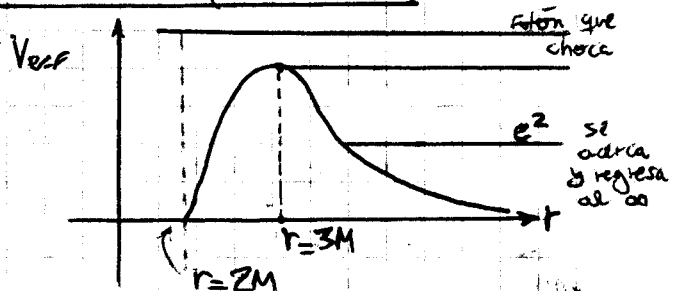
Podemos elegir el sistema de  
coordenadas tal que el movimien-  
to en el plano tenga lugar  
en  $\theta = \pi/2$ .

$$l = r^2 \frac{d\phi}{d\lambda}$$

La wenta es idéntica a la de la  
partícula masiva con lo cual

$$\left(\frac{dr}{d\lambda}\right)^2 + V_{\text{eff}} = e^2,$$

$$V_{\text{eff}} = \frac{l^2}{r^2} \left(1 - \frac{2M}{r}\right)$$





Si  $r \ll 3M$  existe una órbita circular INESTABLE.

Dependiendo de la energía del fotón tendremos diferentes órbitas; la que consideraremos es la que tiene un punto de acercamiento máximo y luego vuelve a alejarse.

$$\frac{dr}{d\lambda} = \frac{dr}{d\phi} \cdot \frac{d\phi}{d\lambda} = \frac{dr}{d\phi} \frac{l}{r^2} = -\frac{du}{d\phi} \cdot l$$

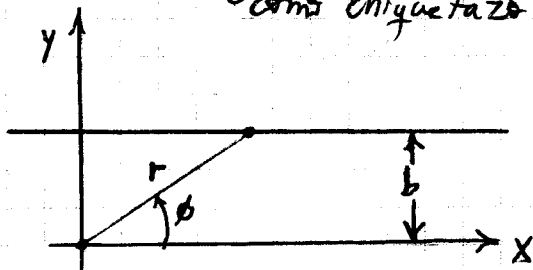
donde hemos hecho  $u = 1/r$

$$\left(\frac{du}{d\phi}\right)^2 l^2 + l^2 u^2 (1 - 2Mu) = e^2$$

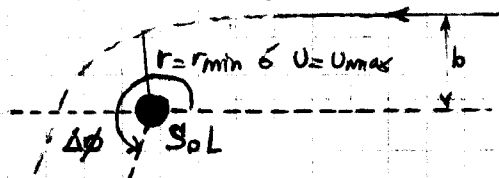
$$\left(\frac{du}{d\phi}\right)^2 = \frac{e^2}{l^2} - u^2 + 2Mu^3$$

$$\boxed{\left(\frac{du}{d\phi}\right)^2 = \frac{1}{b^2} - u^2 + 2Mu^3} \quad [1]$$

Con  $b \equiv$  parámetro de impacto. Si  $M=0$  se tiene una recta (espacio plano) y el fotón pasa como chiquetazo.



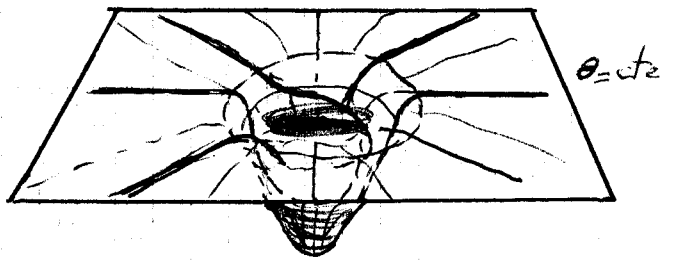
$b/r = \sin \phi$  es solución de [1]. Ahora supongamos una masa.



Consideremos la deflexión de la luz por una masa como la del Sol. La deflexión es  $\Delta\phi$  y que vamos a calcular.

$$\delta\phi_{DEF} = \Delta\phi - \pi$$

Pictóricamente estamos trabajando en la zona del espacio tiempo dada por  $\theta = \pi/2$  (una especie de cañon con una



bala de cañon en un lugar).

$$\frac{du}{d\phi} = \pm \sqrt{\frac{1}{b^2} - u^2 + 2Mu^3}$$

$$d\phi = \pm \frac{du}{\sqrt{\frac{1}{b^2} - u^2 + 2Mu^3}} \Rightarrow$$

$$\Delta\phi = 2 \int_0^{u_{max}} \frac{du}{\sqrt{\frac{1}{b^2} - u^2 + 2Mu^3}}$$

$$\text{con } u_{max}: \frac{1}{b^2} - u_{max}^2 + 2Mu_{max}^3 = 0.$$

Podemos ver a 1er orden un desarrollo pero es necesario un trabajo en el integrando por que lo que es pequeño no debe ir a amarse. Hacemos

$$x = b \cdot u$$

$$\Delta\phi = 2 \int_0^{u_{max}} \frac{dx}{\sqrt{1 - x^2 \left(1 - \frac{2Mx}{b}\right)}}$$

$$b^2 u_{max}^2 \left(1 - 2Mu_{max}\right) = 1$$

y como  $2Mx/b \ll 1$  ahora hacemos

$$\int_0^{b u_{max}} \frac{dx}{\sqrt{1 - x^2 \left(1 - \frac{2Mx}{b}\right)}} \approx \int_0^{b u_{max}} \frac{dx}{\sqrt{1 - x^2 \left(1 - \frac{Mx}{b}\right)}}$$

hacemos un cambio de variables:

$$y = x \left(1 - \frac{Mx}{b}\right)$$

que a orden lineal es

$$y \approx x \Rightarrow y \approx x \left(1 - \frac{My}{b}\right)$$

$$x \approx \frac{y}{\left(1 - \frac{My}{b}\right)} \approx y \left(1 + \frac{My}{b}\right)$$

$$dx \approx dy \left(1 + \frac{2My}{b}\right)$$

Este cambio parece algo poco creíble

El límite de integración transforme como

$$x = b \cdot U_{\max} = y = b \cdot U_{\max} (1 - M/U_{\max})$$

$$\lim_{\text{superior}} \approx 1 \quad (\text{a } 1^{\text{er}} \text{ orden})$$

Juntamos todo

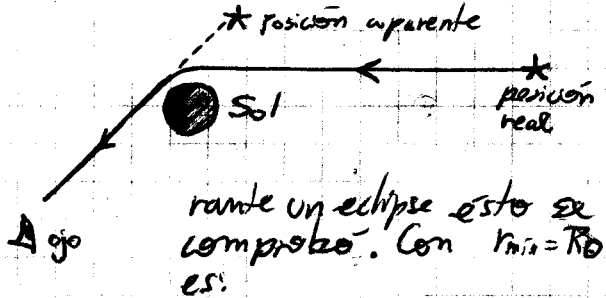
$$\Delta\phi \approx 2 \int_0^1 dy \frac{(1 + \frac{2MY}{b})}{\sqrt{1 - y^2}} \quad \text{A } 1^{\text{er}} \text{ orden en } M/b$$

con  $M=0$  el resultado es  $\Delta\phi = \pi$ .  
con  $M \neq 0$  será:

$$\Delta\phi_{\text{DES}} \approx \frac{4M}{b} = \frac{4M}{r_{\min}}$$

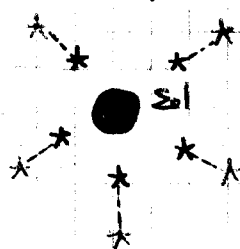
Luego, GR predice esta desviación para la luz cerca de un objeto masivo.

Para verificar esto conviene ver luz rasante sobre el Sol. En 1919 du-



$$\Delta\phi_{\text{DES}} \approx 1,75'' \text{ de arco}$$

Los resultados experimentales medidos en 1919 fueron  $1,98'' \pm 0,12''$



cuando calculamos scattering con una partícula de  $v=c$  se obtiene

$$\Delta\phi = \frac{2M}{r_{\min}}$$

entonces GR es más que scattering.

Podríamos preguntarnos que sucede con  $\Delta\phi_{\text{DES}}$  si usamos coord-

denadas - al orden más bajo coinciden pero no necesariamente a orden superior.

Además en cualquier sistema de coordenadas los valores son los mismos si los escribo en función de parámetros físicos.

Práctica

Comentarios

Problema 3 para más adelante

Problema 6

Fluido ideal  $\rho = \text{cte}$  y simetría esférica. Se sugiere ver Chapter 10 de Schutz.

$$ds^2 = -e^{2\phi(r)} dt^2 + e^{2\lambda(r)} dr^2 + r^2 d\Omega^2$$

con  $d\Omega^2 = d\theta^2 + \sin^2\theta d\varphi^2$

$$T^{\mu\nu} = (p + \rho) U^\mu U^\nu + g^{\mu\nu} p$$

Como la estrella es estática es

$$U^\mu = \delta^\mu_0 U^0, \quad U^\mu U_\mu = -1$$

$$\Rightarrow U^0 = e^{-\phi}, \quad U_0 = -e^\phi$$

$$T_{00} = \rho e^{2\phi}, \quad T_{xx} = p e^{2\lambda}$$

$$T_{\theta\theta} = p r^2, \quad T_{\varphi\varphi} = p r^2 \sin^2\theta$$

Luego usamos la ecuación de Einstein para resolver

$$G_{\mu\nu} = 8\pi T_{\mu\nu} \quad (G=1)$$

y obtener  $\lambda(r), \lambda(r), \phi(r)$

$$T^{\mu\nu}_{;\mu} = 0 \quad \nu \neq r$$

$T^{\mu r}_{;\mu}$  llega a

$$\left( p + \rho \right) \frac{d\phi}{dr} = - \frac{d\rho}{dr} \quad [1]$$

$$G_{\mu\nu} = 8\pi T_{\mu\nu} \Rightarrow$$

$$G_{00} = 8\pi T_{00} \quad [2]$$

$$G_{rr} = 8\pi T_{rr} \quad [2]$$

Es conveniente escribir el  $g_{rr}$  de la forma

$$g_{rr} = e^{2\lambda} = \frac{1}{\left(1 - \frac{2m(r)}{r}\right)}$$

en [2] será:

$$\frac{dm(r)}{dr} = 8\pi r^2 \rho,$$

con la CI:  $m(r=0) = 0 \rightarrow$

$$g_{rr}(r=0) = 1$$

$$m(r) = \frac{8\pi r^2 \rho}{2} \quad \text{con } r \leq R^+$$

La [3] puede parecerse:

$$-\frac{1}{r^2} \frac{1}{\left(1 - \frac{2m(r)}{r}\right)} \cdot \frac{2m(r)}{r} + \frac{2}{r} \frac{d\lambda}{dr} = \frac{8\pi T}{\left(1 - \frac{2m(r)}{r}\right)}$$

Se puede obtener una ecuación para  $P$  usando [1] y [3]

$$\frac{dP}{dr} = \frac{4\pi r}{\left(1 - \frac{8\pi r \rho}{3}\right)} \left(P + \frac{1}{3}\rho\right) (P + \rho)$$

dados los signos la presión baja con  $r$  y como es continua la métrica debe preservarse en el borde; entonces vemos que cumple:

$$P(r=R) = 0$$

tomamos como constante  $P(r=0) = P_c$ .

$$P = P(\rho, P_c, r)$$

$$P = \rho \left[ \frac{\left(1 - \frac{2Mr^2}{R^3}\right)^{1/2} - \left(1 - \frac{2M}{R}\right)^{1/2}}{3\left(1 - \frac{2M}{R}\right)^{1/2} - \left(1 - \frac{2Mr^2}{R^3}\right)^{1/2}} \right]$$

También obtenemos  $\phi(r)$  de [1]

Ahora bien,

$$g_{00} = e^{2\phi}$$

$g_{00}(r=R) = -1/g_{rr}(R)$   
 donde  $R$  se asocia el radio aunque no es el radio físico

$$g_{00}(r=R) = -\left(1 - \frac{2M}{R}\right)$$

$$e^\phi = \frac{3}{2} \left(1 - \frac{2M}{R}\right)^{1/2} - \frac{1}{2} \left(1 - \frac{2Mr^2}{R^3}\right) \quad \text{con } r < R$$

Observemos que:

$$P(r=0) = \rho \frac{\left[1 - \left(1 - \frac{2M}{R}\right)^{1/2}\right]}{3\left(1 - \frac{2M}{R}\right)^{1/2} - 1}$$

pero el denominador podría ser nulo en cuyo caso

$$\frac{M}{R} = \frac{4}{9} \quad [4]$$

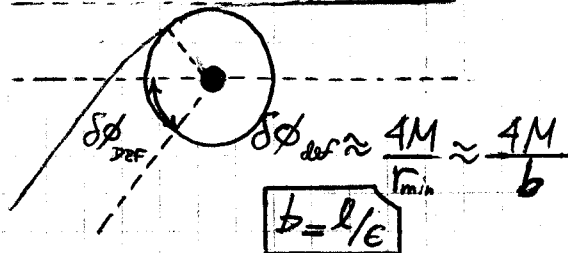
la  $P$  diverge con [4] y esto es un fenómeno que se observa con relaciones  $\rho = \rho(r)$  más realistas. Estas presiones son las que producen el colapso. otra vez chapter 10 de Schutz amplia.

### Teoría

#### Deflexión de la luz (conclusiones)

Todas los resultados obtenidos en cuyo resumen se muestra abajo.

29-10-08



usaban las coordenadas de Schwarzschild. Ahora supongámonos que no usamos estas coordenadas, ¿cua métrica era:

$$ds^2 = -\left(1 - \frac{2M}{r_s}\right) dt^2 + \frac{dr^2}{\left(1 - \frac{2M}{r_s}\right)} + r_s^2 d\Omega_2$$

$r_s \equiv$   
Schwarz

pero tenemos otros sistemas:

$$ds^2 = -\frac{\left(1 - \frac{M}{r_H}\right)}{\left(1 + \frac{M}{r_H}\right)} dt^2 + \frac{\left(1 + \frac{M}{r_H}\right)}{\left(1 - \frac{M}{r_H}\right)} dr_H^2 + \left(r_H + M\right)^2 d\Omega_2$$

son las coordenadas armónicas, que cumplen:

$$\partial_\mu (\sqrt{|g|} g^{\mu\nu}) = 0$$

También tenemos las coordenadas isotrópicas, cuyo volumen es

13  
Escriba la misma métrica en otras coordenadas

$$ds^2 = - \left( \frac{1 - \frac{M}{2r_I}}{1 + \frac{M}{2r_I}} \right)^2 dt^2 + \left( 1 + \frac{M}{2r_I} \right)^2 \left\{ dr_I^2 + r_I^2 d\Omega^2 \right\}$$

Expansionando estas métricas resulta

$$r_S = r_H + M = r_H \left( 1 + \frac{M}{r_H} \right)$$

$$r_S = r_I \left( 1 + \frac{M}{2r_I} \right)^2$$

$$r_H \left( 1 + \frac{M}{r_H} \right) = r_I \left( 1 + \frac{M}{2r_I} \right)^2 \Rightarrow$$

$$r_H = r_I \left( 1 + O\left(\frac{M}{r}\right)^2 \right)$$

Al orden más bajo  $R_{tt}$   $R_{rr}$   $R_{\theta\theta}$  el  $g_{00}$  tiene que ser el mismo en los tres casos.

$$\frac{1 - M/r_H}{1 + M/r_H} \approx \frac{1 - 2M}{r_H}$$

Según un paper [2003] Eodemer Miller

$$\Delta\phi_{def} = \begin{cases} \frac{4M}{r_S^m} + \left(\frac{M}{r_S^m}\right)^2 \left(\frac{15\pi - 4}{4}\right) + \dots \\ \frac{4M}{r_H^m} + \left(\frac{M}{r_H^m}\right)^2 \left(\frac{15\pi - 8}{4}\right) + \dots \\ \frac{4M}{r_I^m} + \left(\frac{M}{r_I^m}\right)^2 \left(\frac{15\pi - 8}{4}\right) + \dots \end{cases}$$

SCHWARZSCHILD  
ARMÓNICAS  
ISÓTROPAS

El asunto aquí es que describa las leyes físicas en términos de cosas que no son del todo físicas.

En el gráfico de la página anterior consideramos la siguiente idea geométrica de una circunferencia. Esta tiene perímetro  $P \Rightarrow$

$$\frac{P}{2\pi} = d_c$$

entonces esto define una longitud

física calculable.

$$d_c = r_S \text{ [Schwarzschild]}$$

$$\frac{1}{2\pi} \int_0^{2\pi} \sqrt{g_{\phi\phi} r_I^2} d\phi = r_S$$

En las otras coordenadas será:

$$d_c = r_H^{min} + M \text{ [Armónicas]}$$

$$d_c = r_I \left( 1 + \frac{M}{2r_I} \right)^2 \text{ [Isótropas]}$$

Esto 'd<sub>c</sub>' es independiente de las coordenadas. Si escribimos los resultados  $\Delta\phi_{def}$  en función de esto deberían resultar la misma cosa.

$$\Delta\phi_{def}^H = \frac{4M}{(d_c - M)} + \left[ \frac{M}{(d_c - M)} \right]^2 \left( \frac{15\pi - 8}{4} \right)$$

haciendo el desarrollo hasta orden 2,

$$\frac{4M}{d_c(1 - \frac{M}{d_c})} \approx \frac{4M}{d_c} \left( 1 + \frac{M}{d_c} \right) = \frac{4M}{d_c} + 4 \left( \frac{M}{d_c} \right)^2$$

entonces resulta:

$$\Delta\phi_{def}^H = \frac{4M}{d_c} - \left( \frac{M}{d_c} \right)^2 \left( \frac{15\pi - 4}{4} \right) -$$

El cálculo hecho para deflexión con coord de Schwarzschild no me da distancias sino hay una transformación de coordenadas para llevarlo a parámetros isotropos.

También podemos hacer la cuenta en términos de 'b' (cosa física) con expresión que no depende del sistema de coordenadas. Para una métrica ordinaria

$$ds^2 = -B(r) dt^2 + A(r) dr^2 + C(r) d\Omega^2$$

llegamos a un:

$$\Delta\phi_{def} = 2 \int_0^{\theta_{max}} \frac{d\theta \sqrt{A}}{U^2 \sqrt{C(B^2 - 1)}} - \pi$$

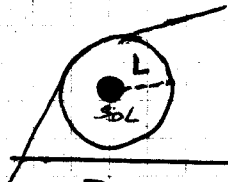
, donde  $U$  es solución de  $\frac{C}{B^2} = 1$

Y como siempre  $U = 1/r$   
 En términos de  $r$  será:

$$\delta\phi = -2 \int_0^{r_{\max}} \frac{\sqrt{A} \cdot dr}{\sqrt{\left(\frac{c}{B\dot{t}} - 1\right)^2}} - \pi$$

se ve que en su de las coordenadas  $\sqrt{A} dr' = \sqrt{A} \cdot dr = \sqrt{A} dr''$  y el valor de la integral es siempre el mismo.  
 Notemos que  $r$  no es la distancia física;

$$L = \int_0^r \sqrt{A} dr$$



Esquema de Parametrización Post-Newtoniana

$$ds^2 = -B(r)dt^2 + A(r)dr^2 + r^2 d\Omega^2$$

Existen variantes de GR que hacen que la solución de vacío no sea Schwartzchild. El principio de equivalencia establece que el:

$$g_{00} \propto 1 - \frac{2M}{r} + \mathcal{O}\left(\frac{M}{r}\right)^2$$

para que tienda a Newton lejos de las masas.

$$B(r) = 1 - 2M/r + \mathcal{O}\left(\frac{M}{r}\right)^2$$

$$A(r) = 1 + \mathcal{O}\left(\frac{M}{r}\right)$$

Como el resto de la métrica no tenía constraints extras tenemos que basta con que fuese igual a MINKOWSKI en  $r \rightarrow \infty$ .

Esto deja lugar a teorías alternativas que se manifiestan en:

$$B(r) = 1 - \frac{2M}{r} + 2(\beta - \gamma) \left(\frac{M}{r}\right)^2 + \dots$$

$$A(r) = 1 + \frac{2\gamma M}{r} + \dots$$

que serán:

\*GR:

$$\beta = \gamma = 1$$

$$g_{rr} = A(r) = \frac{1}{1 - \frac{2M}{r}}$$

Ahora bien, calculando en estos nuevos enfoques los resultados de GR que se contrastan en la realidad:

$$\delta\phi = \frac{4M}{L} \frac{(1+\gamma)}{2}$$

$$\Delta\phi_{\text{PREC}} = \frac{1}{3} (2 + 2\gamma - \beta) \frac{6\pi M}{L}$$

El experimento de la luz al rojo es la prueba al principio de equivalencia (depende solo del  $g_{00}$ ).  
 Hay otro test que es el retardo gravitacional de Shapiro, porque la luz pasa cerca de un objeto masivo. Este depende de  $\gamma$ .  
 Con la data observacional se deducen como:

$$\gamma = 1.000 \pm 0.002$$

$$\beta = 1.000 \pm 0.003$$

Black Holes

Partimos de la métrica de Schwartzchild,

$$ds^2 = -\left(1 - \frac{2M}{r}\right) dt^2 + \frac{dr^2}{\left(1 - \frac{2M}{r}\right)} + r^2 d\Omega^2 \quad [1]$$

colapso



$$r = r_s > 2M$$

Teorema de Birkhoff

Existen problemitas aquí en esta métrica:

$$r = 2M \quad g_{00} = 0 \quad g_{rr} = \infty$$

$$r = 0 \quad g_{00} = \infty \quad g_{rr} = g_{\theta\theta} = g_{\phi\phi} = 0$$

$$\theta = 0 \quad g_{\theta\phi} = 0$$

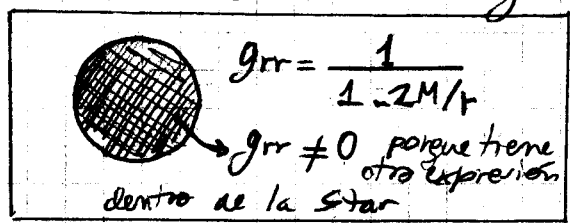
Quisiéramos ver si son problemas de las coordenadas o del  $et$  mismo

$$R_{\mu\nu} = 0$$

$$R_{\mu\nu\rho\sigma} \neq 0$$

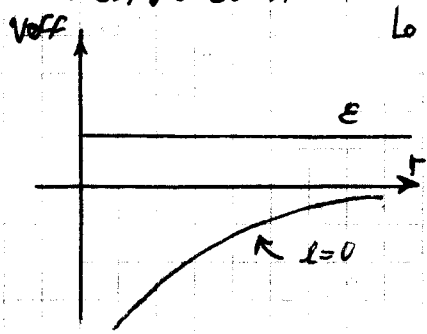
Un escalar debe valer lo mismo en todos los sistemas de coordenadas

Si calculamos  $R_{\mu\nu} R^{\mu\nu}$  obtenemos  $48M^2/r^6$ . Esto sugiere que en  $r=0$  tengo curvatura  $\infty$ . Entonces realmente tengo una singularidad en  $r=0$ . Esto supone que [1] es válido en todo el espacio; es decir que la materia ha colapsado hasta  $r=0$ . No es el caso de la figura



Del mismo  $R_{\mu\nu} R^{\mu\nu}$  surge que  $r=2M$  no parece ser una singularidad del espacio-tiempo.

Un cálculo interesante es el tiempo que tarda un objeto en caer desde un punto hasta  $r=2M$ .



Lo soltamos desde  $r=R$  con un  $l=0$ . Esperamos que el objeto se mueva hasta  $r=2M$  y luego después de él. El  $V_{eff}$  será:

mueva hasta  $r=2M$  y luego después de él. El  $V_{eff}$  será:

$$\left(\frac{dr}{dz}\right)^2 = e^2 - 1 + \frac{2M}{r} \Rightarrow$$

$$\int dz = \int_R^{2M} \frac{dr}{\sqrt{e^2 - 1 + 2M/r}}$$

$$\Delta z = \int_{2M}^R \frac{dr}{\sqrt{e^2 - 1 + 2M/r}} < \infty$$

llega en un  $\Delta z < \infty$  a  $2M/r$ . El tiempo coordenado

$$e = \left(1 - \frac{2M}{r}\right) \frac{dt}{dz}$$

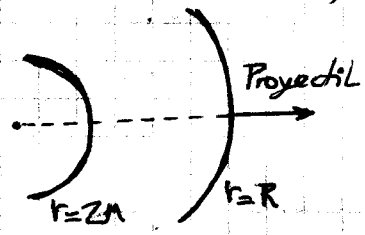
$$dt = e dz \sqrt{1 - \frac{2M}{r}}$$

$$dt = \frac{e dr}{\sqrt{e^2 - 1 + \frac{2M}{r}} \left(1 - \frac{2M}{r}\right)}$$

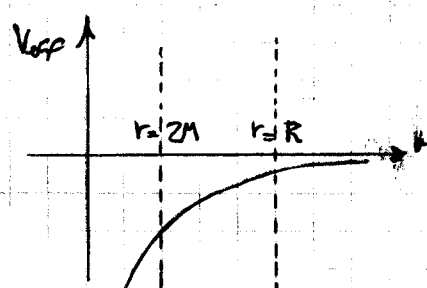
$$\Delta t = \int_{2M}^R \frac{e dr}{\left(1 - \frac{2M}{r}\right) \sqrt{e^2 - 1 + \frac{2M}{r}}} \neq \infty$$

El tiempo coordenado es  $\infty$ ; implicaría que tenemos un problema con las coordenadas

Veamos ahora un cálculo de velocidad de escape de un proyectil que quiero lanzar con ánimo de que no vuelva y que se vaya al  $\infty$ .



Del gráfico vemos que con  $E \geq 0$  tengo escape y  $E=0$  implica la mínima velocidad.



$l=0$   
[mov. radial]  
 $E=0$

$$E=0 = \frac{e^2 - 1}{2} \quad \left(\frac{dr}{dz}\right)^2 = \frac{2M}{r}$$

$$\frac{dt}{dz} = \frac{1}{1 - \frac{2M}{r}}$$

luego la cuadrivolumen será:

$$U_{\underline{m}} = \left( \frac{1}{1 - \frac{2M}{r}}, \sqrt{\frac{2M}{r}}, 0, 0 \right)$$

Mezcla un observador en reposo en  $r=R$ .

$$U_{\underline{obs}} = \left( \frac{dt}{dz}, 0, 0, 0 \right)$$

$$U_{\underline{obs}} = \left( \frac{1}{\sqrt{1 - \frac{2M}{R}}}, 0, 0, 0 \right)$$

pero el impulso del proyectil será

$$p = m U_{\underline{m}}$$

Entonces la energía medida por el observador es:

$$E = -\frac{p}{m} \cdot U_{obs} = -m \frac{U_\mu U^\mu}{ds}$$

$$E = \frac{m}{\sqrt{1 - \frac{2M}{R}}}$$

Pero para el observador tienen que verse las cosas como en SR, es decir:

$$E^2 = m^2 + (p^i)^2$$

es que usa su base orthonormal. Finalmente

$$v_{escape}^2 = \frac{2M}{R}$$

Esta es la fórmula clásica y vemos que en  $R=2M$  es

$$v_{escape} = c$$

### Práctica

#### Problema 3

Agregamos hipótesis:

- Star esféricamente simétrica
  - $b$ : parámetro de impacto
  - $r=R$  max. acercamiento
- Observador en reposo allí.

El cometa es una partícula de prueba moviéndose en el et externo a nuestra "star".

$$ds^2 = -\left(1 - \frac{2M}{r}\right) dt^2 + \frac{1}{\left(1 - \frac{2M}{r}\right)} dr^2 + r^2 d\Omega^2$$

El cometa esta libre, se moverá en una geodésica. Usamos las cosas que se conservan, sea  $U_{com}$  la cuadrivelocidad

①  $U_{com} \cdot U_{com} = -1$

②  $\frac{t}{m} \cdot U_{obs} = -e = g_{tt} \frac{dt}{d\tau}$

③  $\frac{\varphi}{m} \cdot U_{obs} = l = g_{\varphi\varphi} \frac{d\varphi}{d\tau}$

Son cantidades que se conservan a lo largo de la geodésica

[2]  $-e = \left(1 - \frac{2MG}{r}\right) \frac{dt}{d\tau}$

[3]  $\theta = \frac{\pi}{2}, \quad l = r^2 \frac{d\varphi}{d\tau}$

y reemplazando:

$$\left(\frac{dt}{d\tau}\right)^2 g_{tt} + \left(\frac{d\varphi}{d\tau}\right)^2 g_{\varphi\varphi} + \left(\frac{dr}{d\tau}\right)^2 g_{rr} = -1$$

$$U = \left(\frac{dt}{d\tau}, \frac{dr}{d\tau}, 0, \frac{d\varphi}{d\tau}\right)$$

expresión en base coordenada de Schwarzschild.

$$-1 = \frac{-e^2}{\left(1 - \frac{2MG}{r}\right)} + \frac{1}{\left(1 - \frac{2MG}{r}\right)} \left(\frac{dr}{d\tau}\right)^2 + \frac{l^2}{r^2} \quad [A]$$

Itanaria que escribiremos en función de los datos. En  $r \rightarrow \infty$  en [A]

$$-1 + e^2 = \left(\frac{dr}{d\tau}\right)^2 > 0 \quad (1)$$

para muy lejos de la star el cometa se mueve en una recta con parámetro de impacto  $b$ ; es:

$$r \cdot \sin \varphi = b \quad (de)$$

$$r \cdot \varphi \approx b \quad (si)$$

$$\varphi \approx \frac{b}{r}$$

$$\frac{d\varphi}{d\tau} \approx -\frac{b}{r^2} \frac{dr}{d\tau} \rightarrow$$

$$r^2 \frac{d\varphi}{d\tau} = l \approx -b \frac{dr}{d\tau}$$

$$l = -b \frac{dr}{d\tau} \rightarrow \left(\frac{l}{b}\right)^2 = \left(\frac{dr}{d\tau}\right)^2 = e^2 - 1 \quad (2)$$

En  $r=R$  está el punto de máximo acercamiento

$$\left.\frac{dr}{d\tau}\right|_R = 0 \Rightarrow \text{de [A] solo que}$$

$$-1 = \frac{-e^z}{\left(1 - \frac{2MG}{R}\right)} + \left(\frac{l}{R}\right)^2 \quad (3)$$

Juntamos todo resulta que podemos poner  $l^z$  y  $e^z$  en términos de  $R, b, M$ .

$$l^z = \frac{2MG}{R \left( \frac{1}{b^2} + \frac{1}{R} \left(1 - \frac{2MG}{R}\right) \right)}$$

$$\left(\frac{e^z}{R}\right) = \frac{R}{2MGb^2} + \frac{1}{2MGR} \left(1 - \frac{2MG}{R}\right) - \frac{1}{b^2}$$

3-11-08

Observador en  $r=R$ . Me construyo una base orthonormal.  $\{e_{\hat{\alpha}}\}$  donde  $e_{\hat{0}} = U_{obs} \Rightarrow$

$$E = - \underbrace{U_{obs}}_{\text{min}} \cdot \underbrace{P_{\text{cosm}}}_{\text{min}}$$

y en general:

$$P_{\hat{i}} = \underbrace{e_{\hat{i}}}_{\text{min}} \cdot \underbrace{P_{\text{cosm}}}_{\text{min}}$$

$$U_{\text{cosm}} = U^{\hat{\alpha}} e_{\hat{\alpha}}$$

$$U^{\hat{\alpha}} = (\gamma(v), \gamma(v) \vec{v})$$

$$\gamma^{\hat{\alpha}} = \frac{U^{\hat{\alpha}}}{U^{\hat{0}}}$$

$$U = U^{\alpha}_{\text{cosm}} e_{\alpha} = U^{\hat{\alpha}}_{\text{cosm}} e_{\hat{\alpha}}$$

$$e_{\alpha} = \{ \partial_t, \partial_r, \partial_{\theta}, \partial_{\phi} \}$$

Relaciones entre las bases como es usual:

$$e_{\hat{r}} = \frac{1}{\sqrt{g_{rr}}} \Big|_R e_r, \quad e_{\hat{0}} = \underbrace{U_{obs}}_{\text{min}} \Big|_R$$

$$e_{\hat{\theta}} = \frac{1}{\sqrt{g_{\theta\theta}}} \Big|_R e_{\theta}$$

$$e_{\hat{\phi}} = \frac{1}{\sqrt{g_{\phi\phi}}} \Big|_R e_{\phi}$$

$$U^{\alpha}_{obs} = \left( \frac{1}{\sqrt{1 - \frac{2MG}{R}}}, 0, 0, 0 \right) \text{ en } \{e_{\alpha}\} \rightarrow r=R$$

$$U^{\hat{\alpha}} = U^{\alpha} \sqrt{g_{\alpha\alpha}} \Big|_R \quad U^{\hat{0}} = U^{\hat{0}} \sqrt{g_{00}} \Big|_R$$

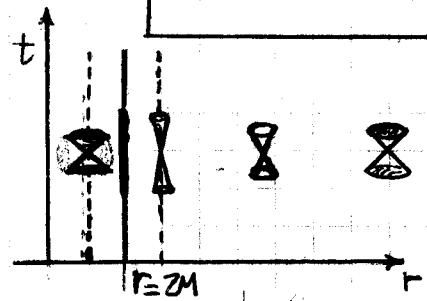
$$v^{\hat{\phi}} = \frac{\sqrt{2MG}}{\sqrt{R}} \cdot \frac{1}{\sqrt{\left(\frac{R}{b}\right)^2 + 1}}$$

Teoría

● Agujeros Negros

Seguimos con el tema de las angulaciones.

$$ds^2 = - \left(1 - \frac{2M}{r}\right) dt^2 + \frac{dr^2}{\left(1 - \frac{2M}{r}\right)}$$



Si queremos ver los conos de luz hacemos  $ds^2 = 0$

$$\Rightarrow \left(\frac{dr}{dt}\right)^2 = \left(1 - \frac{2M}{r}\right)^2$$

$$\frac{dr}{dt} = \pm \left(1 - \frac{2M}{r}\right)$$

Vemos que con  $r \rightarrow \infty$  los conos de luz tienen a los de SR (en rojo en la figura). Con un  $r$  chico las rectas tienden a una pendiente infinita. Al superar el valor  $r=2M$  se invierten los conos debido a una discontinuidad del sistema de coordenadas.

También vemos que  $r > 2M$  es siempre coordenada espacial ( $r > 2M$ ), pero cambia a temporal en ( $r < 2M$ ); cambio de signo  $g_{rr}$   $g_{tt}$ . Se invierten los roles de coordenada temporal y espacial entre 'r' y 't'.

Hacemos un cambio de coordenadas:

$$r^*: \quad dr^* = \frac{dr}{\left(1 - \frac{2M}{r}\right)}, \quad (r > 2M)$$

$$\Rightarrow r^* = \int \frac{dr}{1 - 2M/r} = r + 2M \log\left(\frac{r}{2M} - 1\right)$$



Introducimos

$$v = t + r^*$$

$$(t, r, \theta, \phi) \rightarrow (v, r, \theta, \phi)$$

Escriba la métrica en estas nuevas coordenadas

$$dt = dv - dr^*$$

$$dt = dv - dr \left( \frac{1-2M}{r} \right)$$

Haciendo este cálculo se tiene:

$$ds^2 = - \left( \frac{1-2M}{r} \right) dv^2 + 2dvdr + r^2 d\Omega_2 \quad [1]$$

que son las coordenadas de Eddington-Finkelstein [avanzadas]

Calculando los conos de luz para

$$\left( \frac{1-2M}{r} \right) dv^2 = 2dvdr$$

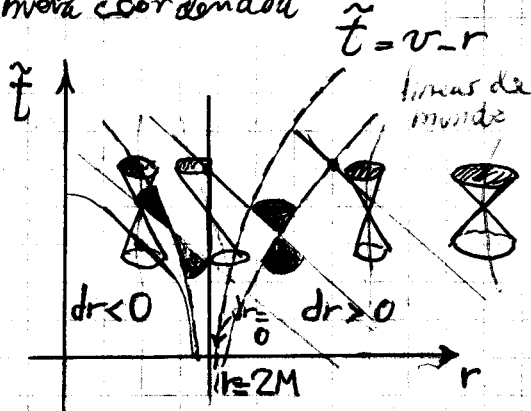
$$1) dv = 0 \quad 2) \left( \frac{1-2M}{r} \right) dv = 2dr$$

Desde aquí surgen las soluciones

$$v = cte$$

$$v = cte + 2r^*$$

Representamos en función de una nueva coordenada



1) Si  $v = cte$  se tiene  $\tilde{t} = v_0 - r$  (rectas a 45°)

$$2) dv = \frac{2dr}{\left( \frac{1-2M}{r} \right)} = dt + dr$$

$$\Rightarrow dt = dr \frac{\left( \frac{1+2M}{r} \right)}{\left( \frac{1-2M}{r} \right)}$$

Con  $r$  muy grande tenga los conos de SR, En  $r=2M$  se hace nulo el  $dr$  y la recta del cono de luz se hace vertical

Ahora queremos ver que depende a las trayectorias de las partículas. En  $r=2M$  no puedo volver hacia afuera (salir del cono de luz). Vista simultánea

Ahora entonces la transición es continua. Extendemos la métrica de Schwarzschild:

$$r > 2M \quad -\infty \leq t \leq +\infty \quad \theta, \phi \rightarrow \begin{matrix} v, r, \theta, \phi \\ 0 < r < \infty \\ \text{EXTENSIÓN} \end{matrix}$$

ahora no tiene problemas en  $r=2M$ .

Si un tensor es cero en un sistema, lo es en todos los sistemas.  $r=2M$  es una superficie nula y no tiene eje gida.

La superficie  $r=cte$ . pasa a cambiar de carácter

$$r = cte \begin{cases} \text{tipo tiempo} & r > 2M \\ \text{tipo espacio} & r < 2M \end{cases}$$

Asimismo se corresponden:

$$r = 2M \quad \text{con} \quad t = +\infty$$

esto se ve desde:

$$v = t + r^*$$

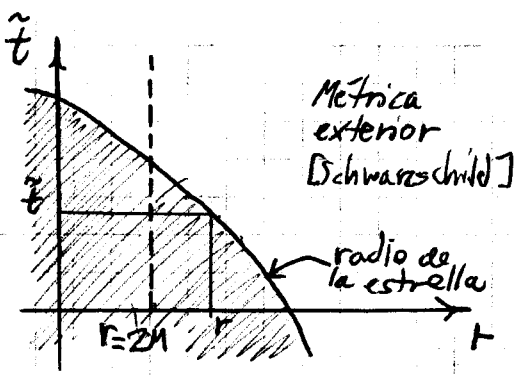
$$v = t + r + 2M \log \left( \frac{r}{2M} - 1 \right)$$

pues  $v < \infty$  pero  $t \rightarrow \infty$ .

La superficie  $r=2M$  separa las regiones de NO RETURN. Son dos regiones del espacio cualitativamente diferentes. Se llama HORIZONTE DE SUCESOS (el punto de no return)

Esto recibe el nombre de AGUJERO NEGRO. Sin embargo lejos de  $r=2M$  la métrica es indistinguible de la de un objeto NO COLAPSADO. Nos lleva a pensar en que algo lejos del agujero negro no necesariamente una absorberá

Podemos hacer un diagrama del radio del objeto que va colapsando. En algún momento la superficie cruza  $r=2M$  y es un BH: la singularidad queda a la vista.



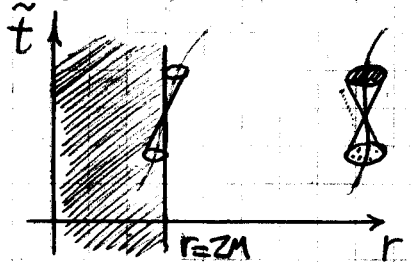
Ahora veamos las coordenadas de Eddington-Finkelstein retardadas. Ahora presentamos introducir

$$u = t - r^*$$

$$(t, r, \theta, \phi) \rightarrow (u, r, \theta, \phi)$$

$$ds^2 = -\left(1 - \frac{2M}{r}\right) du^2 - 2 du dr + r^2 d\Omega^2$$

es una inversión temporal de la anterior. Esto tiene intenciones matemáticas y se podría corresponder a un agujero blanco



• La extensión de Kruskal

$$ds^2 = -\left(1 - \frac{2M}{r}\right) dt^2 + \frac{dr^2}{\left(1 - \frac{2M}{r}\right)} + r^2 d\Omega^2$$

$$= \left(1 - \frac{2M}{r}\right) \left[ dt^2 + dr^{*2} \right] + r^2 d\Omega^2$$

$$= -du dv + r^2 d\Omega^2$$

Ahora si hacemos el cambio:

$$(t, r, \theta, \phi) \rightarrow (u, v, \theta, \phi)$$

$$u = t - r^*$$

$$v = t + r^*$$

$$ds^2 = -\left(1 - \frac{2M}{r}\right) du dv + r^2 d\Omega^2$$

$$r = r(u, v) \quad r_x = \frac{v-u}{2} = r + 2M \log\left(\frac{r}{2M} - 1\right)$$

$$\frac{v-u}{4M} = \frac{r}{2M} + \log\left(\frac{r}{2M} - 1\right)$$

$$e^{\frac{v-u}{4M}} = e^{\frac{r}{2M}} \left(\frac{r}{2M} - 1\right)$$

$$ds^2 = -\frac{2M}{r} e^{-\frac{r}{2M}} e^{\frac{v-u}{4M}} du dv$$

donde por un momento considero que  $d\Omega^2 = 0$  y hacemos otro cambio de variables

$$\begin{cases} U = -e^{-u/4M} \\ V = +e^{v/4M} \end{cases} \Rightarrow$$

$$dU = \frac{1}{4M} e^{-u/4M} du$$

$$dV = \frac{1}{4M} e^{v/4M} dv$$

luego de este paso la métrica resultará ser:

$$ds^2 = -\frac{32M^3}{r} e^{-\frac{r}{2M}} dU dV$$

y se ve que no hay problema en  $r = 2M$  aunque  $r = r(U, V)$ .

Debemos notar que  $U < 0$  y  $V > 0$ , pero necesito ahora EXTENDER esta nueva métrica a todos posibles valores de  $U, V$  compatibles con  $r > 0$ .

Un últimísimo cambio de variables haría:

$$\begin{cases} X = \frac{V-U}{2} \\ T = \frac{V+U}{2} \end{cases}$$

$$dU dV = dT^2 - dX^2$$

$$ds^2 = \frac{32M^3}{r} e^{-r/2M} [-dT^2 + dX^2] + r^2 d\Omega^2$$

y tenemos la métrica de Schwarzschild en las coordenadas de Kruskal. Se cumple que  $X, T$  son tales que  $r > 0$ .

La relación final entre coordenadas son:

$$\frac{r-2M}{2M} e^{\frac{r}{2M}} = X^2 - T^2$$

$$\frac{t}{2M} = \ln\left(\frac{T+X}{-T+X}\right) = 2 \operatorname{atanh}\left(\frac{T}{X}\right)$$

Vemos que con  $r=0$

$$X^2 - T^2 = -1$$

con  $r > 0$

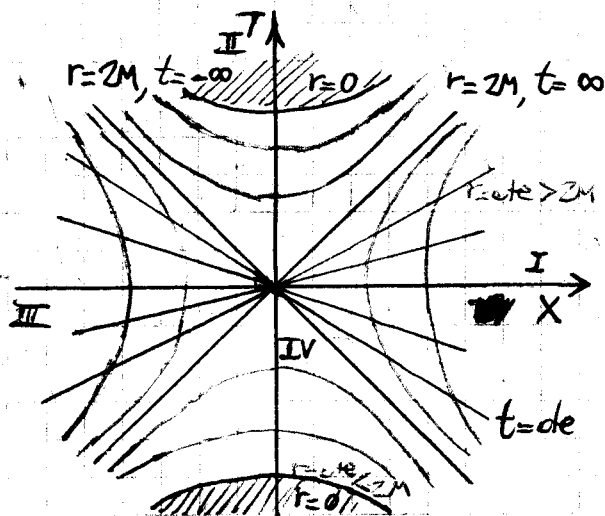
$$X^2 - T^2 > -1$$

Asimismo con  $r = \text{cte}$  se tienen:

$$X^2 - T^2 = \text{cte} \begin{cases} > 0 & r > 2M \\ < 0 & r < 2M \end{cases}$$

y las líneas con  $t = \text{cte}$  resultan:

$$\frac{T}{X} = \text{cte}$$

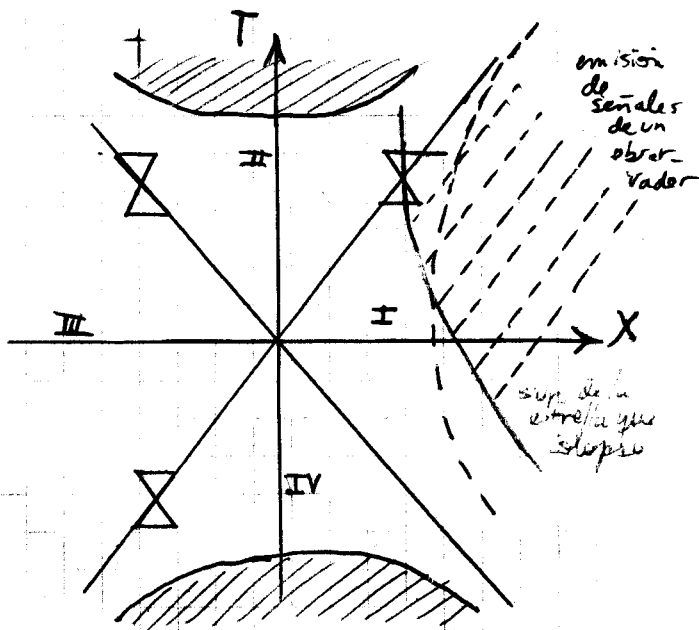


Las líneas  $t = \text{cte}$  tienen sentido en los cuadrantes I y III donde vale que  $T < X$  para que  $\operatorname{atanh}$  tenga sentido.

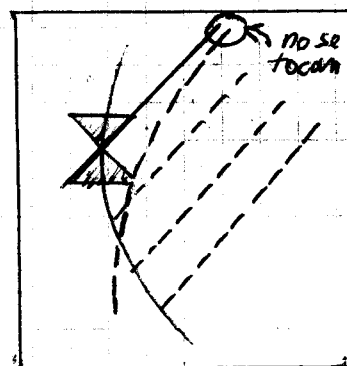
Para ver los conos de luz, consideramos

$$\theta = \phi = \text{cte}$$

$$ds^2 = \frac{32M^2}{r} e^{-\frac{r}{2M}} (-dT^2 + dX^2)$$

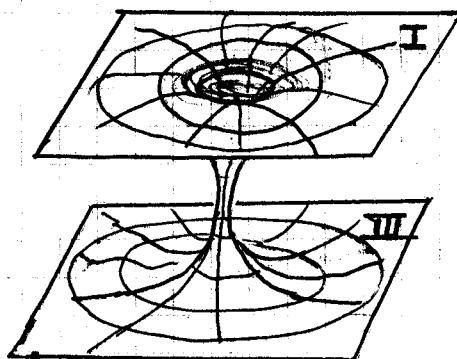


Vemos que el haz de luz que sale del observador que está en el EH no llega (a partir de que llega al horizonte de sucesos) al observador en  $r = \text{cte}$  (línea ---).



Tratemos de ver en un diagrama inmerso qué es lo que todo esto significa.

Considerando  $T=0$  surge el famoso GARGANTA de SCHWARZCHILD, pasando al del wormhole. Las líneas de luz no atraviesan (no hay conexión causal)



### Práctica

#### Problema 3 [Comentario]

Habría quedado pendiente justificar la necesidad del observador de estar en un SSI. Alk el observador construye una base ortormal:

$$\{e_{\hat{\alpha}}\} \text{ en } P : e_{\hat{\alpha}} \cdot e_{\hat{\beta}} = \eta_{\hat{\alpha}\hat{\beta}}$$

$$e_{\hat{0}} = U_{\text{obs}}$$

Dada una base, se tenía:

$$ds^2 = (dx^\alpha e_\alpha) \cdot (dx^\beta e_\beta)$$

$$= dx^\alpha dx^\beta e_\alpha \cdot e_\beta$$

$$ds^2 = dx^\alpha dx^\beta g_{\alpha\beta}, \text{ pero tamb.}$$

$$ds^2 = dx^{\hat{\alpha}} dx^{\hat{\beta}} g_{\hat{\alpha}\hat{\beta}} \rightarrow \eta_{\hat{\alpha}\hat{\beta}}$$

No fue requisito pararse en un SLI, sino solo elegir una base ortonormal; pero  $dx^{\hat{0}}$  tiene el sentido físico de ser el intervalo de tiempo propio medido por el observador.

$$ds^2 \Big|_{dx^i=0} = -(dx^{\hat{0}})^2 = -d\tau_{\text{obs}}^2$$

en este caso:

$$\frac{dx^{\hat{0}}}{dx^0} = v^{\hat{0}} = \frac{dx^{\hat{0}}/d\tau}{dx^0/d\tau}$$

, es la velocidad medida por el observador, aunque NO ES UN VECTOR.

$$v^{\hat{0}} = \frac{U^{\hat{0}}}{U^0}$$

$$ds^2 = -(dx^0)^2 \left[ 1 - \sum_i \left( \frac{dx^{\hat{i}}}{dx^0} \right)^2 \right]$$

$$ds^2 = -(dx^0)^2 [1 - |\vec{v}|^2]$$

, en el caso del problema del cometa se tiene que:

$$-d\tau_{\text{com}}^2 = -(dx^0)^2 [1 - |\vec{v}_{\text{com}}|^2]$$

$$\Rightarrow U^{\hat{\alpha}} = \left( \gamma(v_{\text{com}}), \gamma(v_{\text{com}}) \vec{v} \right)$$

● Problema 10 (BH rotante)  
con los datos  $\theta = \pi/2$

$$ds^2 = -\left(1 - \frac{2M}{r}\right) dt^2 - \frac{4aM}{r} dt d\phi$$

$$+ \frac{r^2}{\Delta} dr^2 + (r^2 + a^2 + \frac{2Ma^2}{r}) d\phi^2$$

Esto constituye la solución de Kerr (1963), y las coordenadas son las de Boyer-Lindquist.

$$\Delta = r^2 + a^2 - 2Mr$$

$$a = J/M$$

donde J es el momento angular del BH. Con  $a=0$  es la métrica de Schwarzschild. Para  $M=0$  deberíamos recuperar la métrica de Minkowsky. Esta es la solución del exterior de un agujero esférico con simetría axial (no esférica). La métrica es independiente de  $\phi, t$ .

$$\xi = \partial_t \quad \eta = \partial_\phi$$

Dado el término cruzado  $dt d\phi$  no tiene simetría de inversión temporal. La inversión temporal induce un cambio de signo en  $a \rightarrow$  BH rotando en el otro sentido.

Veremos que no hay caída radial del BH; no hay solución de geodésica radial.

$$-e = \xi \cdot U = -g_{t\mu} \frac{dx^\mu}{d\lambda}$$

con  $\lambda$  parámetro afín de la geodésica

$$-e = -\left(1 - \frac{2M}{r}\right) \frac{dt}{d\lambda} - \frac{2Ma}{r} \frac{d\phi}{d\lambda} \quad [1]$$

y vemos que para  $r \rightarrow \infty$  es  $-e = \frac{dt}{d\lambda}$

$$l = \eta \cdot U = \frac{2Ma}{r} \frac{dt}{d\lambda} + \left(r^2 + a^2 + \frac{2Ma^2}{r}\right) \frac{d\phi}{d\lambda} \quad [2]$$

$$U \cdot U = \begin{cases} -1 \\ 0 \\ 1 \end{cases} \quad [3]$$

Puedo igualar  $\frac{dt}{d\lambda} =$  desde [2] desde [1]

para despejar  $\frac{d\varphi}{d\lambda}$

$$\frac{d\varphi}{d\lambda} = \frac{1}{\Delta} \left[ \left(1 - \frac{2M}{r}\right) l + \frac{2Ma e}{r} \right] \quad [i]$$

no hay vector tangente solo radial. A medida que  $\varphi$  cambia la posición angular.  
 Poniendo [i] con [2] se obtiene:

$$\frac{d\varphi}{d\lambda} = \frac{1}{\Delta} \left[ \left( r^2 + a^2 + \frac{2Ma^2}{r} \right) e - \frac{2Ma l}{r} \right]$$

Usamos ahora [3] con el (-1), ya sea  $t$  o  $\tau$  temporal.

$$1 = - \left(1 - \frac{2M}{r}\right) \frac{1}{\Delta^2} \left[ \left( r^2 + a^2 + \frac{2Ma^2}{r} \right) e - \frac{2Ma l}{r} \right]^2 - \frac{4aM}{\Delta^2 r}$$

$$\left[ \left( r^2 + a^2 + \frac{2Ma^2}{r} \right) e - \frac{2Ma l}{r} \right]^2 + \frac{r^2}{\Delta} \left( \frac{dr}{d\lambda} \right)^2 + \left( r^2 + a^2 + \frac{2Ma^2}{r} \right) \frac{1}{\Delta^2} \left[ \left(1 - \frac{2M}{r}\right) l + \frac{2Ma e}{r} \right]^2 \quad [iii]$$

con  $r \rightarrow \infty$

$$e^2 - 1 = \left( \frac{dr}{d\lambda} \right)^2 \geq 0 \Rightarrow$$

$$e^2 \geq 1 \Rightarrow e \neq 0$$

cuando lo ponemos como,

$$e=1 \quad (z=\lambda) \Rightarrow \frac{d\tau}{d\lambda} \Big|_{r \rightarrow \infty} = 0$$

$$e=0 \rightarrow \frac{d\varphi}{d\lambda} \rightarrow 0 \quad r \rightarrow \infty$$

0 tenemos entonces; de [iii]

$$\frac{1}{2} \left( \frac{dr}{d\lambda} \right)^2 + V_{\text{eff}}(r, e=1, l=0) = 0$$

$$V_{\text{eff}} = -\frac{M}{r} - \frac{Ma^2}{r^3}$$

$$\frac{d\varphi}{d\lambda} \Big|_{\substack{e=1 \\ l=0}} = \frac{2Ma}{r\Delta}$$

que sale de meter  $e=1, l=0$  en [i]

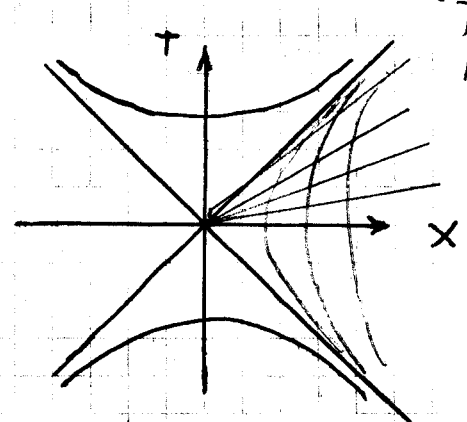
$$\frac{d\varphi}{dr} = \frac{-2Ma}{r\Delta \sqrt{2M \left(1 + \frac{a^2}{r^2}\right)}}$$

TIP:  $\blacktriangle$  problema de parcial

**Teoría**

Resumen coordenadas Kruskal [de la clase anterior]

5-11-08



Teniamos la figura. Habíamos pasado elementos de línea

$$ds^2 = - \left(1 - \frac{2M}{r}\right) dt^2 + \frac{dr^2}{\left(1 - \frac{2M}{r}\right)} + r^2 d\Omega^2$$

$$ds^2 = \frac{32M^3}{r} e^{-r/2M} \left[ -dT^2 + dX^2 \right] + r^2 d\Omega^2$$

En el diagrama las curvas son rectas a 45° y sale la estructura causal. La relación entre coordenadas

$$[1] \quad \frac{t}{4M} = a \tanh \left( \frac{I}{X} \right) = \ln \left( \frac{T+X}{X-T} \right)$$

$$[2] \quad \left( \frac{r}{2M} - 1 \right) e^{r/2M} = X^2 - T^2 \equiv \alpha^2$$

Siempre pedimos de  $r > 2M$ . Usamos  $r^*$  con un logaritmo dentro. Comenzamos entonces, suponiendo  $r > 2M \Rightarrow$

$$1 = \left( \frac{X}{\alpha} \right)^2 - \left( \frac{T}{\alpha} \right)^2$$

luego:

$$\frac{X}{\alpha} = \cosh \beta$$

$$\frac{T}{\alpha} = \sinh \beta$$

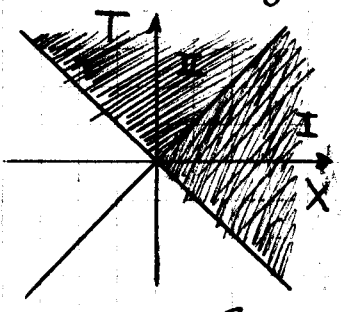
$$\frac{I}{X} = \tanh(\beta) \rightarrow \beta = \frac{t}{4M}$$

$$X = \left(\frac{r}{2M} - 1\right)^{1/2} e^{\frac{r}{4M}} \cosh\left(\frac{t}{4M}\right)$$

$$T = \left(\frac{r}{2M} - 1\right)^{1/2} e^{\frac{r}{4M}} \sinh\left(\frac{t}{4M}\right)$$

Entonces con:  $2M \leq r < \infty$   
 $-\infty < t < \infty$

se mapea la región  $\blacksquare$ . Pero supon-  
 gamos que enten-  
 demos las  
 ecuaciones (I) (II)  
 a la región



$$0 \leq r \leq 2M$$

Entonces:

$$\left(\frac{X}{\alpha}\right)^2 - \left(\frac{T}{\alpha}\right)^2 = -1$$

se alternan quienes son el cosh y  
 el sinh. Luego

$$X = \left(1 - \frac{r}{2M}\right)^{1/2} e^{\frac{r}{4M}} \sinh\left(\frac{t}{4M}\right)$$

$$T = \left(1 - \frac{r}{2M}\right)^{1/2} e^{\frac{r}{4M}} \cosh\left(\frac{t}{4M}\right)$$

Entonces con:  $0 \leq r \leq 2M$   
 $-\infty < t < \infty$

se mapea la región  $\blacksquare$ .  
 En (I) las líneas  $T = \text{cte}$  son espa-  
 ciales y las de  $X = \text{cte}$  son líneas  
 de mundo. En (II) se invierte este  
 carácter.

Por supuesto NO SE PUEDEN abarcar  
los cuadrantes a la vez por la re-  
 lación  $r$  y  $2M$ .

Esta solución geométrica es ca-  
 si puramente matemática por-  
 que comienza y termina en  
 una singularidad y tiene dos  
 regiones disconexas que son  
 asintóticamente planas.

● Agujeros Negros (más generales)  
 Le ponemos un parámetro como  
 el agujero negro. La métrica de  
 Reissner - Nordström

Tenemos dos horizontes de  
 sucesos

$$ds^2 = -B dt^2 + A dr^2 + r^2 d\Omega^2$$

$$B = A^{-1} = \left(1 - \frac{2M}{r} + \frac{Q}{r^2}\right)$$

cuyos parámetros son  $M, Q$

También podemos analizar el  
 BH de Kerr, de parámetros  $M, J$   
 (un agujero sin simetría esférica)

Hay otra solución BTZ para un  
 espacio con 2+1 dimensiones y cons-  
 tante cosmológica ( $\Lambda \neq 0$ ).

● Agujeros Negros Astrofísicos  
 En forma típica dividimos en

BH en sistemas binarios

BH en centros de galaxias

Se sabe hoy que 2/3 de las estrellas es-  
 tán en sistemas binarios. Se pueden  
 inferir los parámetros de la órbita  
 de la estrella (en general no se ve  
 la compañera por muchos casos;  
 pero se sospecha presencia de BH  
 si el sistema emite fuertemente  
 rayos X (la masa que "cae" al  
 BH). A través de la órbita vemos  
 que si la masa del objeto no vi-  
 sible si la masa es mayor a  
 $3M_{\odot}$  y no emite radiación vi-  
 sible debe ser un BH.

Estudios evidencian que en los  
 centros galácticos se generan BH  
 del orden de  $3 \cdot 10^6 M_{\odot}$  (mens-  
 truosos)

● Cosmología

Implica el estudio del Universo a  
 gran escala. Desearíamos hacer un  
 mini programa

# 1 Introducción

[Escala y fenómenos más relevantes]

## 2 Métricas de Robertson-Walker (isótropas y homogéneas)

Para ver aspectos cinemáticos y dinámicos

Comenzamos con una introducción a los tamaños y escalas:

- estrella más cercana 1.33 pc
- centro de la galaxia 10 Kpc
- cúmulos de galaxias (tam) 1 Mpc
- supercúmulos (tam.) 100 Mpc
- Universo visible (tam) 14 Gpc

A escalas mayores a los supercúmulos vemos que el Universo es isótropo y homogéneo. Para:

$$d \geq 100 \text{ Mpc}$$

Universo  $\rightarrow$  homogéneo e isótropo

En 1929 Hubble confirmó que las galaxias se alejan proporcionalmente a su distancia

$$v = H d$$

donde  $H \equiv$  constante de Hubble y  $v$  es la velocidad de recesión. Hasta no hace mucho (15 años)

$$H = h \cdot 100 \frac{\text{km/seg}}{\text{Mpc}}$$

con  $0.4 < h < 1$ . Hoy en día se usa

$$H = 72 \frac{\text{km/seg}}{\text{Mpc}}$$

con las estimaciones actuales sabemos que

$$\rho_{\text{posible}} \sim 10^{-30} \text{ g/cm}^3 \approx \frac{1 \text{ protón}}{\text{m}^3}$$

Pero si aceptamos la expansión del universo para explicarla se tendría:

$$\rho_{\text{total}} \gg \rho_{\text{visible}}$$

es decir la densidad necesaria para producir la expansión que vemos es mucho mayor a la materia que vemos. Parte de esta densidad puede venir de la constante cosmológica.

La CMB corresponde a un cuerpo negro de 3°K

$$T = 2,72 \pm 0,001 \text{ } ^\circ\text{K}$$

Asimismo la densidad de la radiación

$$\rho_{\text{rad}} = 10^{-3} \rho_{\text{visible}}$$

En diferentes direcciones las variaciones de  $T$  son casi despreciables. Nos quedaremos entonces con la

homogeneidad + isotropía

- Métricas de Robertson-Walker
- Arrancamos intuitivamente con el concepto isótropo y homogéneo. Isotropía quiere decir que todas las direcciones son equivalentes y esto lleva a



simetría esférica.

Homogeneidad implica la equivalencia de todos los puntos

Schwarzschild cumple isotropía pero no homogeneidad; si es simétrica esf.,

$$ds^2 = A(r) dr^2 + r^2 d\Omega^2$$

Una <sup>cantidad</sup> evaluada en diferentes puntos debe dar el mismo resultado. Por ejemplo, si evaluamos

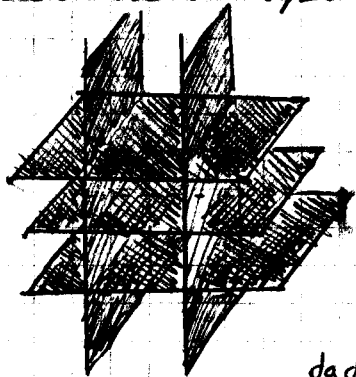
$${}^{(3)}R = \text{cte.}$$

el escalar de curvatura es constante. Si esto es así, casi queda fijado el  $A(r)$ .

Definimos un espacio-tiempo isótropo y homogéneo; en detalle

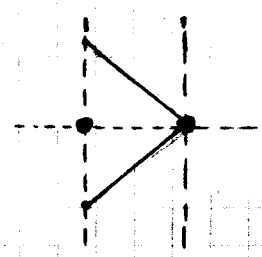
et  $\rightarrow$  ESPACIALMENTE isótropo y homogéneo

no hay isotropía en el tiempo.  
 Puedo definir un et de esta índole si  $\exists$  una familia de 3 superficies espaciales que cubren el espacio tiempo (una foliación) y son isotropas y homogéneas.  
 Existen además una familia de curvas de tipo tiempo tales que las 3 superficies de simultaneidad son isotropas y homogéneas.

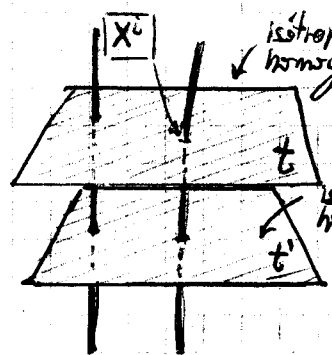


que las 3 superficies de simultaneidad son isotropas y homogéneas.

Donde la simultaneidad la definimos como en la figura de abajo (esto hace tiempos).



Entonces la idea es que el et se puede "foliar" en superficies 3D espaciales y que existen curvas temporales. Elegimos ahora un sistema de coordenadas comóviles.



Con estas coordenadas la métrica puede escribirse como si que:

$$ds^2 = -g_{00} dt^2 + g_{0i} dt dx^i + g_{ij} dx^i dx^j$$

pero si  $t=cte$  es una superficie de simultaneidad, entonces:

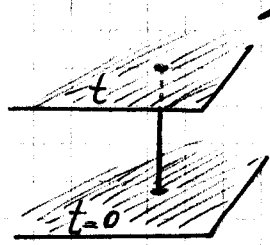
$$g_{0i} = 0$$

Lo podemos ver como  $U \perp$  superficie  $\Rightarrow g_{0i} = 0$

NB  
 Estamos buscando que en cada plano a un dado  $t$  sea el universo isotropo y homogéneo a cada  $t$ . Esto define un conjunto de observadores. Pero no cualquier sup. es isotropo y homogéneo. Sinó aquella que se halla a  $t$  constante.

$$U \cdot V = U^0 V^0 g_{00} = 0$$

para cualquier vector  $V$  de la superficie. Podemos elegir que  $t$  sea el tiempo propio transcurrido por un observador, luego:



$$g_{00} = 1$$

$$ds^2 = -dt^2 + g_{ij}(t, \vec{r}) dx^i dx^j$$

entonces:

$$ds^2 = -dt^2 + a^2(t) [A(t) dr^2 + r^2 d\Omega^2]$$

hemos podido elegir coordenadas para que sea. Podríamos ver que  $R = cte$  implica  $A(t) = \frac{1}{1 - Kr^2}$

con  $K = 0 + 1 - 1$ . Geométricamente vemos que  $K=0$  es la métrica de R-W plana y es una métrica de  $R^3$  con un factor que hace modificar la misma con el avance del tiempo.

Si  $K=1$  es la métrica de RW cerrada y podemos hacer un cambio de variables

$$dp = \frac{dr}{\sqrt{1 - r^2}} \Rightarrow$$

$$p = \arcsen(t)$$

$$ds^2 = -dt^2 + a^2(t) [dp^2 + \text{sen}^2 p \cdot d\Omega^2]$$

Si  $K=-1$  es la métrica de RW abierta y con el cambio de variables es

$$dp = \frac{dr}{\sqrt{1 + r^2}} \Rightarrow$$

$$p = \text{arsen}h(r)$$

$$ds^2 = -dt^2 + a^2(t) [dp^2 + \text{sen}h^2(p) d\Omega^2]$$

es una hipérbola en un espacio de



Minkowski de 4D

Práctica

Problema 7

Emisión de ondas de radio a la vez que se cae en el BH con un efecto rojo  $e^{-t/d}$

$$\omega_e \gg \omega_{obs} \text{ en } r_{RECEP} \rightarrow \infty$$

$$r_e \sim 2MG$$

$$t_{obs} \sim t \text{ con } r_{RECEP} \rightarrow \infty \text{ (Métrica Mink.)}$$

$$\omega_e = \frac{2\pi}{\Delta t_{em}} \text{ tiempo propio del emisor}$$

$$\omega_r = \frac{2\pi}{\Delta t_{r}} \text{ tiempo propio del observador (recepcción)}$$

Cerca del valor  $r=2MG$  conviene cambiar de coordenadas

$$t \rightarrow v = t + r + 2MG \ln \left| \frac{r}{2MG} - 1 \right|$$

$$ds^2 = 0$$

esto corresponde a geodésicas radiales

$$ds^2 = -\left(1 - \frac{2MG}{r}\right) dt^2 + 2 dt dr + r^2 d\Omega^2$$

$$ds^2 \Big|_{d\Omega^2=0} = 0 \Rightarrow$$

$$-\left(1 - \frac{2MG}{r}\right) dt^2 + 2 dt dr = 0$$

de aquí extraemos dos resultados

$$v(r) = 2r + 4MG \ln \left| \frac{r-2MG}{2MG} \right|$$

+cte.

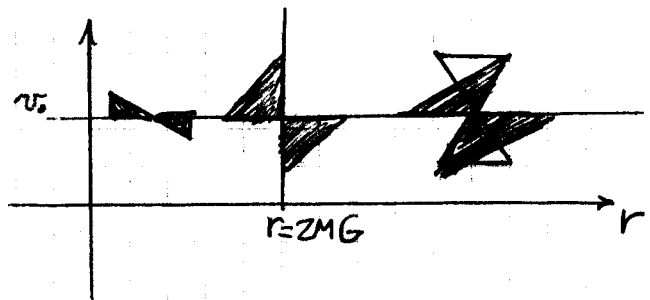
es una geodésica saliente (r crece)

$$v(r) = cte$$

es una geodésica entrante (r decrece)

Nos quedamos con la saliente porque nos interesa el envío de las señales hacia el exterior.

La evolución en "r" de los conos



Los eventos relevantes son

EMISIÓN	señal #1	$(v_1, r_1)$
RECEP.	#1	$(v_{R1}, r_{R1})$
EMISIÓN	#2	$(v_2, r_2)$
RECEP.	#2	$(v_{R2}, r_{R2})$

pero  $r_{R1} = r_{R2} \rightarrow \infty$  (se recibe muy lejos).

$$v(r) = 2r + 4MG \ln \left| \frac{r}{2MG} - 1 \right| + A \leftarrow \text{cte.}$$

$$v(r_{R1}) = 2r_{R1} + 4MG \ln \left| \frac{r_{R1}}{2MG} - 1 \right| + A$$

como  $r_i \approx 2MG \rightarrow$

$$v(r_i) \approx 4MG \ln \left| \frac{r_i}{2MG} - 1 \right| + A$$

$$v(r_i) \approx 2r_i + A \text{ uso que } r_{R1} \gg \ln \left| \frac{r_{R1}}{2MG} - 1 \right|$$

luego

$$A \approx v_{R1}(r_{R1}) - 2r_{R1}$$

$$A \approx 4MG \ln \left| \frac{r_i}{2MG} - 1 \right| + v_i(r_i) - 2r_{R1}$$

$$\text{pero } v = t + r + \ln \left| \frac{r}{2MG} - 1 \right|$$

$$v \approx t + r \text{ (} r \rightarrow \infty \text{)}$$

entonces

$$v \approx t + r \Rightarrow$$

$$A \approx t_{R1} - r_{R1}$$

$$\ln \left| \frac{r_i}{2MG} - 1 \right| \approx \frac{-1}{4MG} [t_{R1} - r_{R1} - v_i(r_i)]$$

con  $r_i > 2MG$

$$\frac{r_i}{2MG} - 1 \approx \exp \left\{ \frac{-(t_{R1} - r_{R1} - v_i(r_i))}{4MG} \right\}$$

similarmente:

$$\frac{r_2}{2MG} - 1 \approx \exp\left\{ \frac{-(tr_2 - r_{R_2} - v_2(r_2))}{4MG} \right\}$$

$$r_2 = r_1 + \Delta r_e$$

$$\frac{\Delta r_e}{2MG} \approx e^{-\frac{[tr_1 - r_{R_1} - v_1(r_1)]}{4MG}} \cdot \underbrace{\left( \frac{1 - e^{-\frac{-(\Delta tr - \Delta v_e)}{4MG}}}{1 - e^{-\frac{-(\Delta tr - \Delta v_e)}{4MG}}} \right)}_{\approx \frac{\Delta tr - \Delta v_e}{4MG}}$$

$$tr_2 = tr_1 + \Delta tr$$

$$\Delta v_e = v_2(r_2) - v_1(r_1)$$

$$\Delta v_e = \Delta r_e \left( \frac{-1}{2e^2} \right)$$

$$e^z \Leftrightarrow dr_e = e = -\frac{\xi}{\dot{t}} \cdot U_{em}$$

$$\xi = \partial t$$

[1]  $\Delta v_e \approx \Delta r_e \left( -\frac{1}{2e^2} \right)$

[2]  $\Delta r_e \approx \frac{dr}{dz} \Big|_{r_e} \Delta z_e = e^z \Delta z_e$

$$\frac{\Delta r_e}{2MG} \approx \frac{\Delta z_e}{2MG} e^z \propto \frac{e^{-tr/4MG}}{4MG} \Delta tr$$

Hemos considerado  $k \approx 2MG$ .  
Invertiendo la relación anterior

$$\omega_e \propto e^{tr/4MG} \cdot \omega_{obs}$$

$$e^{-\frac{tr}{4MG}} \cdot \omega_e \propto \omega_{obs} \rightarrow \omega_{obs} \ll \omega_e$$

De acá podemos despejar la  $M$  con el valor de  $\alpha$  que sale de la ecuación.

$\alpha = 4MG$

Considerando la trayectoria del teufor

$$-e = \xi \cdot U$$

$$\xi = \partial t = \partial r$$

esto últimos hay que probarlo.

$$-e = \xi \cdot U = g_{\mu\nu} U^\mu = -\left(1 - \frac{2MG}{r}\right) \frac{dr}{dt} + \frac{dr}{dz}$$

con

$$U = \frac{dx^{\mu}}{d\tau} \cdot e_{\mu}$$

[3]  $\frac{dr}{dz} = \frac{e}{\left(1 - \frac{2MG}{r}\right)} + \frac{dr}{dz} \left(1 - \frac{2MG}{r}\right)$

$$e = \dot{r} \cdot U$$

$$U \cdot U = -1 = \frac{[(\frac{dr}{dz})^2 - e^2]}{\left(1 - \frac{2MG}{r}\right)}$$

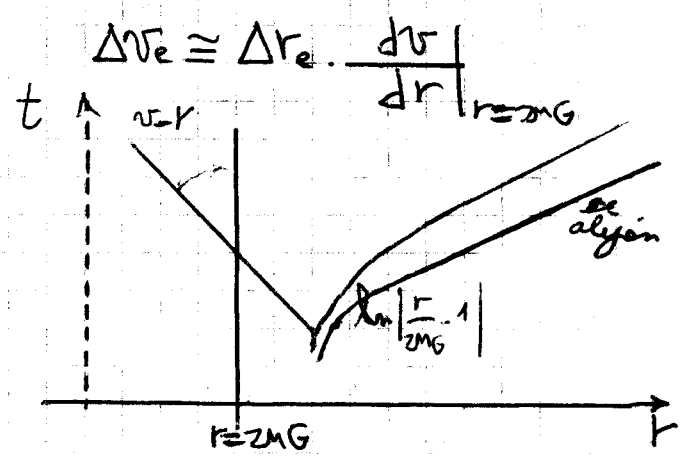
$$\Rightarrow \frac{dr}{dz} = \pm \sqrt{e^2 - 1 + 2MG/r}$$

$$\frac{dr}{dz} \Big|_{r \approx 2MG} = -e \Rightarrow \text{en [3]}$$

$$\frac{dr}{dz} = \frac{dr}{dr} \cdot \frac{dr}{dz}$$

$$= \frac{-r}{\sqrt{r(e^2 - 1) + 2MG}} + \frac{1}{(\sqrt{e^2} + \sqrt{(e^2 - 1)r + 2MG})}$$

$\Rightarrow \frac{dr}{dr} \Big|_{2MG} = -\frac{1}{2e^2}$



$$\tilde{t} = t + 2MG \ln \left| \frac{r}{2MG} - 1 \right|$$

esto es un cambio de coordenada.

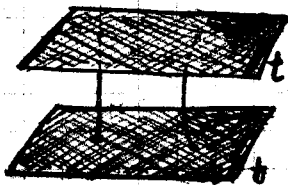
$$\Delta \tilde{t} \approx \Delta t$$

$R_R$  cte.

### Teoría

#### Continuación

Venimos hablando sobre superficies isotropas y homogéneas a  $t$  constante. La isotropía y homogeneidad dependen del observador.



La dif. de tiempo propio entre una hiper-superficie y la otra será la coordenada temporal. Lleva a la métrica:

$$ds^2 = -dt^2 + a^2(t) \left[ \frac{dr^2}{1-kr^2} + r^2 d\Omega^2 \right]$$

y la función  $a(t)$  es factor de escala. Queremos ver cuáles son los observadores para los cuales las superficies son hom. e isotropas. Estos observadores serán las galaxias (suposición física). Si el vector tangente de la línea de mundo de una galaxia no fuera  $\perp$  a la superficie señalaría una dirección privilegiada sobre la superficie.



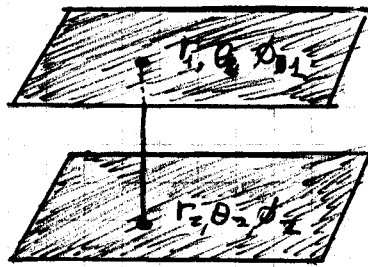
una dirección privilegiada sobre la superficie.

Esto es una aproximación que vale muy bien en una escala muy grande, pero a nivel más pequeño (grupos de galaxias) veremos componentes  $\parallel$  a la superficie (velocidad peculiar).

Supondremos que la materia que llena el universo la describiremos con:

$$T^{\mu\nu} = [\rho(t) + p(t)] U^\mu U^\nu + p(t) g^{\mu\nu}$$

con  $U^\mu = (1, 0, 0, 0)$ . Los observadores privilegiados serán aquellos que están fijos a la materia.



Si bien las coordenadas son fijas, como la métrica depende del tiempo, la distancia entre ellas cambiará con el tiempo.

10-11-08

Estas trayectorias serán geodésicas, porque suponemos que a estas escalas lo único relevante es la gravedad.

$$\Gamma^\mu = \frac{dx^\mu}{d\tau} = (1, 0, 0, 0)$$

$$\frac{dU^\mu}{d\tau} + \Gamma^\mu_{\nu\rho} U^\nu U^\rho = 0 \Rightarrow$$

$$\Gamma^\mu_{00} = 0$$

$$\Gamma^\mu_{00} \propto g^{\mu 00} (g_{00,0} + g_{00,0} - g_{00,0})$$

y ahí vemos que vale lo que dijimos sobre las líneas de mundo.

Ahora queremos ver cómo cambia la distancia entre galaxias (dos puntos con coordenadas sub-1 y sub-2; suponemos

$$r_1, \theta_1, \phi_1 \quad r_2, \theta_2, \phi_2$$

$$\text{con: } \theta_1 = \theta_2 \wedge \phi_1 = \phi_2 \Rightarrow$$

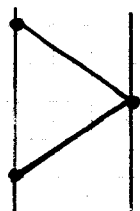
Sea que las galaxias son cercanas

$$r_2 = r_1 + dr$$

y la distancia propia,  $dl_p$ , será:

$$dl_p = a(t) \frac{dr}{\sqrt{1-kr^2}}$$

donde mediamos la distancia con el procedimiento que ilustramos según el gráfico.



Ahora suponemos que la distancia no es diferencial.

$$d_{propia} = \int_0^r dl_p =$$

$$a(t) \int_0^r \frac{dr}{\sqrt{1-kr^2}} = a(t) f(r)$$



pero ojo que esto no se puede interpretar como en el caso anterior porque cuando mandamos el rayo de luz como al  $a(t)$  cambia en el camino se me jode la interpretación.

La métrica cambia en el interín

Esta suma de las distancias que medirían distintos observadores no es equivalente a la distancia física que vale SOLO para objetos cercanos.

Si el  $a(t)$  está cambiando mucho en el tiempo la medida a objetos lejanos puede ser cualquier cosa.

$$d_{propia} = \dot{a}(t) f(r) = \frac{\dot{a}(t)}{a(t)} a(t) f(r)$$

$$d_{propia} = H(t) \cdot d_{propia}$$

la constante de Hubble ( $H(t)$ ) es por supuesto algo que no es constante.

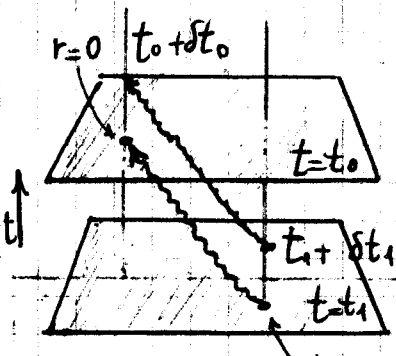
Cuando las galaxias son cercanas interpreto

$$d_{propia} = v_{RECESION}$$

la velocidad de alejamiento es oc a la distancia a la cual se aleja.

• Corrimiento al Rojo

Consideramos  $t=t_0$  el presente, y consideramos que una galaxia emite un pulso en  $t=t_1$  (tiempo pasado) que nos llega en  $t_0$  a nosotros que estamos en  $r=0$ .



la galaxia será nula y radial (del pulso).

$$dt = -a(t) \cdot \frac{dr}{\sqrt{1-kr^2}}$$

el signo "-" porque vamos en 'r' decreciente

$$\int_{t_1}^{t_0} \frac{dt}{a(t)} = \int_0^{r_1} \frac{dr}{\sqrt{1-kr^2}} = f(r_1)$$

Pero imaginemos que en  $t_1 + \delta t_1$  se emite otro pulso diferente. Entonces:

$$\int_{t_1 + \delta t_1}^{t_0 + \delta t_0} \frac{dt}{a(t)} = f(r_1) = \int_{t_1}^{t_0} \frac{dt}{a(t)}$$

porque tiene que valer el mismo argumento.

$$\int_{t_1 + \delta t_1}^{t_0 + \delta t_0} \dots - \int_{t_1}^{t_0} \dots = 0 \Rightarrow$$

si los deltas son pequeños cumple:

$$\frac{\delta t_0}{a(t_0 + \delta t_0)} = \frac{\delta t_1}{a(t_1 + \delta t_1)} \rightarrow \text{A 1er orden}$$

$$\frac{\delta t_0}{a(t_0)} = \frac{\delta t_1}{a(t_1)}$$

$$\frac{\delta t_0}{\delta t_1} = \frac{a(t_0)}{a(t_1)}$$

$$\frac{1}{\delta t_1} \text{ frec. propia de emisión } v_{em} = v_1$$

$$\frac{1}{\delta t_0} \text{ frec. propia de recepción } v_{rec} = v_0$$

luego:

$$\frac{v_1}{v_0} = \frac{a(t_0)}{a(t_1)}$$

Si  $a(t)$  crece entonces:

$$\frac{a(t_0)}{a(t_1)} > 1 \Rightarrow v_1 > v_0$$

decimos que hay corrimiento al rojo. Se lo suele expresar como el parámetro  $z$  de corrimiento al rojo:

$$\frac{v_1}{v_0} = 1 + z$$

Galaxias cercanas la cuenta da:

$$a(t_1) \approx a(t_0) + \dot{a}(t_0)[t_1 - t_0]$$

$$a(t_1) \approx a(t_0) [1 + H(t_0)(t_1 - t_0)]$$

$$\Rightarrow z \approx H(t_0)(t_0 - t_1)$$

$$z \equiv H(t_0) d_{propia} = v_R$$

Estas aproximaciones no funcionan para galaxias demasiado cercanas porque las velocidades peculiares dominan y son considerables.

● Ley de Hubble y distancia por luminosidad

Definimos:

$$l = \text{luminosidad aparente} = \frac{P}{A}$$

$$L = \text{potencia absoluta}$$

y con estos:

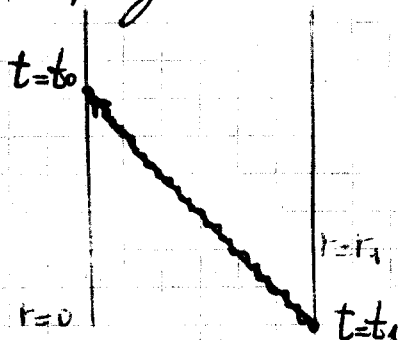
$$d_L = \left( \frac{L}{4\pi l} \right)^{1/2}$$

DISTANCIA POR LM.

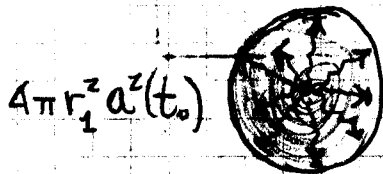
lo que equivale a la relación euclídea

$$l = L / 4\pi d_L^2$$

Supongamos entonces que



la galaxia emite luz en todas direcciones, pero tenemos el factor de escala  $a(t)$  que está dando vueltas.



$$l = \frac{L}{4\pi r_1^2 a^2(t_0)} \cdot \frac{a(t_1) a(t_0)}{a(t_0) a(t_0)}$$

surge un factor extra del corrimiento al rojo y otro del # de fotones emiti-

dos. Ahora:

$$d_L = \left( \frac{L}{4\pi l} \right)^{1/2} = r_1 a(t_0) \frac{a(t_0)}{a(t_1)}$$

$$d_L = r_1 a(t_0) (1+z)$$

Queremos escribir la ley de Hubble en términos de cantidades medibles con el telescopio. Comencemos con  $k=0$ ;

$$f(r_1) = r_1 = \int_{t_1}^{t_0} \frac{dt}{a(t)}$$

condición de geodesica nula llegando. Usaremos la aproximación

$$a(t) \approx a(t_0) [1 + H_0(t - t_0)]$$

$$H_0 \equiv H(t_0)$$

$$r_1 \approx \int_{t_1}^{t_0} \frac{dt}{a(t_0) (1 + H_0(t - t_0))}$$

$$r_1 \approx \frac{1}{a(t_0)} \left( [t_0 - t_1] + \frac{1}{2} H_0 [t_0 - t_1]^2 \right)$$

$$z = \frac{a(t_0)}{a(t_1)} - 1$$

Quiero un desarrollo cuadrático.

$$a(t_1) = a(t_0) \left[ 1 + H_0(t_1 - t_0) - \frac{1}{2} q_0 H_0^2 (t_1 - t_0)^2 + \dots \right]$$

y como es Taylor será:

$$q_0 \equiv - \frac{\ddot{a}(t_0)}{H_0^2 a(t_0)}$$

$$z = \frac{1}{[ ]} - 1 \quad (\text{2do orden será})$$

$$z \approx H_0(t_0 - t_1) + \left( 1 + \frac{q_0}{2} \right) H_0^2 (t_0 - t_1)^2 + \dots$$

pero como  $z \approx H_0(t_0 - t_1)$  al orden más bajo podemos poner:

$$t_0 - t_1 = \frac{1}{H_0} \left( z - \left[ 1 + \frac{1}{2} q_0 \right] \frac{z^2}{z} \right)$$

$$\Rightarrow d_L = r_1 a(t_0) (1+z) \Rightarrow$$

$$H_0 \cdot d_L = z - \frac{z^2}{2} (1 - q_0)$$

$q_0 \equiv$   
parámetro  
de desaceleración

entonces con ciertas mediciones de  $L, d, z$ , e hipótesis se puede fijar:  $H_0, q_0$

$$H_0 = \frac{\dot{a}(t_0)}{a(t_0)}$$

$z \leq 0,1$

Para valores chicos de  $z$  determino  $H_0$  aunque ahí es difícil ver el término cuadrático. Pero no puede ser tan chico como para que no sea aplicable la aproximación con  $z \approx 1$  ya podemos determinar el  $q_0$ .

En 1998 se estudiaron supernovas en otras galaxias y el comiento al rojo. Como las de tipo IA tienen una luminosidad constante sabemos la distancia por luminosidad. Con este método fue posible medir el  $q_0$  en base no a galaxias sino a estos "faros" de wattaje fijo.

Aquí se halló  $q_0 < 0$ , con lo cual el Universo estaría en expansión ACELERADA, y no DEACELERADA como se sabía hasta el momento.

Práctica

Diagramas Inmersos  
La extensión de Kruskal manda

$$T \leftrightarrow V \quad X \leftrightarrow U$$

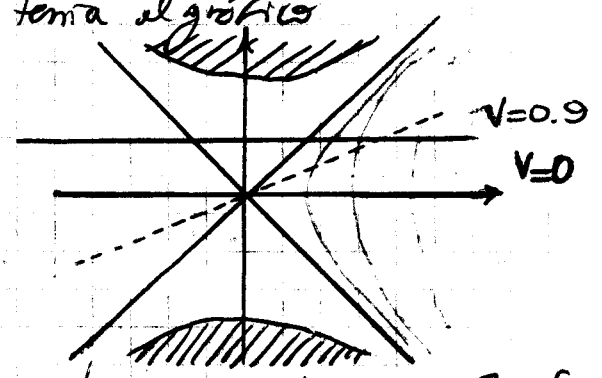
$$(c=1, \quad = 1)$$

$$ds^2 = \frac{32 M^3}{r} e^{-\frac{r}{2M}} (dU^2 + dV^2) + r^2 (d\theta^2 + \sin^2 \theta d\phi^2)$$

$$\left(\frac{r}{2M} - 1\right) e^{-\frac{r}{2M}} = U^2 - V^2$$

$$\Rightarrow \tanh\left(\frac{t}{4M}\right) = \begin{cases} V/U & r > 2M \\ U/V & r < 2M \end{cases}$$

y toma el gráfico



un punto corresponde a una 2-esfera porque lo  $d\Omega^2 = 0$

$$V = d\tau = V_0$$

$$\theta = \theta_0$$

$$ds^2 = \frac{32 M^3}{r(U, V_0)} e^{-\frac{r(U, V_0)}{2M}} dU^2 + r^2(U, V_0) \sin^2 \theta d\phi^2$$

$$ds^2_{\text{esférico}} = dz^2 + \rho^2 d\psi^2 + d\phi^2$$

Igualemos los elementos de línea

$$dz^2 + \rho^2 d\psi^2 + d\phi^2 = \frac{32 M^3}{r} e^{-\frac{r}{2M}} dU^2 + r^2 \sin^2 \theta d\phi^2$$

elegimos naturalmente:  $\psi = \phi$

surge que:

$$\rho = r \sin \theta_0$$

$$dz^2 + d\rho^2 = \frac{32 M^3}{r} e^{-\frac{r}{2M}} dU^2$$

$$\left(\frac{dz}{d\rho}\right)^2 + 1 = \frac{32 M^3}{r} e^{-\frac{r}{2M} \sin \theta_0} \left(\frac{dU}{d\rho}\right)^2$$

pero

$$\left(\frac{\rho}{2M \sin \theta_0} - 1\right) e^{\frac{r}{2M} \sin \theta_0} = U^2 - V^2$$

$$\frac{dU}{d\rho} = \frac{\rho \cdot e^{-\frac{r}{2M} \sin \theta_0}}{(M \sin \theta_0)^2 \sqrt{V_0^2 + \left(\frac{\rho}{2M \sin \theta_0} - 1\right) e^{\frac{r}{2M} \sin \theta_0}}}$$

$$\frac{dz}{d\rho} = \frac{e^{\frac{r}{2M} \sin \theta_0} \left[ \frac{\rho}{2M \sin \theta_0} \left( \frac{(\rho \sin \theta_0)^2}{(2M \sin \theta_0)^2} + 1 \right) - V_0^2 \right]}{\sqrt{V_0^2 + \left(\frac{\rho}{2M \sin \theta_0} - 1\right) e^{\frac{r}{2M} \sin \theta_0}}}$$

Como todo lo que está inside la raíz es  $\geq 0 \Rightarrow$  llega a un  $\rho_{\text{MIN}}$ .

$V_0 = 0, \theta_0 = \frac{\pi}{2} \rightarrow r = \rho$

$$\frac{dz}{d\rho} = \pm \sqrt{\frac{1}{\left(\frac{\rho}{2M} - 1\right)}} \Rightarrow$$

$\rho_{min} = 2M$

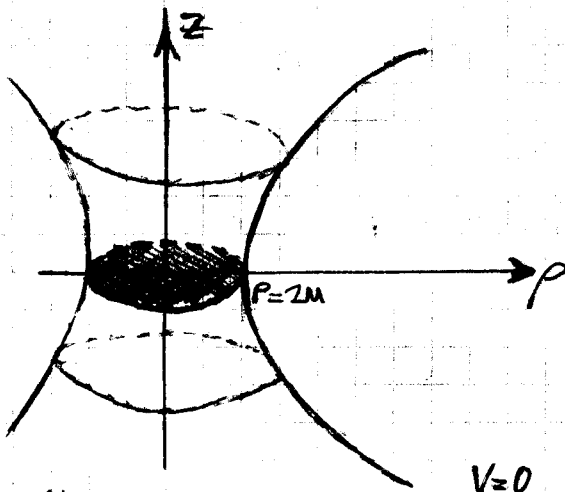
En cuyo caso podemos resolver

$$z(\rho) = \pm 4M \sqrt{\frac{\rho}{2M} - 1}$$

eligiendo por SIMETRÍA

$z(\rho_{min}) = 0$

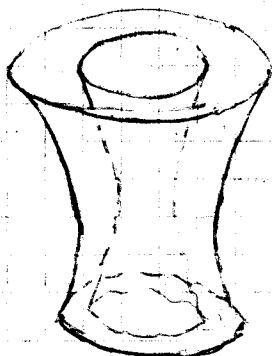
$$\frac{z}{8M} + 2M = \rho = r$$



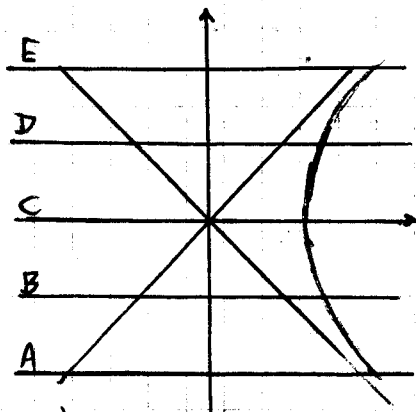
$V=0$

Hemos elegido  $z(\rho_{min}) = 0$ . Interpretamos que con  $\rho = r \rightarrow \infty$  se corresponde a dos regiones con geometría plana asintótica, que no estarán causalmente conectadas.

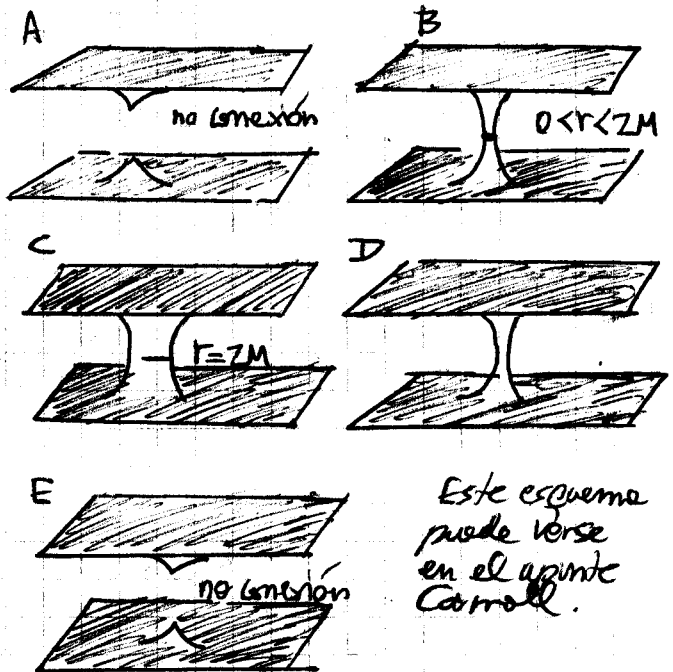
Es un agujero de gusano, pero no es estático. Si lo dibujamos para  $V = 0.9$  vemos que varían las regiones



Si tomamos diferentes valores de  $V$  tendremos:



Si dibujamos las regiones asintóticamente planas



Este esquema puede verse en el apunte Carroll.

Son los puentes de Einstein-Rosen ó Garganta de Schwarzschild. No hay partículas que pasen de un lado a otro, porque esto evoluciona temporalmente.

Estrella y BH son diferentes en la referencia a la coordenada  $t$  que tiene asociado un vector de Killing temporal fuera de  $r = 2M$

Teoría

● Comentario Ley de Hubble

Llegamos a

$$H_0 d_L = z + \frac{z^2}{2} (1 - q_0) + \dots$$

válida en comunicaciones de bajo rango para la métrica de RW plana. Pero el mismo cálculo puede hacerse para la métrica de RW abierta ó ce-

rada y a este orden el resultado es el mismo (indep. de  $k$ ). Por supuesto a órdenes mayores ya se ven las diferencias.

● Horizontes de partículas

Si el universo está en expansión y hubo un comienzo habría regiones del universo donde no podemos ver porque la luz no tuvo tiempo de llegar nos. Eso establece un límite de lo que podemos ver que es el llamado horizonte de partículas.

Una métrica RW con  $k=0$  es

$$ds^2 = -dt^2 + a^2(t) [dr^2 + r^2 d\Omega_2]$$

pero quiero hacer un cambio para tener métrica conforme.

$$= a^2(t) \left[ -\frac{dt^2}{a^2(t)} + dr^2 + r^2 d\Omega_2 \right]$$

meto un  $\eta$

$\eta \equiv$  tiempo conforme

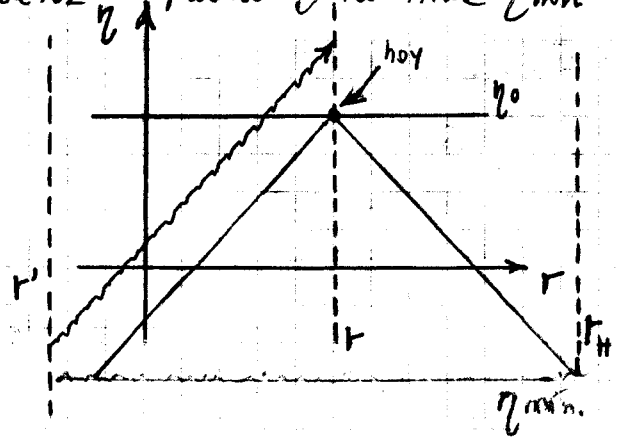
$$d\eta = \frac{dt}{a(t)} \rightarrow \eta = \int \frac{dt}{a(t)}$$

$$ds^2 = a^2(\eta) [-d\eta^2 + dr^2 + r^2 d\Omega_2]$$

y tengo (confirmo) que la métrica es conformemente plana.

$$g_{\mu\nu} = a^2(\eta) \eta_{\mu\nu}$$

Entonces, ahora dibujamos el cono de luz pasado y la línea  $\eta_{min}$



que muestra todo lo que podemos ver del universo.

Un observador en  $r'$  nos ha tenido tiempo de conectarse con nosotros.  $r_H$  es el límite del horizonte de partículas. Por supuesto  $r'$  será visible en algún punto del espacio tiempo.

$$dr = -dy = -\frac{dr}{a(t)} \int_{t_0}^{t_{min}} dt$$

$$\int_0^{r_H} dr = - \int_{t_0}^{t_{min}} \frac{dt}{a(t)} = \int_0^{t_0} \frac{dt}{a(t)}$$

$r_H$  será finito o infinito dependiendo de  $a(t)$  como ejemplos

$$a(t) \sim t^\alpha \rightarrow r_H < \infty \text{ si } \alpha < 1$$

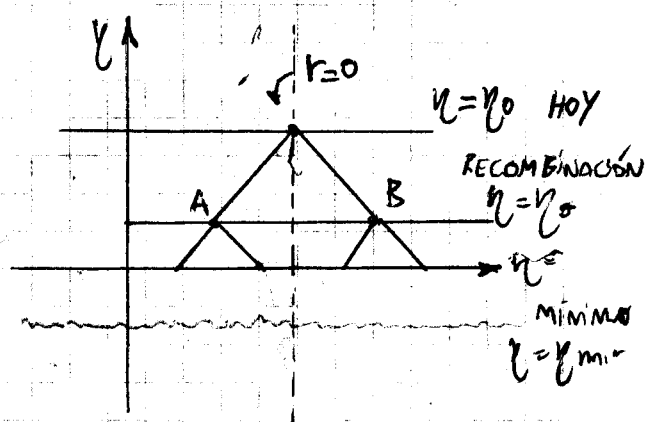
luego hablemos del universo, definimos distancia en el cosmo:

Radio del Universo visible

$d_{propia}$  entre  $r=0$  y  $r=r_H$

$$d_H \leq r_H \cdot a(t_0)$$

$$d_H = a(t) \int_{t_0}^{t_0} \frac{dt}{a(t)}$$

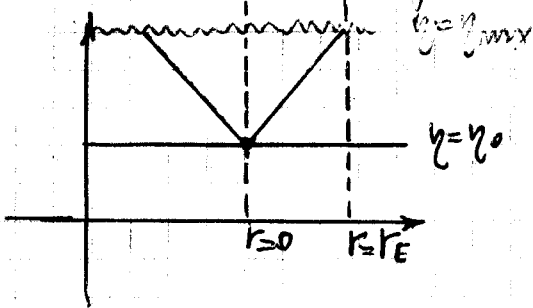


A y B están causalmente conectados.

La expansión acelerada baja el  $\eta_{min}$  (INFLATION). La existencia de horizontes ponen conjeturas.



● Horizonte de Eventos  
Existe un límite hacia \$L\$ que se



observa en el futuro. Procede en forma indeterminada.

● Ecuación de Einstein

La usamos para analizar la dinámica

$$T^{\mu\nu} = \left( \rho(t) + p(t) U^\mu U^\nu + P(t) g^{\mu\nu} \right)$$

$$U^\mu = (1, 0, 0, 0)$$

donde \$\rho, p\$ dependen del tiempo solo. Deberíamos proveer también una ecuación de estado:

$$P = P(\rho)$$

Escribamos las ecuaciones de Einstein:

$$E_c. \text{ Einstein} \left\{ \begin{array}{l} T^{\mu\nu}{}_{;\nu} = 0 \\ G^{\mu\nu} = R^{\mu\nu} - \frac{1}{2} R g^{\mu\nu} = 0 \end{array} \right.$$

Isotropía: las ecuaciones espaciales darán la misma.

El pro eso servirá desde la métrica

$$ds^2 = -dt^2 + a^2(t) \left[ \frac{dr^2}{1-kr^2} + r^2 d\Omega^2 \right]$$

calcular los \$\Gamma^{\mu\nu}\_{\rho\sigma}\$ y con ellos \$R^{\mu\nu}\$ con lo cual construyamos para tener \$R^{\mu\nu}\$ se tiene:

$$\frac{3}{a} \left( \frac{\dot{a}}{a} \right)^2 + \frac{3k}{a^2} = 8\pi\rho \quad (00 [1])$$

$$\frac{\ddot{a}}{a} + \frac{1}{2} \left( \frac{\dot{a}}{a} \right)^2 + \frac{k}{2a^2} = -4\pi p \quad (rr)$$

$$R^{\nu\rho\sigma\delta} = R^{\rho\delta\sigma\nu}(\Gamma, \partial\Gamma)$$

como vemos confirmamos que las ecuaciones temporales son vínculos y no tienen derivadas segundas, las que sí la tienen con la dinámica. Podemos combinarlas

$$\frac{\ddot{a}}{a} = -\frac{4\pi}{3} (\rho + 3p) \quad [2]$$

Y [1], [3] son las ecuaciones de Friedmann.

Se suele trabajar con [1] y una combinación [2] + [3]

Desde las ecuaciones de Einstein sabemos que

$$T^{\mu\nu}{}_{;\nu} = 0 \Rightarrow$$

$$(pa^3) + p(a^3) = 0$$

\$pa^3\$ se ve como la energía en un elemento de fluido. Así tiene una analogía termodinámica

$$d(pa^3) + P d(a^3) = 0$$

$$T^{\mu\nu}{}_{;\nu} = 0$$

1er LEY DE LA TERMODINÁMICA

que es "básicamente" una especie de ley 1ª de la termodinámica.

Pero \$T^{\mu\nu}{}\_{;\nu} = 0\$ es consecuencia de [1], [2].

$$[1] \times a^2 =$$

$$3 \dot{a}^2 + 3k = 8\pi\rho a^2$$

$$6\dot{a}\dot{a} = 8\pi(p a^2) \rightarrow$$

usando [2]

$$\dot{a} \left( \frac{1}{a} \right) \left( \frac{1}{a} \right) [p + 3p] = 8\pi(p a^2)$$

$$-\dot{a} a (p + 3p) = (p a^2)$$

$$-\dot{a} a p - \dot{a} a 3p = p a^2 + p \cdot 2a \dot{a}$$

$$-\dot{a} a^2 p - \dot{a} a^2 3p = p a^2 + p 2a^2 \dot{a}$$

$$3\dot{a} a^2 p - 3\dot{a} a^2 p - p a^2 = 0$$

$$-p d(a^3) - d(p a^3) = 0$$

$$-p 3a^2 da - [dp a^3 + p 3a^2 da] = 0$$

Tipos distintos de materia  
Consideraremos diferentes alternativas:

1) Materia disgregada o polvo

$$P_m = 0, P_m \dots$$

$$(\rho_m \dot{a}^3) = 0 \Rightarrow$$

$$\rho_m(t) \sim \frac{1}{a^3(t)}$$

$$\rho_m(t) = \rho_m(t_0) \left[ \frac{a(t_0)}{a(t)} \right]^3$$

la densidad de energía se va diluyendo con la expansión. Hasta hace poco se creyó que ésta era la fuente más importante de la ecuación de Einstein

2) Radiación

$$P_r = \frac{1}{3} \rho_r$$

GAS DE PART.  
Sin masa relativa

$$(\rho_r \dot{a}^3) + \frac{1}{3} \rho_r (\dot{a}^3) = 0$$

$$\rho_r \dot{a}^2 \dot{a} + \frac{1}{3} \rho_r \dot{a}^2 \dot{a} = 0$$

$$+ \dot{\rho}_r \dot{a}^3$$

$$\dot{\rho}_r \dot{a}^3 = -4 \dot{a}^2 \dot{a} \rho_r$$

$$\frac{\dot{\rho}_r}{\rho_r} = -4 \frac{\dot{a}}{a}$$

$$\rho_r(t) = \rho_r(t_0) \left[ \frac{a(t_0)}{a(t)} \right]^4$$

Aunque hoy domine  $\rho_m$  sobre  $\rho_r$ , al final dado el crecimiento como  $\Lambda^4$  en lugar de  $\Lambda^3$  hace que lo supere.

Se ve también que vale:

$$\rho_r \sim T^4 \sim a^{-4}$$

porque suponemos que la velocidad de expansión es más lenta que la de termalización. También surge que:

$$T(t) \sim \frac{1}{a(t)}$$

3) Energía de vacío (o constante cosmológica)  
Suponemos  $\rho_\Lambda = cte. \therefore$

$$\rho_\Lambda(\dot{a}^3) + \dot{\rho}_\Lambda(\dot{a}^3) = 0 \Rightarrow$$

$$\rho_\Lambda = -\dot{\rho}_\Lambda$$

la constante la podemos poner como:

$$\rho_\Lambda = \frac{\Lambda}{8\pi}$$

$$T_{\mu\nu}^\Lambda = (\rho_\Lambda + P_\Lambda) U_\mu U_\nu + P_\Lambda g_{\mu\nu}$$

$$= -\frac{\Lambda}{8\pi} g_{\mu\nu}$$

$$R_{\mu\nu} - \frac{1}{2} R g_{\mu\nu} = 8\pi [T_{\mu\nu}^m + T_{\mu\nu}^r + T_{\mu\nu}^\Lambda]$$

luego si lo pasas para el otro miembro actúa como constante cosmológica

$$R_{\mu\nu} - \frac{1}{2} R g_{\mu\nu} + \Lambda g_{\mu\nu} = 8\pi [T_{\mu\nu}^r + T_{\mu\nu}^m]$$

Soluciones cualitativas de las ecuaciones de Friedman

Observando:

$$\left(\frac{\dot{a}}{a}\right)^2 + \frac{k}{a^2} = \frac{8\pi\rho}{3} \quad k = -1, 0, 1$$

veamos que hay una densidad crítica en la cual se iguala el 2º miembro con el término con la "0". Si:

$$\rho > \rho_{critica} = \frac{3H_0^2}{8\pi}$$

$$\Rightarrow k \geq 1 \quad \text{UNIVERSO ABIERTO}$$

$$\rho = \rho_{critica} \Rightarrow k = 0$$

$$\rho < \rho_{critica} \Rightarrow k = -1$$

Ojo que cada masa de polvo sería una galaxia o un cúmulo

GAS de fotones (presión de radiación)

Esta solución supone que le Ptotal es la suma de las  $P_r$   $\rho_m$  y  $\rho_\Lambda$

NOTA

Hay dilución y crecimiento al rojo por el  $\Lambda^4$

$$\frac{1}{a^3} \frac{1}{a}$$

De la STA.PHY. surge este link

Ahora escribimos:

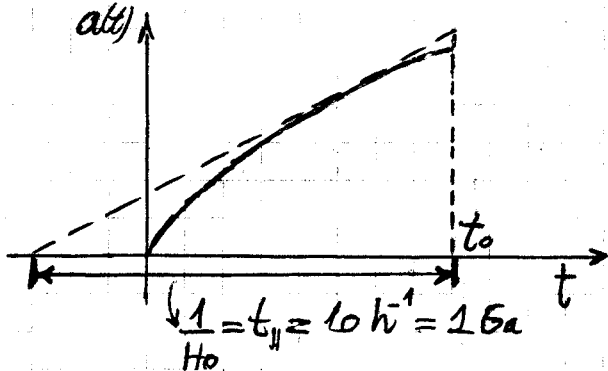
$$H_0 = h \cdot \frac{100 \text{ km/s}}{\text{Mpc}} \Rightarrow$$

$$\rho_{\text{crítica}} \approx 1.9 \cdot 10^{-29} h^2 \text{ g/cm}^3$$

Mirando:

$$\frac{\ddot{a}}{a} = -\frac{4\pi}{3}(\rho + 3p)$$

con  $\dot{a} > 0$  (observacional). Si se asume que  $\rho + 3p > 0$  resulta  $\ddot{a} < 0$  y la expansión es desacelerada.



El universo comienza con una singularidad y se expande desaceleradamente. Si la expansión hubiese sido lineal la edad del universo sería  $\sim H_0^{-1}$ .

● Universo dominado por la materia [modelo poco realista]

$$\rho(t) = \rho_0 \left(\frac{a_0}{a}\right)^3 \rightarrow$$

con  $k=0$  es:

$$a(t) = \left(\frac{9\alpha}{4}\right)^{1/3} t^{2/3}, \text{ con}$$

$$\alpha = \frac{8\pi}{3} \rho_0 a_0^3$$

con  $k=1$  es:

$$a(t) = \frac{\alpha}{2} (1 - \cos \theta)$$

$$t = \alpha (\theta - \sin \theta), \quad 0 \leq \theta \leq 2\pi$$

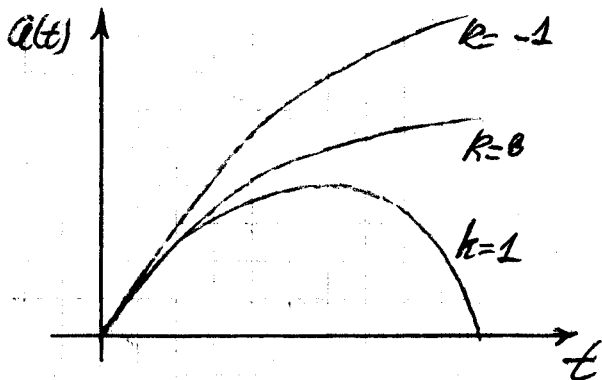
Una cicloide (paramétrica)

con  $k=-1$  es:

$$a(t) = \frac{\alpha}{2} (\cosh - 1)$$

$$t = \frac{\alpha}{2} (\sinh \theta - \theta) \quad 0 \leq \theta \leq \infty$$

La solución  $k=1$  es acotada lo cual da un comportamiento interesante; recollapsamiento.



En el comienzo de los tiempos van todos porados y luego la estructura del espacio-tiempo hace su gracia. En todos los casos la expansión es desacelerada.

Van como  $t^{2/3}$  na

● Universo dominado por la radiación  
comentaremos que:  $k=0$

$$a(t) \sim t^{1/2}$$

y para  $k=1, +1$  es similar.

● Universo dominado por  $\Lambda$

Aquí da un universo acelerado; con  $k=0$

$$a(t) \sim e^{Ht} \quad \text{INFLACIÓN ETERNA}$$

$$-\infty \leq t \leq +\infty$$

con  $k=1$

$$a(t) = \frac{1}{H} \cosh(Ht)$$

$$-\infty \leq t \leq +\infty$$

con  $k=-1$

$$a(t) = \frac{1}{H} \sinh(Ht)$$

$$0 \leq t \leq \infty$$

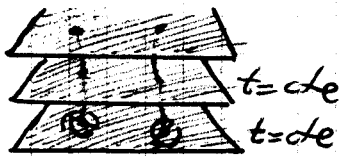
Universos que se expanden desde  $-\infty$  a  $t_0$ ; universos que van y vuelven; universos que se expanden pero terminan en un tiempo finito

■ Práctica

● Cosmología. GUÍA 8

Vamos las coordenadas comóviles y el espacio foliado

$$H = \sqrt{\frac{8\pi}{3} \rho_0} \text{ constante}$$



los obs comovibles serán galaxias.

, con el detalle

$$ds^2 = -dt^2 + a^2(t) \gamma_{ij} dx^i dx^j$$

NO depende de  $t$

Si las galaxias poseen una velocidad respecto del sistema comovil, tiende a reducirse con la expansión: surge de resolver problema 3

● Problema 3

geodésica tipo 't' con  $\vec{v}_s$  en  $t_1$

$$a(t_2) \gamma_{ij} \vec{v}_s^j = a(t_1) \gamma_{ij} \vec{v}_s^j$$

$$\gamma_s = (1 - |\vec{v}_s|^2)^{-1/2} \quad s=1,2$$

$$|\vec{v}_s|^2 = \gamma_{ij} v_s^i v_s^j$$

$$v_s^i = \frac{dx^i}{dt} \quad (i,j=1,2,3)$$

Ahora habría que ver, quién mide cada cosa.

$|\vec{v}_s|$  es el módulo, respecto de qué observador?

Tendríamos que ir a la base ortogonal del observador, para ver este asunto porque las expresiones anteriores se hallan en base coordenada.

$$ds^2 = -dt^2 + a^2(t) \gamma_{ij} dx^i dx^j$$

$$\gamma_{ij} \begin{cases} \gamma_{rr} = \frac{1}{1-kr^2} \\ \gamma_{\theta\theta} = r^2 \\ \gamma_{\phi\phi} = r^2 \sin^2 \theta \end{cases}$$

$$g_{ij} = a^2(t) \gamma_{ij}$$

Para el observador comovibles

$$U_m = e_t = \partial_t \quad \{U^k = (1, 0, 0, 0)\}$$

base coord. comovil

$$\begin{aligned} e_{\hat{t}} &= U_m & e_{\hat{\phi}} &= \frac{e_{\phi}}{\sqrt{g_{\phi\phi}}} \\ e_{\hat{r}} &= \frac{e_r}{\sqrt{g_{rr}}} & e_{\hat{\theta}} &= \frac{e_{\theta}}{\sqrt{g_{\theta\theta}}} \end{aligned}$$

$$\Rightarrow dx^\alpha e_\alpha = dx^{\hat{\alpha}} e_{\hat{\alpha}}$$

, por la ORTOGONALIDAD igualo coordenada a coordenada

$$dx^t e_t = dx^{\hat{t}} e_{\hat{t}} = dx^{\hat{t}} e_t$$

$$dx^t = dt = dx^{\hat{t}}$$

$$dx^i e_i = dx^{\hat{i}} e_{\hat{i}}$$

$$dx^i e_i = dx^{\hat{i}} \frac{e_i}{\sqrt{g_{ii}}}$$

$$dx^i = \frac{dx^{\hat{i}}}{\sqrt{g_{ii}}}$$

$$\frac{dx^i}{dx^{\hat{t}}} = \frac{dx^{\hat{i}}}{dx^{\hat{t}}} \frac{1}{\sqrt{g_{ii}}}$$

$$v^i = \frac{v^{\hat{i}}}{*} \frac{1}{\sqrt{g_{ii}}}$$

, donde \* es la velocidad med. de pos. el observador.

$$v^{\hat{i}} = \sqrt{g_{ii}} \frac{dx^{\hat{i}}}{dt}$$

$$v^{\hat{i}} = \frac{U_{\hat{i}}}{U_{\hat{t}}}, \text{ con } U^i = \frac{dx^i}{dt}$$

ESTO SE PUEDE PROBAR

$$|\vec{v}|^2 = \left( \frac{dx^{\hat{i}}}{dx^{\hat{t}}} e_{\hat{i}} \right) \cdot \left( \frac{dx^{\hat{j}}}{dx^{\hat{t}}} e_{\hat{j}} \right)$$

$$= \frac{dx^{\hat{i}}}{dx^{\hat{t}}} \frac{dx^{\hat{j}}}{dx^{\hat{t}}} \delta_{ij}$$

$$= \left( \frac{dx^i}{dt} e_i \right) \cdot \left( \frac{dx^j}{dt} e_j \right) =$$

$$= g_{ij} \frac{dx^i}{dt} \frac{dx^j}{dt}$$

Luego de esta digresión proseguimos con el problema 3.

$$ds^2 = -d\tau^2 = -dt^2 \left( 1 - g_{ij} \frac{dx^i}{dt} \frac{dx^j}{dt} \right)$$

$$-d\tau^2 = -dt^2 \gamma^2 \quad 1 - |\vec{v}|^2$$

$$\left( \frac{dt}{d\tau} \right)^2 = \frac{1}{1 - |\vec{v}|^2} = \gamma^2$$

La geodésica fijo tiempo. Podemos escribir la ecuación y calcular los  $\Gamma$ ; esto es:

$$\frac{d^2 x^\mu}{d\tau^2} + \Gamma^\mu_{\nu\rho} \frac{dx^\nu}{d\tau} \frac{dx^\rho}{d\tau} = 0$$

$$\text{con } \frac{dx^\mu}{d\tau} \frac{dx^\rho}{d\tau} g_{\mu\rho} = -1$$

o bien se puede usar un  $\tilde{\mathcal{L}}$

$$\tilde{\mathcal{L}} = g_{\mu\nu} \frac{dx^\mu}{d\tau} \frac{dx^\nu}{d\tau}, \text{ y}$$

contar E-L equations:

$$\frac{d}{d\tau} \left( \frac{\partial \tilde{\mathcal{L}}}{\partial \dot{x}^\mu} \right) - \frac{\partial \tilde{\mathcal{L}}}{\partial x^\mu} = 0$$

Seguimos este segundo camino con el:

$$\mathcal{L} = -\left( \frac{dt}{d\tau} \right)^2 + a^2(t) \gamma_{ij} \frac{dx^i}{d\tau} \frac{dx^j}{d\tau}$$

haciendo la cuenta resulta en:

$$\frac{d}{d\tau} \left( -2 \frac{dt}{d\tau} \right) = 2 \dot{a} a \gamma_{ij} \frac{dx^i}{d\tau} \frac{dx^j}{d\tau}$$

$$2 \frac{d\gamma}{d\tau} = 2 \frac{\dot{a}}{a} |\vec{v}|^2 \gamma^2$$

$$-2 \frac{d\gamma}{d\tau} \frac{dt}{d\tau} = 2 \frac{\dot{a}}{a} |\vec{v}|^2 \gamma^2$$

$$\frac{d\gamma}{d\tau} \frac{\gamma}{(\gamma^2 - 1)} = -\frac{\dot{a}}{a}$$

$$\frac{\ln(\gamma^2 - 1)}{2} = -\ln(a) + \text{cte}$$

$$\sqrt{\gamma^2 - 1} \cdot a(t) = \text{cte.}$$

$$\gamma^2 - 1 = |\vec{v}|^2 \gamma^2 \Rightarrow$$

$$a(t) \cdot |\vec{v}| \gamma(\vec{v}) = \text{cte.}$$

$$a(t_1) |\vec{v}_1| \gamma(\vec{v}_1) = a(t_2) |\vec{v}_2| \gamma(\vec{v}_2)$$

Observamos que:

$$|\vec{v}_2| = \frac{a(t_1) \gamma(\vec{v}_1) \cdot |\vec{v}_1|}{a(t_2) \gamma(\vec{v}_2)}$$

si  $|\vec{v}| \ll 1 \Rightarrow \gamma(\vec{v}) \approx 1 \Rightarrow$

$$|\vec{v}_2| \approx \frac{a(t_1)}{a(t_2)} |\vec{v}_1|$$

luego con un universo en expansión  $a(t_2) > a(t_1) \rightarrow$

$$|\vec{v}_2| < |\vec{v}_1|$$

si hay una pequeña velocidad peculiar entonces se plombará con la expansión.

Por otro lado,

$$m a(t) |\vec{v}| \gamma(\vec{v}) = p \cdot a(t)$$

$$\rightarrow p_1 = |\vec{p}_1|$$

$$p_1 a(t_1) = p_2 a(t_2)$$

y acá volvemos al problema 9 de la guía 2 se tenía:

$$|\vec{p}| = \left[ \left( \underset{\downarrow}{U_{\text{obs}} \cdot p} \right)^2 + p \cdot p \right]^{1/2}$$

$$E^2 = \omega^2$$

$$|\vec{p}| = E = \omega \text{ y luego}$$

al comirmiento al rojo

$$\frac{\omega_1}{\omega_2} = \frac{a(t_2)}{a(t_1)}$$

y hemos visto que como  $p \cdot a(t) = \text{cte}$  luego

$$(p \cdot a) = 0$$

$$p \cdot a + p \cdot \dot{a} = 0$$

$$\frac{\dot{p}}{p} = -\frac{\dot{a}}{a} \equiv -H$$

Esta es la "Hubble drag force".

17-11-08

Teoría  
 ● Análisis General de las Soluciones  
 Veríamos de:

$$3\left(\frac{\dot{a}}{a}\right)^2 = 8\pi\rho - \frac{3k}{a^2} \quad [1]$$

donde hay tres componentes en

$$\rho = \rho_m + \rho_r + \rho_\Lambda$$

y con las expresiones

$$\rho_m^{(t)} = \rho_m(t_0) \cdot \left(\frac{a_0}{a(t)}\right)^3$$

$$\rho_r(t) = \rho_r(t_0) \cdot \left(\frac{a_0}{a(t)}\right)^4$$

$$\rho_\Lambda(t) = \text{cte.}$$

Introducimos números entre 0 y 1 para indicar fracciones de "abundancia". Consideramos una:

$$\rho_{\text{critica}} = \frac{3H_0^2}{8\pi}$$

Evaluando [1] hoy (en  $t_0$ )

$$3H_0^2 = 8\pi\rho_0 - \frac{3k}{a_0^2}$$

$$1 = \frac{\rho_0}{\rho_{\text{critica}}} - \frac{3k}{3H_0^2 a_0^2}$$

de aquí vemos que la  $\rho_{\text{critica}}$  determina si el Universo es plano, abierto o cerrado.

Asimismo definimos:

$$\Omega_r = \frac{\rho_r(t_0)}{\rho_{\text{critica}}} \quad \Omega_m = \frac{\rho_m(t_0)}{\rho_{\text{critica}}}$$

$$\Omega_\Lambda = \frac{\rho_\Lambda(t_0)}{\rho_{\text{critica}}}$$

$$\Omega = \Omega_m + \Omega_r + \Omega_\Lambda$$

Ahora reescribimos todo en términos de  $\Omega$ . Adimensionalizamos con

$$\tilde{a}(t) = a(t)/a_0$$

$$\tilde{t} = H_0 t$$

Si el Universo fuese plano (SPA) el factor de escala está definido a menos de una constante, pues se puede cambiar el factor  $a(t)$  en la métrica.

Con  $ds^2 = -dt^2 + a^2(t) [dx^2 + dy^2 + dz^2]$  por una rescalado de  $x, y, z$  que sigue una constante factor cuadrado del  $dx^2 + dy^2 + dz^2$ .

$$\rho_m(t) = \frac{\Omega_m \rho_{\text{critica}}}{\tilde{a}^3}$$

$$\rho_r(t) = \frac{\Omega_r \rho_{\text{critica}}}{\tilde{a}^4}$$

$$\rho_\Lambda(t) = \Omega_\Lambda \rho_{\text{critica}} = \text{cte}$$

También introducimos un  $\Omega_c$  "omega en curvatura"

$$\Omega_c = -\frac{k}{H_0^2 a_0^2}$$

que sale de dividir [1] sobre  $3H_0^2$

$$1 = \frac{8\pi\rho}{3H^2} - \frac{k}{a^2 H^2}$$

que evaluado hoy [en  $t_0$ ] resulta:

$$1 = \frac{\rho_0}{\rho_{\text{critica}}} - \frac{k}{a_0^2 H_0^2}$$

$$1 = \Omega_m + \Omega_r + \Omega_\Lambda + \Omega_c$$

Ahora podemos reescribir la ecuación de Friedmann para que simule una ecuación con potencial efectivo

$$\frac{1}{2} \left( \frac{d\tilde{a}}{d\tilde{t}} \right)^2 - \frac{1}{2} \left[ \Omega_\Lambda \tilde{a}^2 + \frac{\Omega_m}{\tilde{a}} + \frac{\Omega_r}{\tilde{a}^2} \right] = -\frac{k}{2H_0^2 a_0^2} \quad [2]$$

donde usamos:

$$\frac{da}{dt} = a_0 \frac{d\tilde{a}}{d\tilde{t}} H_0$$

y hemos dimensionalizado y escrito en términos de las fracciones.

Se suele tomar como datos las fracciones  $\Omega_m, \Omega_r, \Omega_\Lambda$ . Calculamos entonces  $\tilde{a}(\tilde{t})$  y reescalamos al  $(a_0, H_0)$  para obtener  $a(t)$ .

Si llegase a ocurrir que existe  $\tilde{t}_s$  tal que:

$$\tilde{a}(\tilde{t}_s) = 0$$

$\Rightarrow$  elegimos  $\tilde{t}_s = 0$

Así podemos calcular la edad del universo, con  $\tilde{t}_s$  llegando a 1.

$$\tilde{a}(\tilde{t}_s) = 1 \rightarrow \tilde{t}_s = f(\Omega_m, \Omega_r, \Omega_\Lambda, H_0)$$

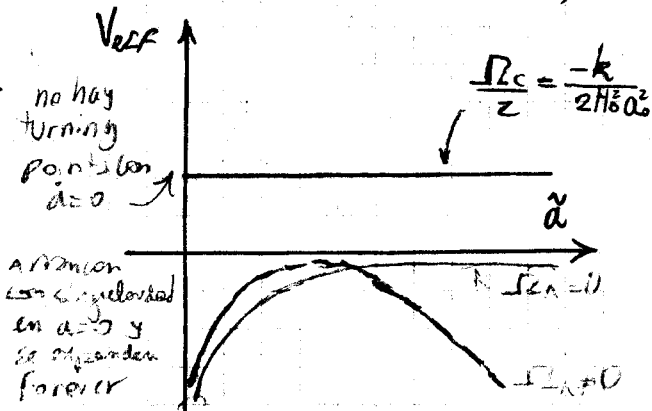
• Comportamiento cualitativo de las soluciones

Asumiendo:

$$\frac{1}{2} \left( \frac{d\tilde{a}}{d\tilde{t}} \right)^2 - V_{eff}(\tilde{a}) = -\frac{k}{2H_0^2 a_0^2}$$

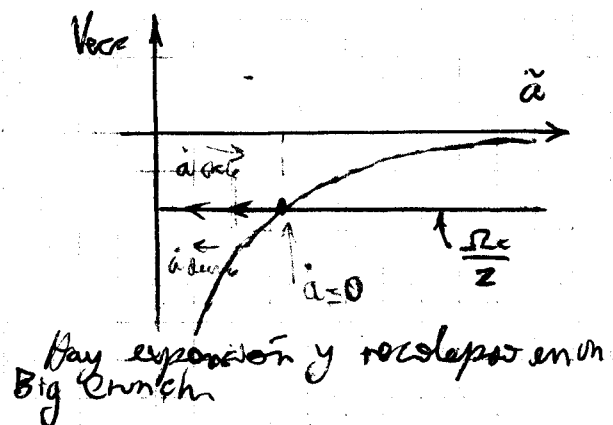
se imaginemos:

①  $\Omega \leq 1$  ( $k=0$  ó  $k=-1$ )

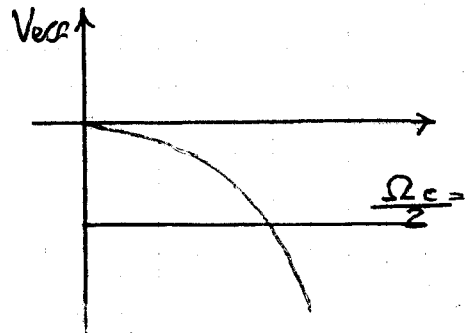


②  $\Omega > 1$  ( $k=+1$ )

i)  $\Omega_\Lambda = 0$

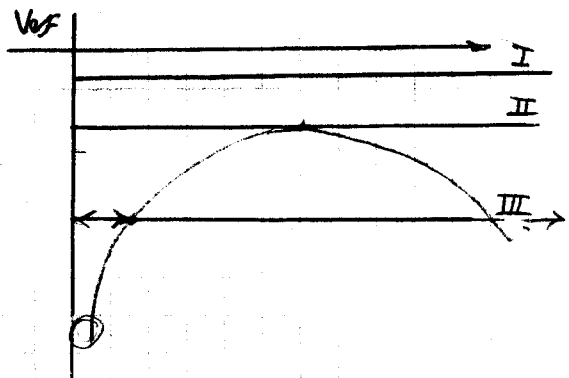


ii)  $\Omega_m = \Omega_r = 0$  (no muy realista)



No hay singularidad inicial; llega a un mínimo y se vuelve a expandir

iii) General Case:



- I. Solo hay expansión
- II. Solución estática. Solución exacta: el universo de Einstein.
- III. Dos alas: una singularidad inicial y una final con expansión en el interior.

Los valores aceptados actualmente

Son:

$$H_0 = 72 \frac{\text{km/seg}}{\text{Mpc}}$$

$$\Omega_m = 0.3 \quad \Omega_\Lambda = 0.7 \quad \Omega_r = 8 \cdot 10^{-5}$$

con lo cual  $\Omega = 1.00008$

• Edad del Universo podemos calcularla como:

$$t_0 = \int_0^{t_0} dt = \int_0^{a_0} \frac{da}{\left( \frac{da}{dt} \right)}$$

la cual mediante reescalado  $a = a_0 \tilde{a}$

$$\tilde{t} = t H_0$$

NB  
Para solución isotrópica y homogénea (estática) Einstein agregó una constante cosmológica

$$t_0 = \int_0^1 \frac{d\tilde{a}}{\left(\frac{d\tilde{a}}{dt}\right)} H_0 \Rightarrow$$

$$H_0 t_0 = \int_0^1 \frac{d\tilde{a}}{\left[\Omega_c + \Omega_m \tilde{a}^2 + \frac{\Omega_m}{\tilde{a}} + \frac{\Omega_\Lambda}{\tilde{a}^2}\right]}$$

NB  
El  $A_\mu$  es solución de las ecuaciones de Maxwell con el gauge de Lorentz

cuando uno trabaja numéricamente tenemos un universo de 13 mil millones de años. Análogamente, calculando la distancia propia al horizonte hoy de la información del universo visible,  $\sim 14$  Gpc.

● Ondas Gravitatorias

Una masa que se mueve en el espacio tiempo hará cambiar la curvatura de una manera altamente no-trivial. Si todo esto es brusco podría ser conocido de propagarse la deformación del  $g_{\mu\nu}$  hacia lugares fuera de ahí (ondas gravitatorias). Trabajaremos en la aproximación de campo débil.

No se han detectado aún directamente. La detección indirecta confía de la observación en sistemas binarios de la variación del período por la pérdida de energía debida a la radiación en forma de ondas gravitatorias.

La detección de ondas gravitacionales indicaría choques de objetos masivos.

Veamos algo de EM para introducir el tema: comenzamos con la elección del Gauge

$$\partial^\mu F_{\mu\nu} = J_\nu$$

$$\partial^\mu (\partial_\mu A_\nu - \partial_\nu A_\mu) = \square A_\nu - \partial_\nu (\partial^\mu A_\mu) = J_\nu$$

son las ecuaciones de Maxwell en presencia de corriente. En el gauge

de Lorentz

$$\square A_\nu = J_\nu$$

pues

$$\partial_\mu A^\mu = 0^*$$

El gauge de Lorentz permite también:

$$A_\mu \rightarrow A_\mu + \partial_\mu \phi = A'_\mu$$

si le pido al  $\phi$  alguna condición

$$\partial_\mu A'^\mu = \partial_\mu A^\mu + \partial_\mu \partial^\mu \phi$$

como ser  $\square \phi = 0$  vale este nuevo  $A'_\mu$ .

Veamos las ondas planas ahora:

$$\square A^\mu = 0$$

pero desde los cuatro grados de libertad  $A^\mu$  restándole las condiciones  $*$  resultarán los dos polarizaciones físicas:

$$A_\mu = e_\mu e^{ikx} + c.c$$

$$k^2 = 0 = \eta_{\mu\nu} k^\mu k^\nu$$

pero

$$\partial_\mu A^\mu = 0 \Rightarrow i k^\mu e_\mu e^{ikx} + c.c.$$

luego:

$$k^\mu e_\mu = 0$$

$$\boxed{k_\mu e^\mu = 0} \quad [1]$$

Usamos la otra libertad de cambiar el  $\phi$ , entonces:

$$\phi = i \epsilon e^{ikx} + c.c$$

$$A'_\mu = e'_\mu e^{ikx} + c.c.$$

$$\partial_\mu \phi = -\epsilon k_\mu e^{ikx} + c.c$$

$$\rightarrow \boxed{e'_\mu = e_\mu - \epsilon k_\mu} \quad [2]$$

Entonces con [2] puedo elegir arbitrariamente alguna componente que sea nula. Llego a dos grados de libertad para fijar los otros dos



libertad. la opción usual es que [2] vincule la  $k_0$  y  $k_3$  dirección de propagación (me quedan los otros dos transversales)

Consideremos por ejemplo:

$$k^\mu = (\omega, 0, 0, \omega)$$

$$k^\mu e_\mu = 0 \Leftrightarrow$$

$$\omega(e_0 + e_3) = 0$$

↑  
tiempo prop.

transformando de gauge nueva mente

$$e'_0 = e_0 + \epsilon \omega$$

$$e'_3 = e_3 - \epsilon \omega$$

$$e'_1 = e_1; e'_2 = e_2$$

ahora elijo  $\epsilon = -e_0/\omega \rightarrow e'_0 = 0$  pero esto implica que  $e'_3 \neq 0$  porque vale lo mismo  $e_0 + e_3$  que  $e_0 + e_3$  (estoy siempre en el gauge de Lorentz).

Luego para una onda plana en la dirección  $\hat{z}$  puedo elegir el gauge para que me queden componentes  $A_\mu$  del potencial vector transversales a esa dirección.

Quisiera ver, ahora, lo mismo en las ecuaciones de Einstein linealizadas; suponemos un sistema tal que:

$$g_{\mu\nu} = \eta_{\mu\nu} + h_{\mu\nu}$$

con  $|h_{\mu\nu}| \ll 1$ . Trabajaremos en  $h_{\mu\nu}$  1<sup>er</sup> orden, y consideraremos que vive en el espacio de Minkowski (suben y bajan índices con  $\eta_{\mu\nu}$ ).

$$h^{\mu\nu} \eta_{\mu\alpha} \eta_{\nu\beta} = h^{\alpha\beta}$$

$$\text{(traza)} \rightarrow h = \eta^{\mu\nu} h_{\mu\nu}$$

$$g^{\mu\nu} = \eta^{\mu\nu} - h^{\mu\nu}$$

Lo cual vale a orden 1<sup>o</sup>, pues

$$g^{\mu\nu} g_{\mu\sigma} = \delta^\nu_\sigma + \mathcal{O}(h^2)$$

Veremos que definiendo

$$h_{\mu\nu} = h_{\nu\mu} - \frac{1}{2} h \eta_{\mu\nu}$$

es posible elegir coordenadas:

$$\partial^\mu h_{\mu\nu} = 0$$

y en ellos ver que vale:

$$\square h_{\mu\nu} = 16\pi T_{\mu\nu}$$

y llegaremos a ondas planas

$$h_{\mu\nu} = e_{\mu\nu} e^{i k_\alpha x^\alpha} + c.c$$

y usando transformaciones extras

$$\square h_{\mu\nu} = 0$$

Entonces  $e_{\mu\nu}$  tiene solo dos componentes independientes por ende  $e_{\mu\nu}$  TIENE DOS POLARIZACIONES.

Si elegimos coordenadas tales que

$$k^\mu = (\omega, 0, 0, \omega)$$

$$e_{\mu\nu} = \begin{pmatrix} 0 & 0 & 0 & 0 \\ 0 & e_{11} & e_{12} & 0 \\ 0 & e_{21} & e_{22} & 0 \\ 0 & 0 & 0 & 0 \end{pmatrix}$$

y  $e_{12} = e_{21}$  y  $e_{11}$  se puede vincular a  $e_{22}$ .

## Práctica

### Problema 5

Sea universo dominado por materia y  $k = +1$ .  
Fluido ideal sin presión

$$T_{\mu\nu} = (\rho + p) U_\mu U_\nu + g_{\mu\nu} p$$

$$T_{00} = \rho$$

con la métrica:

$$ds^2 = -dt^2 + a^2(t) \left[ \frac{dr^2}{1-r^2} + r^2 d\Omega_2 \right]$$

La ecuación de Friedmann será:

$$[1] H^2 + \frac{k}{a^2} = \frac{8\pi G \rho}{3} \quad \left( H = \frac{\dot{a}}{a} = \frac{da}{dt} \right)$$

$$[2] \frac{\ddot{a}}{a} = -\frac{4\pi G(\rho)}{3}$$

$$\nabla_\mu T^{\mu\nu} = 0 \rightarrow$$

$$\dot{\rho} = -3H\rho$$

$$\dot{\rho} = -3\frac{\dot{a}}{a}\rho \quad \text{lleva a:}$$

$$\boxed{\frac{\rho}{\rho_0} = \left(\frac{a}{a_0}\right)^{-3}}$$

cte.

$$\left(\frac{\dot{a}}{a}\right)^2 + \frac{1}{a^2} = \frac{8\pi G \rho_0 a_0^3}{3 a^3} = C$$

$$\boxed{\dot{a}^2 = -1 + \frac{C}{a}} \quad [3]$$

existe un valor máximo para  $a$  dado el  $\uparrow$  en [3]. El máximo valor de  $a = C$ ; si  $a < a_{\max} = C \Rightarrow$

$$\frac{da}{dt} = \pm \sqrt{-1 + \frac{C}{a}}$$

hacemos un cambio de variables a tiempo conforme:

$$\frac{dt}{a(t)} = d\eta$$

$$\frac{da}{dt} = \frac{da}{d\eta} \cdot \frac{1}{a(t)}$$

$$\frac{da}{dt} = \pm \sqrt{-1 + \frac{C}{a}}$$

si el Universo está en expansión considero  $\sqrt{\quad} > 0$  y me queda con el "+"

$$\frac{da}{\sqrt{aC-a^2}} = \pm d\eta$$

$$-\sin^{-1} \left[ \frac{-2a+C}{C} \right] \Big|_0^a = \pm \eta$$

$$-\sin^{-1} \left[ \frac{-2a+C}{C} \right] + \frac{\pi}{2} = \pm \eta$$

$$-\frac{2a}{C} + 1 = \cos(\eta)$$

$$\boxed{a(\eta) = \frac{C}{2} [1 - \cos(\eta)]}$$

$$d\eta = \frac{dt}{a(t)}$$

$$\int_0^t dt = \int_0^\eta d\eta \cdot \frac{C}{2} [1 - \cos(\eta)]$$

$$\boxed{t(\eta) = \frac{C}{2} [\eta - \sin \eta]}$$

$$\boxed{a(\eta) = \frac{C}{2} [1 - \cos \eta]}$$

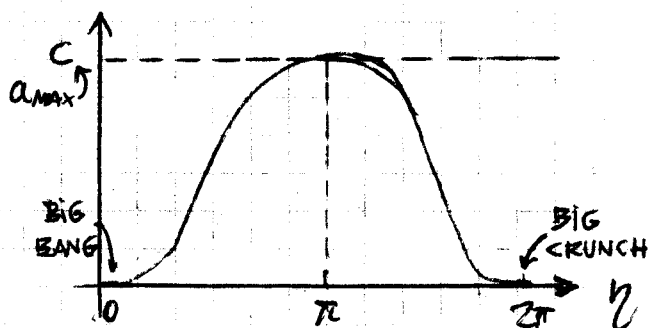
Evolución para universo cerrado con  $k=1$  y dominado por materia.

### ● Problema 6

Queremos ver la evolución del factor de escala

$$a_{\max} = C = a(\eta)$$

$$a(0) = 0$$



Por  $\eta$  es el tiempo conforme, dado que podemos poner

$$ds^2 = -dt^2 + a^2(t) dS_{3D}^2$$

$$ds^2 = a^2(\eta) \left[ -\frac{dt^2}{a^2(\eta)} + dS_{3D}^2 \right]$$

Para el caso  $k=1$  se podría reescribir la  $ds^2$  en función de  $d\eta^2$

y para  $\eta = \text{cte}$  de la

$$ds^2|_{\text{cte}} = a^2(t) [dx^2 + \sin^2 x (d\theta^2 + \sin^2 \theta d\phi^2)]$$

$\left. \begin{matrix} x \in (0, \pi) \\ \theta \in (0, \pi) \\ \phi \in (0, 2\pi) \end{matrix} \right\} (S^3) \text{ es una 3 esfera}$

Para verlo podemos embeter en 4D euclidea a la  $S^3$

$$ds^2_{4D} = dx_1^2 + dx_2^2 + dx_3^2 + dx_4^2$$

considero la superficie:

$$x_1^2 + x_2^2 + x_3^2 + x_4^2 = a_0^2$$

y parametrizo

$$\begin{aligned} x_1 &= a_0 \sin \chi \cos \theta \cos \phi \\ x_2 &= a_0 \sin \chi \cos \theta \sin \phi \\ x_3 &= a_0 \sin \chi \sin \theta \\ x_4 &= a_0 \cos \chi \end{aligned}$$

Claro, esto es una superficie 3D en un espacio 4D, análogamente a como una esfera silvestre es una superficie 2D en un espacio 3D.

$$(dx_1^2 + dx_2^2 + dx_3^2 + dx_4^2)|_{\text{esf}} = ds^2|_{\text{cte}}$$

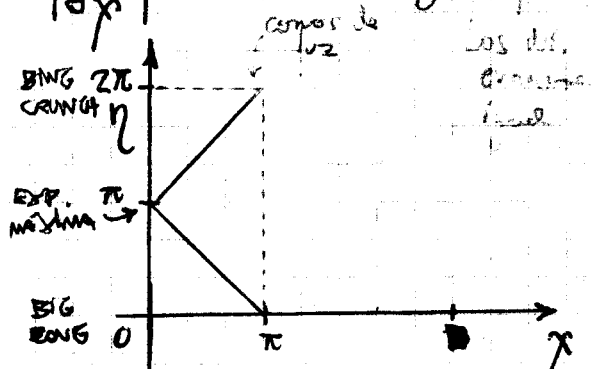
Queremos ver que un fotón puede ir y venir todo el universo antes de que este colapse  
Considero geodésicas

$$ds^2 = a^2(\eta) [-d\eta^2 + dx^2] = 0$$

con  $\varphi = \text{cte}$ ,  $\theta = \text{cte}$ . radiales

$$\left| \frac{d\eta}{dx} \right| = 1$$

$$|d\eta| = |dx|$$

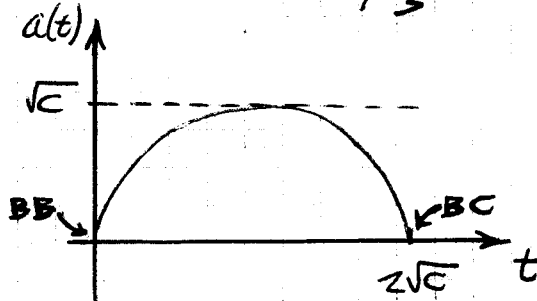


Por una vuelta <sup>es</sup> completa  
 $\chi = 0 \rightarrow \pi \rightarrow 0$  (1 vuelta)  
 $\eta = 0 \rightarrow 2\pi$  (una vuelta)

Un fotón alcanza a completar una vuelta entera en el big crunch. Si el universo estuviera dominado por radiación y con  $k=1$ , la solución es

$$a(t) = \sqrt{c'} \left[ 1 - \left( 1 - \frac{t}{\sqrt{c'}} \right)^2 \right]^{1/2}$$

$$\text{con } c' = 8\pi G \frac{\rho_0 a_0^4}{3}$$



Recediendo en modo fidei un fotón solo alcanza a la 1/2 vuelta

### Teoría

• Ecuaciones de Einstein Linealizadas  
 Suponemos la métrica era

$$g_{\mu\nu} = \eta_{\mu\nu} + h_{\mu\nu}, \quad |h_{\mu\nu}| \ll 1$$

y su inversa

$$g^{\mu\nu} = \eta^{\mu\nu} + h^{\mu\nu}$$

Este supuesto abandona la covariancia general (que en algún sistema quizás no sea  $|h_{\mu\nu}| \ll 1$ ). La  $\eta^{\mu\nu}$  subirá y bajará índices

$$h^\mu{}_\nu = \eta^{\mu\rho} h_{\rho\nu}$$

$$h = \eta^{\mu\nu} h_{\mu\nu}$$

Necesitamos los tensores de curvatura y Ricci,

$$R^\alpha{}_{\beta\gamma\delta} = \Gamma^\alpha{}_{\beta\delta,\gamma} - \Gamma^\alpha{}_{\beta\gamma,\delta} \quad (\text{orden en } h)$$

$$\Gamma^\alpha{}_{\beta\gamma} = \frac{1}{2} g^{\alpha\epsilon} [g_{\epsilon\beta,\gamma} + g_{\epsilon\gamma,\beta} - g_{\beta\gamma,\epsilon}]$$

$$= \frac{1}{2} \eta^{\alpha\epsilon} [h_{\epsilon\beta,\gamma} + h_{\epsilon\gamma,\beta} - h_{\beta\gamma,\epsilon}]$$

19-11-08

Aorden 1  $\rightarrow$

$$= \frac{1}{2} [h^{\alpha}_{\beta,\gamma} + h^{\alpha}_{\gamma,\beta} - h^{\alpha}_{\beta\gamma}{}^{,\alpha}]$$

$$R^{(1)\alpha}_{\beta\gamma\delta} = \frac{1}{2} \left\{ h^{\alpha}_{\beta,\gamma\delta} + h^{\alpha}_{\delta,\beta\gamma} - h^{\alpha}_{\beta\gamma}{}^{,\delta} - h^{\alpha}_{\delta\beta\gamma}{}^{,\alpha} - h^{\alpha}_{\gamma,\beta\delta} + h^{\alpha}_{\beta\delta,\gamma} \right\}$$

Ahora, para Ricci será:

$$R^{(1)}_{\beta\delta} = R^{(1)\alpha}_{\beta\alpha\delta}$$

$$R^{(1)}_{\beta\delta} = \frac{1}{2} \left\{ h^{\alpha}_{\delta,\beta\alpha} - \square h_{\beta\delta} - h_{\beta\delta} + h_{\beta\alpha}{}^{,\alpha}{}_{,\delta} \right\} \quad [1]$$

Quiero cambiar coordenadas para castear esto y hacer desaparecer términos extra. Usamos las coordenadas armónicas.

$$(\sqrt{g} g^{\mu\nu})_{,\nu} = 0$$

que en campo débil se puede des-  
arrollar  $g^{\mu\nu} = \eta^{\mu\nu} - h^{\mu\nu}$

$$\sqrt{g} = \sqrt{|\det g_{\mu\nu}|} = \sqrt{|\det(\eta_{\mu\nu} + h_{\mu\nu})|}$$

$$\approx 1 + \frac{h}{2} + \mathcal{O}(h^2)$$

esto se puede probar pero lo a-  
ptamos.

$$\left| \left( 1 + \frac{h}{2} \right) (\eta^{\mu\nu} - h^{\mu\nu}) \right|_{,\nu} = 0$$

$$\left( -h^{\mu\nu} + \frac{h}{2} \eta^{\mu\nu} \right)_{,\nu} = 0$$

$$(h^{\mu\alpha} - \frac{1}{2} h \eta^{\mu\alpha})_{,\alpha} = 0$$

$$\bar{h}^{\mu\nu}{}_{,\nu} = 0$$

La condición de Gauge de Lorenz en (coord. armón.)  
permite que se conciben en [1]  
lo que dijimos que se conseguía.

Luego, en coordenadas armónicas

$$R^{(1)}_{\mu\nu} = \frac{1}{2} \square h_{\mu\nu}$$

$$R^{(1)} = -\frac{1}{2} \square h$$

La ecuación de Einstein lee

$$R^{(1)}_{\mu\nu} - \frac{1}{2} R^{(1)} \eta_{\mu\nu} = 8\pi T_{\mu\nu}$$

$$= \frac{1}{2} \square h_{\mu\nu} - \frac{1}{2} \left( -\frac{1}{2} \right) \square h \eta_{\mu\nu} \Rightarrow$$

$$-16\pi T_{\mu\nu} = \square h_{\mu\nu} - \frac{1}{2} \eta_{\mu\nu} \square h$$

$$\boxed{-16\pi T_{\mu\nu} = \square h_{\mu\nu}}$$

esta ecuación de Einstein linealizada

• Otros cambios de coordenadas  
que mantienen el carácter de armónicas

$$x'^{\mu} = x^{\mu} + \epsilon^{\mu}(x)$$

nueva métrica  $\epsilon^{\mu} = \mathcal{O}(h_{\mu\nu})$   
en un punto  $P$   
(con coord. nuevas)

$$g'^{\mu\nu}(x') = \frac{\partial x'^{\mu}}{\partial x^{\alpha}} \frac{\partial x'^{\nu}}{\partial x^{\beta}} g^{\alpha\beta}(x) \quad [2]$$

$\eta^{\mu\nu} - h^{\mu\nu}(x)$   $\neq$   $\eta^{\mu\nu} - h^{\mu\nu}(x')$

LA MISMA Pero como  $x' = x + \epsilon$  se verá que  
esta suma dentro del argumen-  
to de exponencial cosas cuadráti-  
cas, entonces me quedo con

$$h'^{\mu\nu}(x') \approx h'^{\mu\nu}(x)$$

Dados:  $x'^{\nu} = x^{\nu} + \epsilon^{\nu}(x) \Rightarrow$

$$* \delta^{\nu}_{\rho} + \epsilon^{\nu}_{,\rho}$$

$$+ \delta^{\mu}_{\sigma} + \epsilon^{\mu}_{,\sigma}$$

Siempre a orden uno, haciendo el  
cálculo en [2] resultará en:

$$h'^{\mu\nu}(x) = h^{\mu\nu}(x) - \epsilon^{\mu,\nu} - \epsilon^{\nu,\mu}$$

gauge como una transformación de gauge. Un cambio de coordenadas a orden lineal es como un cambio de gauge. Esto porque  $x' \approx x$ .

Si  $h^{\mu\nu}$  satisface la condición de coordenada armónica

$$\left( h^{\mu\nu} - \frac{1}{2} \eta^{\mu\nu} h \right)_{,\nu} = 0$$

$$\text{y } \square \epsilon^\mu = 0 \Rightarrow$$

$$\left( h'^{\mu\nu} - \frac{1}{2} \eta^{\mu\nu} h' \right)_{,\nu} = 0 \quad [3]$$

lo cual es equivalente a lo que hicimos con anterioridad

$$A^{\mu}_{,\mu} = 0 \rightarrow \text{si } A'_\mu = A_\mu + \epsilon_{,\mu}$$

$$\text{luego } A'^{\mu}_{,\mu} = 0 \quad \square \epsilon = 0$$

Si queremos probar [3] lo escribimos explícitamente

$$\left( h^{\mu\nu} - \epsilon^{\mu,\nu} - \epsilon^{\nu,\mu} - \frac{1}{2} \eta^{\mu\nu} x \right)_{,\nu} = 0$$

$$\left( h^{\mu\nu} - 2\epsilon^{\rho,\nu} \right)_{,\nu} = 0$$

se cancelan  $\epsilon^{\nu,\mu}$  y  $\epsilon^{\rho,\nu}$

$$\square \epsilon^\mu = 0$$

En resumen:

$$\square \bar{h}^{\mu\nu} = -16\pi T^{\mu\nu}$$

$$\bar{h}^{\mu\nu} = 0$$

$$\bar{h}^{\mu\nu} = h^{\mu\nu} - \frac{1}{2} \eta^{\mu\nu} h$$

$$x'^{\mu} = x^{\mu} + \epsilon^{\mu}(x) \quad \text{con } \square \epsilon^{\mu} = 0$$

$$\Rightarrow h'^{\mu\nu} = h^{\mu\nu} - \epsilon^{\mu,\nu} - \epsilon^{\nu,\mu}$$

$$\bar{h}'^{\mu\nu} = \bar{h}^{\mu\nu}$$

Ahora vemos ondas planas, sin fuentes

$$\square \bar{h}_{\mu\nu} = 0$$

para luego agregar las fuentes. En este caso particular

$$\square \bar{h} = 0 \quad (\text{problema de } \bar{h} \text{ nulo})$$

$$\bar{h} = h - 2h = -h \rightarrow$$

$$\text{si } \square \bar{h} = 0 \Rightarrow \square h = 0 \rightarrow$$

$$\square h_{\mu\nu} = 0$$

Buscaremos solución tipo onda plana

$$h_{\mu\nu}(x) = \frac{e_{\mu\nu}}{i\omega \text{ con}} e^{ik \cdot x} + c.c$$

con  $k \cdot x = \eta_{\mu\nu} x^{\mu} k^{\nu}$

$$k^2 = 0 = \eta_{\mu\nu} k^{\mu} k^{\nu}$$

$$h'^{\mu\nu}_{,\nu} = \frac{1}{2} h'^{\mu}$$

$$\boxed{e^{\mu\nu} k_{\nu} = \frac{1}{2} e_{\nu}^{\nu} k^{\mu}} \quad \text{4 ecuaciones para el } e_{\mu\nu}$$

y hemos usado  $h^{\mu\nu}_{,\nu} = i e^{\mu\nu} k_{\nu}$

Hacemos una transformación de coordenadas quedándonos dentro de la armónica con.

$$x'^{\mu} = x^{\mu} + \epsilon^{\mu} \quad \text{con } \square \epsilon^{\mu} = 0$$

$$\epsilon^{\mu}(x) = i \epsilon^{\mu} e^{ikx}$$

constantes arbitrarias

ahora:

$$h^{\mu\nu} \rightarrow h'^{\mu\nu} = h^{\mu\nu} - \epsilon^{\mu,\nu} - \epsilon^{\nu,\mu}$$

$$h'^{\mu\nu} = e^{\mu\nu} e^{ikx} + c.c$$

al bajar los índices resulta que

$$e'_{\mu\nu} e^{ikx} + c.c = e_{\mu\nu} e^{ikx} + c_{\mu} k_{\nu} e^{ikx} + c_{\nu} k_{\mu} e^{ikx} + c.c$$

$$A^{\mu} \rightarrow h^{\mu}$$

$$\epsilon \rightarrow \epsilon^{\mu}$$

Con la transformación de coordenadas los constantes viejas pasan a ser nuevas constantes de acuerdo a:

$$e_{\mu\nu} \rightarrow e'_{\mu\nu} = e_{\mu\nu} + C_{\mu k} k_{\nu} + C_{\nu k} k_{\mu}$$

Podemos elegir las constantes como se nos conviene; en particular

$$C_{\mu} : e'_{0\mu} = 0 \text{ (4 cond.)}$$

Hemos partido de 10 cantidades y obtenido antes 4 ecuaciones y ahora 4 condiciones tenemos 2 independientes. (dos componentes inefectas.)

$$h'_{\mu\nu} = e'_{\mu\nu} e^{ikx} + CC$$

$$e'_{0\mu} = 0$$

$$e'^{\mu\nu} k_{\nu} = \frac{1}{2} e'^{\nu\mu} k^{\mu}$$

$$0 = e'^{0\nu} k_{\nu} = \frac{1}{2} e'^{\nu 0} k^0$$

pero  $k^0$  no es nunca nula  $\rightarrow$  la traza  $e'^{\nu\nu}$  será nula; pero como  $e'^{0\nu} = 0 \Rightarrow$

$$e^i_i = 0$$

con lo cual

$$e'^{\mu\nu} k_{\nu} = 0 = e'^{\mu 0} k_0 + e'^{\mu i} k_i$$

$$e'^{ji} k_i = 0$$

En resumidas cuentas:

$$h_{\mu\nu} = e_{\mu\nu} e^{ikx} + CC$$

$$e_{0\nu} = 0 \text{ (4 cond.)}$$

$$e_i^i = 0 \text{ (cond)} \quad e^{ji} k_i = 0 \text{ (3 cond)}$$

Para  $h_{\mu\nu}$  se puede escribir

$$h_{0\nu} = 0 \quad h^i_i = 0 \quad h^{ji}, i = 0$$

esto es el "gauge TT", porque la perturbación es  $\perp$  al vector de propagación

TT = transversal traceless

● EJEMPLO

Sea onda viajando en  $\hat{z}$

$$k^{\mu} = \omega(1, 0, 0, 1)$$

$$h^{\mu\nu}_{TT} = e^{\mu\nu}_{TT} e^{ikx} + CC$$

metiendo en una matriz la información de las condiciones

$$e^{\mu\nu}_{TT} = \begin{pmatrix} 0 & 0 & 0 & 0 \\ 0 & e^{\mu 11}_{TT} & e^{\mu 12}_{TT} & 0 \\ 0 & e^{\mu 12}_{TT} & -e^{\mu 11}_{TT} & 0 \\ 0 & 0 & 0 & 0 \end{pmatrix}$$

aquí vemos las dos polarizaciones, que son vistas como dos constantes

UNA:  $e^{\mu 11}_{TT} \neq 0 \quad e^{\mu 12}_{TT} = 0 \equiv \oplus$

OTRA:  $e^{\mu 12}_{TT} \neq 0 \quad e^{\mu 11}_{TT} = 0 \equiv \otimes$

Podemos hacer una analogía con el EM respecto de las ondas

$$\square A_{\mu} = J_{\mu}$$

$$\partial_{\mu} A^{\mu} = 0$$

• Carga Eléctrica

$$\vec{J} = \sum_A e_A \vec{x}_A$$

(mom. dipolar eléctrica)

$$\vec{\mu} = \sum_A e_A \vec{x}_A \hat{V}_A$$

• Potencia total emitida con mom. dipolar. ele.  $\sim (\vec{j})^2$

con mom. dipolar mag.  $\sim (\vec{\mu})^2$

con mom. cuadrupolar  $\sim (\overset{\circ}{Q}_{kj})(\overset{\circ}{Q}_{kj})$

$$\square \bar{h}_{\mu\nu} = -16\pi T_{\mu\nu}$$

$$\partial_{\mu} \bar{h}^{\mu\nu} = 0$$

• Masa

$$\vec{M} = \sum_A m_A \vec{x}_A$$

(masa total x Pos. cm)

•  $\vec{L}$

• Potencia total emitida  $\sim (\vec{P})^2 = 0$   
 si se CONSERVA VALEN 0  
 el primer  $\sim (\vec{L})^2 = 0$   
 es nulo es  $\sim (\vec{I})^2$

$$I_{ij} = \sum_A m_A \vec{x}_A^i \vec{x}_A^j$$

Podemos remover las "11" y eso hacemos

Podemos hacer una cuenta de órdenes de magnitud, considere.

$$P \sim \frac{1}{c^3} \frac{G}{s} \cdot \begin{matrix} M_{\odot} \\ \text{planeta} \\ M \\ M \ll M_{\odot} \end{matrix}$$

mas un sistema planeta-Sol como el ilustrado arriba.

$$\frac{1}{c^3} \frac{G}{s} = \frac{G}{c^3} \left( \frac{MR^2}{T^3} \right)^2$$

Para Júpiter  $\dot{a} \sim 10^{10}$  erg/seg. Así mismo el  $\tau_{E/p} \sim 10^{23}$  años; escala a la cual se nota la pérdida de energía por ondas gravitacionales.

tiempo en el cual se disipa energía al ritmo actual

### Práctica

#### Problema 8

Se dan  $\rho_M, \rho_R, \rho_V, \alpha$

$$\left. \begin{aligned} [1] \quad H^2 + \frac{\alpha}{a^2} &= \frac{8\pi G \rho}{3} \\ [2] \quad \frac{\ddot{a}}{a} &= -\frac{4\pi G}{3} (\rho + 3P) \end{aligned} \right\}$$

$$\Rightarrow \dot{\rho} = -3H(\rho + P) \quad [3]$$

$$P = \alpha \rho \quad (\text{Ec. de Estado})$$

Usamos la ecuación de estado en [3] y obtenemos:

$$\dot{\rho} = -\frac{3\ddot{a}}{a} \rho (1 + \alpha) \Rightarrow$$

$$\rho(t) = \frac{\rho(t_0)}{\left(\frac{a(t)}{a(t_0)}\right)^{3(1+\alpha)}} \quad \tilde{a} [\text{hor}]$$

densidad de materia actual

Los ejemplos de materia son:

- NR ó polvo  $P=0 \rightarrow \alpha=0$
- Radiación  $\alpha = \frac{1}{3}$
- Const. cosmológica  $\alpha = -1$

$$1 + \frac{\alpha}{\tilde{a}^2 a(t_0)^2 H^2} = \frac{8\pi G \rho}{3 H^2}$$

$$1 + \frac{\alpha}{\tilde{a}^2 (a(t_0)^2 H_0^2)} \left( \frac{H_0}{H} \right)^2 = \frac{8\pi G \rho}{3 H_0^2} \left( \frac{H_0}{H} \right)^2$$

$\downarrow \Omega_c$  (curvatura)      $\downarrow \frac{1}{\rho_c(t_0)}$       $H_0 = \frac{\dot{a}}{a}$

$$\tilde{h}^2 - \frac{\Omega_c}{\tilde{a}^2} = \frac{\rho(t)}{\rho_c(t_0)}$$

en  $t=t_0$  resulta que:

$$1 - \Omega_c = \rho(t_0) / \rho_c(t_0)$$

luego resulta:

- $\rho(t_0) = \rho_c(t_0) \Rightarrow \Omega_c = 0$  (UNIVERSO PLANO)

- $\rho(t_0) > \rho_c(t_0) \Rightarrow \Omega_c < 0$   
 $\Rightarrow \alpha = 1$  (UNIVERSO CERRADO)

- $\rho(t_0) < \rho_c(t_0) \Rightarrow \Omega_c > 0$   
 $\Rightarrow \alpha = -1$  (UNIVERSO ABIERTO)

$$\frac{\rho_M(t)}{\rho_c(t_0)} = \left[ \frac{\rho_M(t_0)}{\rho_c(t_0)} \right] \tilde{a}^{-3} \quad (\text{materia NR})$$

$\downarrow \Omega_M$

$$\frac{\rho_R(t)}{\rho_c(t_0)} = \Omega_R \tilde{a}^{-4}$$

$$\frac{\rho_V(t)}{\rho_c(t_0)} = \Omega_V$$

$$[\tilde{h}(t)]^2 = \frac{\Omega_c}{\tilde{a}^2(t)} + \frac{\Omega_M}{\tilde{a}^4(t)} + \frac{\Omega_R}{\tilde{a}^4(t)} + \Omega_V$$

En  $t=t_0$

$$\boxed{1 = \Omega_c + \Omega_M + \Omega_R + \Omega_V}$$

$$\left( \frac{d\tilde{a}}{d\tilde{t}} \frac{1}{\tilde{a}} \right)^2 = \tilde{h}^2 \Rightarrow \tilde{t} = t H_0$$

Si a  $t=0$  nos hallamos en

el Big Bang  $\Rightarrow t_0 = \text{Edad universo}$

$$\frac{d\tilde{a}}{\sqrt{\frac{\Omega_M}{\tilde{a}} + \frac{\Omega_R}{\tilde{a}^2} + \tilde{a}^2 \Omega_V + \Omega_C}} = \int_0^{t_0} dt = t_0$$

$$\int_0^1 d\tilde{a} f(\tilde{a}) = t_0 H_0$$

Algunas suposiciones permiten simplificar el asunto:

si  $\Omega_C = 0$   $\tilde{a} \in (0, 1) \rightarrow$

$$\tilde{a}^2 < \tilde{a}^{-1} < \tilde{a}^{-2}$$

y eso como peson en la raíz los diferentes términos.

Para universos

materia ( $\Omega_M = 1$ ) y plano ( $\Omega_C = 0$ )  
 $t_0 = \frac{2}{3} H_0^{-1}$

radiación ( $\Omega_R = 1$ ) y plano

$$t_0 = \frac{1}{2} H_0^{-1} < \frac{2}{3} H_0^{-1}$$

vacio ( $\Omega_V = 1$ ) y plano  
 $t_0 \rightarrow +\infty$

Con las observaciones experimentales

$$\Omega_M \sim 0.3 \quad \Omega_R \sim 8 \cdot 10^{-5}$$

$$\Omega_V \sim 0.7 \quad \Omega_C \sim 0$$

$$t_0 \cong (0.963) \cdot H_0^{-1}$$

$$H_0 \sim 72 \frac{\text{km}}{\text{Mpc}}$$

Problema Adicional  
 Con  $\Omega_C = 0$ , usar el horizonte de partículas

$$d_H(t_0) = a(t_0) \int_0^{t_0} \frac{dt}{a(t)}$$

$$H = \frac{da}{dt} \frac{1}{a(t)} \rightarrow$$

$$dt = \frac{da}{aH} = \frac{da}{a_0 \tilde{a} \tilde{h} H_0}$$

y se puede usar la ecuación de Friedmann  $\tilde{h}(\tilde{a})$

- a) Halle una expresión integral para  $d_H(t_0)$  en términos de los parámetros cosmológicos ( $\Omega$ , etc)
- b) Resolver analíticamente para un universo dominado por materia y para otro  $\propto$  radiación
- c) Resolver numéricamente la integral usando valores actuales de los parámetros y  $H_0$ , (en Gpc)

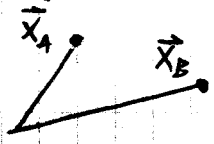
Teoría

● Detección de Ondas Gravitacionales.

Definimos unas coordenadas TT tales que:

$$g_{\mu\nu} = \eta_{\mu\nu} + h_{\mu\nu}^{TT}$$

Si quiere ver el efecto de una onda gravitacional que atraviesa a dos partículas



Inicialmente se hallan en reposo

$$\underline{U}_A^{(0)} = \underline{U}_B^{(0)} = (1, 0, 0, 0)$$

Todo el tiempo (a medida que pasa) será el (4990) más correcciones en  $h$

$$\underline{U}_A = \underline{U}_A^{(0)} + \mathcal{O}(h_{\mu\nu})$$

$$\underline{U}_B = \underline{U}_B^{(0)} + \mathcal{O}(h_{\mu\nu})$$

Para los geodésicos, como los  $\Gamma$  son de orden  $h$  me quedo con  $U^\alpha U^\beta$  en reposo, es decir:

$$\frac{dU^\alpha}{d\tau} + \Gamma_{\beta\gamma}^\alpha U^\beta U^\gamma = 0 \Rightarrow$$

$$\frac{dU^\alpha}{d\tau} \approx -\Gamma_{\beta\gamma}^\alpha U_{(0)}^\beta U_{(0)}^\gamma = -\Gamma_{00}^\alpha$$



$$\Gamma_{00}^{\alpha} = \frac{1}{2} g^{\alpha\beta} [h_{\beta 0,0}^{\text{TT}} + h_{0\beta,0}^{\text{TT}} - h_{00,\alpha}^{\text{TT}}]$$

$$\Gamma_{00}^{\alpha} = 0 \rightarrow \frac{dU^{\alpha}}{dt} \approx 0 \rightarrow$$

$$U_{\text{in}}^{\alpha} = (1, 0, 0, 0)$$

$$\vec{X}_A(z) = \vec{X}_B = ct \hat{e}_z$$

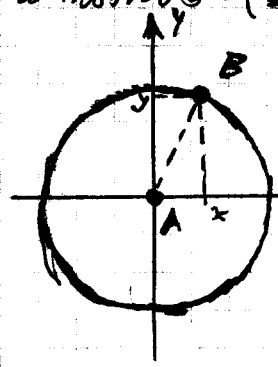
Las coordenadas espaciales se mantienen constante. Pero esto no implica que la distancia entre partículas se mantenga constante. Para calcular la distancia física entre partículas supongamos que:

onda plana en  $\hat{z}$

$$h_{xx}^{\text{TT}}, h_{xy}^{\text{TT}}, h_{yy}^{\text{TT}} = -h_{xx}^{\text{TT}}$$

(las cuales son función de  $[t, z]$ )

situamos las partículas según la ilustración ( $z=0$ ) y pensemos en un círculo porque allí es más fácil ver el efecto que onda que pasa por ellos.



en un círculo porque allí es más fácil ver el efecto que onda que pasa por ellos.

$$\Delta L^2(t) = g_{ij} \Delta x^i \Delta x^j$$

$$\Delta L^2(t) = (h_{ij}^{\text{TT}} + h_{ij}^{\text{TT}}) \Delta x^i \Delta x^j$$

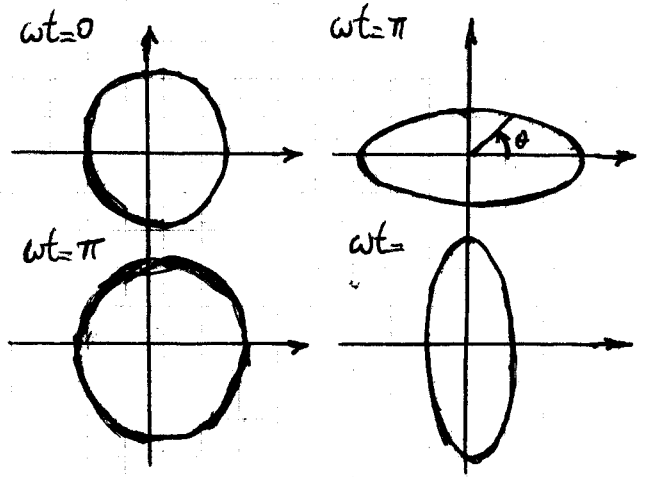
$$\Delta L^2(t) = x^2 + y^2 + h_{xx}^{\text{TT}}(0,t) x^2 + h_{yy}^{\text{TT}}(0,t) y^2 + 2xy h_{xy}^{\text{TT}}(0,t)$$

Veamos: \* Polarización (+)

$$h_{xy} = 0 \quad h_{xx} = -h_{yy} = e_{11} \sin(\omega t)$$

$$(\Delta L)^2(t) = x^2 (1 + e_{11} \sin \omega t) + y^2 (1 - e_{11} \sin \omega t)$$

$$\Delta L^2 = \frac{x^2}{(1 - e_{11} \sin \omega t)} + \frac{y^2}{(1 + e_{11} \sin \omega t)}$$



\* Polarización (x)

$$h_{xx} = h_{yy} = 0$$

$$h_{xy}(t,0) = e_{12} \sin(\omega t)$$

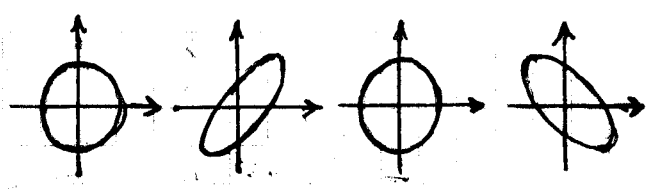
$$\Delta L^2(t) = x^2 + y^2 + 2xy e_{12} \sin(\omega t)$$

redifiniendo coordenadas:

$$X = \frac{1}{\sqrt{2}}(x-y) \quad Y = \frac{1}{\sqrt{2}}(x+y)$$

vuelvo a la misma ecuación de antes (rotadas  $\pi/4$ )

$$X^2 + Y^2 + (Y^2 - X^2) e_{12} \sin(\omega t)$$



Entonces podemos detectar el paso de una onda gravitacional si podemos medir distancias físicas de forma muy precisa

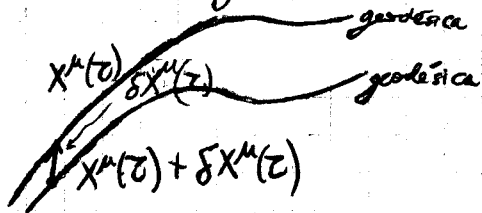
● EXPERIMENTOS TENDIENTES A DETECTAR ONDAS GRAVITACIONALES  
EL más conocido es LIGO: Laser-Interferometer Gravitational-Wave Observatory

www.ligo.caltech.edu

● Ecuación de Desviación de las Geodésicas

Da el comportamiento del vector de desviación que une dos geodésicas. Es una manera alternativa de introducir el tensor de Riemann.

Sean dos geodésicas cercanas.



$$\frac{d^2 X^\mu}{dz^2} + \Gamma^\mu_{\nu\lambda}(x) \frac{dX^\nu}{dz} \frac{dX^\lambda}{dz} = 0$$

$$\frac{d^2 (X^\mu + \delta X^\mu)}{dz^2} + \Gamma^\mu_{\nu\lambda}(X + \delta X) \frac{d(X^\nu + \delta X^\nu)}{dz} \frac{d(X^\lambda + \delta X^\lambda)}{dz} = 0$$

Restando ambas ecuaciones y a primer orden en  $\delta X^\mu$ , usando que

$$\Gamma^\mu_{\nu\lambda}(X + \delta X) = \Gamma^\mu_{\nu\lambda}(X) + \Gamma^\mu_{\nu\lambda}(\delta X)$$

resulta en:

$$\frac{d^2 (\delta X^\mu)}{dz^2} + \Gamma^\mu_{\nu\lambda, \rho} \frac{dX^\nu}{dz} \frac{dX^\lambda}{dz} \delta X^\rho + 2 \Gamma^\mu_{\nu\lambda} \frac{dX^\nu}{dz} \frac{dX^\lambda}{dz} \delta X^\mu = 0$$

$$\delta X^\mu \equiv \xi^\mu \text{ [es un vector]}$$

$$\left( \nabla_\nu \xi^\mu \right)_{; \rho} = \xi^\mu_{; \rho} U^\rho = \frac{d\xi^\mu}{dz} + \Gamma^\mu_{\nu\rho} \xi^\nu U^\rho \equiv \frac{D\xi^\mu}{Dz}$$

Pero quiero derivar otra vez a lo largo de la misma curva

$$\left[ \nabla_\nu \left( \nabla_\mu \xi^\mu \right) \right]_{; \rho} = \left( \xi^\mu_{; \rho} U^\rho \right)_{; \lambda} U^\lambda \equiv \frac{D^2 \xi^\mu}{Dz^2}$$

$$= \frac{d}{dz} \left( \frac{D\xi^\mu}{Dz} \right) + \Gamma^\mu_{\rho\lambda} \frac{D\xi^\rho}{Dz} U^\lambda =$$

$$= \frac{d^2 \xi^\mu}{dz^2} + \dots +$$

Entonces podemos escribir todo en términos de este objeto, que es covariante.

$$\frac{D^2 \xi^\mu}{Dz^2} = - R^\mu_{\nu\rho\lambda} \xi^\nu U^\rho U^\lambda$$

ECUACION DE LAS GEODÉSICAS

de otra manera de definir el tensor de Riemann y la idea de curvatura. Si es nulo el miembro derecho las geodésicas si son paralelas seguirán siéndolo.

● Generación de ondas gravitacionales  
las ec. linealizadas (reducían a)

$$\square \bar{h}_{\mu\nu} = -16\pi T_{\mu\nu}$$

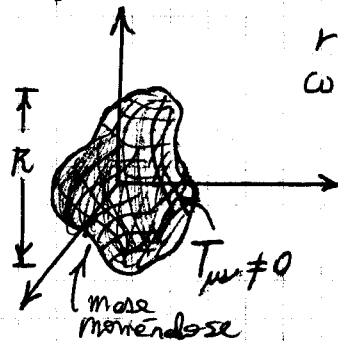
$$\left( \bar{h}_{\mu\nu} - h_{\mu\nu} - \frac{1}{2} h \eta_{\mu\nu} \right)$$

y las coordenadas armónicas.

$$\bar{h}^{\mu\nu}_{;\nu} = 0$$

$$T^{\mu\nu}_{;\nu} = 0 \iff \bar{h}^{\mu\nu}_{;\nu} = 0$$

Aproximaremos con fuentes compactas en alguna región del espacio y miraremos desde lejos.



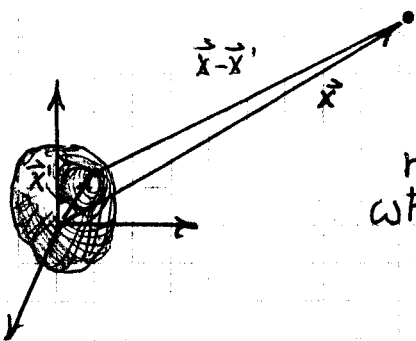
Esto es qué cosa a la solución llévate a cabo en el libro de Classical Electrodynamics de J.D. Jackson

$$h_{\mu\nu}(t, \vec{x}) = 4 \int d^3x' \frac{T_{\mu\nu}(\vec{x}', t - |\vec{x} - \vec{x}'|)}{|\vec{x} - \vec{x}'|}$$

es como la función de onda retardada. Sobre ello usaremos las approx.

mediciones. Las dos aproximaciones serán necesarias

$$|\vec{x}| = r, |\vec{x}'| = R$$



$$r \gg R \\ \omega R \ll 1$$

$$h_{\mu\nu}(t, \vec{x}) \approx \frac{4}{r} \int d^3x' T_{\mu\nu}(\vec{x}', t-r)$$

$$e^{i\omega(t - |\vec{x} - \vec{x}'|)} \approx e^{i\omega t} e^{-i\omega r}$$

Usando la conservación del  $T_{\mu\nu}$  puede seguirse simplificando.

$$T^{\mu\nu}_{, \nu} = 0 \Rightarrow$$

$$\bullet \text{ i) } \int d^3x' T^{0\mu}(\vec{x}', \omega) = P^\mu = \text{cte}$$

(por la conservación)

$$\bullet \text{ ii) } \int d^3x' T^{ij}(\vec{x}', \omega) = \frac{1}{2} \frac{d^2}{dt^2} \left( \int T^{00}(\vec{x}', \omega) X^i X^j d^3x' \right) = \frac{1}{2} \frac{d^2}{dt^2} (I^{ij})$$

esta cuenta se hace merced a:

$$\frac{d}{dt} \int T^{00}(\vec{x}', t) X^i X^j d^3x' = \int \partial_0 T^{00}(\vec{x}', t) X^i X^j d^3x' =$$

$$\text{pero: } \partial_0 T^{00} + \partial_k T^{k0} = 0$$

entonces:

$$= - \int \partial_k T^{k0} X^i X^j d^3x' = \int d^3x' T^{k0}(\vec{x}', t) \left\{ \delta^{ik} X^j + \delta^{jk} X^i \right\}$$

Derivando otra vez resulta en:

$$\frac{d^2}{dt^2} \int T^{00} X^i X^j d^3x' =$$

$$\int d^3x' \partial_0 T^{k0} \{ \dots \} = - \int d^3x' \partial_k T^{kl} \{ \dots \} =$$

$$\int d^3x' T^{kl} \{ \delta^{ik} \delta^{jl} + \delta^{jk} \delta^{il} \}$$

$$\frac{d^2}{dt^2} \int T^{00} X^i X^j d^3x' = 2 \int d^3x' T^{ij}(\vec{x}', t)$$

$$\bar{h}^{\mu\nu} = \frac{4}{r} \int d^3x' T^{\mu\nu}(\vec{x}', t-r) \Rightarrow$$

$$\bar{h}^{0\mu} = \frac{4}{r} P^\mu$$

$$\bar{h}^{ij} = \frac{2}{r} \frac{d^2}{dt^2} I^{ij}(t-r)$$

donde

$$I^{ij}(t-r) = \int d^3x' T^{00}(\vec{x}', t-r) X^i X^j$$

esta relacionada con el momento cuadrupolar de masa

$$I^{ij} = I^{ij} - \frac{1}{3} \delta^{ij} I \quad \text{traza } (I^{ij})$$

A partir de todo esto podemos ver como calcular el:

$$h_{ij}^{TT}(r, t) = \frac{2}{r} \frac{d^2}{dt^2} (I_{ij}^{TT}(t-r))$$

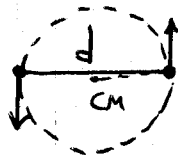
y la potencia emitida en ondas gravitacionales resulta

$$P = \frac{G}{5c^3} \langle \ddot{I}_{ij}(t-r) \ddot{I}_{ij}(t-r) \rangle$$

esta cuenta es cíclica. El  $\langle \rangle$  es un promedio temporal

### ● EJEMPLO

Sean dos masas en Mov. circular en torno al CM. Esto es relativamente fácil porque hay que evaluar el Cuadrupolo.



La parte de  $\delta^{ij}$  del tiempo esta asociada al flujo de ondas hacia el infinito

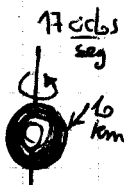
$$P = \frac{8}{5} \frac{G \omega^6 m^2 d^4}{c^5}$$

además newtonianamente tratados el sistema tiene una variación del periodo "T" debida a la pérdida de energía en ondas gravitacionales

$$\frac{dT}{dT} = \frac{P}{E}$$

donde  $E = \text{kin.} + \text{Pot.}$  es la energía total. El primer sistema detectado donde se vio esto fue en el pulsar binario PSR B 1513-16, con datos

- $m \approx 1.4 M_{\odot}$
- $d \approx 1.2 \times 10^3 \text{ m}$
- $T \approx 7 \text{ h } 45 \text{ m}$
- $\nu \approx 10^{-4} \text{ c}$



$$\frac{dT}{dT} = -6 \cdot 10^{-6} \text{ seg/año}$$

Con orbitas circulares de esto, pero de la excentricidad de 0,6 resulta ser que:

$$\left| \frac{dT}{dT} \right| = 2.422 \cdot 10^{-12}$$

En 1974 obtuvieron mediciones que le valieron el nobel en 1993 de este efecto (1993 a Hulse y Taylor).

26-11-08

Teoría & Práctica  
Clase de consultas pre-parcial

3-12-08

Teoría  
Energía & Momento del campo Grav.  
En general:

$$T_{\mu\nu};\nu = 0 \quad \nabla_{\nu} T^{\mu\nu} = 0$$

es decir que no implica una ley de conservación.

Consideramos definir operativamente un concepto de masa en función de los efectos gravitantes.

Newtonianamente:



$$M = \int d^3x \rho$$

y se cumple

$$\nabla^2 \phi = 4\pi \rho$$

lo cual lleva a:

$$M = \frac{1}{4\pi} \int_{r \rightarrow \infty} d^3x \nabla^2 \phi$$

entonces puedo definir la masa en base a los efectos gravitantes sobre el potencial.

Otro ejemplo es el de carga Q de un sistema y usando las ecuaciones de Maxwell

$$F^{\mu\nu};\nu = J^{\mu} \Rightarrow$$

$$F^{\mu\nu};\nu\mu = 0 = J^{\mu};\mu$$

Juego hay una cantidad conservada

$$Q = \int d^3x J^0 = \int d^3x F^{0i};i$$

pero dada la antisimetría de  $F^{\mu\nu};\nu\mu$  las contribuyentes derivadas espaciales

$$Q = \int_{\text{todo el espacio}} d^3x F^{0i};i = \int_{r \rightarrow \infty} dS_i F^{0i}$$

entonces la carga se define en función del campo en el infinito.

Enfoque GR (Weinberg chap. 7)  
Reescribiremos las ecuaciones de Einstein para hallar un  $(T^{\mu\nu})^{(eff)}$  que se conserve, i.e.,

$$(T^{\mu\nu})^{(eff)};{\nu} = 0$$

El precio a pagar será la pérdida de la covarianza.

$$g_{\mu\nu} = \eta_{\mu\nu} + h_{\mu\nu} \neq$$

con  $|h_{\mu\nu}| \rightarrow 0$   
 $r \rightarrow \infty$

es decir que tiende asintóticamente al espacio plano aunque no es  $|h_{\mu\nu}| \neq$  métrica asintóticamente plana

● Comentarios

$P^\alpha$  = "cuadriimpulso" total

$t_{\mu\nu}$  = "tensor" no es un tensor general.

Decimos que no es un tensor por que en un cambio general de coordenadas no transforma como un tensor.

Haciendo cambios de coordenadas se puede poner

$$t_{\mu\nu} \Big|_{x=x_0} = 0$$

Sin embargo  $P^\alpha$ ,  $t_{\mu\nu}$  son, para transformaciones de Lorentz, cuadrivector y tensor.

El  $t_{\mu\nu} = O(h^2)$

El  $P^\alpha$  cumple que

$P^\alpha$  se conserva

$$P^\alpha_{total} = \sum_i P^\alpha_i \text{ si los sistemas } i \text{ est\u00e1n muy alejados entre s\u00ed.}$$

As\u00ed como la masa de una estrella tiene contribuciones de la masa de la estrella y el aporte del campo gravitatorio

$$M_{total} \neq \sum_i M_i$$

Asimismo  $P^\alpha$  si es un cuadrivector ante una transformaci\u00f3n de coordenadas

$$x^\mu = x^\mu + \Delta^\mu(x)$$

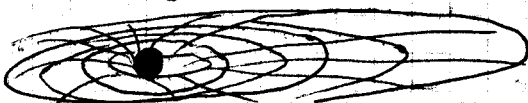
, si vale que

$$\Delta^\mu(x) \rightarrow 0 \text{ as } r \rightarrow \infty$$

pues el  $P^\alpha$  se define en t\u00e9rminos de los campos en el  $\infty$ .

● Masa en Schwarzschild

Sea un sistema est\u00e1tico y veamos lejos de la fuente



donde valdr\u00eda

$$\square \bar{h}_{\mu\nu} = -16\pi T_{\mu\nu} = 0$$

en coordenadas arm\u00f3nicas

$$\bar{h}_{\mu\nu, \nu} = 0$$

y si la m\u00e9trica es est\u00e1tica

$$\bar{h}_{\mu\nu, 0} = 0$$

$$\square \bar{h}_{\mu\nu} = 0$$

$$\Rightarrow h_{\mu\nu} \approx \frac{1}{r} a_{\mu\nu} \quad [3]$$

pero

$$\bar{h}_{\mu\nu, \nu} = 0 = \bar{h}_{\mu i, i}$$

por la independencia temporal, con lo cual

$$a^{\mu i} = 0$$

por ello el  $a^{00}$  es el \u00fanico no nulo.

$$a^{00} \neq 0$$

que surge de derivar en [3].

Entonces

$$\bar{h}_{\mu\nu} \rightarrow h_{\mu\nu} \rightarrow \text{con } r \rightarrow \infty$$

$$ds^2 = -\left[1 - \frac{2M}{r}\right] dt^2 + \left[1 - \frac{2M}{r}\right]^{-1} (dx^2 + dy^2 + dz^2)$$

donde

$$M = a_{00} / 4$$

esta m\u00e9trica de Schwarzschild para  $r \rightarrow \infty$  en coordenadas arm\u00f3nicas. Con el  $h$  me fabrico el  $Q$  y puedo hacer

$$P^\alpha = \frac{1}{8\pi} \int_{r \rightarrow \infty} dS_j Q^{\alpha j} = M \delta^\alpha_0$$

La M que entro en Schwarzschild es la de la fuente m\u00e1s su campo gravitacional.

Notemos que

$$h_{\mu\nu} \propto \frac{1}{r} \quad t_{\mu\nu} \propto \frac{1}{r^4}$$

Eso hace que

$$\int t_{\mu\nu} d^3x < \infty \rightarrow P = \text{cte}$$

Ahora retomamos una dependencia temporal.

$$\square \bar{h}_{\mu\nu} = -16\pi T_{\mu\nu} \rightarrow$$

$$\bar{h}_{ij} = \frac{2}{r} \ddot{I}_{ij}(t-r) \quad [1]$$

$$I_{ij} = \int d^3x T^{00} x_i x_j$$

donde los coeficientes  $I_{ij}$  están relacionados con el momento cuadrupolo de masa.

$$\bar{I}_{ij} \equiv I_{ij} - \frac{1}{3} \delta_{ij} I$$

Retomamos por la potencia irradiada en ondas gravitacionales por la pérdida de energía.

$$\text{Potencia} = \frac{1}{5} \langle \ddot{\bar{I}}_{ij}(t-r) \ddot{\bar{I}}_{ij}(t-r) \rangle$$

promedios temporal

al cual con los unidades lleva un factor  $G/c^5$  pegado.

Supongamos que vamos a hacer la cuenta. Ahora tenemos una onda estérica, no plana, en [4] y quiero un análogo del gauge TT.

[1] El gauge TT para ondas es feroz

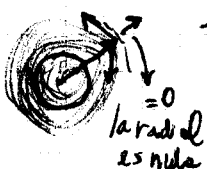
$$h_{\mu\nu}(r,t) = f(r) \cdot e^{i\omega(t-r)} \rightarrow$$

puedo hacer un cambio de coordenadas:

$$h_{0\mu}^{TT} = 0$$

$$h^{\mu}_{\mu}^{TT} = 0$$

$$h_{\mu j}^{TT} n^j = 0$$



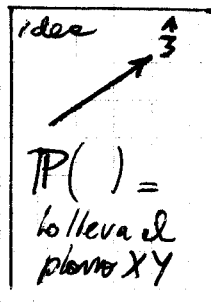
Para ver todo esto es necesario hacer la cuenta

[2] Medida sistemática de sacos los componentes se borran de un  $h_{ij}$  no en el gauge TT (me quedo quedo con la parte transversal sin traza).

$$h_{ij} \rightarrow h_{ij}^{TT}$$

Definimos un proyectador en radial

$$P_{ij} = \delta_{ij} - n_i n_j, \text{ con } P^2 = P$$



Para el caso de una onda plana en  $\hat{z}$

$$P_{ij} = \delta_{ij} - n_i n_j = \begin{pmatrix} 1 & 0 & 0 \\ 0 & 1 & 0 \\ 0 & 0 & 0 \end{pmatrix}$$

Formando una matriz

$$h^{TT} =$$

$$P h P - \frac{1}{2} P \text{Traza}(P h)$$

↑ proyectar en el subespacio      ↑ quitar la traza

$$h_{ij}^{TT} = P_{ik} h_{kl} P_{lj} - \frac{1}{2} P_{ij} P_{kl} h_{kl}$$

donde vemos que

$$h_{ij}^{TT} \eta^{ij} = 0 \quad \wedge \quad h_{ij}^{TT} \eta^j = 0$$

están en el gauge "TT".

Es necesario ahora que equibremos por un  $h_{ij}$  porque  $h_{0i}$  ya se satisface automáticamente.

[3] El cálculo de la potencia. Si el sistema pierde energía es por un flujo del  $t_{\mu\nu}$ .

$$\text{Pot} = \int_{r \rightarrow \infty} \langle t^{0r} \rangle r^2 d\Omega$$

promedios temporal

Vimos que el  $t^{\mu\nu}$  era el tensor asociado a las ondas. En una situación dependiente de  $t$  in-

Interpreto que al ver que  $t_{uv}$  tiene un flujo no nulo en el  $\infty$  debe ser pérdida de energía.

Hay que poner for en términos de  $(h^{ap}, \sigma)^2$

$$P^{\lambda} = \int T_{\text{EFF}}^{0\lambda} dx^3$$

$$P^{\lambda, 0} = \int T_{\text{EFF}, 0}^{0\lambda} d^3x = - \int (T^{i\lambda, i} + t^{i\lambda, i})$$

$$\frac{dP^0}{dt} = \int t^{i0, i} d^3x = - \int dS_{\text{out}} t^{0i}$$

$$\frac{dP^0}{dt} = - \int r^2 E^{or} d\Omega$$

Luego deberá escribir  $h_{ij}$  en términos de  $I_{ij}$ ; luego

$$Pot = \int \frac{1}{8\pi R^2} \langle \ddot{I}_{ij}^{\text{TT}} \ddot{I}_{ij}^{\text{TT}} \rangle R^2 d\Omega$$

Derivando en [4] le suma un  $\cdot$  a la  $I_{ij}$  y me preocupa el  $(t-r)$  porque al  $1/r$  dará cosas que se mueren en  $\infty$

[4] Expresar el resultado en términos de  $\ddot{I}_{ij}^{\text{TT}}$  porque las componentes  $I_{ij}$  tienen en cada punto del espacio direcciones diferentes.

$$\ddot{I}_{ij}^{\text{TT}} = P_{ij} \ddot{I}_{ij} - \frac{1}{2} P_{ij} \text{tr}(\ddot{I})$$

$\ddot{I}_{ij}^{\text{TT}} \rightarrow \ddot{I}_{ij}$  de forma idéntica a lo hecho con el  $h_{ij}$ .

$$\ddot{I}_{ij}^{\text{TT}} \ddot{I}_{ij}^{\text{TT}} = \text{tr}(\ddot{I}^{\text{TT}})^2$$

en los proyectores aparecen las variables angulares

$$P_{ij} = \delta_{ij} - n_i n_j$$

integrales del tipo

$$\int d\Omega n_i n_j = \frac{4\pi}{3} \delta_{ij}$$

$$\int d\Omega n_i n_j n_k n_l = \frac{4\pi}{15} (\delta_{ij} \delta_{kl} + \delta_{ik} \delta_{jl} + \delta_{il} \delta_{jk})$$

etc.

Finalmente:

$$Pot = \frac{1}{5} \langle \ddot{I}_{ij}^{\text{TT}} \ddot{I}_{ij}^{\text{TT}} \rangle$$

Práctica

Algunos comentarios del parcial

2 b) ii)

$$d_H(t_e) = a(t_e) \int_0^{t_e} \frac{dt}{a(t)} = a(t_e) \frac{t}{t_0}$$

$$= 2 t_e = \frac{2 t_e}{t_0}$$

$$d_H(t_e) = 2 \frac{1}{(1+z_e)^{3/2}} \cdot \frac{2}{3 H_0}$$

3 a)

$$U_1 = \left( \frac{e_1}{1-r/R}, 0, 0, \frac{l_1}{R^2} \right)$$

y habrá que meter los valores de  $e_1$  y  $l_1$

$$3 b) 2\pi = \Delta \mathbf{L} \cdot \frac{l_1}{R^2}$$

$$3 d) \gamma(r) = - \frac{U_1 \cdot U_2}{e_{\hat{0}_1} \cdot e_{\hat{0}_2}}$$

No hace falta las bases ortogonales debido a que piden solo el módulo

$$E_1 = \gamma(r) m_1 \Big|_{\hat{0}_2} = - e_{\hat{0}_2} \cdot U_1 m_1$$

$$= P_1^{\hat{0}}$$

$$\gamma(v) = -\underline{U}_2 \cdot \underline{U}_1$$

$$\gamma(v) = -\underline{U}_1 \cdot \underline{U}_2 = \frac{1}{\sqrt{1-v^2}}$$

Son la misma.

$$-\underline{U}_1 \cdot \underline{U}_2 = \frac{2}{\sqrt{5}} \left(1 - \frac{3v^2}{2R}\right)^{1/2}$$

$$\frac{1}{\sqrt{1-v^2}} =$$

obs.

$$\underline{U}_2 = \left( \frac{e_1}{1-v/R}, 0, 0, \frac{l_1}{R^2} \right)$$

es en base coordenada

$$\underline{U}_1 = \frac{e_1}{(1-v/R)} \underline{e}_0 + \frac{l_1}{R^2} \underline{e}_9$$

---

FIN DEL CURSO